МИНИСТЕРСТВО ПРИРОДНЫХ РЕСУРСОВ И ЭКОЛОГИИ
РОССИЙСКОЙ ФЕДЕРАЦИИ

ФЕДЕРАЛЬНОЕ АГЕНТСТВО ПО НЕДРОПОЛЬЗОВАНИЮ

ФЕДЕРАЛЬНОЕ ГОСУДАРСТВЕННОЕ БЮДЖЕТНОЕ УЧРЕЖДЕНИЕ
«ГИДРОСПЕЦГЕОЛОГИЯ»

ЦЕНТР ГОСУДАРСТВЕННОГО МОНИТОРИНГА СОСТОЯНИЯ НЕДР И РЕГИОНАЛЬНЫХ РАБОТ

ИНФОРМАЦИОННАЯ СВОДКА

О ПРОЯВЛЕНИЯХ ЭКЗОГЕННЫХ ГЕОЛОГИЧЕСКИХ ПРОЦЕССОВ НА ТЕРРИТОРИИ РОССИЙСКОЙ ФЕДЕРАЦИИ

3 КВАРТАЛ 2022



МОСКВА, 2022

МИНИСТЕРСТВО ПРИРОДНЫХ РЕСУРСОВ И ЭКОЛОГИИ РОССИЙСКОЙ ФЕДЕРАЦИИ

ФЕДЕРАЛЬНОЕ АГЕНТСТВО ПО НЕДРОПОЛЬЗОВАНИЮ

ФЕДЕРАЛЬНОЕ ГОСУДАРСТВЕННОЕ БЮДЖЕТНОЕ УЧРЕЖДЕНИЕ "ГИДРОСПЕЦГЕОЛОГИЯ"

ЦЕНТР ГОСУДАРСТВЕННОГО МОНИТОРИНГА СОСТОЯНИЯ НЕДР И РЕГИОНАЛЬНЫХ РАБОТ

ИНФОРМАЦИОННАЯ СВОДКА О ПРОЯВЛЕНИЯХ ЭКЗОГЕННЫХ ГЕОЛОГИЧЕСКИХ ПРОЦЕССОВ НА ТЕРРИТОРИИ РОССИЙСКОЙ ФЕДЕРАЦИИ ЗА III КВАРТАЛ 2022 Г.

Заместитель директора Центра ГМСН и РР ФГБУ "Гидроспецгеология" по геологии — **Алексеева Н.В.**

Начальник отдела мониторинга ЭГП Центра ГМСН и РР — **Вожик А.А.**

Москва, 2022

ОГЛАВЛЕНИЕ

ВВЕДЕНИЕ.....3

Краткая информация о случаях активизации экзогенных геологических процессов, зафиксированных в III квартале 2022 г. на территории Российской Федерации.....4

Северо-западный федеральный округ.....4

Центральный федеральный округ.....4

Южный федеральный округ.....4

Северо-Кавказский федеральный округ.....5

Приволжский федеральный округ.....6

Уральский федеральный округ.....7

Сибирский федеральный округ.....7

Дальневосточного федеральный округ.....9

ЗАКЛЮЧЕНИЕ.....11

ПРИЛОЖЕНИЕ 1 Карта случаев активизаций опасных экзогенных геологических процессов, зафиксированных на территории Российской Федерации в III квартале 2022 г.....12

ПРИЛОЖЕНИЕ 2 Данные об активизациях экзогенных геологических процессов на территории Российской Федерации в III квартале 2022 г..... 13

ПРИЛОЖЕНИЕ 3 ФОТОМАТЕРИАЛЫ.....162

ВВЕДЕНИЕ

Обобщение и анализ информации об активизациях опасных экзогенных геологических процессов (далее – ЭГП) и последствиях их воздействий на населенные пункты и хозяйственные объекты по территории Российской Федерации в III квартале 2022 г. выполнены Центром государственного мониторинга состояния недр и региональных работ ФГБУ «Гидроспецгеология» на основании оперативных материалов и информационных сводок, представленных Северо-Западным, Центральным, Южным, Приволжским, Уральским, Сибирским и Дальневосточным региональными центрами государственного мониторинга состояния недр (далее – ГМСН).

В текстовой части информационной сводки о проявлениях ЭГП на территории Российской Федерации за III квартал 2022 г. представлено краткое описание случаев активизаций опасных ЭГП, факторов их развития и описание негативных воздействий на населенные пункты, хозяйственные объекты и объекты инфраструктуры, а также земли различного назначения. В приложении 2 к информационной сводке представлено подробное описание случаев активизаций опасных ЭГП, административная и координатная привязки случаев активизаций, в том числе сопровождавшихся фотоматериалами. В приложении 3 представлены фотоматериалы в более наглядном формате.

Местоположение случаев активизаций опасных ЭГП, зафиксированных на территории Российской Федерации в III квартале 2022 г. представлено в приложении 1. Кроме того, местоположение и описание случаев активизаций опасных ЭГП отражено на интерактивной карте проявлений ЭГП, которая представлена на официальном сайте Центра ГМСН и региональных работ geomonitoring.ru – http://geomonitoring.ru:13159/

Краткая информация о случаях активизации экзогенных геологических процессов, зафиксированных в III квартале 2022 г. на территории Российской Федерации

Северо-западный федеральный округ

В целом в III квартале 2022 г. на территории Северо-Западного федерального округа было зафиксировано 16 случаев активизации опасных ЭГП, в том числе: 11 случаев активизации комплекса криогенных процессов, 4 случая – оползневого процесса, и 1 случай – осыпного процесса. Из них, негативным воздействием на объекты инфраструктуры сопровождалось 5 случаев активизации. В III квартале 2022 г. развитие процессов в основном происходило под влиянием природных (гидрометеорологический) и техногенного факторов.

Республика Коми. На территории республики в III квартале 2022 г. зафиксировано 11 случаев активизации комплекса криогенных процессов. Воздействие на объекты инфраструктуры отмечалось в 2 случаях. Факторы активизации опасных ЭГП: гидрометеорологический, техногенный.

Мурманская область. На территории Мурманской области отмечено 5 случаев активизации опасных ЭГП: 4 случая – оползневого процесса, и 1 случай – осыпного процесса. Воздействие на объекты инфраструктуры отмечалось в 3 случаях. Активизация происходила под влиянием природного (гидрометеорологический), а также техногенного факторов.

Центральный федеральный округ

Всего в III квартале 2022 г. на территории Центрального федерального округа зафиксировано 8 случаев активизации опасных ЭГП (6 случаев активизации оползневого процесса, и 2 случая – процесса овражной эрозии), негативных воздействий не отмечалось. В основном активизация процессов происходила под влиянием природных факторов (гидрометеорологический).

Брянская область. В III квартале 2022 г. на территории области было отмечено 2 случая активизации процесса овражной эрозии, и 1 случай – оползневого процесса. Основным фактором активизации стал гидрометеорологический.

Костромская область. На территории субъекта было зафиксировано 2 случая активизации оползневого процесса. Основным фактором активизации стал гидрометеорологический.

Смоленская область. На территории субъекта было зафиксировано 2 случая активизации оползневого процесса. Основным фактором активизации стал гидрометеорологический.

Ярославская область. На территории субъекта был зафиксирован 1 случай активизации оползневого процесса. Основным фактором активизации стал гидрометеорологический.

Южный федеральный округ

В III квартале 2022 г. на территории Южного федерального округа было зафиксировано 223 случая активизации опасных ЭГП, в том числе 149 случаев активизации оползневого процесса, 70 – обвального процесса, и 4 случая – карстового процесса. В 79 случаях активизация сопровождалась воздействием на здания и сооружения, объекты инфраструктуры и земли различного назначения. В III квартале 2022 г. развитие процессов в основном происходило под влиянием преимущественно природных

(гидрометеорологический, гидрогеологический, гидрологический), но также и техногенного факторов. На территории Краснодарского края был введен 1 режим ЧС локального уровня.

Краснодарский край. В III квартале 2022 г. зафиксировано 119 случаев активизации опасных ЭГП, в том числе: 103 случая активизации оползневого процесса и 16 – обвального. В 69 случаях отмечалось воздействие на здания и сооружения, а также объекты инфраструктуры. Основной фактор активизации опасных ЭГП – гидрометеорологический. На территории Краснодарского края был введен 1 режим ЧС локального уровня – вследсвие активизации оползневого процесса произошло обрушение подпорной стены, повреждена газовая труба и легковые автомобили в МО г. Сочи.

Астраханская область. В III квартале 2022 г. зафиксировано 11 случаев активизации опасных ЭГП, в том числе: 6 случаев активизации обвального процесса, 4 – карстового и 1 оползневого. В 1 случае отмечалось воздействие на объекты инфраструктуры. Основной фактор активизации опасных ЭГП – гидрометеорологический.

Волгоградская область. В III квартале 2022 г. на территории Волгоградской области было зафиксировано 25 опасных ЭГП, в том числе: 23 случая активизации обвального процесса и 2 случая активизации оползневого процесса. Из них 2 случая сопровождались негативным воздействием на здания и сооружения. Основные факторы активизации опасного ЭГП – гидрометеорологический, гидрологический.

Ростовская область. В III квартале 2022 г. на территории Ростовской области было зафиксировано 44 случая активизации опасных ЭГП, в том числе: 25 случаев – обвального процесса, и 19 – оползневого процесса. Случаев негативного воздействия опасных ЭГП на на здания и сооружения, объекты транспортной инфраструктуры, а также земли различного назначения не зафиксировано. В основном, активизация опасных ЭГП проходила под влиянием природных факторов (гидрометеорологический, гидрологический).

Республика Крым. На территории республики в III квартале было зафиксировано 24 случая активизации оползневого процесса. При этом, в 3 случаях отмечалось воздействие на здания и сооружения, а также объекты инфраструктуры. В основном, активизация опасных ЭГП проходила под влиянием природных факторов (гидрометеорологический, гидрологический)

Северо-Кавказский федеральный округ

В целом по округу в III квартале 2022 г. выявлено 120 случаев активизации опасных ЭГП, в том числе 90 – оползневого процесса, 20 – обвально-осыпных процессов и 10 – обвального процесса.

Всего зафиксировано 56 случаев воздействия опасных ЭГП на здания и сооружения, а также объекты инфраструктуры. С активизацией оползневого процесса связано 29 случаев воздействия, обвально-осыпных процессов – 18 и обвального процесса – 9. В зоне негативного воздействия опасных ЭГП оказались населенные пункты и линейные сооружения (автодороги, газопроводы, водоводы).

Основные факторы активизации опасных ЭГП – гидрометеорологический, техногенный и гидрологический.

Республика Дагестан. В III квартале 2022 г. на территории Республики Дагестан было зафиксировано 12 проявлений опасных ЭГП, в том числе 7 проявлений обвального процесса и 5 проявлений оползневого процесса. Всего выявлено 8 случаев воздействия на объекты инфраструктуры, с активизаций обвального процесса связано 7 случаев воздействия, с активизацией оползневого процессов - 1 случай.

Основными факторами активизации опасных ЭГП стали: гидрометеорологический и техногенный.

Республика Ингушетия. В III квартале 2022 г. на территории республики Ингушетия было выявлено 3 случая активизации оползневого процесса. В 1 случае отмечалось негативное воздействие на объекты инфраструктуры.

Кабардино-Балкарская Республика. В III квартале 2022 г. на территории республики Кабардино-Балкария было выявлено 10 проявлений опасных ЭГП, из них 9 проявлений оползневого процесса и 1 проявление обвального процесса. Отмечено 5 случаев активизации опасных ЭГП, сопровождавшихся воздействием на объекты инфраструктуры.

Основными факторами активизации опасных ЭГП на территории Кабардино-Балкарской Республики в III квартале 2021 г. являлись: метеорологический, техногенный (подрезка склонов, движение транспорта), гидрогеологический (выходы подземных вод, обводненность склонов), гидрологический (речная боковая эрозия), а также сейсмический фактор.

Республика Северная Осетия-Алания. В III квартале 2022 г. в Республике Северная Осетия-Алания было выявлено 30 случаев активизации опасных ЭГП, из них 22 обвально-осыпных процессов, 8 – оползневого и 2 обвального процесса. Отмечено 23 случая воздействия на объекты инфраструктуры (автодороги). Основные факторы активизации – метеорологический; техногенный (нарушение горного рельефа и естественного стока поверхностных и грунтовых вод).

Чеченская Республика. В III квартале 2022 г. на территории Чеченской Республики зафиксировано 38 случаев активизации оползневого процесса. Всего отмечено 17 случаев воздействия оползневого процесса объекты инфраструктуры (автодороги). Основной фактор активизации опасных ЭГП – метеорологический.

Ставропольский край. В III квартале 2022 г. на территории края выявлено 27 случаев активизации оползневого процесса. Зафиксирован 1 случай воздействия на объекты инфраструктуры (газопровод). Факторы активизации опасных ЭГП – атмосферные осадки, гидрогеологический (близкий к поверхности уровень грунтовых вод), боковая эрозия водотоков, техногенные нарушения устойчивости склонов.

Приволжский федеральный округ

Всего на территории Приволжского федерального округа в III квартале 2022 г. было отмечено 28 случаев активизации опасных ЭГП, в том числе: 13 случаев – процесса овражной эрозии, 6 случаев – оползневого процесса, 6 случаев – карстового процесса, 2 случая – процесса оседания и обрушения поверхности над горными выработками, и 1 случай – карстово-суффозионных процессов. При этом, в 5 случаях зафиксировано воздействие на населенные пункты и объекты инфраструктуры. Основные факторы активизации – гидрометеорологический, гидрологический, техногенный.

Республика Башкортостан. На территории Республики Башкортостан в III квартале 2022 г. было отмечено 8 случаев активизации опасных ЭГП, в том числе: 6 случаев активизации карстового процесса, а также по 1 случаю карстово-суффозионных процессов и процесса овражной эрозии. Случаев воздействия опасных ЭГП на земли различного назначения, объекты инфраструктуры или здания и сооружения не зафиксировано. Основные факторы активизации: гидрометеорологический, гидрологический, техногенный.

Республика Марий Эл. В Республике Марий Эл в III квартале 2022 г. зафиксировано 8 случаев активизации опасных ЭГП, в том числе: 7 случаев – процесса овражной эрозии, и 1 случай – оползневого процесса. Случаев воздействия опасных ЭГП на земли различного назначения, объекты инфраструктуры или здания и сооружения не зафиксировано. Основным фактором активизации опасных ЭГП на территории субъекта стал гидрометеорологический.

Удмуртская Республика. На территории субъекта зафиксировано 2 случая активизации оползневого процесса. При этом, воздействия на земли различного назначения,

объекты инфраструктуры, а также здания и сооружения не отмечалось. Основной фактор активизации – гидрометеорологический.

Пермский край. В Пермском крае в III квартале 2022 г. отмечались 2 случая активизации процесса оседания поверхности над горными выработками. На территории городов Березники и Соликамск продолжились процессы оседания земной поверхности над шахтным полем затопленного рудника БКПРУ-1 и на аварийном участке рудника СКРУ-2. Основные факторы активизации: техногенный, гидрогеологический, сейсмический.

Оренбургская область. Всего на территории Оренбургской области было отмечено 4 случая активизации процесса овражной эрозии, которые не сопровождались воздействием на объекты инфраструктуры, земли различного назначения, а также здания и сооружения. Основной фактор активизации – гидрометеорологический.

Кировская область. На территории субъекта был зафиксирован 1 случай активизации процесса овражной эрозии, который не сопровождался воздействием на объекты инфраструктуры, земли различного назначения, а также здания и сооружения. Основные факторы активизации: гидрометеорологический, техногенный.

Саратовская область. На территории Саратовской области в III квартале 2022 г. зафиксировано 3 случая активизации оползневого процесса. При этом, во всех случаях отмечалось воздействие на здания и сооружения, а также объекты инфраструктуры. Основные факторы активизации – гидрометеорологический, техногенный.

Уральский федеральный округ

В целом по округу в III квартале 2022 г. отмечалось 2 случая активизации опасных ЭГП, в том числе: 1 случай активизации оползневого процесса, и 1 случай – гравитационных процессов. Случаев воздействий на земли различного назначения, здания и сооружения, а также объекты инфраструктуры не зафиксировано. Развитие опасных ЭГП происходило в под влиянием техногенного и гидрологического факторов.

Челябинская область. На территории субъекта выявлен 1 случай активизации оползневого процесса, который не сопровождался негативным воздействием на земли различного назначения, здания и сооружения, а также объекты инфраструктуры. Основной фактор активизации – техногенный.

Ханты-Мансийский автономный округ – Югра. На территории округа в III квартале 2022 г. зафиксирован 1 случай активизации гравитационных процессов, который не сопровождался негативным воздействием на земли различного назначения, здания и сооружения, а также объекты инфраструктуры. Основной фактор активизации – гидрологический

Сибирский федеральный округ

Всего на территории округа в III квартале 2022 г. было выявлено 203 случая активизаций опасных ЭГП, в том числе: 104 – процесса овражной эрозии, 43 – оползневого процесса, 27 – комплекса гравитационных процессов, 19 – процесса подтопления, 6 – процессов эоловой аккумуляции и дефляции, 2 – осыпного процесса, по одному – на процессы суффозии и оседания поверхности над горными выработками.

Всего зафиксирован 81 случай воздействия опасных ЭГП на населенные пункты, линейные объекты и земли различного назначения. С активизацией овражной эрозии связано 24 случая воздействия, активизацией процесса подтопления – 19, активизацией оползневого процесса – 16, активизацией гравитационного процесса – 15, активизацией процессов эоловой аккумуляции и дефляции – 6, активизацией процесса оседания поверхности над горными выработками – 1. В зоне негативного воздействия опасных ЭГП оказались населенные пункты, линейные сооружения (автодороги, ЛЭП), земли сельскохозяйственного назначения, лесного фонда. Основные факторы активизации опасных ЭГП –

гидрометеорологический, гидрогеологический, гидрологический, техногенный, сейсмический.

Республика Алтай. На территории Республики Алтай в III квартале 2022 г. зафиксировано 54 случая активизации ЭГП: в том числе 25 случаев оползневого процесса, 19 случаев – гравитационного процесса, 10 случаев – процесса овражной эрозии. Негативные воздействия опасных ЭГП на здания и сооружения, объекты транспортной инфраструктуры, а также земли различного назначения отмечалось в 27 случаях. Основные факторы активизации процессов на территории республики: гидрометеорологический, гидрологический, техногенный, сейсмический.

Республика Тыва. В III квартале 2022 г. на территории Республики Тыва зафиксировано 17 случаев активизаций опасных ЭГП, в том числе: 15 – овражной эрозии, 2 – гравитационного процесса. В результате активизации гравитационного процесса частично обвалилась территория 5-ти приусадебных участков в 2-х населенных пунктах в Чеди-Хольском и Дзун-Хемчикском районах. Основной фактор активизации – метеорологический.

Республика Хакасия. На территории Республики Хакасия зафиксировано 9 случаев активизации опасных ЭГП, в том числе 6 – оползневого процесса, 2 – овражной эрозии и 1-процесса подтопления. Негативное влияние процессов подтопления отмечено в г. Черногорск, оползневых процессов – на участке а/дороги Р-257, 430 км длиной 0,41 км в Алтайском районе. Основными факторами активизации остаются метеорологический, техногенный и гидрогеологический.

Красноярский край. На территории Красноярского края зафиксировано 44 случая активизации опасных ЭГП, в том числе 38 – овражной эрозии, 3 – оползневого процесса, 1 – процесса подтопления, 1 – гравитационных процессов и 1 – суффозионных процессов. В результате активизации процессов овражной эрозии выведено из оборота около 0,000306 км² земель с/х назначения в Краснотуранском (0,000118 км²), Курагинском (0,000175 км²) и Минусинском (0,000013 км²) районах. Основными факторами активизации опасных ЭГП остаются гидрогеологический и метеорологический.

Иркутская область. На территории Иркутской области в III квартале 2022 г. было зафиксировано 19 случаев активизации опасных ЭГП: 6 случаев – оползневого процесса, 6 – процессов эоловой аккумуляции и дефляции, 4 – процесса овражной эрозии, 3 – процесса подтопления. Негативное воздействие процесса подтопления отмечено в 2-х населенных пунктах (г. Иркутск, с. Баклаши Шелеховского района), процесса эоловой аккумуляции и дефляции – в 2-х населенных пунктах (д. Харанцы, п. Хужир, Ольхонский район).

Кемеровская область-Кузбасс. На территории Кемеровской области-Кузбасса зафиксировано 6 случаев активизации ЭГП, в том числе 2 случая активизации процесса подтопления, 2 случая активизации осыпного процесса, 1 – оползневого процесса, 1 случай – процесса оседания и обрушения поверхности над горными выработками. На территории г. Ленинск-Кузнецкий выявлено негативное воздействие процессов оседания и обрушения поверхности над горными выработками. В результате активизации оползневого процесса разрушено 0,000302 км² земель лесного фонда в Новокузнецком районе. Основными факторами активизации опасных ЭГП стали метеорологический, гидрогеологический, гидрологический.

Новосибирская область. На территории Новосибирской области в III квартале 2022 г. зафиксировано 15 случаев активизации ЭГП: 11 случаев – подтопления, 1 – гравитационного процесса и 3 – овражной эрозии. Воздействие процесса подтопления было отмечено в 11 населенных пунктах и сопровождались негативными воздействиями на жилые дома, объекты инфраструктуры. Под воздействием гравитационных процессов и активизации овражной эрозии разрушены земли лесного фонда в Ордынском районе площадью 0,0018 км². Основными факторами активизации опасных ЭГП стали метеорологический, гидрогеологический, техногенный.

Омская область. На территории Омской области в III квартале 2022 г. зафиксирован 31 случай активизации ЭГП, все они относятся к процессам овражной эрозии. Негативное воздействие на хозяйственные объекты не отмечалось. Основной фактор активизации – метеорологический.

Томская область. Всего на территории Томской области в III квартале 2022 г. было выявлено 8 случаев активизаций опасных ЭГП, в том числе: 4 – гравитационного процесса, 2 – оползневого процесса, 1 – процесс овражной эрозии, 1 – процесс подтопления. В результате активизации гравитационных процессов и подтопления отмечено негативное воздействие на здания и сооружения в г. Колпашево и с. Озерное Колпашевского района и оползневого процесса – в д. Нагорный Иштан Томского района. Основными факторами активизации опасных ЭГП стали метеорологический, гидрологический, гидрогеологический.

Дальневосточного федеральный округ

На территории Дальневосточного федерального округа в III квартале 2022 г. выявлено 39 случаев активизации опасных ЭГП из них: 21 случай активизации процесса овражной эрозии, 5 случаев – обвально-осыпных процессов, 4 случая – оползневого процесса, 3 случая – осыпного процесса, 2 случая – гравитационных процессов, и по 1 случаю активизации процессов подтопления и оседания и обрушения поверхности над горными выработками. Воздействия на здания и сооружения, объекты транспортной инфраструктуры, а также земли различного назначения отмечались в 11 случаях (при активизации процесса овражной эрозии – 7 случаев, при активизации осыпного процесса – 2 случая, и по 1 случаю при активизации оползневого процесса, и процесса подтопления). Основные факторы активизации опасных ЭГП на территории округа – гидрометеорологический, техногенный.

Республика Бурятия. Всего на территории субъекта было зафиксировано 13 случаев активизации опасных ЭГП, из которых 12 приходится на процесс овражной эрозии, и 1 – на процесс подтопления. Негативное воздействие процесса подтопления отмечалось в с. Уладый Кяхтинского района. Основной фактор активизации опасных ЭГП на территории республики – гидрометеорологический.

Приморский край. На территории субъекта в III квартале 202 г. зафиксировано 4 случая активизации опасных ЭГП, из которых на процесс овражной эрозии приходится 2 случая, а на осыпные и оползневые процессы – по 1. Негативные воздействия опасных ЭГП на объекты транспортной инфраструктуры отмечалось во всех случаях. Основные факторы активизации процессов на территории края: гидрометеорологический, техногенный.

Хабаровский край. В III квартале 2022 г. на территории края выявлено 6 случаев активизации опасных ЭГП, в том числе: 5 случаев активизации обвально-осыпных процессов и 1 случай – гравитационных процессов. Негативного воздействия опасных ЭГП на здания и сооружения, объекты транспортной инфраструктуры, а также земли различного назначения не наблюдалось. Основные факторы активизации процессов на территории субъекта – гидрометеорологический, техногенный.

Сахалинская область. В III квартале 2022 г. на территории области выявлено 2 случая активизации опасных ЭГП (по 1 случаю активизации процесса овражной эрозии и осыпного процесса). Зафиксировано негативное воздействие осыпного процесса на объекты транспортной инфраструктуры (автодорога). Основные факторы активизации процессов на территории области: гидрометеорологический, сейсмический.

Амурская область. На территории субъекта было отмечено 4 случая активизации опасных ЭГП, из которых на процесс овражной эрозии приходится 3 случая, а на гравитационные процессы – 1. Негативные воздействия на земли сельскохозяйственного назначения отмечались во всех случаях активизации процесса овражной эрозии. Основной фактор активизации процессов на территории области – гидрометеорологический.

Забайкальский край. На территории края в III квартале 2022 г. было выявлено 7 случаев активизации опасных ЭГП, в том числе: 4 случая активизации оползневого процесса, 2 случая – процесса оседания и обрушения поверхности над горными выработками, и по 1 случаю – осыпного процесса, и процесса овражной эрозии. Негативного воздействия на здания и сооружения, объекты транспортной инфраструктуры, а также земли различного назначения не наблюдалось. Основные факторы активизации опасных ЭГП на территории края: гидрометеорологический, техногенный.

ЗАКЛЮЧЕНИЕ

В III квартале 2022 г. при ведении государственного мониторинга за опасными ЭГП на территории Российской Федерации было зафиксировано активное развитие, преимущественно, оползневого процесса.

Всего выявлено 636 случаев активизации опасных ЭГП, из них:

- 223 – на территории Южного федерального округа
- 203 – на территории Сибирского федерального округа;
- 120 – на территории Северо-Кавказского федерального округа;
- 36 – на территории Дальневосточного федерального округа;
- 28 – на территории Приволжского федерального округа;
- 16 – на территории Северо-Западного федерального округа;
- 8 – на территории Центрального федерального округа;
- 2 – на территории Уральского федерального округа.

Наибольшее количество активизировавшихся проявлений наблюдалось:

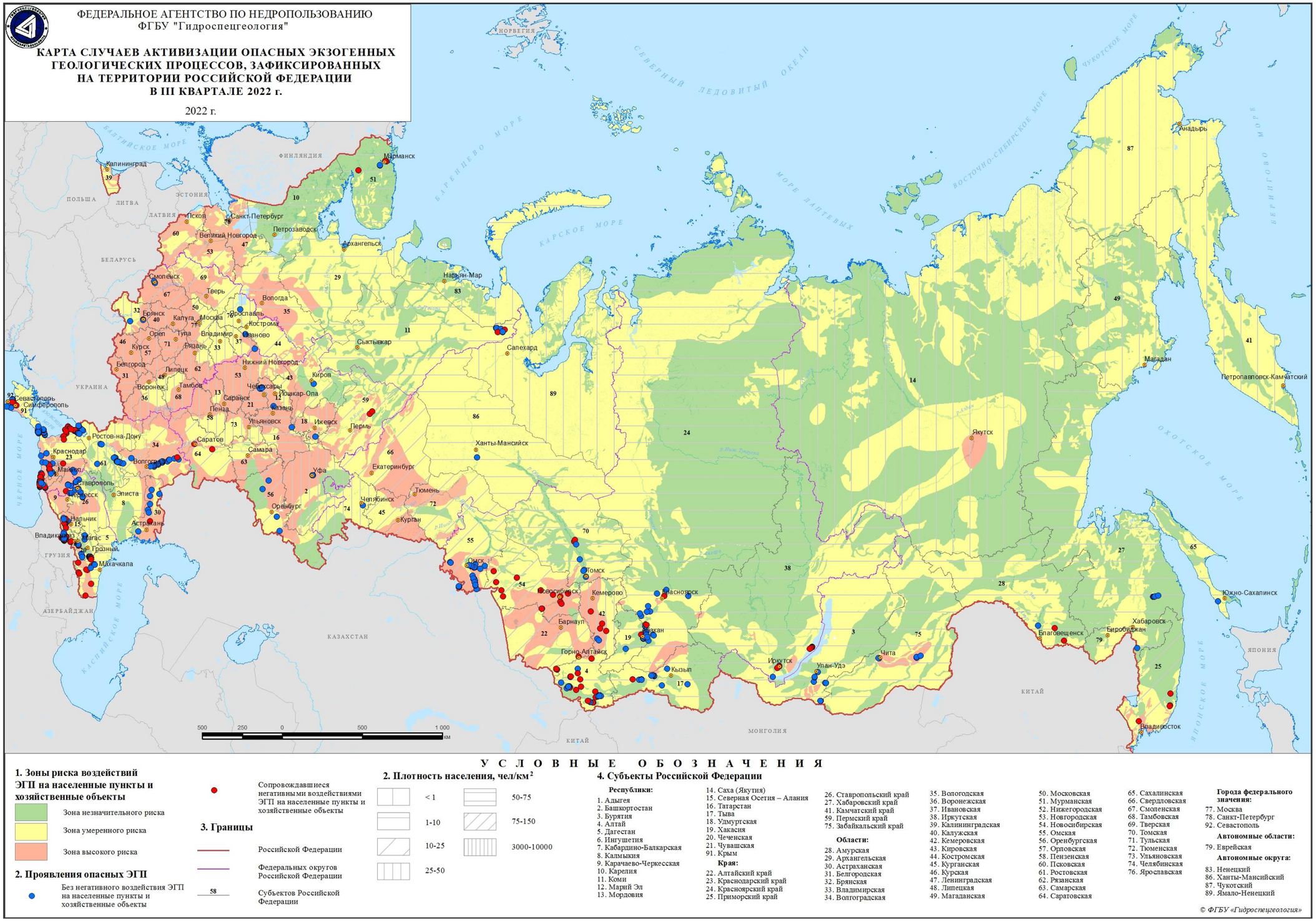
- оползневого процесса – 303;
- овражной эрозии – 138;
- обвального процесса – 80;

Также отмечались случаи активизации гравитационного процесса, осыпного, обвально-осыпного, комплекса криогенных процессов, карстового, карстов-суффозионного, подтопления, а также единичные случаи оседания и обрушения поверхности над горными выработками, просадочного и эолового процессов.

Из 636 случаев активизации опасных ЭГП, выявленных на всей территории Российской Федерации в III квартале 2022 г., 229 случая сопровождались негативным воздействием на объекты капитального строительства, линейные объекты и земли различного назначения. Наибольшее количество случаев воздействия опасных ЭГП было зафиксировано на территории Сибирского федерального округа (81). Вследствие активизации оползневого процесса в МО г. Сочи режим был введен ЧС локального уровня (постановление администрации МО г.Сочи от 27.07.2022 № 2362).

ПРИЛОЖЕНИЕ 1

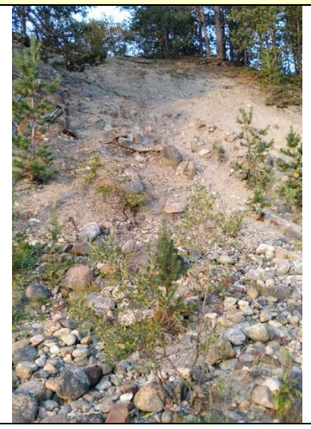
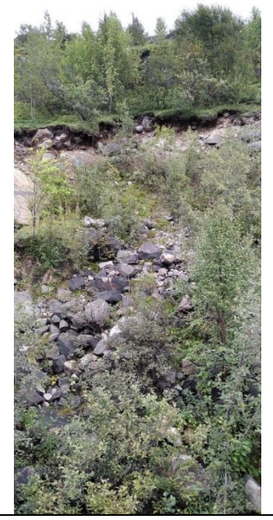
Карта случаев активизаций опасных экзогенных геологических процессов, зафиксированных на территории Российской Федерации в III квартале 2022 г.



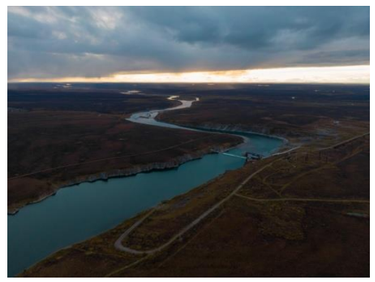
ПРИЛОЖЕНИЕ 2

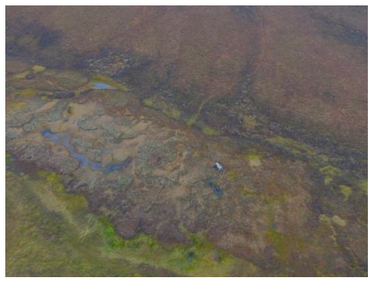
Данные об активизациях экзогенных геологических процессов на территории Российской Федерации в III квартале 2022 г.

№ п/п	ФО РФ	СРФ	Административная привязка	Координаты				Период активизации ЭГП		Генетический тип ЭГП	Основные факторы активизации ЭГП	Негативные воздействия ЭГП	Характеристика случая активизации ЭГП	Фотоматериалы	Примечание
				WGS-84		ГСК-2011									
				широта	долгота	широта	долгота	начало	окончание						
1	2	3	4	5	6	7	8	9	10	11	12	13	14	15	16
51.2022.0001	Северо-Западный	Мурманская область	г. Полярные Зори с подведомственной территорией	67,4705	32,4114	67,4705	32,4114	00.07.22	00.07.22	Оп	Атм.; Техн.	Отмечалось	В районе 1191 км а/м трассы Р-21 «Кола» на правом придорожном естественном склоне зафиксирована активизация оползневого процесса. Длина проявления 4 м, протяженность процесса перпендикулярно смещению грунта 180 м, площадь 720 м². Признаками активизации процесса являются смещения грунта на поверхности склона и вынос песчаного-щебнистого материала. Процесс в стадии развития. Факторы активизации: атмосферные осадки и техногенный.		
51.2022.0002	Северо-Западный	Мурманская область	г. Мурманск Территория вблизи ж/д ст. Мохнаткина пахта, 16-й км перегона Мурманск – Североморск Мурманского отделения Октябрьской ЖД	69,0469	33,1721	69,0469	33,1721	00.05.22	00.05.22	Оп	Атм.; Техн.	Отмечалось	В г. Мурманск на территории вблизи ж/д ст. Мохнаткина пахта отмечалась активизация оползневого процесса. В центральной части склона наблюдается активно развивающийся оползень. Стенка отрыва вертикальная 30-40 см в высоту. Морфометрические показатели: длина – 10 м, ширина – 25 м. Оползневой склон крутизной около 30°, сложен валунно-галечным маренным материалом с песчано-глинистым заполнителем (QIII-IV). Поверхность оползня ступенчатая, бугристая, с не окатанными валунами разного размера. Признаками активизации процесса являются свежая плоскость срыва, оползневые уступы, оторванные куски дерна и поваленные деревья. В зоне воздействия процесса находятся ж/д пути и опоры ЛЭП. Факторы активизации: атмосферные осадки и техногенный.		
51.2022.0003	Северо-Западный	Мурманская область	Ж/д ст. Лопарская	68,6336	33,2276	68,6336	33,2276	00.05.22	00.05.22	Оп	Атм.; Гидрол.;	Не отмечалось	В посёлке возле ж/д станции Лопарская на правом берегу реки Кола отмечалась активизация оползневого процесса Отмечались свежие трещины и промоины, обнажение корневой системы деревьев на склоне, локальные осыпи оголённого песчаного грунта. Длина проявления – 4 м, ширина – 87 м, площадь – 348 м². Состав пород, затронутых проявлением: гравийно-галечные отложения с песчаным заполнителем, с обломками коренных пород. Так же в зоне развития процесса находятся опора пешеходного моста через реку и столбы ЛЭП. Факторы активизации – атмосферные осадки и гидрологический.		

1	2	3	4	5	6	7	8	9	10	11	12	13	14	15	16
51.2022.0004	Северо-Западный	Мурманская область	Ж/д ст. Лопарская (в 50м ниже по течению от частного участка с постройками)	68,6362	33,2261	68,6362	33,2261	00.05.22	00.05.22	Ос	Атм.;	Не отмечалось	Отмечалась активизация осыпного процесса, расположенного в поселке Лопарская на правом берегу реки Кола. Осыпной склон в нижней части значительно задернован травянистыми растениями, кустарниками и деревьями. Активизация отмечается в центральной и верхней частях склона. Состав горных пород представлен гравийно-галечными отложениями с песчаным заполнителем и крупными окатанными валунами. Крутизна склона более 45°. Длинна – 29 м, ширина – 15,3 м, высота склона – 5-6 м, площадь – 144,5 м². Фактор активизации – атмосферные осадки.		
51.2022.0005	Северо-Западный	Мурманская область	г. Мурманск, Нижне-Ростинское шоссе, вблизи автобусной остановки «Торговый порт»	68,9936	33,0579	68,9936	33,0579	00.05.22	00.05.22	Оп	Атм.; Гидрогеол.; Гидрол.; Техн.	Отмечалось	Отмечалась активизация оползневого процесса в г. Мурманск, Нижне-Ростинское шоссе в 140 м от автобусной остановки «Торговый порт». Природный склон был подрезан при строительстве ж/д ветки. Основная площадь оползневого тела заросшая, в верхней части склон оголен. Стенка отрыва вертикальная 60 см в высоту. Параметры проявления: длина – 20 м, ширина – 10 м, площадь 200 м². Крутизна склона около 45°, сложен валунно-галечным маренным материалом с песчаным заполнителем (QIII-IV). Основной фактор активизации – атмосферные осадки. В зоне воздействия процесса проходит ж/д полотно и ЛЭП. Отмечается крен опор осветительного столба и высоковольтной ЛЭП.		
11.2022.0001	Северо-Западный	Республика Коми	МО ГО "Воркута", Воркутинский опорный мерзлотно-гидро-геологический полигон, участок детальных наблюдений МГП 1, в 28,5 км Ю-З города Воркута	67,4263	63,4184	67,4263	63,4184	00.00.22	Не завер-шилась	КР	Атм.	Не отмечалось	В 28,5 км юго-западнее города Воркута на Воркутинском опорном мерзлотно-гидро-геологическом полигоне отмечалась активизация комплекса криогенных процессов. По результатам наблюдений за сентябрь 2022 г., прослеживается дальнейшая деградация ММП относительно её состояния на начало наблюдений. Состав пород, затронутых проявлением: торф, глины, суглинки; суглинки тяжёлые и средние с гравием и галькой, с прослойками гравелистого суглинка и валунов с галькой; песчано-гравийно-галечные отложения с суглинистым заполнителем, суглинки, супесь.		

1	2	3	4	5	6	7	8	9	10	11	12	13	14	15	16
11.2022.0002	Северо-Западный	Республика Коми	МО ГО "Воркута", Воркутинский опорный мерзлотно-гидро-геологический полигон, участок детальных наблюдений МГП 2, в 30,8 км Ю-З города Воркута	67,3939	63,3936	67,3939	63,3936	00.00.22	Не завер-шилась	КР	Атм. Техн.	Не отмечалось	Участок детальных наблюдений МГП 2 в 30,8 км юго-западнее города Воркута расположен в зоне прерывистого распространения голоценовых ММП. В состав пункта наблюдения входят: скв. ЗС-79; створ полуинструментальных измерений (скв. ЗС-124/124а – ДС-4/VI-74); площадка учётная – ПП-19. В сентябре сняты показания температуры по стволам скважин на глубину 20 м и ниже до забоя, которая была выше, теплее в сравнении со среднемноголетними её значениями. По данным нивелирования, полученным в 2022 г можно сделать вывод о том, что относительно данных, 2021 г. преобладающим процессом было термокарстовое проседание (2 см). По результатам наблюдений, прослеживается дальнейшая деградация ММП относительно её состояния на начало наблюдений. Состав пород, затронутых проявлением: торф, пески разнозернистые, суглинки, суглинки с гравием и галькой; торф, суглинки с растительными остатками, суглинки, глины, пески и суглинки с включениями грубообломочного материала до 10-20 %; супесчано- суглинистые отложения.		
11.2022.0003	Северо-Западный	Республика Коми	МО ГО "Воркута", Воркутинский опорный мерзлотно-гидро-геологический полигон, участок детальных наблюдений МГП 3, в 28,5 км Ю-З города Воркута	67,4263	63,4184	67,4263	63,4184	00.00.22	Не завер-шилась	КР	Атм.	Не отмечалось	Участок детальных наблюдений МГП 3 в 28,5 км юго-западнее города Воркута расположен в зоне прерывистого распространения голоценовых ММП. В состав пункта наблюдения входят: скв. ЗС-16, ЗС-14/227; площадка учётная ПП-18. В сентябре сняты показания температуры по стволам скважин на глубину 20 м, которая была выше, теплее в сравнении со среднемноголетними её значениями (кроме скважины ЗС-16). По данным нивелирования полученным в 2022 г. можно сделать вывод о том, что относительно данных, полученных в 2021 г. преобладающим процессом было криогенное пучение. По результатам наблюдений, прослеживается дальнейшая деградация ММП относительно её состояния на начало наблюдений. Состав пород, затронутых проявлением: торф, суглинок оторфованный, переслаивание суглинков средних и тяжёлых, а также гравелистых с гравием и галькой; глина, гравийно-галечные отложения с суглинистым заполнением.		
11.2022.0004	Северо-Западный	Республика Коми	МО ГО "Воркута", Воркутинский опорный мерзлотно-гидро-геологический полигон, участок детальных наблюдений Лек-Воркутский 1, в 32,5 км Ю-З города Воркута	67,3886	63,3486	67,3886	63,3486	00.00.22	Не завер-шилась	КР	Атм.	Не отмечалось	Участок детальных наблюдений Лек-Воркутский 1 в 32,5 км юго-западнее города Воркута расположен в зоне прерывистого распространения голоценовых ММП. В состав пункта наблюдения входят: скв. ЗС-83а, ЗС-115; площадка учётная-КП-10, створ геодезических измерений. В сентябре сняты показания температуры по стволам скважин на глубину 20 м, которая была выше, теплее в сравнении со среднемноголетними её значениями. По данным нивелирования, полученным в 2022 г. можно сделать вывод о том, что относительно данных, полученных в 2021 г. преобладающим процессом было – преобладающим процессом было - криогенное пучение (КП-10 и пучиномерный створ). По результатам наблюдений, прослеживается дальнейшая деградация ММП относительно её состояния на начало наблюдений. Состав пород, затронутых проявлением: суглинок, суглинки с гравием и галькой; супесь, песок с галькой, супесь с гравием и галькой; торф, супесчано-суглинистые отложения.		

1	2	3	4	5	6	7	8	9	10	11	12	13	14	15	16
11.2022.0005	Северо-Западный	Республика Коми	МО ГО "Воркута", Воркутинский опорный мерзлотно-гидро-геологический полигон, участок детальных наблюдений Лек-Воркутский 2, в 31,7 км Ю-З города Воркута	67,3957	63,3653	67,3957	63,3653	00.00.22	Не завер-шилась	КР	Атм.	Не отмечалось	Участок детальных наблюдений Лек-Воркутский 2 в 31,7 км юго-западнее города Воркута расположен в зоне прерывистого распространения голоценовых ММП. В состав пункта наблюдения входят: скв. ДС-3/VII-74; площадка учётная ПП-3. В сентябре сняты показания температуры по стволу скважины на всю глубину, которая была выше, теплее в сравнении со среднемноголетними её значениями. По данным нивелирования, полученным в 2022 г. можно сделать вывод о том, что относительно данных, полученных в 2021 г. - преобладающим процессом было криогенное пучение. По результатам наблюдений, прослеживается дальнейшая деградация ММП относительно её состояния на начало наблюдений. Состав пород, затронутых проявлением: суглинок, суглинки с гравием и галькой, гравийно-галечные отложения.		
11.2022.0006	Северо-Западный	Республика Коми	МО ГО "Воркута", Воркутинский опорный мерзлотно-гидро-геологический полигон, участок детальных наблюдений Восточно-Воркутский, в 1,8 км на З, С-З от города Воркута	67,5040	64,0221	67,5040	64,0221	00.00.22	Не завер-шилась	КР	Атм.	Не отмечалось	Участок детальных наблюдений Восточно-Воркутский расположен на правом берегу р. Воркута в 1,8 км на запад – северо-запад от города Воркута. В состав пункта наблюдения входят: скв. Я-3, Я-1бис. В сентябре 2022 г. были сняты показания температуры по стволу скважины на всю глубину. По результатам наблюдений, прослеживается дальнейшая деградация ММП относительно её состояния на начало наблюдений. Состав пород, затронутых проявлением: суглинки с гравием и галькой.		
11.2022.0007	Северо-Западный	Республика Коми	МО ГО "Воркута", Воркутинский опорный мерзлотно-гидро-геологический полигон, участок детальных наблюдений Усинское водохранилище 1, в 20,4 км Ю-В города Воркута	67,4019	64,4621	67,4019	64,4621	00.00.22	Не завер-шилась	КР	Атм. Техн.	Не отмечалось	Участок детальных наблюдений Усинское водохранилище 1 расположен на правом берегу в прибортовой части долины реки Уса, в 180 м восточнее плотины. В состав пункта наблюдения входит скв. УП-33). В сентябре сняты показания температуры по стволу скважины на глубину до 20 метров, которая была выше, теплее в сравнении со среднемноголетними ее значениями. По результатам наблюдений в 2022 г., прослеживается дальнейшая деградация ММП относительно её состояния на начало наблюдений. Состав пород, затронутых проявлением: суглинки с гравием и галькой, известняки, доломиты.		

1	2	3	4	5	6	7	8	9	10	11	12	13	14	15	16
11.2022.0008	Северо-Западный	Республика Коми	МО ГО "Воркута", Воркутинский опорный мерзлотно-гидро-геологический полигон, участок детальных наблюдений Усинское водохранилище 2, в 21 км Ю-В города Воркута, в 800 метрах северо-восточнее плотины на реке Уса	67,4040	64,4846	67,4040	64,4846	00.00.22	Не завер-шилась	КР	Атм.	Не отмечалось	Участок детальных наблюдений Усинское водохранилище 2 в 21 км юго-восточнее города Воркута, расположен в заболоченной нижней части склона. В состав пункта наблюдения входит скв. УП-35. В сентябре 2022 г. сняты показания температуры по стволу скважины на всю глубину до забоя, которая была немного ниже значения прошлого года, но выше, теплее в сравнении со среднемноголетними её значениями. По результатам наблюдений в 2022 г., прослеживается дальнейшая деградация ММП относительно её состояния на начало наблюдений. Состав пород, затронутых проявлением: торф, суглинки мёрзлые, валунно-галечные отложения с прослоем песка, карбонатные породы.		
11.2022.0009	Северо-Западный	Республика Коми	МО ГО "Воркута", участок газопровода Бованенково-Воркута, 55,5 км от города	67,2673	63,8458	67,2673	63,8458	00.00.22	Не завер-шилась	КР	Атм. Тех	Отмечалось	Отмечалась активизация термокарстового проседания в МО ГО Воркута 55,5 км от города. Процесс термокарстового проседания визуально фиксировался подтоплением вдоль и непосредственно на отсыпке газопровода Бованенково-Ухта. Все участки отмечены непосредственно над самим газопроводом в виде проседания отсыпки над газопроводом Суммарная длина процессов термокарстового проседания составила около 398 м, ширина участков начиналась от 3 м. Состав пород, затронутых проявлением: суглинки, супеси с галькой и гравием. Факторы активизации процесса – техногенный, климатический		
11.2022.0010	Северо-Западный	Республика Коми	МО ГО "Воркута", участок газопровода Бованенково-Воркута, 30 км от города	67,5759	64,5463	67,5759	64,5463	00.00.22	Не завер-шилась	КР	Атм. Тех	Отмечалось	В МО ГО "Воркута", участок газопровода Бованенково-Воркута, 30 км от города отмечалась активизация процесса криогенного пучения. Процессы пучения были зафиксированы над газопроводом и в непосредственной близости от него, пятна медальоны различных размеров, видимая часть морозобойного растрескивания заглублялась в некоторых местах от 6 до 25 см. Отмечено увеличение на 20 м выпучивания большого участка геосетки над газопроводом относительно обследования 2020 г. (общая протяжённость выпученного участка-130 м). Совокупная протяжённость процессов криогенного пучения составила 617 м а ширина — не более 30 м. Состав пород, затронутых проявлением: суглинки, супеси с галькой и гравием. Факторы активизации процесса – техногенный, климатический		
11.2022.0011	Северо-Западный	Республика Коми	МО ГО "Воркута", Воркутинский опорный мерзлотно-гидрогеологический полигон, участок Воргашорский, 16,5 км от посёлка Воргашор на СЗ 125 м от скв. ВК-2903	67,4248	64,4371	67,4248	64,4371	00.00.22	Не завер-шилась	КР	Атм.	Не отмечалось	В 16,5 км от посёлка Воргашор на северо-запад отмечалась активизация процесса криогенного пучения в зоне прерывистого распространения голоценовых ММП с диапазоном температур на подошве слоя годовых теплооборотов от ±0 ºС до −0,4 ºС. Параметры фиксируемого ЭГП на момент обследования составили: 120 м – длина и до 25 м – ширина. Состав пород, затронутых проявлением: суглинки, супеси с галькой и гравием, редкими валунами. Факторы активизации процесса – климатический (атмосферные осадки),		

1	2	3	4	5	6	7	8	9	10	11	12	13	14	15	16
32.2022.0005	Центральный	Брянская область	Брянская область, г. Брянск, Советский р-н, в 40 м северо-восточнее д. 20 по ул. Грибоедова, памятник природы овраг "Нижний Судок"	53,2408	34,3569	53,23984	34,35677	29.08.22	29.08.22	Эо	Атм.	Не отмечалось	В Брянской области, г. Брянск, в Советском районе отмечалась активизация процесса овражной эрозии. Зафиксировано увеличение ширины промоины на 1,0 м в её верховье, длина и глубина не изменились. Промоина длиной 18 м на участке бетонной дороги длиной 23 м. Процесс овражной эрозии находится в стадии развития, возраст проявления опасного ЭГП - современный. Параметры проявления опасного ЭГП: длина – 18 м, ширина - 5-7 м, площадь – 100 м². Комплексы горных пород, затронутые проявлением - покровные и флювиогляциальные отложения четвертичного возраста. Основным фактором активизации опасного ЭГП послужили: метеорологический (атмосферные осадки), техногенный (необорудованный ливневый сток). Условием развития опасного ЭГП является наличие склона и размываемые породы. Негативные воздействия не отмечались.		
32.2022.0006	Центральный	Брянская область	Брянская область, г. Брянск, Советский р-н, в 30 м северо-восточнее д. 28 по ул. Топальской, памятник природы овраг «Верхний Судок»	53,2472	34,3673	53,24624	34,36717	29.08.22	29.08.22	Эо	Атм.	Не отмечалось	В Брянской области, г. Брянск, в Советском районе отмечалась активизация процесса овражной эрозии. Зафиксировано увеличение ширины промоины в её верховье на 3,5 м, в центральной части на 3 м, в низовье на 1,5 м. Увеличение ширины новой промоины, находящейся в 4-5 м ниже, на 3,3 м, длины – на 8 м, глубины на 0,5-1,0 м. Процесс овражной эрозии находится в стадии развития, возраст проявления опасного ЭГП - современный. Параметры проявления опасного ЭГП: длина - 34 м, ширина – 6 - 8 м, площадь – 230 м². Комплексы горных пород, затронутые проявлением - делювиальные образования и покровные суглинки четвертичного возраста. Основным фактором активизации опасного ЭГП послужили: метеорологический (атмосферные осадки), техногенный (необорудованный ливневый сток). Условием развития опасного ЭГП является наличие склона и размываемые породы.		
32.2022.0007	Центральный	Брянская область	Брянская область, Трубчевский район, г. Трубчевск, пер. Свердлова	52,5788	33,8031	52,57784	33,80295	31.08.22	31.08.22	Оп	Атм.	Не отмечалось	В Брянской области, в Трубчевском районе, г. Трубчевск, пер. Свердлова отмечалось смещение покровных переувлажненных отложений с бровки склона шириной 30 м, длиной 15 м, мощность 2 м. Процесс находится в стадии развития. Базис развития опасного ЭГП урез р. Десна. Состав горных пород, затронутых проявлением – лессовидные суглинки, четвертичного возраста. Параметры проявления опасного ЭГП: длина – 15 м, ширина – 30 м, площадь – 450 м², мощность – 2 м. Основным фактором активизации опасного ЭГП послужило интенсивное выпадение атмосферных осадков. Парагенетическая связь с другими процессами - овражная эрозия.		

1	2	3	4	5	6	7	8	9	10	11	12	13	14	15	16
44.2022.0003	Центральный	Костромская область	Костромская область, Кадыйский район, южная окраина с. Завражье, ул. Луговая, д. 59	57,4034	43,148	57,40236	43,14810	14.09.22	14.09.22	Оп	Атм.	Не отмечалось	В Костромской области, Кадыйском районе, южная окраина с. Завражье по ул. Луговая, д. 59 отмечалась активизация оползневого процесса. Зафиксировано смещение оползневого блока пород длинной 3 м, шириной 1 м, нависание бровки 1,5 м. Оползневой процесс находится в стадии развития, возраст проявления опасного ЭГП - современный. Параметры проявления опасного ЭГП: длина – 3 м, ширина – 40 м, площадь – 120 м², мощность 1 м, объем 120 м³. Комплексы горных пород, затронутые проявлением: пески, суглинки современные аллювиальные отложения. Основным фактором активизации опасного ЭГП послужили атмосферные осадки. Негативные воздействия не отмечались.		
44.2022.0004	Центральный	Костромская область	Костромская область, Красносельский район, 600 м на восток от с. Подольское	57,4896	41,3478	57,48860	41,34786	04.09.22	04.09.22	Оп	Атм.	Не отмечалось	В Костромской области Красносельском районе, 600 м на восток от с. Подольское отмечалась активизация оползневого процесса. Оползневой процесс находится в стадии развития. Параметры опасного ЭГП: длина – 7 м, ширина – 25 м, площадь – 175 м², мощность – 0,5 м, объем – 87,5 м³. Состав горных пород, затронутых проявлением: песок, суглинки. Комплексы горных пород, затронутые проявлением: pr QI-III, dp QIV. Базис развития опасного ЭГП: нижняя часть склона, урез р. Волга. Основным фактором активизации является атмосферные осадки. Негативные воздействия не отмечались.		
67.2022.0004	Центральный	Смоленская область	Смоленская область, г. Смоленск, ул. Шевченко	54,7785	32,0751	54,77760	32,07494	02.09.22	02.09.22	Оп	Атм.	Не отмечалось	В Смоленской области, г. Смоленск по ул. Шевченко отмечалась активизация оползневого процесса. Зафиксировано смещение оползневого блока пород длинной 80 м, шириной 4 м. Оползневой процесс находится в стадии развития. Состав горных пород, затронутых проявление пески, супеси, суглинки четвертичного возраста. Параметры проявления опасного ЭГП: длина – 180 м, ширина – 70 м, площадь – 12600 м². Базисом развития опасного ЭГП является первая надпойменная терраса р. Рачевка. Основными факторами активизации опасного ЭГП – атмосферные осадки. Имеется парагенетическая связь с процессом овражной эрозии. Негативные воздействия не отмечались.		
44.2022.0005	Центральный	Смоленская область	Смоленская область, Смоленский район, 600 м юго-западнее д. Дачная-2	54,7738	31,9047	54,77290	31,90454	30.08.22	30.08.22	Оп	Атм.	Не отмечалось	В Смоленской области Смоленском районе, 600 м юго-западнее д. Дачная-2 отмечалась активизация оползневого процесса. Зафиксировано смещение оползневого блока пород на протяжении 50 м, шириной 3 м. Оползневой процесс находится на стадии развития. Параметры опасного ЭГП: длина 50 м, ширина 12 м, площадь 600 м². Состав горных пород, затронутых проявлением: песок, супесь Комплексы горных пород, затронутые проявлением: верхнечетвертично-современный аллювиальный горизонт a III-IV, верхнемосковский ледниковый горизонт g II ms3. Базис развития опасного ЭГП: первая надпойменная терраса р. Днепр. Основным фактором активизации является атмосферные осадки. Негативные воздействия не отмечались.		

1	2	3	4	5	6	7	8	9	10	11	12	13	14	15	16
44.2022.0003	Центральный	Ярославская область	Ярославская область, Рыбинский район, с. Семеновское	58,034	38,9721	58,03306	38,97212	31.08.22	31.08.22	Оп	Атм.	Не отмечалось	Ярославская область, Рыбинский район, с. Семеновское отмечалась активизация оползневого процесса. Зафиксировано смещение оползневого блока пород шириной 20 м, длиной 12 м. Процесс находится в стадии развития. Базис развития опасного ЭГП - Горьковское водохранилище. Состав горных пород, затронутых проявлением – супеси и пески, четвертичного возраста. Параметры проявления опасного ЭГП: длина – 95 м, ширина – 12 м, площадь – 1140 м². Основным фактором активизации опасного ЭГП послужило интенсивное выпадение атмосферных осадков. Негативные воздействия не отмечались.		
23.2022.0163	Южный	Краснодарский край	Щербиновский район, в 2,0 км к востоку от х. Молчановка	46,87188	38,64332	46,87188	38,64332	00.00.22	00.08.22	Оп	Атм., гидрол..	Отмечалось	В Щербиновском районе, в 2 км востоку от х. Молчановка отмечалась активизация оползневого процесса на уступе южного побережья Таганрогского залива. Активность процесса находится в стадии затухания. Базис смещения – побережье залива. На протяжении 600 м наблюдался 1 оползневой очаг шириной 50 м и длиной 30 м (площадь 1500 м²). По рыхлым сместившимся грунтам заметна вторичная оползневая активность в виде оползня - оплывины. В оползание вовлечены плейстоценовые лессовидные суглинки. Большая часть циркообразного оползня задернована. Фактор активизации – атмосферные осадки и волновое воздействие Азовского моря. Происходит разрушение уступа и сокращение земель сельхоз назначения.		
23.2022.0164	Южный	Краснодарский край	Щербиновский район, 3 км к востоку-северо-востоку от х. Молчановка	46,87161	38,65832	46,87161	38,65832	00.00.22	00.08.22	Оп	Атм., гидрол..	Отмечалось	В Щербиновском районе, в 3 км востоку-северо-востоку от х. Молчановка отмечалась активизация оползневого процесса на уступе южного побережья Таганрогского залива. Процесс находится в стадии развития. Базис смещения – побережье залива. На отрезке уступа общей шириной около 1000 м выявлен активный оползневой очаг шириной 150 м, длиной 50 м (площадь проявления 7500 м²). В процесс оползания вовлечена вся поверхность оползня от стенки срыва до абразионного уступа. В теле оползня большое количество сошедших оползневых блоков разной степени денудации. Стенка срыва отвесная, оголенная высотой 4 м. Фактор активизации – атмосферные осадки и волновое воздействие Азовского моря. Происходит разрушение уступа и сокращение земель сельхоз назначения.		
23.2022.0165	Южный	Краснодарский край	Щербиновский район, в 0,3 км к северу от с.Глафировка	46,77294	38,40349	46,77294	38,40349	00.00.22	00.08.22	Оп	Атм., гидрол.	Отмечалось	В Щербиновском районе, в 0,3 км северу от с. Глафировка отмечалась активизация оползневого процесса на уступе побережья Таганрогского залива, высота уступа около 10 м. Процесс находится в стадии развития. Базис смещения – побережье залива. Наблюдается высокая степень активности ЭГП на протяжении 70 м. Высота стенки срыва 2-3 м. Вдоль уступа тянутся трещины отпора на расстоянии до 2 м от бровки уступа. Наиболее крупный оползневой блок имеет ширину 12 м, длину 3 м. Площадь активизации 2100 м² (ширина 70 м, длина 30 м). В оползание вовлечены плейстоценовые эолово-делювиальные лессовидные суглинки с горизонтами погребенных почв. Фактор активизации – атмосферные осадки и волновое воздействие Азовского моря. Активные процессы физического выветривания способствуют активности процессов ЭГП. Происходит разрушение уступа и сокращение земель сельхоз назначения.		

1	2	3	4	5	6	7	8	9	10	11	12	13	14	15	16
23.2022.0166	Южный	Краснодарский край	Щербиновский район, в 2,3 км к северу от с.Глафировка	46,79156	38,40902	46,79156	38,40902	00.00.22	00.08.22	Оп	Атм., гидрол..	Отмечалось	В Щербиновском районе, в 2,3 км северу от с. Глафировка отмечалась активизация оползневого процесса на уступе побережья Таганрогского залива, высота уступа около 10 м. Процесс находится в стадии развития. Базис смещения – побережье залива. На протяжении 200 м отмечается оползневая активность на 2-х участках, суммарной протяженностью 100 м. Оползни сомкнулись на флангах. Суммарная площадь оползней 1200 м² (ширина 100м, длина 12 м). Языковая часть оползней перекрывала пляж и выдвигалась в море. В оползание вовлечены плейстоценовые эолово-делювиальные лессовидные суглинки с горизонтами погребенных почв. Фактор активизации – атмосферные осадки и волновое воздействие Азовского моря. Активные процессы физического выветривания способствуют активности процессов ЭГП. Происходит разрушение уступа и сокращение земель сельхоз назначения.		
23.2022.0167	Южный	Краснодарский край	Щербиновский район, в 1,8 км к северу от с.Глафировка	46,78623	38,40745	46,78623	38,40745	00.00.22	00.08.22	Об	Атм., гидрол..	Отмечалось	В Щербиновском районе, в 1,8 км северу от с. Глафировка отмечалась активизация обвального процесса на уступе побережья Таганрогского залива, высота уступа около 10 м. Процесс находится в стадии развития. Базис смещения – побережье залива. На протяжении 1000 м отмечаются массовые обвалы, подножие уступа полностью перекрыто коллювием, размер обломков достигает 40 см. Суммарная площадь обвалов 5000 м² (ширина 1000 м, длина 5 м). Обвальные процессы развиваются на уступе, сложенном плейстоценовыми эолово-делювиальными лессовидными суглинками с горизонтами погребенных почв. Фактор активизации – атмосферные осадки и волновое воздействие Азовского моря. Активные процессы физического выветривания способствуют активности процессов ЭГП. Происходит разрушение уступа и сокращение земель сельхоз назначения		
23.2022.0168	Южный	Краснодарский край	Щербиновский район, в 5,4 км к северу от с.Глафировка	46,81698	38,41847	46,81698	38,41847	00.00.22	00.08.22	Об	Атм., гидрол..	Отмечалось	В Щербиновском районе, в 5,4 км северу от с. Глафировка отмечалась активизация обвального процесса на уступе побережья Таганрогского залива, высота уступа около 15 м. Процесс находится в стадии развития. Базис смещения – побережье залива. Высота уступа 15 м. На протяжении 1200 м наблюдаются массовые обвалы, подножие уступа перекрыто коллювием, размеры обломков до 10-15 см. Уступ не задернован, верхняя часть отвесная, в стенке срыва сформированы отдельности, готовые к обрушению. Суммарная площадь обвалов 9600 м² (ширина 1200 м, длина 8 м). Обвальные процессы развиваются на уступе, сложенном плейстоценовыми эолово-делювиальными лессовидными суглинками с горизонтами погребенных почв. Фактор активизации – атмосферные осадки и волновое воздействие Азовского моря. Активные процессы физического выветривания способствуют активности процессов ЭГП. Происходит разрушение уступа и сокращение земель сельхоз назначения		

1	2	3	4	5	6	7	8	9	10	11	12	13	14	15	16
23.2022.0169	Южный	Краснодарский край	Щербиновский район, в 3,4 км к юго-западу от с. Шабельское	46,82472	38,42360	46,82472	38,42360	00.00.22	00.08.22	Оп	Атм., гидрол..	Отмечалось	В Щербиновском районе, в 3,4 км к юго-западу от с. Шабельское активизировался оползневой массив на уступе побережья Таганрогского залива Азовского моря. Базис смещения – побережье залива. Высота уступа около 18 м, высота стенки срыва оползня 3-4 м. В подножие уступа отмечено скопление не разрушенных оползневых блоков, разбитых трещинами. Вдоль бровки стенки срыва - трещины отпора. Площадь оползневой активизации около14000 м² (ширина 700 м, длина 20 м). В оползание вовлечены плейстоценовые эолово-делювиальные лессовидные суглинки с горизонтами погребенных почв. Фактор активизации – атмосферные осадки и волновое воздействие Азовского моря. Активные процессы физического выветривания способствуют активности процессов ЭГП. Происходит разрушение уступа и сокращение земель сельхоз назначения		
23.2022.0170	Южный	Краснодарский край	Щербиновский район к юго-западу от с. Шабельское	46,84146	38,43859	46,84146	38,43859	00.00.22	00.08.22	Об	Атм., гидрол..	Отмечалось	В Щербиновском районе, к юго-западу от с. Шабельское отмечалась активизация обвального процесса на уступе побережья Таганрогского залива Азовского моря. Базис смещения – побережье залива. Высота уступа около 8-10 м. Высота уступа 8-10 м. Уступ обнаженный, в верхней части отвесный, подножие перекрыто коллювиальными отложениями. Размер обломков до 20 см, преимущественно менее 10 см. Суммарная площадь активных обвалов 8800 м² (ширина 2200 м, длина 4 м. Высокая степень активности обвальных процессов наблюдается в районе юго-западной окраины села Шабельское, пораженность уступа активными обвалами достигает 100%. Обвалы развиты по плейстоценовым эолово-делювиальным лессовидным суглинкам с горизонтами погребенных почв. Фактор активизации – атмосферные осадки и волновое воздействие Азовского моря. Активные процессы физического выветривания способствуют активности процессов ЭГП. Происходит разрушение земель населенного пункта и сокращение земель сельхоз назначения.		
23.2022.0171	Южный	Краснодарский край	Ейский район, в 0 – 6 км к востоку от ст-цы Должанской	46,63970	37,85657	46,63970	37,85657	00.00.22	00.08.22	Об	Атм., гидрол..	Отмечалось	В Ейском районе, на южном побережье Таганрогского залива, на отрезке 0-6 км к востоку от ст-цы Должанской отмечалась активизация обвального процесса. Процесс ЭГП в стадии развития. Базис смещения – побережье залива. Уступ отвесный, обнаженный субширотного простирания высотой от 6 до 12 м. Суммарная протяженность активных участков 1,8 км. На отдельных участках пляжевая полоса перекрыта коллювием. Поверхность стенки срыва подвержена процессам выветривания, отмечены трещины отпора вдоль бровки стенки срыва. Суммарная площадь активного проявления 9000 м² (ширина 1800 м, длина 5 м). Обвалы развиты по плейстоценовым эолово-делювиальным лессовидным суглинкам. Фактор активизации – атмосферные осадки и волновое воздействие Азовского моря. Активные процессы физического выветривания способствуют активности процессов ЭГП. Происходит разрушение уступа и сокращение земель сельхоз назначения.		

1	2	3	4	5	6	7	8	9	10	11	12	13	14	15	16
23.2022.0172	Южный	Краснодарский край	Ейский район, в 6-12 км к востоку от ст-цы Должанской	46,63347	37,91301	46,63347	37,91301	00.00.22	00.08.22	Об	Атм., гидрол..	Отмечалось	В Ейском районе, на южном побережье Таганрогского залива, на отрезке 6-12 км к востоку от ст-цы. Должанской отмечалась активизация обвального процесса. Процесс ЭГП в стадии развития. Базис смещения –побережье залива. Уступ отвесный, в верхней части обнаженный субширотного простирания высотой до 15 м. Суммарная протяженность активных участков 0,6 км. Поверхность стенки срыва подвержена процессам выветривания. Вдоль стенки срыва формируются пластинчатые отдельности. Суммарная площадь активного проявления 3000 м² (ширина 600 м, длина 5 м). Обвалы развиты по плейстоценовым эолово-делювиальным лессовидным суглинкам. Фактор активизации – атмосферные осадки и волновое воздействие Азовского моря. Происходит разрушение уступа и сокращение земель сельхоз назначения.		
23.2022.0173	Южный	Краснодарский край	Ейский район, 1,6 км к юго-западу от с. Воронцовка	46,64191	38,04643	46,64191	38,04643	00.00.22	00.08.22	Оп	Атм., гидрол..	Отмечалось	В Ейском районе, в 1,6 км к юго-западу от с. Воронцовка отмечалась активизация оползневого процесса. Процесс ЭГП в стадии развития. Базис смещения – побережье Таганрогского залива. На протяжении 150 м отмечены многочисленные оползневые блоки вдоль отвесной стенки срыва высотой около 3-4 м. Деляпсий повсеместно перекрывает пляжевую полосу и размывается волнами, процессы сопровождаются обвалами, сформированных в уступе пластинчатых и столбчатых отдельностей лессовых отложений. Площадь активного проявления 1500 м² (ширина 150 м, длина 10 м). Обвалы развиты по плейстоценовым эолово-делювиальным лессовидным суглинкам. Фактор активизации – атмосферные осадки и волновое воздействие Азовского моря. Происходит разрушение уступа и сокращение земель сельхоз назначения.		
23.2022.0174	Южный	Краснодарский край	Ейский район, северо-восточная окраина с. Воронцовка	46,66879	38,09777	46,66879	38,09777	00.00.22	00.08.22	Об	Атм., гидрол..	Отмечалось	В Ейском районе, на северо-восточной окраине с. Воронцовка отмечалась активизация обвального процесса на уступе высотой 18 м на протяжении 1,4 км. Процесс в стадии развития. Базис смещения – побережье Таганрогского залива. Уступ отвесный в верхней части, оголенный. Коллювий размывается волнами залива. Поверхность стенки срыва уступа подвержена процессам выветривания, в стенке срыва сформированы пластинчатые отдельности. Суммарная площадь активного проявления 4000 м² (ширина 500 м, длина 8 м). Обвалы развиты по плейстоценовым эолово-делювиальным лессовидным суглинкам. Фактор активизации – атмосферные осадки и волновое воздействие Азовского моря. Происходит разрушение уступа и сокращение земель сельхоз назначения.		
23.2022.0175	Южный	Краснодарский край	Ейский район, в 1 км к северо-востоку от с. Воронцовка	46,67445	38,10638	46,67445	38,10638	00.00.22	00.08.22	Оп	Атм., гидрол..	Отмечалось	В Ейском районе, в 1 км к северо-востоку от с. Воронцовка отмечалась активизация оползневого процесса на уступе Таганрогского залива Азовского моря. Процесс в стадии развития. Базис смещения – побережье залива. южного побережья Таганрогского залива. На протяжении 400 м в стенке-срыва морского уступа наблюдаются процессы оползания блоков лессовидных суглинков. Размеры блоков до 1,2 м высотой. Деляпсий на отдельных участках перекрывает пляжевую полосу. Площадь активного проявления 4000 м² (ширина 400 м, длина 10 м). В оползание вовлечены плейстоценовые эолово-делювиальным лессовидные суглинки. Фактор активизации – атмосферные осадки и волновое воздействие Азовского моря. Происходит разрушение уступа и сокращение земель сельхоз назначения.		

1	2	3	4	5	6	7	8	9	10	11	12	13	14	15	16
23.2022.0176	Южный	Краснодарский край	Ейский район, 800 м к западу от х. Морского	46,69671	38,18172	46,69671	38,18172	00.00.22	00.08.22	Оп	Атм., гидрол..	Отмечалось	В Ейском районе, в 0,8 км к западу от х. Морского отмечалась активизация оползневого процесса на уступе Таганрогского залива Азовского моря. Процесс в стадии развития. Базис смещения – побережье залива. южного побережья Таганрогского залива. южного побережья Таганрогского залива. На протяжении 500 м вдоль берегового уступа наблюдаются оползневые процессы со стенкой срыва высотой 3-4 м. Крупные оползневые блоки на отдельных участках перекрывают пляж и выдвигаются языковой частью в море. Оползневые процессы сопровождаются обвалами отдельностей, сформированных в стенке срыва. Площадь активного проявления 5000 м² (ширина 500 м, длина 10 м). В оползание вовлечены плейстоценовые эолово-делювиальным лессовидные суглинки. Фактор активизации – атмосферные осадки и волновое воздействие Азовского моря. Происходит разрушение уступа и сокращение земель сельхоз назначения.		
23.2022.0177	Южный	Краснодарский край	Ейский район, в 1,7 км к северо-западу от ст-цы Камышеватской	46,41849	37,90479	46,41849	37,90479	00.00.22	00.08.22	Об	Атм., гидрол..	Отмечалось	В Ейском районе, в 1,7 км к северо-западу от с. Камышеватской отмечалась активизация обвального процесса на побережье Азовского моря. Процессы в стадии развития. Базис смещения – берег Азовского моря. Высота уступа 10-12 м. У подножия уступа скопление малообъемных коллювиальных отложений, размер обломков менее 10 см, преимущественно. Вдоль бровки уступа большое количество трещин закола, в стенке срыва под действием выветривания формируются пластинчатые отдельности. Суммарная площадь активных обвалов 11000 м² (ширина 2200 м, длина 5 м). В обвалы вовлечены плейстоценовые эолово-делювиальным лессовидные суглинки. Фактор активизации – атмосферные осадки и волновое воздействие Азовского моря. Происходит разрушение уступа и сокращение земель сельхоз назначения.		
23.2022.0178	Южный	Краснодарский край	Ейский район, в 3,9 км к северо-западу от х. Шиловка	46,34916	38,18498	46,34916	38,18498	00.00.22	00.08.22	Об	Атм., гидрол..	Отмечалось	В Ейском районе, в 3,9 км к северо-западу от х. Шиловка отмечалась активизация обвального процесса на побережье Ясенского залива Азовского моря. Процессы в стадии развития. Базис смещения – берег Азовского моря. Высота уступа 10-14 м, отвесный, обнаженный, Отмечена высокая активность обвальных процессов, у подножия уступа множественные обвалы, зачастую смыкающиеся по флангам. Почти на всем протяжении обвалы перекрывают пляжевую полосу. Размер обломков не более 20-30 см, в среднем около 15 см. Суммарная площадь активных обвалов 24500 м² (ширина 3500 м, длина 7 м.) В обвалы вовлечены плейстоценовые эолово-делювиальным лессовидные суглинки. Фактор активизации – атмосферные осадки и волновое воздействие Азовского моря. Происходит разрушение уступа и сокращение земель сельхоз назначения.		
23.2022.0179	Южный	Краснодарский край	Ейский район, в 6,5 км к юго-востоку от ст-цы Камышеватской	46,39073	38,11418	46,39073	38,11418	00.00.22	00.08.22	Об	Атм., гидрол..	Отмечалось	В Ейском районе, в 6,5 км к юго-востоку от ст-цы Камышеватской отмечалась активизация обвального процесса на побережье Ясенского залива Азовского моря. Процесс в стадии развития. Базис смещения – берег Азовского моря. Высота уступа 17 м, отвесный, обнаженный, у подножия множественные скопление обломочного материала размером до 20-30 см в поперечнике. Пляжевая полоса шириной 1-2 м. Коллювий активно размывается водами залива. Оголенная поверхность стенки срыва подвержена процессам выветривания, в стенке срыва формируются отдельности, активны процессы обваливания и осыпания. Суммарная площадь активных обвалов 28 000 м² (ширина 4000 м, длина 7 м). В обвалы вовлечены плейстоценовые эолово-делювиальным лессовидные суглинки. Фактор активизации – атмосферные осадки и волновое воздействие Азовского моря. Происходит разрушение уступа и сокращение земель сельхозназначения.		

1	2	3	4	5	6	7	8	9	10	11	12	13	14	15	16
23.2022.0180	Южный	Краснодарский край	Ейский район, в 5 км к юго-востоку от ст-цы Камышеватской	46,40295	38,06438	46,40295	38,06438	00.00.22	00.08.22	Об	Атм., гидрол..	Отмечалось	В Ейском районе, в 5 км к юго-востоку от ст-цы Камышеватской отмечалась активизация обвального процесса на побережье Ясенского залива Азовского моря. Процессы в стадии развития. Базис смещения – берег Азовского моря. Высота уступа около 12 м, стенка срыва не задернована, верхняя часть уступа отвесная, нижние 2/3 высоты уступа перекрыты шлейфом коллювиальных и частично деляпсивных отложений. Отдельные обвалы сливаются по флангам в единое обвально-оползневое поле (преимущественно обвальное). Размеры обломков до 20 см. В стенке срыва оформились отдельности. Суммарная площадь активных обвалов 31500 м² (ширина 4500 м, длина 7 м). В обвалы вовлечены плейстоценовые эолово-делювиальным лессовидные суглинки. Фактор активизации – атмосферные осадки и волновое воздействие Азовского моря. Происходит разрушение уступа и сокращение земель сельхоз назначения.		
23.2022.0181	Южный	Краснодарский край	Приморско-Ахтарский район, в 2 км к юго-западу от х. Морозовского	46,13163	38,20643	46,13163	38,20643	00.00.22	00.08.22	Об	Атм., гидрол..	Отмечалось	В Приморско-Ахтарском районе, в 2 км к юго-западу от х. Морозовского отмечалась активизация обвального процесса на побережье Ясенского залива Азовского моря. Процессы в стадии затухания. Базис смещения – берег Азовского моря. Высота уступа около 5 м, стенка срыва отвесная, обнаженная, в нижней части уступа – волноприбойные ниши. Уступ сложен плейстоценовыми суглинками и глинами. На отрезке уступа протяженностью 1800 м отмечено 9 обвалов объемами от 3 до 10 м³. Суммарная площадь обвалов 270 м² (ширина 90 м, длина 3 м). В обвалы вовлечены плейстоценовые суглинки и глины. Фактор активизации – атмосферные осадки и волновое воздействие Азовского моря. Происходит разрушение уступа и сокращение земель сельхоз назначения.		
23.2022.0182	Южный	Краснодарский край	Приморско-Ахтарский район, в 4,5 км к востоку от х. Томаровского	46,04574	38,45375	46,04574	38,45375	00.00.22	00.08.22	Об	Атм.	Отмечалось	В Приморско-Ахтарском районе, в 4,5 км к востоку от х. Томаровского отмечалась активизация обвального процесса на побережье Бейсугского залива Азовского моря. Процессы в стадии развития. Базис смещения – берег Азовского моря. Активный обвальный уступ высотой 6-8 м, в уступе обнажаются плейстоценовые суглинки и глины. Вдоль стенки срыва множество обвалов объемом 5-8 м³. На всем протяжении уступ отвесный, обнаженный, вдоль бровки стенки срыва – трещины отпора. Суммарная площадь обвалов 6000 м² (ширина 1500 м, длина 4 м). В обвалы вовлечены плейстоценовые суглинки и глины. Фактор активизации – атмосферные осадки и волновое воздействие Азовского моря. Происходит разрушение уступа и сокращение земель сельхоз назначения.		
23.2022.0183	Южный	Краснодарский край	Темрюкский район, ст-ца Голубицкая	45,33012	37,25548	45,33012	37,25548	00.00.22	00.08.22	Оп	Атм.	Отмечалось	В Темрюкском районе, в ст-це Голубицкой, на побережье Темрюкского залива Азовского моря отмечалась активизация оползневого процесса. Оползень блоково-консистентный, высота стенки срыва 0,8 м. Базис оползания – подножие уступа. Стадия развития оползня – затухание. В оползание вовлечены пески, супеси, суглинки, деляпсий разрыхлен и разжижен. Площадь активного проявления 1000 м² (ширина 20 м, длина 50 м). Фактор активизации – атмосферные осадки. Под воздействием ЭГП находятся земли населенного пункта.		

1	2	3	4	5	6	7	8	9	10	11	12	13	14	15	16
23.2022.0184	Южный	Краснодарский край	Темрюкский район, в 1,0 км к западу от ст-цы Голубицкой	45,33153	37,22520	45,33153	37,22520	00.00.22	00.08.22	Оп	Атм.	Не отмечалось	В Темрюкском районе, в 1 км к западу от ст-цы Голубицкой, на побережье Темрюкского залива Азовского моря отмечалась активизация оползневого процесса. Оползень блоковый, высота стенки срыва 2,5 м. Базис оползания – берег Азовского моря. Стадия развития оползня – затухание. Вдоль уступа отмечено отседание ряда оползневых блоков шириной до 12 м. Площадь активного оползневого участка 8400 м² (ширина 120 м, длина 70 м). В оползание вовлечены плейстоценовые супеси, суглинки, глины и миоцен-плиоценовые ракушники и песчаники. Фактор активизации – атмосферные осадки. Воздействие на земли и хоз. объекты не выявлено.		
23.2022.0185	Южный	Краснодарский край	Темрюкский район, северная окраина п. Пересыпь	45,35667	37,10519	45,35667	37,10519	00.00.22	00.08.22	Оп	Атм.	Не отмечалось	В Темрюкском районе, на северной окраине п. Пересыпь, на побережье Темрюкского залива Азовского моря отмечалась активизация оползневого процесса. Оползень блоковый, находится в стадии затухания активных процессов. Высота стенки срыва 3-4 м. Базис оползания – берег Азовского моря. В головной и средней части оползневого тела оползень представлен серией оползневых ступеней, ниже по склону деляпсий. Площадь активного оползневого участка 3600 м² (ширина 30 м, длина 120 м). В оползание вовлечены плейстоценовые супеси, суглинки, глины и миоцен-плиоценовые ракушники и песчаники. Фактор активизации – атмосферные осадки. Воздействие на земли и хоз. объекты не выявлено.		
23.2022.0186	Южный	Краснодарский край	Темрюкский район, западная окраина от п. За Родину	45,36195	37,08143	45,36195	37,08143	00.00.22	00.08.22	Оп	Атм.	Отмечалось	В Темрюкском районе, на западной окраине п. За Родину, на побережье Темрюкского залива Азовского моря отмечалась активизация оползневого процесса. Оползень блоково-консистентный, вторичная активизация в контурах старого оползня, находится в стадии затухания активных процессов. Высота стенки срыва 1,5 м. Базис оползания – берег Азовского моря. Тело оползня на 60% задернование. Площадь активного оползневого участка 800 м² (ширина 20 м, длина 40 м). В оползание вовлечены плейстоценовые супеси, суглинки, глины и миоцен-плиоценовые ракушники и песчаники. Фактор активизации – атмосферные осадки. Под воздействием ЭГП находятся земли населенного пункта.		
23.2022.0187	Южный	Краснодарский край	Темрюкский район, 4,5 км к юго-востоку от п. Кучугуры	45,37554	37,03773	45,37554	37,03773	00.00.22	00.08.22	Оп	Атм.	Не отмечалось	В Темрюкском районе, в 4,5 км к юго-востоку от п. Кучугуры отмечалась активизация оползневого процесса на обширном старом оползневом массиве фронтального типа протяженностью 900 м. Активизация прошла на его левом фланге, на протяжении 350 м. Высота стенки срыва 3 м, отвесная, оголенная. Стадия развития – затухание активных процессов. Базис оползания – берег Азовского моря. Вдоль подошвы стенки срыва большое количество отсевших оползневых блоков, деляпсий. разрыхляется и в виде оползня-потока перемещается вдоль уступа на расстоянии 40 м от его подошвы. Площадь активного оползневого участка 10500 м² (ширина 350 м, длина 30 м). В оползание вовлечены плейстоценовые супеси, суглинки, глины и миоцен-плиоценовые ракушники и песчаники. Фактор активизации – атмосферные осадки. Воздействие на земли и хоз. объекты не выявлено.		

1	2	3	4	5	6	7	8	9	10	11	12	13	14	15	16
23.2022.0188	Южный	Краснодарский край	Темрюкский район, в 3,6 км к северо-западу от п. Кучугуры	45,43373	36,90588	45,43373	36,90588	00.00.22	00.08.22	Оп	Атм.	Не отмечалось	В Темрюкском районе, в 3,6 км к северо-западу от п. Кучугуры отмечалась активизация оползневого процесса на месте развивавшейся ранее промоины. Образовался оползневой цирк со стенкой срыва высотой 2,5 м, стенка срыва второй оползневой ступени - 3 м. Находится в стадии затухания активных процессов. Базис оползания – берег Азовского моря. Площадь участка активизации 3200 м² (ширина 40 м, длина 80 м). В оползание вовлечены плейстоценовые супеси, суглинки, глины и миоценовые ракушники и песчаники. Фактор активизации – атмосферные осадки. Воздействие на земли и хоз. объекты не выявлено.		
23.2022.0189	Южный	Краснодарский край	Темрюкский район, в 3,7 км к востоку от п. Приазовский	45,43604	36,89663	45,43604	36,89663	00.00.22	00.08.22	Оп	Атм.	Не отмечалось	В Темрюкском районе, в 3,7 км к востоку от п. Приазовский на древнем циркообразном оползне площадью более 20000 м² со стенкой срыва 3 м, отмечалась активизация оползневого процесса. Оползень блоковый, находится в стадии затухания активных процессов. В теле оползня наблюдаются оползневые блоки, сошедшие в предыдущие периоды активности. Современная активность – образование вторичных стенок срыва по старым блокам. Базис оползания – берег Азовского моря. Площадь современной активизации 4900 м² (ширина 70 м, длина 70 м). В оползание вовлечены плейстоценовые супеси, суглинки, глины и миоцен-плиоценовые ракушники и песчаники. Фактор активизации – атмосферные осадки. Воздействие на земли и хоз. объекты не выявлено.		
23.2022.0190	Южный	Краснодарский край	Темрюкский район, в 2,4 км к востоку от п. Приазовский	45,43943	36,87964	45,43943	36,87964	00.00.22	00.08.22	Оп	Атм.	Не отмечалось	В Темрюкском районе, в 2,4 км к востоку от п. Приазовский на побережье Азовского моря отмечалась активизация оползневого процесса на древнеоползневом склоне. Оползень блоково-консистентный, находится в стадии затухания активных процессов. Стенка срыва оползня высотой 1,5 м, вдоль бровки стенки срыва трещины отпора на расстоянии 0,5 м. Правый фланг оползня ограничен плотными коренными породами. Базис оползания – берег Азовского моря. Деляпсий разрыхлен и смещен вниз по склону. Площадь активизации 7700 м² (ширина 110 м, длина 70 м). В оползание вовлечены плейстоценовые супеси, суглинки, глины и миоцен-плиоценовые ракушники и песчаники. Фактор активизации – атмосферные осадки. Воздействие на земли и хоз. объекты не выявлено.		
23.2022.0191	Южный	Краснодарский край	Темрюкский район, в 1,7 км к востоку от п. Приазовский	45,44096	36,87145	45,44096	36,87145	00.00.22	00.08.22	Оп	Атм.	Не отмечалось	В Темрюкском районе, в 1,7 км к востоку от п. Приазовский на побережье Азовского моря отмечалась активизация оползневого процесса на древнем оползневом склоне в границах циркообразного оползня шириной 120 м, длиной 350 м. Оползень блоково-консистентный, 2-х головой конфигурации, стенка срыва оползня высотой 2,5-3 м, находится в стадии развития оползневых процессов. В головной части оползень формируется как блоковый, ниже деляпсий разрыхляется и перемещается вниз по склону. Площадь активизации 7500 м² (ширина 50 м, длина 150 м). В оползание вовлечены плейстоценовые супеси, суглинки, глины и миоцен-плиоценовые ракушники и песчаники. Фактор активизации – атмосферные осадки. Воздействие на земли и хоз. объекты не выявлено.		

1	2	3	4	5	6	7	8	9	10	11	12	13	14	15	16
23.2022.0192	Южный	Краснодарский край	Темрюкский район, в 0,5 км к северу от п. Приазовского	45,44617	36,82682	45,44617	36,82682	00.00.22	00.08.22	Оп	Атм.	Не отмечалось	В Темрюкском районе, в 0,5 км к северу от п. Приазовский на западном склоне мыса Ахиллеон, на древнеоползневом склоне отмечалась активизация оползневого процесса. Оползень блоково-консистентный в стадии развития активных процессов. Базис оползания – берег Азовского моря. Деляпсий разрыхлен, частично разжижен и в виде оползня - потока смещается вниз по склону. Площадь активизации 14000 м² (ширина 140 м, длина 100 м). В оползание вовлечены плейстоценовые супеси, суглинки, глины и миоцен-плиоценовые ракушники и песчаники. Фактор активизации – атмосферные осадки. Воздействие на земли и хоз. объекты не выявлено.		
23.2022.0193	Южный	Краснодарский край	Темрюкский район, северо-западная окраина п. Тамань	45,22106	36,69806	45,22106	36,69806	00.00.22	00.08.22	Оп	Атм.	Не отмечалось	В Темрюкском районе, на северо-западной окраине ст-цы Тамань отмечалась активизация оползневого процесса на отрезке морского уступа в районе комплекса «Атаманъ». Оползень блоковый, в стадии развития. Базис оползания – берег Азовского моря. Высота стенки срыва оползня 5 м, стенка срыва оголенная, отвесная, сложена горизонтально залегающими супесями, суглинками, глинами. Деляпсий разрыхлен и заполняет всю площадь до уреза моря, в языковой части уплотнен и разбит трещинами шириной до 0,5 м. Площадь активного проявления 1200 м² (ширина 20 м, длина 60 м). В оползание вовлечены плейстоценовые супеси, суглинки, глины и миоцен-плиоценовые ракушники и песчаники. Фактор активизации – атмосферные осадки. Воздействие на земли и хоз. объекты не выявлено.		
23.2022.0194	Южный	Краснодарский край	Темрюкский район, северо-западная окраина п. Тамань	45,22106	36,69718	45,22106	36,69718	00.00.22	00.08.22	Оп	Атм.	Не отмечалось	В Темрюкском районе, на северо-западной окраине ст-цы Тамань отмечалась активизация оползневого процесса на отрезке морского уступа в районе затухания. Базис оползания – берег Азовского моря. За несколько последних лет наблюдений зафиксирована периодическая активизация оползневых массивов в районе комплекса «Атаманъ». Оползневые массы разрыхлены и увлажнены. Высота стенки срыва в головной части до 3 м, вниз по склону высота стенок срыва уменьшается. Площадь активного проявления 1400 м² (ширина 20 м, длина 70 м). В оползание вовлечены плейстоценовые супеси, суглинки, глины и миоцен-плиоценовые ракушники и песчаники. Фактор активизации – атмосферные осадки. Воздействие на земли и хоз. объекты не выявлено.		
23.2022.0195	Южный	Краснодарский край	Темрюкский район, в 1,7 км к северо-западу от п. Тамань	45,22411	36,67815	45,22410	36,67814	00.00.22	00.08.22	Оп	Атм.	Не отмечалось	В Темрюкском районе, в 1,7 км к северо-западу от п. Тамань отмечалась активизация оползневого процесса на древнем оползневом склоне на южном берегу Таманского залива. Рельеф склона холмистый, западинный, эрозионно-расчлененный. Зафиксировано 2 небольших блоково-консистентных оползня суммарной площадью активизации 250 м², ширина оползней 15 м и 20 м, длина 6 м и 8 м соответственно. В оползание вовлечены плейстоценовые супеси, суглинки. Фактор активизации – атмосферные осадки. Воздействие на земли и хоз. объекты не выявлено.		
23.2022.0196	Южный	Краснодарский край	Темрюкский район, в 4,0 км к западу от п. Тамань	45,21702	36,64235	45,21702	36,64235	00.00.22	00.08.22	Оп	Атм.	Не отмечалось	В Темрюкском районе, в 4,0 км к западу от п. Тамань отмечалась активизация оползневого процесса на древне-оползневом склоне на южном берегу Таманского залива. Оползень блоково-консистентный, в стадии затухания. Базис оползания побережье Таманского залива Азовского моря. Суммарная площадь активизации 3000 м², (ширина 100 м, длина 30 м). В оползание вовлечены плейстоценовые пески, супеси, суглинки. Фактор активизации – атмосферные осадки. Под воздействием ЭГП находятся земли населенного пункта.		

1	2	3	4	5	6	7	8	9	10	11	12	13	14	15	16
23.2022.0197	Южный	Краснодарский край	Темрюкский район, в 2 км к югу от мыса Тузла	45,18211	36,61444	45,18211	36,61444	00.00.22	00.08.22	Оп	Атм.	Не отмечалось	В Темрюкском районе, в 2 км к югу от мыса Тузла на берегу Керченского пролива отмечалась активизация оползневого процесса. Оползень блоково-консистентный, в стадии затухания. Оползень активизировался в границах старого циркообразного оползня шириной 70 м. Высота берега около 10 м. Базис оползания – берег Керченского пролива. Площадь активизации 450 м² (ширина15 м, длина 30 м). Деляпсий перекрыл пляжевую полосу и выдвинулся в море. Языковая часть оползня разрыхлена, в верхней части сохраняются оползневые ступени. Вдоль бровки стенки срыва много суффозионных воронок. Фактор активизации – атмосферные осадки. Воздействие на населенные пункты и хозяйственные объекты не выявлено		
23.2022.0198	Южный	Краснодарский край	Темрюкский район, в 1,5 км к юго-востоку от п.Волна, мыс Железный Рог	45,11030	36,73907	45,11030	36,73907	00.00.22	00.08.22	Оп	Атм.	Не отмечалось	В Темрюкском районе, в 1,5 км к юго-востоку от п. Волна, в районе мыса Железный Рог отмечалась активизация оползневого процесса (обновляются стенки срыва сошедших ранее блоков). Вдоль бровки основной стенки срыва наблюдаются трещины отпора на расстоянии до 1 м от бровки. С 2021 года стенка срыва отступила на 0,4 м. Суммарная площадь вторичной активизации 10000 м² (ширина 200 м, длина 50 м). Базис оползания – берег Черного моря. Стадия развития оползня – затухание. В оползание вовлечены миоцен-плиоценовые пески, глины, ракушники, песчаники, прослои известняков, мергелей. Фактор активизации – атмосферные осадки. В 10 м от бровки стенки срыва находится маяк		
23.2022.0199	Южный	Краснодарский край	Темрюкский район, в 0,25 км к юго-востоку от п. Волна	45,11856	36,72152	45,11856	36,72152	00.00.22	00.08.22	Об	Атм.	Не отмечалось	В Темрюкском районе, на южной окраине п. Волна на крупном оползневом массиве вдоль берегового уступа Черного моря отмечалась активизация обвального процесса. Площадь участка активизации – 2000 м² (ширина 20 м, длина 10 м). В уступе обнажается переслаивание тонкослоистых горизонтально залегающих осадочных пород, перекрытых четвертичными суглинками. Фактор активизации – атмосферные осадки. Воздействие на населенные пункты и хозяйственные объекты не выявлено		
23.2022.0200	Южный	Краснодарский край	Темрюкский район, южная окраина п. Волна	45,12030	36,71691	45,12030	36,71691	00.00.22	00.08.22	Оп	Атм.	Отмечалось	В Темрюкском районе, на южной окраине п. Волна на крупном оползневом массиве вдоль берегового уступа Черного моря отмечалась активизация оползневого процесса. Оползень блоковый, вдоль стенки срыва продолжается отседание крупных блоков, в теле оползня разрушаются блоки, сошедшие в прежние циклы оползневой активности. Суммарная площадь активизации 25000 м² (ширина 500 м, длина 50 м). Базис оползания – берег Черного моря. В оползание вовлечены миоцен-плиоценовые пески, глины, ракушники, песчаники, прослои известняков, мергелей. Фактор активизации – атмосферные осадки и волновое воздействие моря. Под воздействием ЭГП находятся земли населенного пункта.		
23.2022.0201	Южный	Краснодарский край	Темрюкский район, в 1,5 км к западу от п. Веселовка	45,11516	36,85346	45,11516	36,85346	00.00.22	00.08.22	Оп	Атм.	Не отмечалось	В Темрюкском районе, в 1,5 км к западу от п. Веселовка отмечалась активизация оползневого процесса на древнеоползневом склоне. Оползень блоковый в стадии развития. Базис оползания берег Черного моря. Высота стенки срыва оползня 3-4 м, в теле оползня множество оползневых блоков в стадии разрушения и вновь образовавшихся. Языковая часть оползня перекрыла пляжевую полосу и выдается в море. Площадь активного оползня 9000 м² (ширина 100 м, длина 90 м). В оползание вовлечены миоцен-плиоценовые пески, глины, ракушники, песчаники, прослои известняков, мергелей. Фактор активизации – атмосферные осадки. Воздействие на населенные пункты и хозяйственные объекты не выявлено		

1	2	3	4	5	6	7	8	9	10	11	12	13	14	15	16
23.2022.0202	Южный	Краснодарский край	Темрюкский район, в 1,5 км к югу от п. Артющенко	45,11895	36,81669	45,11895	36,81669	00.00.22	00.08.22	Оп	Атм.	Не отмечалось	В Темрюкском районе, в 1,5 км к югу от п. Артющенко отмечалась активизация оползневого процесса на участке уступа Черноморского побережья. Оползень блоково-консистентный, в стадии развития. Базис оползания берег Черного моря. Высота стенки срыва оползня 3 м, вдоль стенки срыва отмечены активные обвальные процессы, коллювий, накапливаясь у подножия оползает вниз по склону, базис оползания – берег Черного моря. Площадь активного оползня 4200 м² (ширина 60 м, длина 70 м). В оползание вовлечены миоцен-плиоценовые пески, глины, ракушники, песчаники, прослои известняков, мергелей. Фактор активизации – атмосферные осадки. Воздействие на населенные пункты и хозяйственные объекты не выявлено		
23.2022.0203	Южный	Краснодарский край	Темрюкский район, в 1,7 км к юго-западу от п. Артющенко	45,11932	36,80065	45,11932	36,80065	00.00.22	00.08.22	Оп	Атм.	Не отмечалось	В Темрюкском районе, в 1,7 км к юго-западу от п. Артющенко отмечалась активизация оползневого процесса на древнеоползневом склоне. Оползень блоково-консистентный в стадии затухания. Базис оползания берег Черного моря. Языковая часть оползня перекрыла пляжевую полосу и выдается в море. Площадь активного оползня 4000 м² (ширина 50 м, длина 80 м). В оползание вовлечены плейстоценовые суглинки, глины с дресвой и щебнем. Фактор активизации – атмосферные осадки. Воздействие на населенные пункты и хозяйственные объекты не выявлено		
23.2022.0204	Южный	Краснодарский край	Темрюкский район, в 1,8 км к юго-западу от п. Артющенко	45,11918	36,79855	45,11918	36,79855	00.00.22	00.08.22	Оп	Атм.	Не отмечалось	В Темрюкском районе, в 1,8 км к юго-западу от п. Артющенко отмечалась активизация оползневого процесса на участке уступа Черноморского побережья. Оползень скольжения, в стадии развития. Базис оползания берег Черного моря. Перемещение деляпсия происходит по плотному глинистому слою, бронирующему склон. Деляпсий разрыхлен. Площадь активного оползня 4800 м² (ширина 60 м, длина 80 м). В оползание вовлечены плейстоценовые суглинки, глины с дресвой и щебнем. Фактор активизации – атмосферные осадки. Воздействие на населенные пункты и хозяйственные объекты не выявлено		
23.2022.0205	Южный	Краснодарский край	Темрюкский район, в 2,2 км к югу от п. Таманского	45,11737	36,78230	45,11737	36,78230	00.00.22	00.08.22	Оп	Атм.	Не отмечалось	В Темрюкском районе, в 2,2 км к югу от п. Таманский отмечалась активизация оползневого процесса на древнеоползневом склоне черноморского побережья. Оползень блоково-консистентный в стадии развития. Базис оползания – берег Черного моря. В головной части оползня серия трещин отпора выше бровки стенки срыва. Деляпсий разрыхлен и частично разжижен, потоками перемещается вниз по склону по эрозионным врезам. В оползание вовлечены как четвертичные суглинки, так и коренные породы, представленные выветрелыми аргиллитами. Площадь активного оползня 54000 м² (ширина 300 м, длина 180 м). Воздействие на населенные пункты и хозяйственные объекты не выявлено.		
23.2022.0206	Южный	Краснодарский край	Темрюкский район, в 2,6 км к юго-западу от п. Таманского	45,11610	36,76795	45,11610	36,76795	00.00.22	00.08.22	Оп	Атм.	Не отмечалось	В Темрюкском районе, в 2,6 км к юго-западу от п. Таманский отмечалась активизация оползневого процесса на уступе Черноморского побережья. Оползень течения в стадии затухания. Базис оползания берег Черного моря. Оползень медленно перемещает рыхлые делювиальные отложения, накопленные в днищах эрозионных врезов. Перемещение отложений происходит по напластованию плотных коренных пород. Площадь оползня 8000 м² (ширина 80 м, длина 100 м). В оползание вовлечены плейстоценовые суглинки, глины с дресвой и щебнем. Фактор активизации – атмосферные осадки. Воздействие на населенные пункты и хозяйственные объекты не выявлено		

1	2	3	4	5	6	7	8	9	10	11	12	13	14	15	16
23.2022.0207	Южный	Краснодарский край	Абинский район, южная окраина ст-цы Холмской	44,83309	38,38885	44,83309	38,38885	00.00.22	00.08.22	Оп	Атм., гидролог.	Не отмечалось	В Абинском районе, на южной окраине ст-цы Холмской на правом берегу р. Хабль отмечалась активизация оползневого процесса. Оползневой процесс в стадии затухания. Базис оползания русло р. Хабль. Площадь проявления 200 м² (ширина 20 м, длина 10 м). Оползень блоковый, в оползание вовлечены плейстоценовые лессовидные суглинки. Уступ высотой около 10 м, в верхней части отвесный, оголенный, нижние 2/3 уступа перекрыты деляпсием частично задернованы. У подножия уступа отмечены оползневые блоки в стадии разрушения, сползшие деревья. Активность в границах обвально-оползневого участка наблюдается в периоды повышенного количества осадков и повышенных расходов р. Хабль. Воздействие на населенные пункты и хозяйственные объекты не выявлено		
23.2022.0208	Южный	Краснодарский край	МО г.Геленджик, в 1,5 км к северо-западу от с. Михайловский перевал	44,52745	38,28776	44,52745	38,28776	00.00.22	00.07.22	Оп	Атм.	Не отмечалось	В муниципальном образовании г. Геленджик в 1,5 км к северо-западу от с. Михайловский перевал отмечалась активизация оползневого процесса в верховом откосе автодороги М4 «Дон». Оползневой процесс в стадии затухания. Базис оползания - полка автодороги М4 «Дон». Площадь проявления 150 м² (ширина 10 м, длина 15 м, высота стенки срыва 0,7 м). Оползень блоковый, в оползание вовлечены четвертичные коллювиально-делювиальные суглинки с дресвой и щебнем коренных пород. На протяжении 60 м на откосе имеются признаки периодической оползневой активизации (слабая задернованность, откоса, поверхность осложнена эрозионными врезами, у подножия склона накопления делювия, остатки разрушенных оползневых блоков. Фактором оползневой активности является повышенное количество осадков и переувлажнение склона. Воздействие на населенные пункты и хозяйственные объекты не выявлено		
23.2022.0209	Южный	Краснодарский край	МО г. Горячий Ключ, северная окраина ст-цы Бакинской	44,77192	39,28900	44,77192	39,28900	00.00.22	00.07.22	Оп	Атм., гидролог.	Не отмечалось	На северной окраине ст-цы Бакинской на уступе 1 надпойменной террасы р. Псекупс отмечалась активизация оползневого процесса на площади 450 м² (ширина 30 м, длина 15 м). Оползень блоковый, в стадии затухания. Базис оползание русло р. Псекупс. Оползневые блоки шириной до 2 м каскадно перемещаются вниз по склону. На момент обследования тело оползня на 50% задерновано травянистой растительностью. В оползание вовлечены плейстоценовые суглинки с включением дресвы и щебня. Фактором оползневой активности является повышенное количество осадков и боковая эрозия реки. Воздействие на населенные пункты и хозяйственные объекты не выявлено		
23.2022.0210	Южный	Краснодарский край	МО г. Горячий Ключ, в 2,8 км к северо-западу от с. Безымянное	44,56735	39,08779	44,56735	39,08779	00.00.22	00.07.22	Оп	Атм., гидролог.	Отмечалось	В 2,8 км к северо-западу от с. Безымянного в нижней части склона вдоль левого берега р. Псекупс отмечалась активизация оползневого процесса на площади 3600 м² (ширина 40 м, длина 90 м). Оползень скольжения в стадии развития. Базис оползания – русло р. Псекупс. В оползание вовлечен участок автодороги Горячий Ключ – ст-ца Фанагорийская, Оползневая активность проявляется деформациями и трещинами на автодороге. Высота оползневой ступени около 40 см. Оползень развивается по четвертичным суглинкам с включением дресвы и щебня залегающих на глинах с прослоями мергелей и алевролитов. Фактором активизации является повышенное количество осадков и боковая эрозия реки. Деформировано 0,04 км автодороги г. Горячий Ключ – с. Фанагорийское		

1	2	3	4	5	6	7	8	9	10	11	12	13	14	15	16
23.2022.0211	Южный	Краснодарский край	МО г. Горячий Ключ, в 0,4 км к западу от п. Транспортный	44,54566	39,28121	44,54566	39,28121	00.00.22	00.07.22	Оп	Атм., техн.	Отмечалось	В МО г. Горячий Ключ, в 0,4 км к западу от п. Транспортного, в низовом откосе автодороги 03К-0029 (Апшеронск – Горячий Ключ) отмечалась активизация оползневого процесса на старом оползневом участке, площадь активизации 300 м² (ширина 10 м, длина 30 м). Оползень течения в стадии затухания. Базис развития оползня – днище балки – бассейна р. Апчас, направление смещения – северное. В оползание вовлечены четвертичные делювиальные суглинки. Фактором активизации является повышенное количество осадков и эксплуатация автодороги. Деформировано полотно автодороги на протяжении 10 м.		
23.2022.0212	Южный	Краснодарский край	МО г. Горячий Ключ, в 1,5 км к западу от п. Транспортный	44,54405	39,26601	44,54405	39,26601	00.00.22	00.07.22	Оп	Атм., техн.	Отмечалось	В МО г. Горячий Ключ, в 1,5 км к западу от п. Транспортный в низовом откосе автодороги 03К-0029 (Апшеронск – Горячий Ключ) активизировались оползневые процессы на старом оползневом участке. Оползень течения в стадии затухания. Базис развития оползня – днище балки -бассейна р. Апчас, направление смещения – северное-восточное. Площадь активизации 1000 м² (ширина 50 м, длина 20 м). В оползание вовлечены делювиальные суглинки. Фактором активизации является повышенное количество осадков и эксплуатация автодороги. Деформировано полотно автодороги на протяжении 25 м.		
23.2022.0213	Южный	Краснодарский край	МО г. Горячий Ключ, в 2,5 км к северо-западу от п. Транспортный	44,54830	39,25277	44,54830	39,25277	00.00.22	00.07.22	Оп	Атм., техн.	Отмечалось	В МО г. Горячий Ключ, в 1,5 км к западу от п. Транспортный, в низовом откосе автодороги 03К-0029 (Апшеронск – Горячий Ключ) отмечалась активизация оползневого процесса на старом оползневом участке. Оползень течения в стадии затухания. Базис развития оползня – днище балки - притока р. Шкелюк, направление смещения – северное. Площадь активизации 800 м² (ширина 40 м, длина 20 м). В оползание вовлечены делювиальные суглинки. Фактором активизации является повышенное количество осадков и эксплуатация автодороги. Деформировано полотно автодороги на протяжении 40 м.		
23.2022.0214	Южный	Краснодарский край	МО г. Горячий Ключ, в 2,1 км к юго-востоку от п. Октябрьского	44,55504	39,25106	44,55504	39,25106	00.00.22	00.07.22	Оп	Атм., техн.	Отмечалось	В МО г. Горячий Ключ, в 2,1 км к юго-востоку от п. Октябрьский, в низовом откосе автодороги 03К-0029 (Апшеронск – Горячий Ключ) отмечалась активизация оползневого процесса на старом оползневом участке. Оползень течения в стадии затухания. Базис развития оползня – днище балки - притока р. Шкелюк, направление смещения – северо-западное. Площадь активизации 400 м² (ширина 40 м, длина 10 м). В оползание вовлечены делювиальные суглинки Фактором активизации является повышенное количество осадков и эксплуатация автодороги. Деформировано полотно автодороги на протяжении 40 м.		
23.2022.0215	Южный	Краснодарский край	Апшеронский район, в 0,6 км к юго-востоку от п. Станционного	44,43646	39,49504	44,43646	39,49504	00.00.22	00.07.22	Оп	Атм.	Не отмечалось	В Апшеронском районе, в 0,6 км к юго-востоку от п. Станционного отмечалась активизация оползневого процесса на оползневом склоне правого борта р. Пшиш. Оползень блоково-консистентный, в стадии развития. Базис оползания – русло р. Пшиш, где языковая часть оползня активно размывается рекой. На левом фланге оползневого массива мощность делювиального покрова, перекрывающего нижнюю часть склона достигает 3 м и эти породы вовлечены в активное оползание. Тело консистентного оползня обводнено, по мере продвижения вниз по склону он увеличивает свой объем, вовлекая в перемещение рыхлые коллювиальные отложения. Площадь активного проявления 3900 м² (ширина 30 м, длина 130 м). Фактором активизации является повышенное количество осадков. Воздействие на населенные пункты и хозяйственные объекты не выявлено		

1	2	3	4	5	6	7	8	9	10	11	12	13	14	15	16
23.2022.0216	Южный	Краснодарский край	Апшеронский район, северо-восточная окраина г. Апшеронска	44,47479	39,73805	44,47479	39,73805	00.00.22	00.07.22	Оп	Атм., гидролог.	Не отмечалось	В Апшеронском районе на северо-восточной окраине г. Апшеронска отмечалась активизация оползневого процесса на левобережном уступе I надпойменной террасы р. Пшехи. Оползень блоковый в стадии развития активных процессов. Базис оползания – русло р. Пшехи. Высота уступа 4 м, процессы отседания оползневых блоков развиваются по кровле цоколя террасы, сложенной плотными глинами. Высота стенки срыва 0,4-0,6 м, в оползание вовлечены четвертичные гравийно-галечниковые отложения с суглинистым заполнителем. Вдоль бровки уступа отмечены трещины. Площадь обвально-оползневой активизации 300 м² (ширина 50 м, длина 6 м). Фактором активизации является повышенное количество осадков и боковая эрозия реки. Воздействие на населенные пункты и хозяйственные объекты не выявлено		
23.2022.0217	Южный	Краснодарский край	Апшеронский район, северная окраина г. Апшеронска	44,47419	39,74380	44,47419	39,74380	00.00.22	00.07.22	Оп	Атм.	Не отмечалось	В Апшеронском районе на северной окраине г. Апшеронска отмечалась активизация оползневого процесса в нижней части правобережного склона р. Пшехи. Оползень блоково-консистентный в стадии развития. Базис оползания – русло р. Пшехи. По всей ширине оползневого массива степень активности различна. Наиболее активный очаг площадью 1200 м² (ширина 60 м, длина 20 м) расположен на левом фланге оползневого проявления. Деляпсий разрыхлен и местами разжижен, отмечено большое количество свежих отсевших блоков шириной до 3 м. Фактором активизации является повышенное количество осадков и боковая эрозия реки. Воздействие на населенные пункты и хозяйственные объекты не выявлено		
23.2022.0218	Южный	Краснодарский край	Апшеронский район, в 0,7 км к западу от г. Хадыженска	44,43560	39,50389	44,43560	39,50389	00.00.22	00.07.22	Оп	Атм., техн.	Отмечалось	В Апшеронском районе в 0,7 км к западу от г. Хадыженска в низовом откосе автодороги 03К-003 (Майкоп-Апшеронск) отмечалась активизация оползневого процесса на старом оползневом участке. Оползень блоковый в стадии затухания. Базис развития - днище локального понижения долины р. Пшиш. Высота стенки срыва – 0,8 м, площадь активизации 150 м² (ширина 15 м, длина 10 м). Обновилась стенка срыва, образовались новые трещины на поверхности отсевшего блока. В оползание вовлечены делювиальные суглинки. Фактором активизации является повышенное количество осадков и эксплуатация автодороги. Разрушено 0, 3м полотна автодороги на протяжении 10 м		
23.2022.0219	Южный	Краснодарский край	Апшеронский район, в 2 км к юго-западу от х. Красная Горка	44,40857	39,60286	44,40857	39,60286	00.00.22	00.07.22	Оп	Атм., техн.	Отмечалось	В Апшеронском районе, в 2 км к юго-западу от х. Красная Горка, в низовом откосе автодороги 03К-003 (Майкоп-Апшеронск) отмечалась активизация оползневого процесса на старом оползневом участке. Оползень блоковый в стадии затухания. Базис развития - днище балки бассейна р. Пшиш. Высота стенки срыва – 0,3 м, вдоль края полотна автодороги на протяжении 15 м отмечены трещины, отпора, обновилась стенка срыва оползня. Площадь активизации 350 м² (ширина 25 м, длина 15 м). В оползание вовлечены делювиальные суглинки. Фактором активизации является повышенное количество осадков и эксплуатация автодороги. Разрушено 0,3м полотна автодороги на протяжении 15 м		
23.2022.0220	Южный	Краснодарский край	Апшеронский район, в 1 км к востоку от п. Асфальтовая Гора	44,46035	39,46418	44,46035	39,46418	00.00.22	00.07.22	Оп	Атм., техн.	Отмечалось	В Апшеронском районе, в 1 км к востоку от п. Асфальтовая Гора в низовом откосе автодороги 03К-029 (Апшеронск – Горячий Ключ) отмечалась активизация оползневого процесса на старом оползневом участке. Оползень течения в стадии затухания. Базис развития - днище балки бассейна р. Пшиш, направление смещения – северо-западное. Площадь активизации 800 м² (ширина 40 м, длина 20 м). В оползание вовлечены делювиальные суглинки. Фактором активизации является повышенное количество осадков и эксплуатация автодороги. Деформировано полотно автодороги на протяжении 40 м		

1	2	3	4	5	6	7	8	9	10	11	12	13	14	15	16
23.2022.0221	Южный	Краснодарский край	Апшеронский район, в 0,85 км к востоку от п. Асфальтовая Гора	44,45966	39,46209	44,45966	39,46209	00.00.22	00.07.22	Оп	Атм., техн.	Отмечалось	В Апшеронском районе, в 0,85 км к востоку от п. Асфальтовая Гора в низовом откосе автодороги 03К-029 (Апшеронск – Горячий Ключ) отмечалась активизация оползневого процесса на старом оползневом участке. Оползень течения в стадии затухания. Базис развития - днище балки бассейна р. Пшиш, направление смещения – северо-западное. Площадь активизации 1000 м² (ширина 50 м, длина 20 м). В оползание вовлечены делювиальные суглинки. Фактором активизации является повышенное количество осадков и эксплуатация автодороги. Деформировано полотно автодороги на протяжении 40 м		
23.2022.0222	Южный	Краснодарский край	Туапсинский район, в 2,2 км к северу от п. Джубга, 1441 км автодороги М4 «Дон»,	44,36299	38,71157	44,36299	38,71157	00.00.22	00.07.22	Оп	Атм., техн.	Не отмечалось	В Туапсинском районе, в 2,2 км к северу от п. Джубга, на 1441 км в верховом откосе автодороги М4 «Дон», отмечалась активизация оползневого процесса. Оползень блоково-консистентный в стадии развития. Базис оползания – полка автодороги М4«Дон». На момент обследования отмечены два очага активизации суммарной площадью 1800 м² Ширина очагов соответственно 80 м и 20 м. Склон сложен переслаиванием косозалегающих аргиллитов, мергелей, алевролитов. В оползание вовлечены выветрелые коренные породы, и делювиальные покровные суглинки. Фактором активизации является повышенное количество осадков и эксплуатация автодороги. Воздействие на населенные пункты и хозяйственные объекты не выявлено		
23.2022.0223	Южный	Краснодарский край	Туапсинский район, в 3 км к северо-востоку от с. Молдаванов ское	44,49718	38,90447	44,49680	38,90473	00.00.22	00.07.22	Оп	Атм.	Не отмечалось	В Туапсинском районе, в 3 км к северо-востоку от с. Молдавановское в верховом откосе автодороги М-4 «Дон» отмечалась активизация оползневого процесса. Оползень блоково-консистентный в стадии затухания. Базис оползания – полка автодороги М4«Дон», направление развития - юго-восточное. Оползень циркообразный, в головной части блоковый, ниже по склону переходит в консистентный. Высота стенки срыва 3 м. Оползневое тело обводнено, в средней части и подошве, деляпсий разжижен. Площадь активизации 3200 м² (длина 80 м, ширина 40 м, мощность около 1,5 м). Фактором активизации является повышенное количество осадков и переувлажнение грунта. Воздействие на населенные пункты и хозяйственные объекты не выявлено		
23.2022.0224	Южный	Краснодарский край	Усть-Лабинский район, южная окраина п. Двубратский	45,23891	39,80982	45,23891	39,80982	00.00.22	00.09.22	Оп	Атм., гидрогеол.	Отмечалось	В Усть-Лабинском районе, на южной окраине п. Двубратский отмечалась активизация оползневого процесса на правобережном уступе р. Кубани. Оползень блоково-консистентный в стадии развития. Базис оползания – пойменная терраса р. Кубани, направление развития - южное. Активизация оползневого процесса прошла в центральной части старого циркообразного оползня и на его левом фланге. Высота стенки срыва около 5 м. В головной части оползень блоковый ниже деляпсий разрыхлен и частично разжижен. Площадь активизации 11200 м² (ширина – 140 м, длина 80 м). В оползание вовлечены плейстоценовые суглинки и глины. Фактором активизации является повышенное количество осадков и дренаж подземных вод в стенке уступа. Продолжают разрушаться хозяйственные постройки исправительной колонии и бетонные дорожки.		

1	2	3	4	5	6	7	8	9	10	11	12	13	14	15	16
23.2022.0225	Южный	Краснодарский край	Кавказский район, южная окраина ст-цы Кавказской	45,43646	40,68043	45,43646	40,68043	00.00.22	00.09.22	Оп	Атм., гидролог	Не отмечалось	В Кавказском районе, на южной окраине ст-цы Кавказской отмечалась активизация оползневого процесса в языковой части старого оползневого массива. Оползень блоково-консистентный в активной фазе развития. Базис развития - русло р. Кубани. Параметры проявления - площадь активизации 10000 тыс. м² (ширина 200 м, длина 50 м). В оползание вовлечены плейстоценовые лессовидные суглинками с известковистыми конкрециями, неслоистые. Мощность зоны развития - около 2 м. Наблюдаются вторичные оползневые процессы по старым деляпсивным накоплениям, в средней и нижней частях склона. Интенсивность процессов выше в нижней части склона, где формируются оползневые блоки длиной 1-3 м, трещины шириной до 0,5м. Факторы активизации - атмосферные осадки и боковая эрозия реки.		
23.2022.0226	Южный	Краснодарский край	Кавказский район, в 1,3 км к востоку от ст-цы Темижбекской	45,44623	40,90282	45,44623	40,90282	00.00.22	00.09.22	Оп	Атм., гидролог	Не отмечалось	В Кавказском районе, в 1,3 км к востоку от ст-цы Темижбекской отмечалась активизация оползневого процесса в центральной части оползневого массива. Оползень блоковый в активной фазе развития. Базис развития - русло р. Кубани. Площадь активизации 800 тыс. м² (ширина 20 м, длина 40 м. В оползание вовлечены плейстоценовые лессовидные суглинками с известковистыми конкрециями, неслоистые. В теле оползня отсевшие оползневые блоки площадью 2-3 м². Фактором активизации является повышенное количество осадков и дренаж подземных вод в стенке уступа. Воздействие на населенные пункты и хозяйственные объекты не выявлено.		
23.2022.0227	Южный	Краснодарский край	Успенский район, в 0,7 км к западу от а.Кургоковского	44,83746	41,47483	44,83746	41,47483	00.00.22	00.09.22	Оп	Атм., гидролог	Не отмечалось	В Успенском районе, в 0,7 км к западу от а. Кургоковского на уступе I надпойменной террасы активизировались оползневые процессы. Оползень блоковый в стадии развития. Базис оползания – русло р. Кубани, направление развития - северное. Оползень фронтальный, блоковый высота стенки срыва 1-1,5 м. Площадь активного проявления 560 м² (ширина 70 м, длина 8 м). Вдоль стенки срыва образовалась единая оползневая ступень с высотой отседания 1- 1,5 м, на правом фланге – серия оползневых ступеней разных генераций. В оползание вовлечены плейстоценовые суглинки и подстилающие их миоценовые глины. Фактором активизации является повышенное количество осадков, боковая эрозия реки. Воздействие на населенные пункты и хозяйственные объекты не выявлено		
23.2022.0228	Южный	Краснодарский край	Успенский район, в 0,6 км к северо-востоку от северной окраины а. Урупского	44,74736	41,25551	44,74736	41,25551	00.00.22	00.09.22	Оп	Атм., гидрогеол.	Не отмечалось	В Успенском районе, в 0,6 км к северо-востоку от северной окраины а. Урупского на уступе террасы плиоценового возраста отмечалась активизация оползневого процесса. Оползень блоковый в стадии развития. Базис оползания – подножие уступа с дальнейшим перемещением на поверхность пойменной террасы р. Урупа, направление развития - юго-западное. Оползень фронтальный, блоковый площадь проявления 800 м² (ширина 80 м, длина 10 м). Высота стенки срыва до 1,2 м. Оползневое тело представлено единой (не раздробленной) оползневой ступенью, отделившейся от целика по трещине шириной 0,6 - 0,7 м и сместившейся по вертикали на 0,8 - 1,2 м. В оползание вовлечены плейстоценовые лессовидные суглинки. Фактором активизации является повышенное количество осадков. Воздействие на населенные пункты и хозяйственные объекты не выявлено		

1	2	3	4	5	6	7	8	9	10	11	12	13	14	15	16
23.2022.0229	Южный	Краснодарский край	Успенский район, в 1,0 км к востоку от южной окраины а. Урупского	44,73222	41,27364	44,73222	41,27364	00.00.22	00.09.22	Оп	Атм., гидрогеол.	Не отмечалось	В Успенском районе, в 1,0 км к востоку от южной окраины а. Урупского на уступе террасы плиоценового возраста отмечалась активизация оползневого процесса. Оползень блоковый в стадии развития. Базис оползания – подножие уступа с дальнейшим перемещением на поверхность пойменной террасы р. Урупа, направление развития - юго-западное. Оползень фронтальный, блоковый площадью 1500 м² (ширина 50 м, длина 30 м). Высота стенки срыва до 1,2 м. Оползневое тело представлено двумя одновозрастными оползневыми ступенями, отделившимися от целика по трещине шириной до 1 м и сместившейся по вертикали на 0,8 - 1,0 м. В оползание вовлечены плейстоценовые лессовидные суглинки Фактором активизации является повышенное количество осадков. Воздействие на населенные пункты и хозяйственные объекты не выявлено		
23.2022.0230	Южный	Краснодарский край	Успенский район, в 0,6 км к северо-востоку от а.Коноковского	44,72119	41,28147	44,72119	41,28147	00.00.22	00.09.22	Оп	Атм., гидрогеол.	Не отмечалось	В Успенском районе, в 0,6 км к северо-востоку от а. Коноковского на уступе террасы плиоценового возраста отмечалась активизация оползневого процесса. Оползень блоковый в стадии развития. Базис оползания – поверхность пойменной террасы р. Урупа, направление развития - юго-западное. Оползень фронтальный, блоковый площадью 12500 м² (ширина 150 м, длина 40 м). Высота стенки срыва до около 5 м. В стенке срыва обнажаются горизонтально залегающие пески, супеси, суглинки. Старый оползневой блок переместился на 20 м вниз по склону, днище, оползневой ступени разбито трещинами. Фактором активизации является повышенное количество осадков. Воздействие на населенные пункты и хозяйственные объекты не выявлено		
23.2022.0231	Южный	Краснодарский край	Отрадненский район, в 1км к востоку от х. Садового	44,44925	41,52059	44,44925	41,52059	00.00.22	00.09.22	Оп	Атм.	Отмечалось	В Отрадненском районе, в 1км к востоку от х. Садового на правобережном склоне долины р. Урупа отмечалась активизация оползневого процесса. Оползень течения в стадии затухания. Базис оползания – поверхность пойменной террасы, направление развития - западное. Оползень проявляется деформациями по полотну автодороги 03К-385 (подъезд к х. Садовому). Площадь проявления 20000 м² (ширина 100 м, длина 200 м). В оползание вовлечены делювиальные суглинки мощность около 0,6 м). Фактором активизации является повышенное количество осадков и переувлажнение грунта. Деформировано 0,2 км дорожного покрытия.		
23.2022.0232	Южный	Краснодарский край	Апшеронский район, северо-западная окраина ст-цы Ширванской	44,37613	39,80357	44,37613	39,80357	18.09.22	00.09.22	Оп	Атм., гидролог	Не отмечалось	По данным средств массовой информации 18 сентября в Апшеронском районе, на западной окраине ст-цы Ширванской отмечалась активизация оползневого процесса на I надпойменной террасы р. Пшехи на ее правом берегу. Ориентировочная площадь проявления 2700 м². Воздействие на населенные пункты и хозяйственные объекты не выявлено.		
23.2022.0233	Южный	Краснодарский край	МО г. Сочи, Лазаревский район, в районе с. Мамедова Щель	43,96059	39,32182	43,96059	39,32182	00.00.22	00.07.22	Оп	Атм., техн.	Отмечалось	В Лазаревском районе МО г. Сочи, в районе с. Мамедова Щель отмечалась активизация оползневого процесса на левобережном склоне долины р. Куапсе. Оползень течения (проседания) в стадии затухания. Базис оползания – днище долины р. Куапсе. Проявляется деформациями твердого покрытия автодороги, пересекающей оползневой склон. Ширина раскрытия трещин 3-5 см, высота оползневых ступеней до 20 см. Площадь активизации оползневых процессов 14300 м², (ширина 130 м, длина 110 м). Фактором активизации является повышенное количество осадков и эксплуатация автодороги. Деформировано 3 участка автомобильной дороги по ул. Ручейной суммарной протяженностью 90 м.		

1	2	3	4	5	6	7	8	9	10	11	12	13	14	15	16
23.2022.0234	Южный	Краснодарский край	МО г. Сочи, Лазаревский район, в районе с. Мамедова Щель	43,95757	39,31505	43,95757	39,31505	00.00.22	00.07.22	Оп	Атм., техн.	Отмечалось	В Лазаревском районе МО г. Сочи, в районе с. Мамедова Щель отмечалась активизация оползневого процесса на левобережном склоне долины р. Куапсе. Оползень течения (проседания) в стадии затухания. Базис оползания – днище долины р. Куапсе. Проявляется деформациями твердого покрытия автодороги, пересекающей оползневой склон. Вдоль полотна автодороги отмечена серия диагональных трещин, высота оползневых ступеней до 10 см. Площадь активизации оползневых процессов 800 м², (ширина 20 м, длина 40 м). Фактором активизации является повышенное количество осадков и эксплуатация автодороги. Деформировано 3 участка автомобильной дороги по ул. Ручейной суммарной протяженностью 90 м.		
23.2022.0235	Южный	Краснодарский край	МО г. Сочи, Лазаревский район, в 500 м к северо-западу от от ж/д станции Мамедова Щель	43,94566	39,29066	43,94566	39,29066	00.00.22	00.07.22	Оп	Атм.	Не отмечалось	В Лазаревском районе МО г. Сочи, в 500 м к северо-западу от от ж/д станции Мамедова Щель отмечалась активизация оползневого процесса в нижней части Черноморского склона, на участке древней морской террасы, перекрытой делювиальными отложениями. Оползень в стадии развития. Базис оползания – берег Черного моря. В оползание вовлечены рыхлые коллювиально-делювиальные отложения. Площадь активизации 600 м² (ширина 30 м, длина 20 м). Фактором активизации является повышенное количество осадков. Наблюдалось перекрытие оползневыми массами отрезка железнодорожного пути, без его деформаций и разрушений		
23.2022.0236	Южный	Краснодарский край	МО г. Сочи, Лазаревский район, в 0,9-1,5 км к северо-западу от мкр. Головинка	43,80816	39,44679	43,80816	39,44679	00.00.22	00.07.22	Оп	Атм.	Отмечалось	В Лазаревском районе МО г. Сочи, к северо-западу от мкр. Головинка отмечалась активизация оползневого процесса в нижней части Черноморского склона на участке протяженностью 600 м. Отмечено два оползня – оплывины в стадии затухания. Базис оползания – берег Черного моря. Участок черноморского склона сложен палеогеновыми косозалегающими флишевыми отложениями, перекрытыми четвертичными суглинками с дресвой и мелкими обломками коренных пород. В оползание вовлечены рыхлые суглинки. Площади оползней 120 м² и 150 м². Ширина оползней 8-10 м, длина 15 м. Фактором активизации является повышенное количество осадков. Наблюдалось перекрытие оползневыми массами отрезка железнодорожного пути, без его деформаций и разрушений.		
23.2022.0237	Южный	Краснодарский край	МО г. Сочи, Лазаревский район, в 0,8 км к юго-востоку от с. Зубова Щель	43,82836	39,42938	43,82836	39,42938	00.00.22	00.07.22	Оп	Атм.	Отмечалось	В Лазаревский районе МО г. Сочи, в 0,8 км к юго-востоку от с. Зубова Щель отмечалась активизация оползневого процесса в верховом откосе автодороги А147. Оползень в стадии развития. Базис оползания – полка автодороги А147. Отмечено оползание рыхлых делювиальных отложений, представленных суглинками с большим включением обломков коренных пород. Площадь активизации 300 м² (ширина 20 м, длина 30 м). Фактор активизации - повышенное количество осадков. Наблюдалось частичное перекрытие полотна автодороги без разрушения ее целостности.		
23.2022.0238	Южный	Краснодарский край	МО г. Сочи, Лазаревский район, в 0,4 км к юго-западу от с. Зубова Щель	43,83210	39,43160	43,83210	39,43160	00.00.22	00.07.22	Оп	Атм.	Отмечалось	В Лазаревский районе МО г. Сочи, в 0,4 км к юго-востоку от с. Зубова Щель отмечалась активизация оползневого процесса в верховом откосе автодороги А147. Оползень в стадии развития. Базис оползания – полка автодороги А147. Отмечено оползание рыхлых делювиальных отложений, представленных суглинками с большим включением обломков коренных пород. Площадь активизации 160 м² (ширина 16 м, длина 10 м). Фактор активизации - повышенное количество осадков. Наблюдалось частичное перекрытие полотна автодороги без разрушения ее целостности.		

1	2	3	4	5	6	7	8	9	10	11	12	13	14	15	16
23.2022.0239	Южный	Краснодарский край	МО г. Сочи, Лазаревский район, в 0,3 км к юго-западу от с. Зубова Щель	43,83276	39,43208	43,83276	39,43208	00.00.22	00.07.22	Оп	Атм.	Отмечалось	В Лазаревский районе МО г. Сочи, в 0,3 км к юго-востоку от с. Зубова Щель отмечалась активизация оползневого процесса в верховом откосе автодороги А147. Оползень в стадии развития. Базис оползания – полка автодороги А147. Отмечено оползание рыхлых делювиальных отложений, представленных суглинками с дресвой и мелкими обломками коренных пород. Площадь активизации 150 м² (ширина 15 м, длина 10 м). Фактор активизации - повышенное количество осадков. Наблюдалось частичное перекрытие полотна автодороги без разрушения ее целостности.		
23.2022.0240	Южный	Краснодарский край	МО г. Сочи, Лазаревский район, в 0,2 км к юго-западу от СНТ «Здоровье»	43,91825	39,35514	43,91825	39,35514	00.00.22	00.07.22	Оп	Атм.	Отмечалось	В Лазаревском районе МО г. Сочи, в 0,2 км к юго-западу от СНТ «Здоровье» отмечалась активизация оползневого процесса в верховом откосе автодороги Марьинское шоссе. Оползень в стадии развития. Базис оползания – полка автодороги Марьинское шоссе. Состав сместившегося грунта представлен делювиальными суглинками со значительным включением обломков коренных пород, размером до 20-30 см. Площадь активизации 200 м² (ширина 20 м, длина 10 м). Фактор активизации - повышенное количество осадков и эксплуатация автодороги. Наблюдалось частичное перекрытие полотна автодороги без разрушения ее целостности. .		
23.2022.0241	Южный	Краснодарский край	МО г. Сочи, Лазаревский район, в 0,1 км к юго-западу от СТ «Родники»	43,95217	39,40815	43,95217	39,40815	00.00.22	00.07.22	Оп	Атм., техн.	Отмечалось	В Лазаревском районе МО г. Сочи, в 0,1 км к юго-западу от СТ «Родники» отмечалась активизация оползневого процесса в низовом откосе автодороги Марьинское шоссе. Оползень-оплывина в стадии развития. Базис оползания – полка автодороги Марьинское шоссе. В оползание вовлечены плейстоцен-голоценовые суглинки с дресвой и обломками коренных пород. Площадь активизации 300 м² (ширина 15 м, длина 20 м). Фактор активизации - повышенное количество осадков и эксплуатация автодороги. Разрушен 1 м края дорожного покрытия на протяжении 8 м.		
23.2022.0049	Южный	Краснодарский край	МО г. Сочи, Лазаревский район, с. Сергей-Поле, коттеджный поселок «Горная Поляна»	43,68300	39,69838	43,68300	39,69838	00.06.22	00.07.22	Оп	Атм.	Не отмечалось	В с. Сергей-Поле, Лазаревского района МО г. Сочи, в районе коттеджного поселка «Горная Поляна» отмечалась активизация оползневого процесса. На левом фланге образовалась вторичная стенка срыва, не имеющая четких очертаний, общей шириной 40 м. Вдоль стенки срыва и по бортам эрозионной долины образовалась серия оползней-оплывин общей площадью 4200 м². Вероятное начало активизации – июнь 2022 года (после ливневых осадков в конце месяца). Базисом смещения является днище долины одного из притоков р. Ордынки На момент обследования процесс находятся в стадии затухания. Фактор активизации – повышенное количество осадков и переувлажнение рыхлых деляпсивных отложений.		
23.2022.0242	Южный	Краснодарский край	МО город-курорт Сочи, Лазаревский район, юго-западная окраина аула Малый Кичмай, ул. Заречная	43,81346	39,48662	43,81346	39,48662	00.00.22	00.09.22	Оп	Атм.	Не отмечалось	В Лазаревском районе г. Сочи на юго-западной окраине а. Малый Кичмай отмечалась активизация оползневого процесса. Оползень консистентный. Направление развития – северо-запад. Проявление развивается на левом борту долины р. Шахе в средней части склона. Базис оползания – полка автомобильной дороги. В оползание вовлечены делювиальные щебнистые суглинки. Параметры активного очага ширина 5 м, длина 3 м, площадь 15 м². Факторы активизации - атмосферные осадки.		

1	2	3	4	5	6	7	8	9	10	11	12	13	14	15	16
23.2022.0243	Южный	Краснодарский край	МО город-курорт Сочи, Лазаревский район, мкрн. Культурное Уч-Дере, ул. Чайная	43,67002	39,63144	43,67002	39,63144	00.00.22	00.09.22	Оп	Атм., техн.	Отмечалось	В Лазаревском районе г. Сочи на отрезке дороги по ул. Чайная отмечалась активизация оползневого процесса. Оползень блоково-консистентный. Направление развития – северо-запад. Проявление развивается на левобережном склоне долины р. Битха (базис оползания). Отмечается обрушение обочины и части одной полосы на протяжении 20 м. Между двумя полосами дороги заложена трещина отпора. Ширина раскрытия 10 см. У оползня циркообразные очертания. Параметры активного очага ширина 30 м, длина 7 м, площадь 210 м². В оползание вовлечены меловые и палеогеновые породы, делювиальные суглинки. Факторы активизации опасного ЭГП: атмосферные осадки, техногенный (эксплуатация автомобильной дороги)		
23.2022.0244	Южный	Краснодарский край	МО город-курорт Сочи, Лазаревский район, участок дороги 03К-458 на южной окраине с. Альтмец	43,71210	39,66945	43,71210	39,66945	00.00.22	00.09.22	Оп	Атм., техн.	Не отмечалось	В Лазаревском районе г. Сочи на отрезке дороги 03К-458 на южной окраине с. Альтмец отмечалась активизация оползневого процесса. Оползень блоково-консистентный. Направление развития – северо-запад. Проявление развивается на левом борту долины р. Западный Дагомыс в нижней части склона. Базис оползания - полка дороги. Над полотном дороги обвально-оползневой очаг шириной 15-20 м, длиной 10 м, высота над полотном дороги 15 м. Высота стенки срыва около 2,5 м. Отмечается увлажнение пород. В оползание вовлечены делювиальные суглинки, крупные стволы деревьев (распилены). На автомобильной дороге деформаций нет. Состав горных пород, затронутых проявлением: коллювио-делювий предгорий - щебнистые глины и суглинки, дресва; известняки, мергели. Факторы активизации опасного ЭГП: атмосферные осадки, техногенный – подрезка склона при строительстве автомобильной дороги.		
23.2022.0245	Южный	Краснодарский край	МО город-курорт Сочи, Лазаревский район, южная окраина с. Третья Рота, ул. Счастливая	43,74000	39,68091	43,74000	39,68091	00.00.22	00.09.22	Оп	Атм., техн.	Отмечалось	В Лазаревском районе г. Сочи на южной окраине с. Третья Рота отмечалась активизация оползневого процесса. Проявление развивается на левом борту долины р. Западный Дагомыс в нижней части склона. Базис развития - полка дороги. На протяжении 20 м отмечаются оползневые деформации на дороге, сложенной бетонными плитами (просадки и трещины). В верховом откосе бронированный склон. В подножии поваленные крупные деревья, держатся на маломощном делювии. Интенсивность процесса слабая. Параметры активного очага ширина 25 м, длина 10 м, площадь 250 м². Состав горных пород, затронутых проявлением: коллювио-делювий предгорий - щебнистые глины и суглинки, дресва; известняки, мергели. Факторы активизации опасного ЭГП: атмосферные осадки, техногенный – подрезка склона при строительстве автомобильной дороги.		
23.2022.0246	Южный	Краснодарский край	МО город-курорт Сочи, Лазаревский район, северная окраина с. Харциз Первый, участок дороги 03К-467 (Подъезд к с. Харциз Первый)	43,79614	39,63463	43,79614	39,63463	00.00.22	00.09.22	Оп	Атм., техн.	Отмечалось	В Лазаревском районе г. Сочи на северной окраине с. Харциз Первый отмечалась активизация оползневого процесса. На дороге оползневые трещины с шириной раскрытия 5-7 см на протяжении 10 м. Деформации затронули нижнюю полосу дороги. В рельефе в верховом откосе деревья саблевидной формы, стволы наклонены. В низовом откосе рельеф оползневой. Параметры активного очага ширина 15 м, длина 7 м, площадь 105 м². Базис развития опасного ЭГП - р. Шахе. Состав горных пород, затронутых проявлением: коллювио-делювий предгорий (щебнистые глины и суглинки, дресва), юрские и меловые породы (аргиллиты, алевролиты, мергели, песчаники и известняки). Факторы активизации опасного ЭГП: атмосферные осадки, техногенный – эксплуатация автомобильной дороги.		

1	2	3	4	5	6	7	8	9	10	11	12	13	14	15	16
23.2022.0247	Южный	Краснодарский край	МО город-курорт Сочи, Лазаревский район, с. Сергей-Поле, ул. Славы (выезд на с. Разбитый Котел)	43,68111	39,70940	43,68111	39,70940	00.00.22	00.09.22	Оп	Атм., техн.	Не отмечалось	В Лазаревском районе г. Сочи на выезде из с. Сергей-Поле в с. Разбитый Котел отмечалась активизация оползневого процесса в верховом откосе дорожной врезки. Оползают делювиальные суглинки, пески. Обнажаются подстилающие трещиноватые аргиллиты. Смещены стволы деревьев. Водосборный лоток был засыпан деляпсием. На момент обследования проявление не обводнено. Параметры активного очага ширина 20 м, длина 10 м, площадь 200 м². Базис развития опасного ЭГП - р. Псахе (Мамайка). Факторы активизации опасного ЭГП: атмосферные осадки, техногенный – эксплуатация автомобильной дороги.		
23.2022.0248	Южный	Краснодарский край	МО город-курорт Сочи, Лазаревский район, на въезде в с. Разбитый Котел участок дороги 03К-450	43,68636	39,72201	43,68636	39,72201	00.00.22	00.09.22	Оп	Атм., техн.	Отмечалось	В Лазаревском районе г. Сочи на въезде в с. Разбитый Котел отмечалась активизация оползневого процесса в низовом откосе дороги. Усилилась оползневая просадка, обрушились бетонные дорожные ограждения. Деформации затрагивают одну полосу дороги на протяжении 10 м. Высота стенки срыва около 1 м. Под угрозой воздействия находится газопровод. Параметры активного очага: ширина 15 м, длина 10 м, площадь 150 м². Базис развития опасного ЭГП - р. Псахе (Мамайка). Состав горных пород, затронутых проявлением: коллювио-делювий предгорий (щебнистые глины и суглинки, дресва), палеогеновые породы (глины, алевролиты, мергели, прослои песчаников). Факторы активизации опасного ЭГП: атмосферные осадки, техногенный – эксплуатация автомобильной дороги.		
23.2022.0249	Южный	Краснодарский край	МО город-курорт Сочи, Лазаревский район, с. Разбитый Котел ул. Звездная по дороге на «СТ Каштан-2», «Чаевод»	43,68238	39,73041	43,68238	39,73041	00.00.22	00.09.22	Оп	Атм., техн.	Отмечалось	В Лазаревском районе г. Сочи в с. Разбитый Котел отмечается отмечалась активизация оползневого процесса на асфальтированном участке дороги с новым покрытием. Высота стенки срыва около 1 м. Разрушен участок на протяжении 7 м. Параметры активного очага ширина 10 м, длина 5 м, площадь 50 м². Базис развития опасного ЭГП - р. Псахе (Мамайка). Состав горных пород, затронутых проявлением: коллювио-делювий предгорий (щебнистые глины и суглинки, дресва), палеогеновые породы (глины, алевролиты, мергели, прослои песчаников). Факторы активизации опасного ЭГП: атмосферные осадки, техногенный – эксплуатация автомобильной дороги.		
23.2022.0250	Южный	Краснодарский край	МО город-курорт Сочи, Лазаревский район, участок дороги 03К-466 (с. Сергей-Поле - с. Васильевка)	43,66141	39,70190	43,66141	39,70190	00.00.22	00.09.22	Оп	Атм., техн.	Не отмечалось	В Лазаревском районе г. Сочи на дороге между Васильевкой и Сергей-Поле в верховом откосе отмечалась активизация оползневого процесса. В низовом откосе оградительные бетонные блоки, на автомобильной дороге деформаций нет. Высота над полотном дороги около 10 м. Параметры активного очага - ширина 90 м, длина 30 м, площадь 2700 м². Базис развития опасного ЭГП - р. Псахе (Мамайка). Состав горных пород, затронутых проявлением: коллювио-делювий предгорий (щебнистые глины и суглинки, дресва), палеогеновые породы (глины, алевролиты, мергели, прослои песчаников). Факторы активизации опасного ЭГП: атмосферные осадки, техногенный – эксплуатация автомобильной дороги.		

1	2	3	4	5	6	7	8	9	10	11	12	13	14	15	16
23.2022.0251	Южный	Краснодарский край	МО город-курорт Сочи, Центральный район, мкрн. Заречный, ул. Цюрупы	43,60261	39,71944	43,60261	39,71944	00.00.22	00.09.22	Оп	Атм., техн.	Отмечалось	В Центральном районе г. Сочи по ул. Цюрупы в районе гаражного кооператива отмечалась активизация оползневого процесса. Проявление развивается в низовом откосе дороги. Оползневыми деформациями затронута одна полоса дороги на протяжении 20 м, отсыпана щебнем. Высота просадочной ступени около 30 см. Ведутся строительные работы. Параметры активного очага - длина 10 м, ширина 20 м, средняя мощность 1 м. Базис развития - днище долины р. Сочи. Состав горных пород, затронутых проявлением: коллювио-делювий предгорий (щебнистые глины и суглинки, дресва), палеогеновые породы (глины, алевролиты, мергели, прослои песчаников). Факторы активизации опасного ЭГП: атмосферные осадки, техногенный – застройка оползневого склона.		
23.2022.0252	Южный	Краснодарский край	МО город-курорт Сочи, Хостинский район, к югу от СТ Восточное, СТ Юг	43,53241	39,83226	43,53241	39,83226	00.00.22	00.09.22	Оп	Атм., техн.	Отмечалось	В Хостинском района г. Сочи по дороге на садовые товарищества Восточное, Юг отмечалась активизация оползневого процесса. Проявление развивается на правом борту балки Сутугинская, днище которой является его базисом оползания. Параметры активного очага - 30×30 м. Разрушена одна полоса на протяжении 20 м – дорога сложена бетонными плитами и асфальтом. Оползают делювиальные суглинки и подстилающие коренные породы (глины с прослоями песков, песчаников, алевролитов, иногда мергелей и известняков). Факторы активизации опасного ЭГП: атмосферные осадки, техногенный – эксплуатация автомобильной дороги.		
23.2022.0253	Южный	Краснодарский край	МО город-курорт Сочи, Хостинский район, мкрн. Малый Ахун, ул. Новороссийское шоссе	43,53532	39,81395	43,53532	39,81395	00.00.22	00.09.22	Оп	Атм., техн.	Отмечалось	В Хостинском района г. Сочи по ул. Новороссийское шоссе в мкр-не Малый Ахун отмечалась активизация оползневого процесса. Разрушен участок дороги на протяжении 15-20 м – нижняя полоса. Вдоль обочины трещины отседания. Параметры активного очага - длина 15 м, ширина 20 м, средняя мощность около 1 м. Базис развития - побережье Черного моря. В оползание вовлечены делювиальные суглинки и подстилающие коренные породы (глины с прослоями песков, песчаников, алевролитов, иногда мергелей и известняков). Факторы активизации опасного ЭГП: атмосферные осадки, техногенный – эксплуатация автомобильной дороги.		
23.2022.0254	Южный	Краснодарский край	МО город-курорт Сочи, Хостинский район, мкрн. Малый Ахун, ул. Новороссийское шоссе в районе пляжа Спутник	43,53641	39,81074	43,53641	39,81074	00.00.22	00.09.22	Оп	Атм.	Не отмечалось	Отмечалась активизация оползневого процесса в верховом откосе дороги по ул. Новороссийское шоссе в районе пляжа Спутник. Вдоль проходит труба водовода. Интенсивность процесса слабая. Оползают покровные делювиальные суглинки. Параметры активного очага - ширина 20 м, длина 4 м. Высота над полотном дороги около 10 м, в теле оползня ствол взрослого дерева. Проявление в нижней части задерновано. Базис развития - побережье Черного моря. Фактор активизации опасного ЭГП: атмосферные осадки.		

1	2	3	4	5	6	7	8	9	10	11	12	13	14	15	16
23.2022.0255	Южный	Краснодарский край	МО город-курорт Сочи, Хостинский район, мкрн. Малый Ахун, ул. Дорога на Большой Ахун в 0,3 км к северо-востоку от Агурского виадука	43,54458	39,80873	43,54458	39,80873	00.00.22	00.09.22	Оп	Атм., техн.	Отмечалось	По ул. Дорога на Большой Ахун отмечалась активизация оползневого процесса на левом борту долины р. Агура в нижней части склона. Параметры активного очага - ширина 40 м, длина 10 м. На дороге вертикальная просадка глубиной до 10 см. На правом фланге оползневого очага трещины шириной раскрытия 10 см по обеим полосам. Деформации на дороге на протяжении 20 м. В низовом откосе устроена подпорная стена, на ней отмечаются старые деформации и трещины. В оползание вовлечены делювиальные суглинки и подстилающие коренные породы (глины с прослоями песков, песчаников, алевролитов, иногда мергелей и известняков). Базис развития - ручей Агура. Факторы активизации - атмосферные осадки, эксплуатация автомобильной дороги.		
23.2022.0256	Южный	Краснодарский край	МО город-курорт Сочи, Хостинский район, южная окраина с. Измайловка, участок дороги 03К-453 (ул. Измайловская)	43,62606	39,81979	43,62606	39,81979	00.00.22	00.09.22	Оп	Атм., техн.	Отмечалось	На южной окраине с. Измайловка на участке дороги (п. Мацеста - с. Семеновка) отмечалась активизация оползневого процесса. Отмечается отрезок протяженностью 60 м с оползневыми деформациями. Просадка коснулась нижней полосы на глубину 10 см. Параметры активного очага - ширина около 70 м, длина около 10 м. Базис развития - р. Мацеста. В оползание вовлечены делювиальные суглинки и подстилающие коренные породы (глины с прослоями песков, песчаников, алевролитов, иногда мергелей и известняков). Факторы активизации - атмосферные осадки, эксплуатация автомобильной дороги.		
23.2022.0257	Южный	Краснодарский край	МО город-курорт Сочи, Хостинский район, южная окраина с. Раздольное, СТ Дубрава 1	43,57806	39,78082	43,57806	39,78082	00.00.22	00.09.22	Оп	Атм., техн.	Отмечалось	На южной окраине с. Раздольное в Хостинском районе отмечалась активизация оползневого процесса. Деформация бетонного дорожного полотна на протяжении 70 м. Участок огорожен бетонными блоками. В низовом откосе проходят коммуникации, опоры дорожного отбойника висят в воздухе. Параметры активного очага 70 м, длина 10 м. Базис развития - днище долины р. Мацеста. В оползание вовлечены делювиальные суглинки и подстилающие коренные породы (глины с прослоями песков, песчаников, алевролитов, иногда мергелей и известняков). Факторы активизации - атмосферные осадки, эксплуатация автомобильной дороги.		
23.2022.0258	Южный	Краснодарский край	МО город-курорт Сочи, Хостинский район, Новороссийское шоссе (между пансионатом "Электроника" и санаторием "Мыс Видный")	43,51825	39,85256	43,51825	39,85256	00.00.22	00.09.22	Оп	Атм., техн.	Отмечалось	В Хостинском районе г. Сочи на участке Новороссийского шоссе отмечалась активизация оползневого процесса. Проявление затрагивает низовой откос автомобильной дороги. Интенсивность процесса слабая. На правом фланге на протяжении 7 м вертикальная просадка дорожного полотна глубиной около 10 см. Параметры активного очага - ширина 10 м, длина 4 м, мощность около 1 м. Базис развития - полка дороги А-147. В оползание вовлечены делювиальные суглинки и подстилающие коренные породы (глины с прослоями песков, песчаников, алевролитов, иногда мергелей и известняков). Факторы активизации - атмосферные осадки, эксплуатация автомобильной дороги.		
23.2022.0259	Южный	Краснодарский край	МО город-курорт Сочи, Адлерский район, южная часть с. Каштаны, ул. Мичурина	43,51949	39,90567	43,51949	39,90567	00.00.22	00.09.22	Оп	Атм., техн.	Отмечалось	По ул. Мичурина с. Каштаны Адлерского района г. Сочи отмечалась активизация оползневого процесса. Отмечаются деформации дорожного полотна на протяжении 15-17 м, оползает нижняя полоса дороги и обочина. Участок огорожен бетонными блоками. На дороге проводился ямочный ремонт – это участок постоянных активизаций. Параметры активного очага - ширина 20 м, длина 5 м. Базис развития - днище долины р. Кудепста. В оползание вовлечены делювиальные суглинки и подстилающие коренные породы (глины с прослоями песков, песчаников, алевролитов, иногда мергелей и известняков). Факторы активизации - атмосферные осадки, эксплуатация автомобильной дороги.		

1	2	3	4	5	6	7	8	9	10	11	12	13	14	15	16
23.2022.0260	Южный	Краснодарский край	МО город-курорт Сочи, Адлерский район, с. Черешня, ул. Гомельская (в районе пересечения с ул. Владимировской)	43,45251	39,98734	43,45251	39,98734	00.00.22	00.09.22	Оп	Атм., техн.	Отмечалось	В с. Черешня Адлерского района г. Сочи отмечалась активизация оползневого процесса по ул. Гомельская. Вдоль дороги проходит вершина оползневого очага - отмечаются деформации, трещины, смещения асфальта на двух участках (суммарно 50 м). Проявление развивается в северо-западном направлении. Базис оползания - балочное понижение на правом борту долины р. Мзымта. Параметры активного очага - ширина 60 м, длина 10 м. В оползание вовлечены делювиальные суглинки и подстилающие коренные породы (глины с прослоями песков, песчаников, алевролитов, иногда мергелей и известняков). Факторы активизации - атмосферные осадки, эксплуатация автомобильной дороги.		
23.2022.0261	Южный	Краснодарский край	МО город-курорт Сочи, Адлерский район, участок дороги между с. Черешня и с. Нижняя Шиловка	43,46910	39,99155	43,46910	39,99155	00.00.22	00.09.22	Оп	Атм., техн.	Отмечалось	В Адлерском районе на участке дороги между с. Черешня и с. Нижняя Шиловка отмечалась активизация оползневого процесса. На протяжении 30 м на дорожном полотне отмечались значительные оползневые деформации асфальтового покрытия. Вдоль дороги проходит балочный врез, пересекает ее – деформации с обеих сторон. Параметры активного очага - ширина 80 м, длина 30 м. Базис оползания - верховья р. Чахцуцыр. В оползание вовлечены делювиальные суглинки и подстилающие коренные породы (глины с прослоями песков, песчаников, алевролитов, иногда мергелей и известняков). Факторы активизации - атмосферные осадки, эксплуатация автомобильной дороги.		
23.2022.0262	Южный	Краснодарский край	МО город-курорт Сочи, Адлерский район, северная окраина с. Черешня, ул. Пермская	43,46742	39,98935	43,46742	39,98935	00.00.22	00.09.22	Оп	Атм.	Не отмечалось	В Адлерском районе на северной окраине с. Черешня отмечалась активизация оползневого процесса на грунтовой дороге по ул. Пермская. Тело оползня разбито на блоки 1×2 м. Проявление слабоактивное, интенсивность процесса не высока. Ширина 30 м при длине 10 м. Базис развития - балочное понижение на правом борту долины р. Мзымта. В оползание вовлечены делювиальные покровные суглинки. Фактор активизации - атмосферные осадки.		
23.2022.0263	Южный	Краснодарский край	МО город-курорт Сочи, Адлерский район, к северу от с. Черешня (дорога на с. Ахштырь)	43,47858	39,98860	43,47858	39,98860	00.00.22	00.09.22	Оп	Атм., техн., гидролог.	Отмечалось	К северу от с. Черешня Адлерского района отмечалась активизация оползневого процесса на дороге, ведущей к с. Ахштырь. Разрушается проезжая часть, сложенная бетонными плитами, на протяжении 50 м. Расстояние между плитами около 20 см, просадка около 10 см. Проявление развивается в нижней части левобережного склона долины р. Мзымта (базис развития). В оползание вовлечены делювиальные суглинки и подстилающие коренные породы (глины с прослоями песков, песчаников, алевролитов, иногда мергелей и известняков). Факторы активизации - атмосферные осадки, эксплуатация автомобильной дороги, боковая эрозия реки.		
23.2022.0264	Южный	Краснодарский край	МО город-курорт Сочи, Адлерский район, к северу от с. Черешня (дорога на с. Ахштырь)	43,48049	39,98931	43,48049	39,98931	00.00.22	00.09.22	Оп	Атм., техн., гидролог.	Отмечалось	К северу от с. Черешня Адлерского района отмечалась активизация оползневого процесса на дороге, ведущей к с. Ахштырь. Происходит выдавливание грунта сверху – верхняя полоса просела на 0,5 м. Участок с разрушениями асфальта на протяжении 40-50 м. Параметры оползня - ширина 50 м, длина 10 м. Проявление развивается в нижней части левобережного склона долины р. Мзымта (базис развития). В оползание вовлечены делювиальные суглинки и подстилающие коренные породы (глины с прослоями песков, песчаников, алевролитов, иногда мергелей и известняков). Факторы активизации - атмосферные осадки, эксплуатация автомобильной дороги, боковая эрозия реки.		

1	2	3	4	5	6	7	8	9	10	11	12	13	14	15	16
23.2022.0265	Южный	Краснодарский край	МО город-курорт Сочи, Адлерский район, северная окраина с. Галицино, СТ Строитель-22	43,56521	39,97814	43,56521	39,97814	00.00.22	00.09.22	Оп	Атм., техн.	Отмечалось	В с. Галицино Адлерского района г. Сочи отмечалась активизация оползневого процесса на дороге, ведущей в с. Лесное. На участке постоянных деформаций отмечаются новые оползневые трещины, перегибы полотна. Разрушения дороги на протяжении 80 м. Усилилась просадка до 30 см по всей ширине проезжей части. В низовом откосе склон ступенчато понижается к днищу долины р. Псахо (базис оползания). Параметры проявления - ширина 100 м, длина – 15 м. В оползание вовлечены делювиальные суглинки и подстилающие коренные породы (глины с прослоями песков, песчаников, алевролитов, иногда мергелей и известняков). Факторы активизации - атмосферные осадки, техногенный (эксплуатация автомобильной дороги).		
23.2022.0266	Южный	Краснодарский край	МО город-курорт Сочи, Адлерский район, с. Верхнениколаевское (х. Старый Кляр), ул. Кузнечная	43,51291	39,95054	43,51291	39,95054	00.00.22	00.09.22	Оп	Атм., техн.	Отмечалось	В с. Верхнениколаевское (х. Старый Кляр) по ул. Кузнечная отмечалась активизация оползневого процесса на дорожном полотне. Автомобильная дорога пересекает оползневой очаг вдоль. На дороге перегиб, отчетливо выражен левый фланг. Величина вертикального смещения 20 см. Деформации на дороге на протяжении 7 м. Ширина проявления 20 м, длина 30 м, средняя мощность 1 м. Базис развития опасного ЭГП - р. Старики (левобережный приток р. Кудепсты). В оползание вовлечены делювиальные суглинки и подстилающие коренные породы (глины с прослоями песков, песчаников, алевролитов, иногда мергелей и известняков). Факторы активизации - атмосферные осадки, техногенный (эксплуатация автомобильной дороги).		
23.2022.0267	Южный	Краснодарский край	МО город-курорт Сочи, Адлерский район, с. Верхнениколаевское, ул. Кузнечная	43,51815	39,93793	43,51815	39,93793	00.00.22	00.09.22	Оп	Атм., техн.	Отмечалось	В с. Верхнениколаевское по ул. Кузнечная отмечалась активизация оползневого процесса. На протяжении 20 м на дороге волнообразное понижение глубиной до 40 см. Размеры проявления - ширина около 50 м, длина 12 м. Базис развития опасного ЭГП - р. Старики (левобережный приток р. Кудепсты). В оползание вовлечены делювиальные суглинки и подстилающие коренные породы (глины с прослоями песков, песчаников, алевролитов, иногда мергелей и известняков). Факторы активизации - атмосферные осадки, техногенный (эксплуатация автомобильной дороги).		
23.2022.0268	Южный	Краснодарский край	МО город-курорт Сочи, Адлерский район, с. Эсто-Садок, ул. Альпийское шоссе (в районе подъемника-гондолы Стрела)	43,66402	40,29951	43,66402	40,29951	00.00.22	00.09.22	Оп	Атм., техн.	Не отмечалось	В Адлерском районе г. Сочи на Курорте Красная Поляна отмечалась активизация оползневого процесса по ул. Альпийское шоссе. В верховом откосе дороги оползневое проявление затянуто сеткой-геотекстилем. Сетка порвана, слабоактивно. Высота над полотном дороги около 8 м. Оползают покровные делювиальные суглинки, юрские породы (аргиллиты с прослоями песчаников, алевролитов, известняков). Проявление развивается на левом борту балки Сулимовская (базис оползания). Параметры активного очага - ширина 7 м, длина 10 м. Факторы активизации - атмосферные осадки, техногенный (подрезка склона при строительстве дороги).		
23.2022.0269	Южный	Краснодарский край	МО город-курорт Сочи, Адлерский район, с. Эсто-Садок, ул. Альпийское шоссе	43,67418	40,28689	43,67418	40,28689	00.00.22	00.09.22	Оп	Атм., техн.	Не отмечалось	В Адлерском районе г. Сочи на Курорте Красная Поляна отмечалась активизация оползневого процесса по ул. Альпийское шоссе. В верховом откосе дороги оползневое проявление затянуто сеткой-геотекстилем. Сетка порвана. Высота над полотном дороги около 4 м. В оползание вовлечены щебнистые суглинки. Проявление развивается в северном направлении, базис развития - днище долины р. Мзымта. Параметры активного очага - 3×3 м. Факторы активизации - атмосферные осадки, техногенный (подрезка склона при строительстве дороги).		

1	2	3	4	5	6	7	8	9	10	11	12	13	14	15	16
23.2022.0270	Южный	Краснодарский край	МО город-курорт Сочи, Адлерский район, пгт. Красная Поляна	43,68761	40,21052	43,68761	40,21052	00.00.22	00.09.22	Оп	Атм., техн.	Отмечалось	В Адлерском районе г. Сочи в пгт. Красная Поляна отмечалась активизация оползневого процесса на местной автомобильной дороге. На протяжении 7 м на проезжей части трещины и деформации. На дороге волнообразные перегибы до 40 см. Параметры активного очага - ширина 20 м, длина 10 м. Базис оползания - днище долины р. Мзымта. Оползают покровные делювиальные суглинки, юрские породы (известняки, песчаники, аргиллиты, прослои мергелей, редко конгломератов). Факторы активизации - атмосферные осадки, техногенный (эксплуатация дороги).		
23.2022.0271	Южный	Краснодарский край	МО город-курорт Сочи, Адлерский район, верховья р. Кепша, 10 км к северо-западу от п. Кепша	43,67815	39,97814	43,67815	39,97814	00.00.22	00.09.22	Об	Атм.	Не отмечалось	В Адлерском районе в верховьях р. Кепши отмечалась активизация обвального процесса. Отмечаются осыпания и обрушения пород вдоль левого фланга оползневого массива. У подошвы склона отмечаются скопления свежего коллювия. Размер самых крупных обломков 0,5 м, но преимущественно 0,2-0,3 м. Ранее обрушившийся материал переотлагается, дробится и смещается дальше по склону. Параметры активного обвального участка - длина 20 м, ширина 120 м. Базис развития - русловый врез р. Кепши. Состав горных пород, затронутых проявлением: тектонический контакт средней юры, нижнего и верхнего мела (пестроцветные аргиллиты, мергели, алевролиты). Породы в значительной степени трещиноваты, что способствует развитию активных обвально-осыпных процессов. Фактором активизации также выступает избыточное количество атмосферных осадков.		
23.2022.0272	Южный	Краснодарский край	МО город-курорт Сочи, Адлерский район, верховья р. Кепша, 10 км к северо-западу от п. Кепша	43,67669	39,97692	43,67669	39,97692	00.00.22	00.09.22	Оп	Атм.	Не отмечалось	В Адлерском районе на Кепшинском отмечалась активизация оползневого процесса на правом фланге массива. Грунт увлажнен, из высачиваний родников формируется постоянный водоток. Оползает щебень и дресва с суглинистым заполнителем, размер обломков до 10 см. На очаге отмечаются поперечные трещины растяжения. Коренные породы на целике сильно трещиноваты и раздроблены. Параметры 80 м длина, 40 м ширина. Базис развития - русловый врез р. Кепши. Состав горных пород, затронутых проявлением: тектонический контакт средней юры, нижнего и верхнего мела (пестроцветные аргиллиты, мергели, алевролиты). Фактором активизации также выступает избыточное количество атмосферных осадков.		
23.2022.0273	Южный	Краснодарский край	МО город-курорт Сочи, Центральный район, мкрн. Донская, ул. Тимирязева, 7	43,62757	39,72230	43,62757	39,72230	00.07.22	00.09.22	Оп	Атм.	Отмечалось	По информации СМИ в Центральном районе, по адресу ул. Тимирязева 7, в конце июля отмечалась активизация оползневого процесса. Сообщалось, что было оказано негативное воздействие на подпорную стену - под действием давления грунта, подпорная стена была деформирована, значительно накренившись. На придомовой территории многоквартирного дома выявлено разрушение подпорной стены, расхождение бетонных секций (они стянуты железными перемычками-пластинами). Стена значительно отклонена от вертикали. Оползневое проявление развивается в южном направлении в средней части склона на водораздельном пространстве рек Сочи и Бочарова Ручья. Базис оползания - днище балочного понижения, левостороннего притока Бочарова Ручья. Параметры оползня - ширина 20 м при длине около 5 м. На момент обследования проявление стабильно. В оползание вовлечены делювиальные суглинки. Фактор активизации - атмосферные осадки.		

1	2	3	4	5	6	7	8	9	10	11	12	13	14	15	16
23.2022.0274	Южный	Краснодарский край	МО город-курорт Сочи, Центральный район, мкрн. Заречный, ул. Цюрупы 13а	43,60043	39,71881	43,60043	39,71881	23.07.22	00.09.22	Оп	Атм.	Отмечалось	По информации СМИ в Центральном районе МО г. Сочи, 23 июля 2022 года в результате ливневых осадков отмечалась активизация оползневого процесса в районе дома №13а по ул. Цюрупы. Сообщалось, что произошло обрушение подпорной стены, повреждена газовая труба, легковые автомобили. Был введен ЧС локального уровня №2362 от 23.07.2022. В результате выявлено разрушение подпорной стены вследствие оползневых процессов. На момент обследования участок стабилизировался. Ведется реконструкция инженерной защиты склона. Рельеф выше подпорной стены техногенно переформирован. Параметры оползня - ширина 60 м, длина 30 м. Проявление развивается в восточном направлении на правобережном склоне долины р. Сочи (базис оползания). В оползание вовлечены делювиальные суглинки. Фактор активизации - атмосферные осадки.		ЧС №2362 от 23.07.2022
23.2022.0275	Южный	Краснодарский край	МО город-курорт Сочи, Лазаревский район, мкрн. Головинка, перегон Чемитоквадже-Якорная Щель (в районе ж/д станции Лазурный Берег)	43,78478	39,46690	43,78478	39,46690	27.07.22	00.09.22	Оп	Атм.	Отмечалось	По информации СМИ в Лазаревском районе МО Сочи на перегоне Чемитоквадже-Якорная Щель в результате переувлажнения почвы произошел сход оползня. Сообщалось о повреждении двух металлических контактных опор электросети. Была задержка движения 12 пассажирских поездов, одного товарного. Ориентировочные параметры оползневого очага - ширина 5 м, длина 10 м. Базис развития - пляжевая зона Черного моря. В оползание вовлечены делювиально-коллювиальные суглинки. Фактор активизации - атмосферные осадки.		
23.2022.0276	Южный	Краснодарский край	МО город-курорт Сочи, Центральный район, мкрн. Мамайка, 171 км трассы А-147 (Батумское шоссе)	43,64239	39,69986	43,64239	39,69986	01.08.22	00.09.22	Об	Атм.	Не отмечалось	По информации СМИ в Центральном районе г. Сочи на 171-м км трассы А-147 (Мамайский перевал) микрорайона Мамайка в верховом откосе дороги отмечалась активизация обвального процесса. Сообщалось о вывале грунта объемом около 300 м² под защитную укрепляющую стенку. Были проведены работы по укреплению склона и восстановлению защитной сетки. Активизация была вызвала залповыми ливнями, прошедшими в г. Сочи в конце июля. Базис развития - днище долины р. Псахе (Мамайка)		
23.2022.0277	Южный	Краснодарский край	МО город-курорт Сочи, Хостинский район, с. Барановка, Овощной пер.	43,64356	39,74320	43,64356	39,74320	02.08.22	00.09.22	Оп	Атм.	Отмечалось	По информации СМИ в Хостинском районе в с. Барановка, пер. Овощной в начале августа на автомобильной дороге отмечалась активизация оползневого процесса, образовались трещины и вертикальные смещения. Сообщалось, что движение автомобилей было затруднено. Проявление было обследовано 12 сентября, к тому моменту оползень стабилизировался. Был произведен ремонт проезжей части. На автомобильной дороге остались небольшие трещины растяжения. Рельеф оползневой, в верховом откосе установлена старая инженерная защита (4-х ярусная подпорная стена из бетонных блоков). Активизация опасного ЭГП связана с ливневыми осадками, прошедшими в г. Сочи в конце июля. Направление развития оползня - северо-восток в днище долины правостороннего притока р. Сочи. Ориентировочные параметры - 20×20 м. Воздействие на протяжении 20 м.		

1	2	3	4	5	6	7	8	9	10	11	12	13	14	15	16
23.2022.0278	Южный	Краснодарский край	МО город-курорт Сочи, Хостинский район, ул. Новороссийское шоссе (в районе санаториев «Мыс Видный» и «Победа»)	43,51573	39,85568	43,51573	39,85568	13.09.22	00.09.22	Оп	Атм., техноген	Отмечалось	По информации СМИ 13 сентября в Хостинском районе г. Сочи, на участке Новороссийского шоссе 1-2 отмечалась активизация оползневого процесса. Фактором активизации послужили атмосферные осадки. Сообщается, что в результате активизации была частично разрушена автомобильная дорога, движение автотранспорта ограничено.		
23.2022.0279	Южный	Краснодарский край	МО город-курорт Сочи, Хостинский район, ул. Новороссийское шоссе (возле пересечения с ул. Леси Украинки)	43,51902	39,84959	43,51902	39,84959	24.09.22	00.09.22	Оп	Атм.	Отмечалось	По информации СМИ 24 сентября в Хостинском районе г. Сочи отмечалась активизация оползневого процесса. Сообщалось, что на участке дороги по ул. Новороссийское шоссе обрушилась остановка общественного транспорта. По данным мониторинга это участок неоднократных активизаций оползневого процесса. Ориентировочные параметры - ширина около 15 м при аналогичной длине. Базис развития - полка дороги А-147. В оползание вовлечены делювиальные суглинки и подстилающие коренные породы (глины с прослоями песков, песчаников, алевролитов, иногда мергелей и известняков). Фактор активизации - атмосферные осадки		
23.2022.0280	Южный	Краснодарский край	МО город-курорт Сочи, Хостинский район, с. Измайловка, ул. Измайловская (в районе Змейковских водопадов)	43,63227	39,82341	43,63227	39,82341	29.09.22	00.09.22	Об	Атм.	Не отмечалось	По информации СМИ 29 сентября в Хостинском районе г. Сочи, в с. Измайловка, отмечалась активизация обвального процесса. Сообщалось, что на участке автодороги в районе Змейковских водопадов в верховом откосе произошел обвал скальных пород (трещиноватые аргиллиты, алевролиты, прослои песчаника). По данным мониторинга это участок неоднократных активизаций опасных экзогенных процессов. Ширина активизации составила около 20 м, длина до 0,5 м. Размерность задействованных в обвале обломков варьируется от дресвяной фракции до глыб 0,5×0,5 м. Направление развития проявления – юго-западное, базис развития – днище долины р. Мацеста. Факторами активизации послужили атмосферные осадки.		
30.2022.0001	Южный	Астраханская область	с. Черный Яр, Черноярский р-н, напротив северной окраины села	48,06826	46,11783	48,06826	46,11783	00.04.22	Не завершилась	Об	Атм., Эб	Не отмечалось	Отмечалась активизация обвального процесса протяженностью 0,3 км расположеного вдоль берегового уступа на правом берегу р. Волги, напротив северной части с. Черный Яр Черноярского района. Уступ высотой 14 м, в верхней части субвертикальный, сложен верхнечетвертичными (QIII hv1) суглинками, а в нижней, наклонной части - песками. Нижняя часть уступа заросла травой, местами кустарником и деревьями. Вдоль бровки уступа встречаются единичные трещины закола, с образованием «висячих» блоков размером до 0,4×1,5 м. Отступание берега составило 0,25 м. Активизация на площади 4200 м², объем 1050 м³. Базис развития - основание берегового уступа реки. Основные факторы активизации - атмосферные осадки, боковая эрозия в паводковый период. Активность проявления на время обследования - 100%.		

1	2	3	4	5	6	7	8	9	10	11	12	13	14	15	16
30.2022.0002	Южный	Астраханская область	Енотаевский р-н, территория бывшего консервного завода с. Никольское	47,77278	46,38319	47,77278	46,38319	00.04.22	Не завершилась	Оп	Атм., Эб	Не отмечалось	Отмечалась активизация оползневого процесса протяженностью 1810 м, расположеного на правом берегу р. Волги вдоль субвертикального берегового уступа высотой 15-18 м, к западу от с. Никольское Енотаевского района. Сложен уступ в верхней части (2-8 м) коричневыми глинами и суглинками, а ниже – песками и супесями верхнечетвертичного возраста. Параметры активизации: протяженность вдоль берега 1810 м, длина по смещению от 0,6 до 10,7 м, мощность до 15-18 м. Вдоль уступа происходят оползания крупных блоков пород и обвалы с остатками бетонных конструкций бывшего консервного завода. Высокая скорость разрушения берега объясняется боковой эрозией прижимного течения на излучине реки. Ежегодно накапливающиеся обвально-оползневые образования размываются паводковыми водами. Средняя скорость отступания берега составила 4,64 м. Активизация на площади 8398 м², объем 134374 м³. Базис развития - основание берегового уступа реки. Параметры активизации совпадают с параметрами проявления. Активность на время обследования - 100%. Основные факторы активизации - боковая эрозия, атмосферные осадки.		
30.2022.0003	Южный	Астраханская область	Енотаевский р-н, с. Копановка	47,46396	46,81675	47,46396	46,81675	00.04.22	Не завершилась	Об	Атм., Эб	Не отмечалось	Отмечалась активизация обвального процесса протяженностью 1400 м расположенного вдоль берегового уступа на правом берегу р. Волги, напротив с. Копановка Енотаевского района. Уступ высотой 15-17 м, сложен верхнечетвертичными (QIII hv1) коричневыми суглинками (2-8 м) подстилающимися песками. Проявление было активно на интервале 980 м, где вдоль бровки уступа, по образованным трещинам отрыва, происходят обвалы и наблюдается ряд отделяющихся блоков размером до 1,2×3,0 м. Отступание берега составило 0,78 м. Базис развития - основание берегового уступа реки. Активизация на площади 16660 м², объем 12995 м³. Основные факторы активизации - атмосферные осадки, боковая эрозия в паводковый период. Активность проявления на время обследования - 70%.		
30.2022.0004	Южный	Астраханская область	Енотаевский р-н, с. Владимировка	47,17969	47,03551	47,17969	47,03551	00.04.22	Не завершилась	Об	Атм., Эб	Не отмечалось	Отмечалась активизация обвального процесса протяженностью 300 м расположенного вдоль берегового уступа на правом берегу р. Волги, напротив с. Владимировка Енотаевского района. Уступ высотой 16 м, в верхней части субвертикальный, сложен верхнечетвертичными (QIII hv1) бурыми супесями суглинками и песками. Вдоль бровки уступа встречаются отдельные трещины отрыва. Среднее отступание берега составило 0,35 м. Базис развития - основание берегового уступа реки. Активизация на площади 4800 м², объем 1680 м³. Основные факторы активизации - атмосферные осадки, боковая эрозия в паводковый период. Протяженность всего проявления 1700 м.		
30.2022.0005	Южный	Астраханская область	Енотаевский р-н, с. Косика	47,09708	47,21359	47,09708	47,21359	00.04.22	Не завершилась	Об	Атм., Эб	Не отмечалось	Отмечалась активизация обвального процесса, протяженностью 500 м расположено вдоль берегового уступа высотой 12-15 м. Уступ сложен верхнечетвертичными (QIII hv1) песками, перекрытыми красновато-коричневыми суглинками (2-3 м) с прослоями песков. Активизация наблюдалась на интервале 240 м, где на склоне уступа видны преимущественно мелкообломочные обвальные образования объемом до 1-2 м³. Отступание берега составило 0,55 м. Базис развития - основание берегового уступа реки. Активизация на площади 1440 м², объем 792 м³. Основные факторы активизации - атмосферные осадки, боковая эрозия в паводковый период. Активность проявления на время обследования - 50%.		

1	2	3	4	5	6	7	8	9	10	11	12	13	14	15	16
30.2022.0006	Южный	Астраханская область	Икрянинский р-н, с. Сергиевка	45,97005	47,62728	45,97005	47,62728	00.04.22	Не завершилась	Об	Атм., Эб	Не отмечалось	Отмечалась активизация обвального процесса, протяженностью 500 м расположено вдоль берегового уступа на правом берегу р. Бахтемир высотой 1-8 м, в с. Сергиевка Икрянинского района. Уступ отвесный, сложен легкими суглинками и супесями (бугор Бэра). Параметры активизации совпадают с параметрами проявления. Обвалы происходят по трещинам отрыва, образующимся вдоль бровки уступа. Активность процесса усиливается боковой эрозией прижимного течения на излучине реки. Пляж отсутствует, поэтому происходит быстрый размыв обвальных образований водами реки. Среднее отступание берега составило 1,37 м. Базис развития - основание берегового уступа реки. Активизация на площади 1650 м², объем 2261 м³. Основные факторы активизации - атмосферные осадки, боковая эрозия. Активность проявления на время обследования - 100%. Вблизи от берегового уступа (0-10 м) находятся жилые дома, хозяйственные строения, столбы ЛЭП и линия газопровода. Продолжается разрушение бывшего жилого дома, подсобных строений.		
30.2022.0007	Южный	Астраханская область	Нариманов ский р-н, с. Петропавловка	46,83095	47,77309	46,83095	47,77309	00.04.22	Не завершилась	Об	Атм., Эб	Отмечалось	Отмечалась активизация обвального процесса, протяженностью 2400 м расположено вдоль берегового уступа на левом берегу р. Волги высотой 1,5-5,0 м, напротив с. Петропавловка Нариманов ского района. Уступ крутой, с двумя-тремя уступами-террасами шириной 3-5 м, сложен верхнечетвертичными аллювиальными суглинками. Вдоль берега сооружена дамба, защищающая село от затопления паводковыми водами, во многих местах почти полностью разрушенная. Обвалы происходят по трещинам отрыва, образующимся вдоль бровки уступа. Обвальные образования полностью размыты. Протяженность активного берега составила 2400 м. Активность процесса усиливается боковой эрозией прижимного течения на излучине реки. Среднее отступание берега составило 1,5 м. Базис развития - основание берегового уступа реки. Активизация на площади 7200 м², объем 10800 м³. Основные факторы активизации - атмосферные осадки, боковая эрозия. Активность проявления на время обследования - 100 %. Вблизи от берегового уступа находятся жилые дома, хозяйственные строения, столбы ЛЭП. Продолжается разрушение водозащитной дамбы и сокращение прибрежной территории села.		
30.2022.0008	Южный	Астраханская область	Ахтубинский район, в 1.32 км на северо-восток по Аз. 11 от п. Средний Баскунчак	48,21972	46,79286	48,21972	46,79286	00.04.22	Не завершилась	Ка	Атм.	Не отмечалось	Отмечалась активизация карстового процесса, расположено в 1,32 км на северо-восток по Аз. 11 от п. Средний Баскунчак Ахтубинского района, в вершине отвершка слепого оврага № 2 и представлено овальным провалом размером 5,0×1,5 м и глубиной 1,0 м. Вокруг него суглинки с обломками гипса. Провал имеет сужающуюся конусовидную форму. Стенки провала крутые, но понор в основании не просматривается. Активность низкая. Факторы активизации - атмосферные осадки, трещиноватость пород.		
30.2021.0009	Южный	Астраханская область	Ахтубинский район, в 1.36 км на север-северо-восток по Аз. 8 от п. Средний Баскунчак	48,22014	46,79206	48,22014	46,79206	00.04.22	Не завершилась	Ка	Атм.	Не отмечалось	Отмечалась активизация карстового процесса, расположено в 1.36 км на север-северо-восток по Аз. 8 от п. Средний Баскунчак Ахтубинского района, на склоне слепого оврага № 2 и представлено вытянутым воронкообразным провалом размером 5,0×3,0 м и глубиной 1,5 м. На стенках имеются выходы гипсов, а в основании щелевидные поноры по которым происходит сброс дождевых и талых вод в подземные карстовые полости. Вокруг отверстий идет постепенное разрушение пород. Активность средняя. Активность средняя. Факторы активизации - атмосферные осадки, трещиноватость пород.		

1	2	3	4	5	6	7	8	9	10	11	12	13	14	15	16
30.2021.0010	Южный	Астраханская область	Ахтубинский район, в 1.34 км на север-северо-восток по Аз. 5 от п. Средний Баскунчак	48,22006	46,79092	48,22006	46,79092	00.04.22	Не завер-шилась	Ка	Атм.	Не отмечалось	Отмечалась активизация карстового процесса, расположено в 1.34 км на север-северо-восток по Аз. 5 от п. Средний Баскунчак Ахтубинского района, на дне слепого оврага №1 и представлено двумя воронкообразными формами диаметром 3,5 м и глубиной 1,2 м и диаметром 4.0 м и глубиной 2.0 м, соединенными перемычкой. Активна восточная, наиболее глубокая воронка, с крутых стенок которой происходит осыпание, а в основании имеется понор. Активность средняя. Факторы активизации - атмосферные осадки, трещиноватость пород.		
30.2022.0011	Южный	Астраханская область	Ахтубинский район, в 1.37 км на север-северо-восток по Аз. 4 от п. Средний Баскунчак	48,22035	46,79059	48,22035	46,79059	00.04.22	Не завер-шилась	Ка	Атм.	Не отмечалось	Отмечалась активизация карстового процесса, расположено в 1.37 км на север-северо-восток по Аз.4 от п. Средний Баскунчак Ахтубинского района и представлено группой воронок в слепом овраге № 1, на площади 40×25 м. В покровных суглинках, среди коренных выходов гипсов, выделяется 8 воронок и воронкообразных форм диаметром от 0,6-2 до 8 м и глубиной до 2.0 м. Среди них, одна воронка в суглинках диаметром 0,6 м и глубиной 0,7 м, с резкими субвертикальными краями, вдоль которых имеются полусферические трещины закола, шириной до 1-1,5 см. С ее бортов происходит осыпание горной породы. Активность средняя. факторы активизации - атмосферные осадки, трещиноватость пород.		
34.2022.0001	Южный	Волгоградская область	на левом берегу Волгоградского водохранилища, вдоль берегового уступа, напротив с. Рахинка Среднеахтубинского района	49,00911	44,91077	49,00911	44,91077	00.04.22	Не завер-шилась	Об	Атм., Гидрол.	Не отмечалось	Отмечалась активизация обвального процесса, протяженностью 650 м, расположено на левом берегу Волгоградского водохранилища, вдоль берегового уступа, напротив южной части с. Рахинка Среднеахтубинского района. Комплекс пород осадочный (QIII hv1). Уступ высотой 3-5 м, сложен верхнечетвертичными коричневыми слоистыми глинами и суглинками, а нижняя его часть - коричневато-желтыми песками Вода омывает подножье уступа. Вдоль бровки встречаются трещины закола шириной до 0,1 м и протяженностью 1,5-4 м. Отступание берега на интервале составило 1,35 м. Активизация на площади 2600 м², объем 3510 м³. Протяженность всего проявления составляет 2200 м. Активность проявления на время обследования - 20 %. Базис - основание берегового уступа водохранилища. Факторы активизации: атмосферные осадки, гидрологический.		
34.2022.0002	Южный	Волгоградская область	напротив южной части п. Приморск Быковского района	49,26186	45,01604	49,26186	45,01604	00.04.22	Не завер-шилась	Об	Атм., Гидрол.	Не отмечалось	Отмечалась активизация обвального процесса, протяженностью 100 м, расположено на левом берегу Волгоградского водохранилища, вдоль берегового уступа, напротив южной части п. Приморск Быковского района. Комплекс пород осадочный (QIII hv1). Уступ высотой 8 м, сложен верхнечетвертичными коричневато-желтыми песками, в верхней части коричневыми суглинками. Вода омывает подножье уступа. Вдоль бровки встречаются трещины закола шириной до 0,1 м и протяженностью 1,5-4 м. Отступание берега на интервале составило 1.12 м. Активизация на площади 800 м², объем 896 м³. Протяженность всего проявления составляет 1060 м. Базис - основание берегового уступа водохранилища. Факторы активизации: атмосферные осадки, гидрологический.		

1	2	3	4	5	6	7	8	9	10	11	12	13	14	15	16
34.2022.0003	Южный	Волгоградская область	напротив с. Нижний Балыклей Быковского района, на левом берегу Волгоградского водохранилища	49,49658	45,13896	49,49658	45,13896	05.04.22	Не завершилась	Об	Атм., Гидрол.	Не отмечалось	Отмечалась активизация обвального процесса, протяженностью 700 м, расположено вдоль берегового уступа на левом берегу Волгоградского водохранилища, напротив с. Нижний Балыклей. Уступ высотой 8 м, сложен верхнечетвертичными коричневыми глинами и суглинками. Под уступом вода омывает берег. Отступание берега на интервале составило 1,65 м. Активизация на площади 5600 м², объем 9240 м³. Параметры активизации совпадают с параметрами проявления. Базис - основание берегового уступа водохранилища. Факторы активизации: атмосферные осадки, гидрологический.		
34.2022.0004	Южный	Волгоградская область	р.ц. Быково Быковского района	49,76490	45,37187	49,76490	45,37187	00.04.22	Не завершилась	Об	Атм., Гидрол.	Не отмечалось	Отмечалась активизация обвального процесса, протяженностью 3370 м, расположено вдоль берегового уступа на левом берегу Волгоградского водохранилища, напротив р.ц. Быково. Высота уступа повышается в северном направлении от 0-4 до 8-10 м. Сложен он желтовато-коричневыми песками перекрытыми коричневыми глинами и суглинками (0,5-1,5 м). Вдоль бровки уступа встречаются заколы в суглинках шириной до 0,1 м и глубиной раскрытия до 1,5 м. На большей части интервала вода омывает подножье уступа. Отступание берега на интервале составило 1,13 м. Активизация на площади 26960 м², объем 30465 м³. Протяженность всего проявления составляет 4100 м. Активность проявления на время обследования - 80 %. Базис - основание берегового уступа водохранилища. Факторы активизации: атмосферные осадки, гидрологический.		
34.2022.0005	Южный	Волгоградская область	в южной части с. Кислово Быковского района	49,88792	45,37107	49,88792	45,37107	00.04.22	Не завершилась	Об	Атм., Гидрол.	Не отмечалось	Отмечалась активизация обвального процесса, протяженностью 500 м, расположено вдоль берегового уступа на левом берегу Волгоградского водохранилища, в южной части с. Кислово Быковского района. Уступ высотой 5-6 м сложен песками. Под уступом имеются следы свежих обвалов, но почти все они размыты водой. Отступание берега на интервале составило 0.14 м. Активизация на площади 2500 м², объем 350 м³. Протяженность всего проявления составляет 600 м. Активность проявления на время обследования - 80 %. Базис - основание берегового уступа водохранилища. Факторы активизации: атмосферные осадки, гидрологический.		
34.2022.0006	Южный	Волгоградская область	напротив средней части с. Кислово Быковского района	49,90017	45,37788	49,90017	45,37788	00.04.22	Не завершилась	Об	Атм., Гидрол.	Не отмечалось	Отмечалась активизация обвального процесса, протяженностью 580 м, расположено вдоль берегового уступа на левом берегу Волгоградского водохранилища, напротив средней части с. Кислово. Уступ высотой 5-6 м сложен песками. Под уступом имеются следы свежих обвалов, но почти все они размыты водой. Отступание берега на интервале составило 0,2 м. Протяженность активной части составляет 580 м. Активизация на площади 2900 м², объем 551 м³. Активность проявления на время обследования - 80 %. Базис - основание берегового уступа водохранилища. Факторы активизации: атмосферные осадки, гидрологический. Отдельные жилые дома расположены в 20-30 м от берега. В юго-западной части проявления, в результате береговых обвалов, продолжается разрушение брошенного жильцами дома.		

1	2	3	4	5	6	7	8	9	10	11	12	13	14	15	16
34.2022.0007	Южный	Волгоградская область	напротив с. Бережновка Николаевского р-на	50,26827	45,90819	50,26827	45,90819	00.04.22	Не завершилась	Об	Атм., Гидрол.	Не отмечалось	Отмечалась активизация обвального процесса, протяженностью 1670 м, расположено вдоль берегового уступа на левом берегу Волгоградского водохранилища, напротив северо-восточной части с. Бережновка Николаевского района. Комплекс пород осадочный (QIII hv1). Береговой уступ вертикальный, повышается в СВ направлении от 2 до 8 м. Верхняя часть его (до 1,5 м) сложена коричневыми глинами, ниже залегают коричневато-желтые пески. Вода омывает подножие берегового уступа. Отступание берега на интервале составило 0,81 м. Активизация на площади 8350 м², объем 6764 м³. Параметры активизации совпадают с параметрами проявления. Базис - основание берегового уступа водохранилища. Факторы активизации: атмосферные осадки, гидрологический.		
34.2022.0008	Южный	Волгоградская область	Николаевский р-н, х. Рыбный	50,13808	45,59729	50,13808	45,59729	00.04.22	Не завершилась	Об	Атм., Гидрол.	Не отмечалось	Отмечалась активизация обвального процесса, протяженностью 900 м, расположено вдоль берегового уступа на левом берегу Волгоградского водохранилища, в районе х. Рыбный Николаевского района. Уступ высотой 9 м, вертикальный, сложен коричневыми глинами и суглинками. Бровка уступа нависающая, сильно эродирована, местами вдоль бровки видны трещины закола. Вода омывает основание берегового уступа. Отступание берега на интервале составило 1,8 м. Протяженность активной части составляет 500 м. Активизация на площади 4500 м², объем 8100 м³. Базис - основание берегового уступа водохранилища. Факторы активизации: атмосферные осадки, гидрологический.		
34.2022.0009	Южный	Волгоградская область	напротив С-В части с. Нижняя Добринка Камышинского р-на	50,31613	45,70814	50,31613	45,70814	00.04.22	Не завершилась	Об	Атм., Гидрол.	Отмечалось	Отмечалась активизация обвального процесса, протяженностью 400 м, расположено вдоль берегового уступа на правом берегу Волгоградского водохранилища, напротив северо-восточной части с. Нижняя Добринка Камышинского района. Комплекс пород осадочный (QIII hv1). Береговой уступ вертикальный, высотой 5-6 м, сложен коричневыми глинами и суглинками. Под уступом сплошная полоса свежих обвальных образований. Отступание берега на интервале составило 0,55 м. Активизация на площади 2400 м², объем 1320 м³. Протяженность всего проявления составляет 900 м. Активность проявления на время обследования - 50%. Базис - основание берегового уступа водохранилища. Факторы активизации: атмосферные осадки, гидрологический. Продолжается разрушение территории домовладений по улице Ленина. Сокращение составило 220 м²		
34.2022.0010	Южный	Волгоградская область	Дубовский р-н, с. Горный Балыклей	49,55171	45,09855	49,55171	45,09855	00.04.22	Не завершилась	Об	Атм., Гидрол.	Не отмечалось	Отмечалась активизация обвального процесса, протяженностью 600 м, расположено вдоль берегового уступа на правом берегу Волгоградского водохранилища, напротив северо-восточной части с. Горный Балыклей Дубовского района. Комплекс пород осадочный (QIII hv1, Pg1). Уступ, высотой 13-15 м, крутой, до вертикального, сложен в верхней части коричневыми слоистыми глинами (до 2 м), ниже – песками, опоками и песчаниками палеогена. Вода возле подошвы берегового уступа. Отступание берега на интервале составило 0,7 м. Активизация на площади 9000 м², объем 6300 м³. Параметры активизации совпадают с параметрами проявления. Базис - основание берегового уступа водохранилища. Факторы активизации: атмосферные осадки, гидрологический.		

1	2	3	4	5	6	7	8	9	10	11	12	13	14	15	16
34.2022.0011	Южный	Волгоградская область	Дубовский р-н, с. Горный Балыклей	49,54811	45,08854	49,54811	45,08854	00.04.22	Не завер-шилась	Об	Атм., Гидрол.	Не отмечалось	Отмечалась активизация обвального процесса, протяженностью 200 м, расположено вдоль берегового уступа на правом берегу Волгоградского водохранилища, напротив средней части села Горный Балыклей Дубовского района. Комплекс пород осадочный (QIII hv1, Pg1). Береговой уступ, высотой 7-8 м, вертикальный, сложен желтовато-коричневыми песками. Под уступом сплошная полоса свежих обвальных образований. Отступание берега на интервале составило 9,17 м. Активизация на площади 1600 м², объем 14672 м³. Протяженность всего проявления составляет 660 м. Активность проявления на время обследования - 30 %. Базис - основание берегового уступа водохранилища. Факторы активизации: атмосферные осадки, гидрологический.		
34.2022.0012	Южный	Волгоградская область	Дубовский р-н, с. Горный Балыклей	49,54525	45,08273	49,54525	45,08273	00.04.22	Не завер-шилась	Об	Атм., Гидрол.	Не отмечалось	Обвальное проявление протяженностью 380 м, расположено вдоль берегового уступа на правом берегу Волгоградского водохранилища, напротив средней части села Горный Балыклей Дубовского района. Комплекс пород осадочный (QIII hv1 Pg1). Береговой уступ высотой 7 м, в верхней части вертикальный. Верхняя часть его сложена глинами, ниже обнажаются пески. Отступание берега на интервале составило 1,25 м. Параметры активизации совпадают с параметрами проявления. Активизация на площади 2660 м², объем 3325 м³. Базис - основание берегового уступа водохранилища. Факторы активизации: атмосферные осадки, гидрологический.		
34.2022.0013	Южный	Волгоградская область	Дубовский р-н, с. Горный Балыклей	49,54334	45,07881	49,54334	45,07881	00.04.22	Не завер-шилась	Об	Атм., Гидрол.	Не отмечалось	Отмечалась активизация обвального процесса, протяженностью 70 м, расположено вдоль берегового уступа на правом берегу Волгоградского водохранилища, напротив юго-восточной части села Горный Балыклей Дубовского района. Комплекс пород осадочный (Pg1, QIII hv1). Береговой уступ высотой 6-7 м, в верхней части сложен глинами, ниже обнажаются пески и опоковидные песчаники. Отступание берега на интервале составило 1,05 м. Активизация отмечалась на площади 490 м², объем 515 м³. Протяженность всего проявления составляет 320 м. Активность проявления на время обследования - 20 %. Базис - основание берегового уступа водохранилища. Факторы активизации: атмосферные осадки, гидрологический.		
34.2022.0014	Южный	Волгоградская область	напротив северной части ст. Суводской Дубовского р-на	49,49107	45,06043	49,49107	45,06043	00.04.22	Не завер-шилась	Об	Атм., Гидрол.	Не отмечалось	Отмечалась активизация обвального процесса, протяженностью 80 м, расположено вдоль берегового уступа на правом берегу Волгоградского водохранилища, напротив северной части ст. Суводской Дубовского района. Комплекс пород осадочный (QIII hv1). Береговой уступ, высотой 8-9 м, сложен коричневыми суглинками с горизонтами обломочных опок. Полоса вдоль уступа полностью заросла травой и бурьяном. В его основании отдельные обвалы объемом до 1 м3. Отступание берега на интервале составило 0,34 м. Активизация на площади 720 м², объем 245 м3. Протяженность всего проявления составляет 520 м. Активность проявления на время обследования - 15 %. Базис - основание берегового уступа водохранилища. Факторы активизации: атмосферные осадки, гидрологический.		

1	2	3	4	5	6	7	8	9	10	11	12	13	14	15	16
34.2022.0015	Южный	Волгоградская область	Дубовский р-н, с. Горноводяное, напротив С-В части села	49,25640	44,94969	49,25640	44,94969	00.04.22	Не завершилась	Об	Атм., Гидрол.	Отмечалось	Отмечалась активизация обвального процесса, протяженностью 200 м, расположено вдоль берегового уступа на правом берегу Волгоградского водохранилища, напротив северо-восточной части с. Горноводяное Дубовского района. Комплекс пород осадочный (Pg2, QIII hv1). Береговой уступ высотой 12 м, вертикальный, сложен коричневыми суглинками с прослоями обломочных опок, ниже – песками и песчаниками палеогена. На уступе и вдоль его бровки встречаются трещины закола. Обвальные образования размыты водой. Отступание берега на интервале составило 0,27 м. Активизация на площади 2600 м², объем 702 м³. Протяженность всего проявления составляет 930 м. Активность проявления на время обследования - 20 %. Базис - основание берегового уступа водохранилища. Факторы активизации: атмосферный, гидрологический. Происходит разрушение домов первой линии и ежегодное сокращение территории домовладений (2022 г – 54 м²)		
34.2022.0016	Южный	Волгоградская область	Дубовский р-н, с. Горноводяное, напротив Ю-В части села	49,24977	44,94805	49,24977	44,94805	00.04.22	Не завершилась	Об	Атм., Гидрол.	Не отмечалось	Отмечалась активизация обвального процесса, протяженностью 130 м, расположено вдоль берегового уступа на правом берегу Волгоградского водохранилища, напротив юго-восточной части с. Горноводяное Дубовского района. Комплекс пород осадочный (Pg2, QIII hv1). Береговой уступ высотой 22-24 м, вертикальный, сложен коричневыми суглинками с прослоями обломочных опок, ниже – песками и песчаниками палеогена. Трещин закола вдоль бровки и на уступе нее зафиксировано. Обвальные образования размыты водой. Отступание берега на интервале составило 0,66 м. Активизация на площади 3120 м², объем 2059 м³. Протяженность всего проявления составляет 930 м. Базис - основание берегового уступа водохранилища. Факторы активизации: атмосферный, гидрологический.		
34.2022.0017	Южный	Волгоградская область	Дубовский р-н, с. Песковатка, напротив восточной окраины села	49,11422	44,87088	49,11422	44,87088	00.04.22	Не завершилась	Об	Атм., Гидрол.	Не отмечалось	Отмечалась активизация обвального процесса, протяженностью 390 м, расположено вдоль берегового уступа на правом берегу Волгоградского водохранилища, напротив восточной окраины с. Песковатка Дубовского района. Комплекс пород осадочный (Pg2, QIII hv1). Береговой уступ высотой 18 м, вертикальный, сложен песками, песчаниками и опоками палеогена, перекрытыми (1-2 м) хвалынскими суглинками. Бровка нависающая, с сильно изрезанными краями. Отступание берега на интервале составило 0,34 м. Активизация на площади 7020 м², объем 2386 м³. Параметры активизации совпадают с параметрами проявления. Активность проявления на время обследования - 100 %. Базис - основание берегового уступа водохранилища. Факторы активизации: атмосферный, гидрологический.		
34.2022.0018	Южный	Волгоградская область	Дубовский р-н, г. Дубовка, вдоль берегового уступа, южнее залива	49,04507	44,82586	49,04507	44,82586	00.04.22	Не завершилась	Об	Атм., Гидрол.	Не отмечалось	Отмечалась активизация обвального процесса, протяженностью 190 м, расположено в г. Дубовка Дубовского района, на правом берегу Волгоградского водохранилища, вдоль берегового уступа южнее залива. Комплекс пород осадочный (Pg2, QIII hv1). Береговой уступ высотой 1-3 м, вертикальный, сложен коричневыми глинами, в основании которых просматриваются пески. Обвальные образования полностью размыты в половодье и под уступом видны только последние накопления. Отступание берега на интервале составило 0,6 м. Активизация на площади 285 м², объем 171 м³. Параметры активизации совпадают с параметрами проявления. Активность проявления на время обследования - 100 %. Базис - основание берегового уступа водохранилища. Факторы активизации: атмосферный, гидрологический.		

1	2	3	4	5	6	7	8	9	10	11	12	13	14	15	16
34.2022.0019	Южный	Волгоградская область	Дубовский р-н, г. Дубовка, вдоль берегового уступа, напротив южной оконечности города	49,03791	44,82047	49,03791	44,82047	00.04.22	Не завершилась	Об	Атм., Гидрол.	Не отмечалось	Отмечалась активизация обвального процесса, протяженностью 180 м, расположено в г. Дубовка Дубовского района, на правом берегу Волгоградского водохранилища, вдоль берегового уступа напротив южной оконечности города. Комплекс пород осадочный (Pg2, QIII hv1). Береговой уступ высотой 8-10 м, вертикальный, сложен коричневыми глинами с обломками опок, в основании которых просматриваются пески. Обвальные образования полностью размыты в половодье. Отступание берега на интервале составило 0,11 м. Активизация на площади 1800 м², объем 198 м³. Параметры активизации совпадают с параметрами проявления. Активность проявления на время обследования - 100 %. Базис - основание берегового уступа водохранилища. Факторы активизации: атмосферный, гидрологический.		
34.2022.0020	Южный	Волгоградская область	Дубовский р-н, с. Пичуга, вдоль берегового уступа, напротив средней части села	48,98175	44,72545	48,98175	44,72545	00.04.22	Не завершилась	Об	Атм., Гидрол.	Не отмечалось	Отмечалась активизация обвального процесса, протяженностью 360 м, расположено в с. Пичуга Дубовского района, на правом берегу Волгоградского водохранилища, вдоль берегового уступа напротив средней части села. Комплекс пород осадочный (QIII hv1). Береговой уступ высотой 2-6 м, вертикальный, сложен желтовато-коричневыми суглинками и песками верхнечетвертичного возраста. Обвальные образования полностью размыты в половодье и под уступом видны только последние накопления. Отступание берега на интервале составило 0,48 м. Активизация на площади 2160 м², объем 1037 м³. Параметры активизации совпадают с параметрами проявления. Активность проявления на время обследования - 100 %. Базис - основание берегового уступа водохранилища. Факторы активизации: атмосферный, гидрологический.		
34.2022.0021	Южный	Волгоградская область	Дачный поселок Винновка Городищенского района, береговой уступ водохранилища	48,88092	44,66511	48,88092	44,66511	00.04.22	Не завершилась	Оп	Атм., Гидрол.	Не отмечалось	Отмечалась активизация оползневого процесса, протяженностью 50 м, представлено оползневым участком берега и расположено вдоль берегового уступа на правом берегу Волгоградского водохранилища, напротив дачного массива Винновка Городищенского района. Комплекс пород осадочный (Pg2). В настоящее время происходят обвалы и оползания небольших блоков вдоль вертикального берегового уступа высотой 16 м, сложенного песками и песчаниками с прослоями глин. Отступание берега на интервале составило 0,28 м. Активизация на площади 800 м², объем 224 м³. Протяженность всего проявления составляет 120 м. Активность проявления на время обследования - 40 %. Базис - основание берегового уступа водохранилища. Основными факторами активизации являются атмосферные осадки и уровень грунтовых вод.		
34.2022.0022	Южный	Волгоградская область	Дачный поселок Винновка Городищенского района, береговой уступ водохранилища	48,87228	44,66162	48,87228	44,66162	00.04.22	Не завершилась	Об	Атм., Гидрол.	Не отмечалось	Отмечалась активизация обвального процесса, протяженностью 30 м, расположено в дачном поселке Винновка Городищенского района, на правом берегу Волгоградского водохранилища, вдоль берегового уступа. Комплекс пород осадочный (Pg2). Береговой уступ высотой 8-10 м, вертикальный, сложен песками с обломками опок и прослоями песчаников. Пляжа нет, вода омывает берег. Отступание берега на интервале составило 0,3 м. Активизация на площади 420 м², объем 126 м³. Параметры активизации совпадают с параметрами проявления. Активность проявления на время обследования - 100 %. Базис - основание берегового уступа водохранилища. Факторы активизации: атмосферный, гидрологический.		

1	2	3	4	5	6	7	8	9	10	11	12	13	14	15	16
34.2022.0023	Южный	Волгоградская область	Котельниковский р-н, ст. Нагавская, вдоль берегового уступа, напротив восточного края станицы	47,77006	42,82955	47,77006	42,82955	00.04.22	Не завершилась	Об	Атм., Гидрол.	Не отмечалось	Отмечалась активизация обвального процесса, протяженностью 120 м, расположено вдоль берегового уступа водохранилища, напротив восточной части станицы Нагавской Котельниковского района. Высота субвертикального уступа, сложенного коричневыми глинами и суглинками, составляет 1,5-2 м. Пляж проявлен местами, шириной до 2-3 м. Бровка уступа извилистая, с промоинами и заливчиками. Вдоль нее происходит образование трещин закола и обвалы отдельных блоков пород. Отступание берега составило 8,8 м. Площадь активизации 240 м², объем 1112 м³. Протяженность всего проявления составляет 1750 м. Базис - основание берегового уступа водохранилища. Основными факторами активизации являются атмосферные осадки и уровень водохранилища.		
34.2022.0024	Южный	Волгоградская область	Котельниковский р-н, х. Веселый, вдоль берегового уступа, напротив западной части села	47,83639	42,98016	47,83639	42,98016	00.04.22	Не завершилась	Об	Атм., Гидрол.	Не отмечалось	Отмечалась активизация обвального процесса, протяженностью 170 м, расположено вдоль берегового уступа, напротив западной части х. Веселый. Уступ высотой 11-12 м, вертикальный, местами с отрицательным уклоном, сложен коричневыми суглинками. Ширина пляжа достигает 10-15 м. Бровка уступа извилистая, часто с нависающими краями. Под уступом встречаются обвалы пород объемом до 1-3 м³. Отступание берега составило 0,12 м. Площадь активизации 1020 м², объем 122 м³. Протяженность всего проявления составляет 1630 м. Активность проявления на время обследования - 10 %. Базис - основание берегового уступа водохранилища. Основными факторами активизации являются атмосферные осадки и уровень водохранилища.		
34.2022.0025	Южный	Волгоградская область	Суровикинский р-н, ст. Нижний Чир, вдоль берегового уступа, напротив юго-восточной части станицы	48,35530	43,09766	48,35530	43,09766	00.04.22	Не завершилась	Оп	Атм., Гидрол.	Не отмечалось	Отмечалась активизация оползневого процесса, расположенный вдоль берегового уступа на правом берегу Цимлянского водохранилища, напротив юго-восточной части ст. Нижний Чир Суровикинского района. Комплекс пород осадочный (Pg2). Береговой склон с уклоном до 15-250 сложен глинами, мергелями, песчаниками эоценового возраста. Оползень состоит из 2-х основных ступеней, осложненных ступенями более высоких порядков, имеет ширину 90 м, длину до 38 м и мощность 5-6 м. Активна верхняя ступень с размерами 90 х 16 м. Высота стенки головного срыва до 6 м. Активизация заключается в образовании нового небольшого (3×5 м) отсевшего блока на стенке головного срыва, напротив средней части ступени. Амплитуда его вертикальных смещений составляет 0,2-0,8 м. На всей оползневой ступени происходит подновление и образование трещин закола, с постепенным разрушением оползневых блоков. Оползень не стабилизирован. Активизация на площади 1440 м², объем 7200 м³. Площадь всего проявления составляет 3420 м³. Активность проявления на время обследования - 40 %. Базис - основание берегового уступа водохранилища. Факторы активизации: атмосферный, гидрологический.		
61.2022.0001	Южный	Ростовская область	Неклиновский район, с. Петрушино, 6-й переулок 30	47,18010	38,86885	47,18010	38,86885	00.06.22	00.07.22	Об	Атм., абр.	Не отмечалось	В Неклиновском районе, с. Петрушино, 6-й переулок 30 отмечалась активизация обвального процесса на протяжении 150 м. Склон полностью обнаженный, отвесный, в подножии склона свежие коллювиальные вывалы, обвалившиеся блоки грунта. В обвал вовлечены бурые лессовидные суглинки четвертичного возраста. Отступание берегового уступа, вовремя последний активизации, достигает 5 м. В зоне воздействия находится территория частного домохозяйства, происходит разрушение придомовой территории. Ширина активной части 150 м, длина 5 м. Факторы активизации – атмосферные осадки, абразия. Базис развития - пляжевая зона северного побережья Таганрогского залива		

1	2	3	4	5	6	7	8	9	10	11	12	13	14	15	16
61.2022.0002	Южный	Ростовская область	"Неклиновский район, с. Александровка Коса 40 м на юго-восток от ул. Смирнова 37	47,16913	38,77797	47,16913	38,77797	00.06.22	00.07.22	Оп	Атм.	Не отмечалось	В Неклиновском районе, с. Александровка Коса 40 м на юго-восток от ул. Смирнова 37 отмечалась активизация оползневого процесса. В оползание вовлечены бурые, лессовидные суглинки четвертичного возраста, а также обломки строительного мусора. Уступ задернован на 40%. Склон в верхней части крутой, близок к отвесному, к низу выполаживается. Параметры активного очага: ширина 5 м, длина 25 м. Базис развития опасного ЭГП – пляжевая зона северного побережья Таганрогского залива. Фактор активизации: атмосферные осадки. Воздействия ЭГП на земли и хозяйственные объекты не выявлено.		
61.2022.0003	Южный	Ростовская область	"Неклиновский район, пос. Золотая Коса, ул. Кирова 1В.	47,14120	38,63591	47,14120	38,63591	00.06.22	00.07.22	Об	Атм.	Не отмечалось	На береговом уступе, на южной окраине пос. Золотая Коса отмечалась активизация обвального процесса. В обвал вовлечены лессовидные суглинки, техногенные грунты. Уступ высотой около 5 м, отвесный, обнаженный, в подножии присутствуют коллювиальные накопления. На поверхности уступа отмечаются трещины растяжения, закладываются новые отдельные блоки шириной до 3 м, длиной до 0,7 м. Ширина – 30 м, длина – 1 м. Фактор активизации: атмосферные осадки. Базис развития опасного ЭГП – пляжевая зона северного побережья Таганрогского залива.		
61.2022.0004	Южный	Ростовская область	Неклиновский район, юго-восточная окраина с. Боцманово, ул. Приморская	47,17039	38,76500	47,17039	38,76500	00.05.22	00.07.22	Об	Атм., Абр.	Не отмечалось	В Неклиновском районе, на юго-восточной окраине с. Боцманово, ул. Приморская отмечалась активизация обвального процесса. Ширина активизации составила 120 м, длина 10 м. В обвал вовлечены бурые лессовидные суглинки четвертичного возраста. Поверхность уступа обнажена. Вдоль уступа отмечаются останцы различного размера, отделившиеся блоки. Подножие уступа покрыто свежими вывалами грунта. Отступание береговой линии, с момента последней активизации, ориентировочно составило 3 м. В результате активизации была разрушена деревянная лестница, ведущая к морю. Базис развития опасного ЭГП – пляжевая зона северного побережья Таганрогского залива. Факторы активизации – атмосферные осадки, абразия.		
61.2022.0005	Южный	Ростовская область	Цимлянский район, Восточная окраина г. Цимлянск	47,64256	42,11396	47,64256	42,11396	00.05.22	00.07.22	Об	Атм.	Не отмечалось	На восточной окраине г. Цимлянск отмечалась активизация обвального процесса. Ширина активной части 100 м, длина 12 м при общей высоте склона порядка 20 м. Уступ в верхней части отвесный, к низу выполаживается. Растительность на склоне распространена слабо, около 10% от общей площади. В обвал вовлечены пески, суглинки неоген-четвертичного возраста. Фактор активизации – атмосферные осадки. Базис развития опасного ЭГП: Цимлянское водохранилище. Отмечается парагенетическая связь с эрозией временных водотоков, физико-химическим выветриванием береговых уступов, эрозия плоскостного смыва.		
61.2022.0006	Южный	Ростовская область	Цимлянский район, 260 м на юго-восток от пос. Саркел	47,67821	42,16220	47,67821	42,16220	00.05.22	00.07.22	Оп	Атм.	Не отмечалось	В Цимлянском районе, в 260 м на юго-восток от пос. Саркел отмечалась активизация оползневого процесса. Оползанию подвержены преимущественно пески и суглинки неоген-четвертичного возраста. Активизация фиксируется на протяжении 80 м, длиной 25 м. Склон высокий, крутой, в верхней части обнаженный, к низу выполаживается, и задерновывается. Фактор активизации – атмосферные осадки. Базис развития опасного ЭГП: Цимлянское водохранилище. Отмечается парагенетическая связь с эрозией временных водотоков, физико-химическим выветриванием береговых уступов, эрозия плоскостного смыва.		

1	2	3	4	5	6	7	8	9	10	11	12	13	14	15	16
61.2022.0007	Южный	Ростовская область	Цимлянский район, 1,3 км на северо-восток от пос. Саркел	47,68664	42,17297	47,68664	42,17297	00.06.22	00.07.22	Оп	Атм., гидрогеол.	Не отмечалось	В Цимлянском районе, в 1,3 км на северо-восток от пос. Саркел отмечалась активизация оползневого процесса. Выявлен вторичный оползневой цирк шириной 40 м, длиной 25 м, мощностью до 2 м. В оползание вовлечены пески, глины, суглинки эоценового возраста. Деляпсий в языковой части оползня увлажнен, переформирован, достигает водохранилища. Тип оползня – консистентный. Отмечаются повсеместные выходы подземных вод, вдоль уступа. Базис развития опасного ЭГП: Цимлянское водохранилище. Факторы активизации – атмосферные осадки, разгрузка подземных вод. Отмечается парагенетическая связь с волноприбойной деятельностью Цимлянского водохранилища.		
61.2022.0008	Южный	Ростовская область	Цимлянский район, В 1,7 км на северо-восток от пос. Саркел	47,68950	42,17514	47,68950	42,17514	00.06.22	00.07.22	Об	Атм.	Не отмечалось	В 1,7 км на северо-восток от пос. Саркел отмечалась активизация обвального процесса. Ширина активного очага 40 м, длина 8 м. Уступ отвесный, обнаженный, в подножии обвалившиеся блоки 0,5×0,5 м. Базис развития опасного ЭГП: пляжевая зона Цимлянского водохранилища. Фактор активизации – атмосферные осадки. Отмечается парагенетическая связь с процессами эрозии временных водотоков, эрозии плоскостного смыва.		
61.2022.0009	Южный	Ростовская область	Цимлянский район, В 1,9 км на северо-восток от пос. Саркел	47,69143	42,17931	47,69143	42,17931	00.06.22	00.07.22	Оп	Атм. гидрол.	Не отмечалось	В 1,9 км на северо-восток от пос. Саркел отмечалась активизация оползневого процесса. Оползень консистентного типа. Общая ширина активизации 50 м, при длине 20 м. В оползание вовлечены пески, глины, суглинки, глыбы известняков в виде включений неоген-четвертичного возраста. Деляпсий увлажнен и переформирован. Базис развития опасного ЭГП: пляжевая зона Цимлянского водохранилища. Факторы активизации опасного ЭГП: атмосферные осадки, волноприбойная деятельность Цимлянского водохранилища. Отмечается парагенетическая связь с гидрогеологическими процессами.		
61.2022.0010	Южный	Ростовская область	Цимлянский район, в 2,2 км на северо-восток от пос. Саркел	47,69410	42,18319	47,69410	42,18319	00.06.22	00.07.22	Оп	Атм. гидрол.	Не отмечалось	В 2,2 км на северо-восток от пос. Саркел отмечалась активизация оползневого процесса. Общая ширина активных очагов 35 м, длина варьируется от 10 до 30 м, а площадь активизации составила 130 м². В оползание вовлечены лессовидные суглинки, пески, глины, известняки в виде включений глыбовой размерности неоген-четвертичного возраста. Языковая часть оползня достигает пляжевой зоны. Склон обводнен, повсеместно встречаются выходы подземных вод. Базис развития опасного ЭГП: пляжевая зона Цимлянского водохранилища. Факторы активизации опасного ЭГП: атмосферные осадки, волноприбойная деятельность Цимлянского водохранилища. Отмечается парагенетическая связь с процессами физического выветривания берегового уступа.		

1	2	3	4	5	6	7	8	9	10	11	12	13	14	15	16
61.2022.0011	Южный	Ростовская область	Цимлянский район, 2,3 км на юго-запад от ст-цы Хорошевская	47,69789	42,19261	47,69789	42,19261	00.06.22	00.07.22	Оп	Атм., гидрол.	Не отмечалось	В 2,3 км на юго-запад от ст-цы Хорошевская отмечалась активизация оползневого процесса, протяженностью 340 м. Уступ общей высотой 5-6 м, отвесный в верхней части и частично выполаживается к низу за счет ранее отсевших оползневых ступеней, по которым происходят вторичные оползания. В процесс вовлечены преимущественно пески и глины неоген-четвертичного возраста. Вдоль уступа, повсеместно отмечается высачивание подземных вод. Деляпсий в языковой части оползня переувлажнен. Общая ширина активизации 100 м, при средней длине 10 м, а общая площадь активизации достигает 1000 м². Базис развития опасного ЭГП: пляжевая зона Цимлянского водохранилища. Факторы активизации опасного ЭГП: атмосферные осадки, волноприбойная деятельность Цимлянского водохранилища.		
61.2022.0012	Южный	Ростовская область	Цимлянский район, 2,2 км на юго-запад от ст-цы Хорошевская	47,69935	42,19650	47,69935	42,19650	00.06.22	00.07.22	Оп	Атм., гидрол.	Не отмечалось	В 2,2 км на юго-запад от ст-цы Хорошевская отмечалась активизация оползневого процесса, протяженностью 180 м. Локальные очаги активизации отмечаются на всем протяжении уступа. В оползании задействованы пески, суглинки неоген-четвертичного возраста, оползающие по глинам. Суммарная ширина оползаний в пределах проявления 65 м, при длине 10 м, а общая площадь активной части составляет 648 м². Склон обводнен, повсеместно встречаются выходы подземных вод. Базис развития опасного ЭГП: пляжевая зона Цимлянского водохранилища. Факторы активизации опасного ЭГП: атмосферные осадки, волноприбойная деятельность Цимлянского водохранилища.		
61.2022.0013	Южный	Ростовская область	Цимлянский район, 1,8 км на юго-запад от ст-цы Хорошевская	47,70154	42,20089	47,70154	42,20089	00.06.22	00.07.22	Об	Атм.	Не отмечалось	В 1,8 км на юго-запад от ст-цы Хорошевская отмечалась активизация обвального процесса В пределах активного обвального проявления отмечается высокая расчлененность рельефа береговой линии. Уступ высотой от 5-6 до 10-12 м, отвесный, обнаженный, сложен лессовидными суглинками, подверженными обвальным процессам. В подножии свежие вывалы. Ширина активной части 140 м, длина 1 м, а площадь активизации составила 140 м². Базис развития опасного ЭГП: пляжевая зона Цимлянского водохранилища. Фактор активизации опасного ЭГП: атмосферные осадки.		
61.2022.0014	Южный	Ростовская область	Цимлянский район, 1,5 км на юго-запад от ст-цы Хорошевская	47,70233	42,20429	47,70233	42,20429	00.06.22	00.07.22	Об	Атм.	Не отмечалось	В 1,5 км на юго-запад от ст-цы Хорошевская отмечалась активизация обвального процесса. Активизация характеризуется многочисленными, малообъемными вывалами лессовидных суглинков. Береговой уступ отвесный, обнаженный, высота достигает 5-6 м. Бровка срыва имеет неровный, с характерными «загрызами», вид. Ширина активизации составляет 48 м, при длине 1 м. Площадь активной части достигает 48 м². Базис развития опасного ЭГП: пляжевая зона Цимлянского водохранилища. Фактор активизации опасного ЭГП - атмосферные осадки.		
61.2022.0015	Южный	Ростовская область	Цимлянский район, в 0,3 км к северо-востоку от окраины п. Саркел	47,67966	42,16500	47,67966	42,16500	00.06.22	00.07.22	Оп	Атм.	Не отмечалось	В 0,3 км к северо-востоку от окраины п. Саркел отмечалась активизация оползневого процесса. Ширина 30 м, длина 10 м, мощность 2 м. языковая часть оползня достигает и вдается в пляжевую зону. Выше по склону присутствуют отсевшие, запрокинутые, оползневые блоки. В оползание вовлечены: пески, песчаники, известняки, ракушечники, глины. Базис развития опасного ЭГП: пляжевая зона Цимлянского водохранилища. Факторы активизации опасного ЭГП: атмосферные осадки. Отмечается парагенетическая связь с процессами эрозии временных водотоков.		

1	2	3	4	5	6	7	8	9	10	11	12	13	14	15	16
61.2022.0016	Южный	Ростовская область	Цимлянский район, юго-западная окраина пос. Саркел	47,67309	42,15084	47,67309	42,15084	00.06.22	00.07.22	Об	Атм.	Не отмечалось	В юго-западной окраине пос. Саркел отмечалась активизация обвального процесса. Ширина – 10 м, длина – 2 м. В обвал вовлечены рыхлые слабосцементированные пески. Подножие покрыто свежими вывалами, в том числе глыбами песчаника, шириной около1,5 м, длиной до 2 м. Уступ высотой около 12 м, отвесный, задернован на 10-15%. Главными факторами активизации выступают атмосферные осадки, также отмечается взаимосвязь с эрозионной деятельностью временных водотоков, абразионными процессами, процессами физико-химического выветривания временных водотоков. Базис развития опасного ЭГП: пляжевая зона Цимлянского водохранилища. В зоне потенциального воздействия обвальных процессов находится поселковое кладбище п. Саркел.		
61.2022.0017	Южный	Ростовская область	Цимлянский район, юго-восточная окраина г. Цимлянск	47,63744	42,11272	47,63744	42,11272	00.03.22	00.07.22	Оп	Атм.	Не отмечалось	Отмечалась активизация оползневого процесса на юго-восточной окраине г. Цимлянска. Уступ слабо активен в средней и верхней части на правом фланге обвально-оползневого отрезка уступа. Верхняя часть уступа оголена. Высота обнаженной части достигает 7-10 м. Наблюдается слабая интенсивность осыпных процессов. На 30% уступ задернован преимущественно в нижней части. В подножии многолетние деревья. Бровка выглядит слабоактивной. Параметры активного очага ширина 15 м, длина 5 м, площадь 75 м². В оползание вовлечены пески с прослоями ракушняка и песчаника слабосцементированного миоценового возраста. Базис развития опасного ЭГП: пляжевая зона Цимлянского водохранилища. Факторы активизации опасного ЭГП: атмосферные осадки. Отмечается парагенетическая связь с абразионными процессами, физико-химическим выветриванием береговых уступов, эоловыми процессами.		
61.2022.0018	Южный	Ростовская область	Азовский район, северо-Западная окраина с. Порт-Катон	46,87712	38,73143	46,87712	38,73143	00.06.22	00.08.22	Оп	Атм., гидрол.	Не отмечалось	На северо-западной окраине с. Порт-Катон отмечалась активизация оползневого процесса. На момент обследования активны преимущественно оползневые процессы. Высота уступа достигает 12 м. Деляпсий в подножии разновозрастных генераций. Вдоль всего уступа общей протяженностью 1600 м отмечается множество активных очагов различных размеров. Параметры активной части: средняя длина 2 м, суммарная ширина активной части 910 м. площадь активизации 1820 м². В оползание вовлечены лессовидные суглинки четвертичного возраста. Базис развития - южное побережье Таганрогского залива Азовского моря. Факторы активизации опасного ЭГП: атмосферные осадки, волноприбойная деятельность Азовского моря. Отмечается парагенетическая связь с абразионными процессами и физико-химическим выветриванием береговых уступов.		
61.2022.0019	Южный	Ростовская область	Азовский район, северо-восточная окраина с. Порт-Катон	46,88640	38,76819	46,88640	38,76819	00.06.22	00.08.22	Об	Атм., гидрол.	Не отмечалось	Отмечалась активизация обвального процесса на северо-восточной окраини с. Порт-Катон. Активный участок обвального уступа высотой около 10 м. просматривается на протяжении 100 м. Клиф имеет выработанные волнами ниши. Параметры активной части: длина 4 м. ширина 100 м. площадь активизации 400 м. мощность 1,5 м. В обвал вовлечены лессовидные суглинки четвертичного возраста. Базис развития - южное побережье Таганрогского залива Азовского моря. Факторы активизации опасного ЭГП: атмосферные осадки, волноприбойная деятельность Азовского моря. Отмечается парагенетическая связь с абразионными процессами и физико-химическим выветриванием береговых уступов. Воздействие опасного ЭГП на земли и хозяйственные объекты не выявлено.		

1	2	3	4	5	6	7	8	9	10	11	12	13	14	15	16
61.2022.0020	Южный	Ростовская область	Азовский район, 1 км на запад от с. Новомаргаритово	46,89722	38,80162	46,89722	38,80162	00.06.22	00.08.22	Оп	Атм., гидрол.	Не отмечалось	В 1 км на запад от с. Новомаргаритово отмечалась активизация оползневого процесса, на протяжении 500 м активный оползневой отрезок уступа. Высота уступа 10 м. Вдоль уступа в подножии свежий деляпсий. На всем протяжении уступ отвесный, в верхней части оголенный, нижняя часть уступа выполаживается за счет шлейфа смещенных пород. Коллювий ранее перекрывал пляжевую зону и вдавался в море, затем подвергался денудации и эрозии. Параметры активной части: ширина 500 м, длина 8 м, площадь 4000 м². В оползание вовлечены лессовидные суглинки четвертичного возраста. Базис развития - южное побережье Таганрогского залива Азовского моря. Факторы активизации опасного ЭГП: атмосферные осадки, волноприбойная деятельность Азовского моря. Отмечается парагенетическая связь с абразионными процессами и физико-химическим выветриванием береговых уступов.		
61.2022.0021	Южный	Ростовская область	Азовский район, юго-западная окраина с. Маргаритово	46,91580	38,85451	46,91580	38,85451	00.06.22	00.08.22	Об	Атм., гидрол.	Не отмечалось	На юго-западной окраине с. Маргаритово отмечалась активизация обвального процесса. Уступ отвесный, обнаженный, высотой около 4 м. Параметры активной части: ширина 630 м, длина 7 м, площадь 4410 м². В обвальный процесс вовлечены лессовидные суглинки четвертичного возраста. Базис развития - южное побережье Таганрогского залива Азовского моря. Факторы активизации опасного ЭГП: атмосферные осадки, волноприбойная деятельность Азовского моря. Отмечается парагенетическая связь с абразионными процессами и физико-химическим выветриванием береговых уступов. Воздействие опасного ЭГП на земли и хозяйственные объекты не выявлено.		
61.2022.0022	Южный	Ростовская область	Дубовский район, в 0,7 км к северо-западу от х. Алдабульского	47,66681	42,61478	47,66681	42,61478	00.03.22	00.07.22	Оп	Атм., гидрол.	Не отмечалось	Отмечалась активизация оползневого процесса в 0,7 км к северо-западу от х. Алдабульского. Слабая активность. Незначительные осыпания в прибровочной части. Задернованно на 30%. Высота стенки срыва около 1,5 м. Отмечаются малообъемные, но свежие вывалы длиной 2 м, шириной 1,0-1,5 м. В западной части проявления уступ выполаживается, угол естественного откоса – от привершинной части практически до подножия покрыт травой, стабилен. В целом интенсивность процессов ЭГП слабая. Параметры активного очага ширина 100 м, длина 4 м, площадь 400 м². В оползание вовлечены верхний плиоцен - нижнечетвертичные пески, глины. Базис развития: пляжевая полоса Цимлянского водохранилища. Факторы активизации: атмосферные осадки, волноприбойная деятельность Цимлянского водохранилища. Отмечается парагенетическая связь с процессами эрозии временных водотоков, абразионными процессами, физико-химическим выветриванием.		
61.2022.0023	Южный	Ростовская область	Дубовский район, в 0,6 км к северо-западу от х. Алдабульского	47,66860	42,61753	47,66860	42,61753	00.03.22	00.07.22	Оп	Атм., гидрол.	Не отмечалось	Отмечалась активизация оползневого процесса в 0,6 км к северо-западу от х. Алдабульского. Оползневая активизация на левом фланге проявления. В оползание вовлечены суглинки и пески. Высота берегового уступа 6-8 м. Высота стенки срыва от 2 до 5 м. Треть склона перекрыта коллювиальными накоплениями. На поверхности склона отмечаются эрозионные промоины. К северо-востоку активность процессов ЭГП снижается. В подножии и в средней части склона растительность. Формируется угол естественного откоса. Параметры активного очага ширина 70 м, длина 12 м, площадь 840 м². Базис развития: пляжевая полоса Цимлянского водохранилища. Факторы активизации: атмосферные осадки, волноприбойная деятельность Цимлянского водохранилища. Отмечается парагенетическая связь с процессами эрозии временных водотоков, абразионными процессами, физико-химическим выветриванием.		

1	2	3	4	5	6	7	8	9	10	11	12	13	14	15	16
61.2022.0024	Южный	Ростовская область	Дубовский район, в 3,6 км к юго-западу от ст-цы Малая Лучка	47,71244	42,63846	47,71244	42,63846	00.03.22	00.07.22	Об	Атм., гидрол.	Не отмечалось	Отмечалась активизация обвального процесса в 3,6 км к юго-западу от ст-цы Малая Лучка. Половина высоты уступа отвесная, другая перекрыта коллювиальными накоплениями. Есть единичные свежие очаги размером 1,5×4 м. Вдоль верхней части уступа отмечаются глинистые отдельности. Линия бровки неровная. Параметры активного очага ширина 50 м, длина 5 м, площадь 250 м². В оползание вовлечены верхний плиоцен - нижнечетвертичные пески, глины. Базис развития: пляжевая полоса Цимлянского водохранилища. Факторы активизации: атмосферные осадки, волноприбойная деятельность Цимлянского водохранилища. Отмечается парагенетическая связь с процессами эрозии временных водотоков, абразионными процессами, физико-химическим выветриванием.		
61.2022.0025	Южный	Ростовская область	Сальский район, в 6,8 км на запад от г. Пролетарск	46,70849	41,60251	46,70849	41,60251	00.06.22	00.07.22	Об	Атм, гидрол.	Не отмечалось	На левом берегу Веселовского водохранилища отмечалась активизация обвального процесса. В обвал вовлечены лессовидные суглинки четвертичного возраста. В подножии уступа повсеместно распространены коллювиальные вывалы. Общая ширина активизации 40 м, при длине 1 м. Площадь активизации составила 40 м². Базис развития опасного ЭГП: Веселовское водохранилище. Факторы активизации опасного ЭГП: атмосферные осадки; волноприбойная деятельность.		
61.2022.0026	Южный	Ростовская область	Сальский район, в 6,9 км на запад от г. Пролетарск	46,70908	41,60142	46,70908	41,60142	00.06.22	00.07.22	Об	Атм., гидрол.	Не отмечалось	На левом берегу Веселовского водохранилища, на отвесном береговом уступе высотой 5 м, отмечалась активизация обвального процесса. Проявление локализовано в пределах формирующийся бухты, где обвальные процессы наиболее активны в центральной части, а по флангам отмечается стабилизация. Общая ширина активной части 45 м, при длине до 1 м, соответственно, площадь активизации составила 45 м². В обвал вовлечены лессовидные суглинки четвертичного возраста. Базис развития опасного ЭГП: Веселовское водохранилище. Факторы активизации опасного ЭГП: атмосферные осадки; волноприбойная деятельность.		
61.2022.0027	Южный	Ростовская область	Сальский район, в 7,5 км на запад от г. Пролетарск	46,71296	41,59239	46,71296	41,59239	00.06.22	00.07.22	Об	Атм., гидрол.	Не отмечалось	В 7,5 км на запад от г. Пролетарск отмечалась активизация обвального процесса. В подножии уступа отмечаются коллювиальные вывалы суглинков, малой мощности. На поверхности уступа отмечаются отдельные блоки размером 1,5×0,6 м. Ширина активной части 20 м, длина 0,5 м. В обвал вовлечены лессовидные суглинки четвертичного возраста. Базис развития опасного ЭГП: Веселовское водохранилище. Факторы активизации опасного ЭГП: атмосферные осадки; волноприбойная деятельность.		
61.2022.0028	Южный	Ростовская область	Сальский район, в 7,6 км на запад от г. Пролетарск	46,71326	41,59209	46,71326	41,59209	00.06.22	00.07.22	Об	Атм., гидрол.	Не отмечалось	В 7,6 км на запад от г. Пролетарск отмечалась активизация обвального процесса. Параметры проявления: ширина – 20 м, длинна – 1,5 м. В подножии уступа свежие коллювиальные вывалы достигают уреза воды. В обвал вовлечены лессовидные суглинки четвертичного возраста. Базис развития опасного ЭГП: Веселовское водохранилище. Факторы активизации опасного ЭГП: атмосферные осадки; волноприбойная деятельность.		

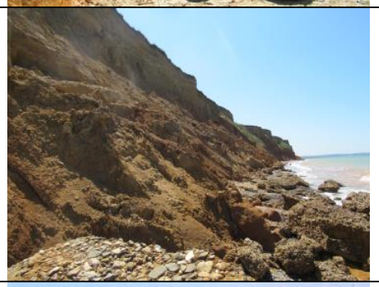
1	2	3	4	5	6	7	8	9	10	11	12	13	14	15	16
61.2022.0029	Южный	Ростовская область	Сальский район, в 7,7 км на запад от г. Пролетарск	46,71428	41,59043	46,71428	41,59043	00.06.22	00.07.22	Об	Атм., гидрол.	Не отмечалось	В 7,7 км на запад от г. Пролетарск отмечалась активизация обвального процесса. Следы активизации отмечаются повсеместно. В подножии присутствуют коллювиальные накопления, достигая ½ от высоты уступа. Общая ширина активизации составляет 18 м при средней длине 1 м, а площадь активизации достигает 18 м². В обвал вовлечены лессовидные суглинки четвертичного возраста. Базис развития опасного ЭГП: Веселовское водохранилище. Факторы активизации опасного ЭГП: атмосферные осадки; волноприбойная деятельность.		
61.2022.0030	Южный	Ростовская область	Усть-Донецкий район, северная окраина х. Пухляковский	47,51728	40,59099	47,51728	40,59099	00.03.22	00.07.22	Оп	Атм	Не отмечалось	На северной окраине х. Пухляковский отмечалась активизация оползневого процесса. Базис оползания – левый борт овражно-балочного понижения. Отмечаются оползания делювиальных суглинков, почвенно-растительного слоя. Высота стенки срыва до 0,5 м. Проявление на 50% задерновано. На правом фланге трещины растяжения. Параметры активного очага ширина 50 м, длина 15 м, площадь 750 м². Базис развития опасного ЭГП - левый борт долины р. Дон. Главный фактор активизации - атмосферные осадки. Отмечается парагенетическая связь с процессами эрозии временных водотоков, физико-химического выветривания.		
61.2022.0031	Южный	Ростовская область	Усть-Донецкий район, северная окраина ст-цы Раздорской	47,55172	40,66293	47,55172	40,66293	00.03.22	00.07.22	Оп	Атм	Не отмечалось	На северной окраине ст-цы Раздорской отмечалась активизация оползневого процесса. Зафиксированы свежие стенки срыва на оползневом проявлении на правобережном склоне долины р. Дон. Оползень блоковый. Отмечаются оползания делювиальных суглинков, почвенно-растительного слоя. Высота стенки срыва от 1,0 до 0,5 м. Поверхность склона расчленена овражно-балочной сетью Параметры активного очага ширина 100 м, длина 50 м, площадь 5 000 м². Базис развития опасного ЭГП - левый борт долины р. Дон. Главный фактор активизации - атмосферные осадки. Отмечается парагенетическая связь с процессами эрозии временных водотоков, физико-химического выветривания.		
61.2022.0032	Южный	Ростовская область	Дубовский район, в 1 км к северу от ст-цы Жуковская	47,63789	42,49733	47,63789	42,49733	00.03.22	00.07.22	Оп	Атм., гидрол.	Не отмечалось	Отмечалась активизация оползневого процесса в 1 км к северу от ст-цы Жуковская. Поверхность уступа рыхлая, отмечаются трещины закола. Оползневое тело, деляпсий смяты трещинами. Уступ не обводнен. Длина активного очага около 12 м до береговой линии. Отмечаются вторичные процессы оползания по съехавшему блоку. Высота стенки срыва около 1 м, высота уступа около 3 м. Коллювиальные накопления на 2/3 высоты уступа. В подножии растительность. Параметры активного очага ширина 160 м, длина 12 м, площадь 1 920 м². Базис развития опасного ЭГП - залив Жуковское убежище Цимлянского водохранилища. Факторы активизации опасного ЭГП: атмосферные осадки, волноприбойная деятельность Цимлянского водохранилища. Отмечается парагенетическая связь с эрозией временных водотоков, абразионными процессами, физико-химическим выветриванием береговых уступов.		

1	2	3	4	5	6	7	8	9	10	11	12	13	14	15	16
61.2022.0033	Южный	Ростовская область	Дубовский район, в 1,8 км к северо-западу от ст-цы Жуковская	47,64145	42,49060	47,64145	42,49060	00.03.22	00.07.22	Об	Атм., гидрол.	Не отмечалось	Отмечалась активизация обвального процесса в 1,8 км к северо-западу от ст-цы Жуковская. Мыс в устье залива Жуковское убежище. Размер самых крупных обломков 1×1 м. Верхняя часть разреза – суглинки, под ними пески. Вдоль уступа трещины отпора, поверхность уступа рыхлая. Отступание за год составило 0,3 м. Параметры активного очага – ширина 40 м, длина 7 м, площадь 280 м². Базис развития опасного ЭГП - залив Жуковское убежище Цимлянского водохранилища. Факторы активизации опасного ЭГП: атмосферные осадки, волноприбойная деятельность Цимлянского водохранилища. Отмечается парагенетическая связь с эрозией временных водотоков, абразионными процессами, физико-химическим выветриванием береговых уступов.		
61.2022.0034	Южный	Ростовская область	Дубовский район, в 2 км к северо-востоку от ст-цы Жуковская	47,64249	42,49802	47,64249	42,49802	00.03.22	00.07.22	Оп	Атм., гидрол.	Не отмечалось	Отмечалась активизация оползневого процесса в 2 км к северо-востоку от ст-цы Жуковская. В западной части уступа оползневой массив в стадии стабилизации. Поверхность блоков задернована. Вдоль поверхности уступа рыхлый грунт, трещины отпора на расстоянии до 2-х метров. В уступе обнажаются аллювиальные глины. Базис развития опасного ЭГП - пляжевая зона Цимлянского водохранилища. Факторы активизации опасного ЭГП: атмосферные осадки, волноприбойная деятельность Цимлянского водохранилища. Отмечается парагенетическая связь с эрозией временных водотоков, абразионными процессами, физико-химическим выветриванием береговых уступов.		
61.2022.0035	Южный	Ростовская область	Дубовский район, в 3 км к северо-востоку от ст-цы Жуковская	47,64169	42,53206	47,64169	42,53206	00.03.22	00.07.22	Об	Атм., гидрол.	Не отмечалось	Отмечалась активизация обвального процесса в 3 км к северо-востоку от ст-цы Жуковская. Процесс развивается на уступе протяженностью 200 м. Вдоль уступа наблюдались обрушенные блоки по 0,5 м длиной и шириной, на поверхности уступа линия бровки рваная. Параметры активного очага – ширина 200 м, длина 25 м, площадь 5 000 м². Базис развития опасного ЭГП - пляжевая зона Цимлянского водохранилища. Факторы активизации опасного ЭГП: атмосферные осадки, волноприбойная деятельность Цимлянского водохранилища. Отмечается парагенетическая связь с эрозией временных водотоков, абразионными процессами, физико-химическим выветриванием береговых уступов.		
61.2022.0036	Южный	Ростовская область	Дубовский район, в 3 км к северо-западу от ст-цы Баклановская	47,64212	42,54113	47,64212	42,54113	00.03.22	00.07.22	Оп	Атм., гидрол.	Не отмечалось	Отмечалась активизация оползневого процесса в 3 км к северо-западу от ст-цы Баклановская. Оползень блоково-консистентный. Ширина участка активизации около 300 м. В нижней части отмечается абразия морского берега, вторичные процессы осыпания и оползания. В прибровочной части также развиты процессы осыпания. Высота стенки срыва по флангам 4 м, в головной части 6 м. В оползание вовлечены пески, суглинки, известковистые конкреции. Параметры активного очага – ширина 300 м, длина 35 м, площадь 10 500 м². Базис развития опасного ЭГП - пляжевая зона Цимлянского водохранилища. Факторы активизации опасного ЭГП: атмосферные осадки, волноприбойная деятельность Цимлянского водохранилища. Отмечается парагенетическая связь с эрозией временных водотоков, абразионными процессами, физико-химическим выветриванием береговых уступов.		

1	2	3	4	5	6	7	8	9	10	11	12	13	14	15	16
61.2022.0037	Южный	Ростовская область	Дубовский район, в 2,6 км к северо-западу от ст-цы Баклановская	47,64239	42,54686	47,64239	42,54686	00.03.22	00.07.22	Оп	Атм., гидрол.	Не отмечалось	Отмечалась активизация оползневого процесса в 2,6 км к северо-западу от ст-цы Баклановская. Меняется направление береговой линии с широтного на меридиональное. Высота оголенной части около 5 м. Общая высота уступа около 10 м. Развиты вторичные процессы осыпания, оползания вдоль подножия. Вывалы незначительные, мелкообломочный материал. Такие же условия протягиваются на северо-восток. Параметры активного очага – ширина 40 м, длина 7 м, площадь 280 м². Базис развития опасного ЭГП - пляжевая зона Цимлянского водохранилища. Факторы активизации опасного ЭГП: атмосферные осадки; волноприбойная деятельность Цимлянского водохранилища. Отмечается парагенетическая связь с эрозией временных водотоков, абразионными процессами, физико-химическим выветриванием береговых уступов.		
61.2022.0038	Южный	Ростовская область	Дубовский район, в 2,1 км к северо-западу от ст-цы Баклановская	47,64439	42,56034	47,64439	42,56034	00.03.22	00.07.22	Об	Атм., гидрол.	Не отмечалось	Отмечалась активизация обвального процесса в 2,1 км к северо-западу от ст-цы Баклановская. Отмечаются блоки шириной 12 м при длине 5 м. Вдоль всего уступа свежие вывалы суглинков. Поверхность уступа рыхлая, разбита трещинами отпора на расстоянии 0,5-0,7 м от бровки. Высота отвесной стенки срыва около 4 м. Отмечается развитие как оползневых, так и обвальных процессов с преобладанием обвальных. Параметры активного очага – ширина 1000 м, длина 15 м, площадь 15 000 м². Базис развития опасного ЭГП - пляжевая зона Цимлянского водохранилища. Факторы активизации опасного ЭГП: атмосферные осадки, волноприбойная деятельность Цимлянского водохранилища. Отмечается парагенетическая связь с эрозией временных водотоков, абразионными процессами, физико-химическим выветриванием береговых уступов.		
61.2022.0039	Южный	Ростовская область	Дубовский район, в 2,3 км к северу от ст-цы Баклановская	47,64946	42,58010	47,64946	42,58010	00.03.22	00.07.22	Об	Атм., гидрол.	Не отмечалось	Отмечалась активизация обвального процесса в 2,3 км к северу от ст-цы Баклановская. На западном фланге участка отмечается развитие обвальных процессов на ранее сошедшем оползневом блоке. Деляпсий разбит трещинами растяжения, на нем свежие коллювиальные вывалы. Рельеф на поверхности коренного уступа холмистый, волнистый. Бровка уступа рваная, но на поверхности трещин отпора нет. Параметры активного очага – ширина 170 м, длина 10 м, площадь 1700 м². Базис развития опасного ЭГП - пляжевая зона Цимлянского водохранилища. Факторы активизации опасного ЭГП: атмосферные осадки, волноприбойная деятельность Цимлянского водохранилища. Отмечается парагенетическая связь с эрозией временных водотоков, абразионными процессами, физико-химическим выветриванием береговых уступов.		
61.2022.0040	Южный	Ростовская область	Неклиновский район, в 1 км к востоку от пос. Приазовский	47,13773	38,38702	47,13773	38,38702	00.03.22	00.07.22	Об	Атм., гидрол.	Не отмечалось	Отмечалась активизация обвального процесса к востоку от пос. Приазовский. Высота уступа над пляжевой зоной 10 м. На протяжении 1 км береговая линия с одинаковыми условиями. Подножие и пляжевая зона заросли травой и камышом, верхняя часть уступа обнажена. Отмечаются малообъемные незначительные осыпания. Параметры проявления: ширина 7 м, длина 1,5 м, площадь 10,5 м². В обвал вовлечены неоген-четвертичные суглинки, глины, пески. Базис развития опасного ЭГП - пляжевая зона Таганрогского залива. Факторы активизации: атмосферные осадки, штормовые нагонные явления. Отмечается парагенетическая связь с абразионными процессами, процессами физического выветривания.		

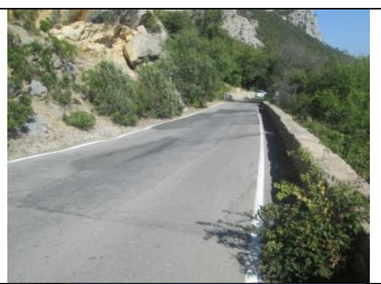
1	2	3	4	5	6	7	8	9	10	11	12	13	14	15	16
61.2022.0041	Южный	Ростовская область	Неклиновский район, южная окраина пос. Приазовский, между улицами Лесная и Молодежная	47,13858	38,36710	47,13858	38,36710	00.03.22	00.07.22	Об	Атм., гидрол.	Не отмечалось	На отрезке берегового уступа в южной части пос. Приазовский отмечалась активизация обвального процесса. Высота берегового уступа повышается с востока на запад с 10 до 20 м. В восточной части уступ практически стабильный, отмечаются малообъемные осыпания бровки. Уступ задернован на 90%. Вдоль уступа отмечаются глинистые столбчатые отдельности. Мощность свежих накоплений около 0,3 м. Параметры активного очага – ширина 350 м, длина 6 м, площадь 2 100 м². В обвал вовлечены неоген-четвертичные суглинки, глины, пески. Базис развития опасного ЭГП - пляжевая зона Таганрогского залива. Факторы активизации: атмосферные осадки, штормовые нагонные явления. Отмечается парагенетическая связь с абразионными процессами, процессами физического выветривания.		
61.2022.0042	Южный	Ростовская область	Неклиновский район, юго-западная окраина пос. Приазовский, ул. Мира	47,13797	38,36241	47,13797	38,36241	00.03.22	00.07.22	Об	Атм., гидрол.	Не отмечалось	На отрезке берегового уступа на юго-западной окраине пос. Приазовский (в районе ул. Мира между улицами Лесная и Восточная) отмечалась активизация обвального процесса. Вдоль уступа на расстоянии от 20-30 см до 1 м трещины, заложены обвально-оползневые блоки (останцы), готовые к обрушению. В подножии практически достигают береговой линии вывалы суглинков. Параметры активного очага – ширина 40 м, длина 10 м, площадь 400 м². В обвал вовлечены неоген-четвертичные суглинки, глины, пески. Базис развития опасного ЭГП - пляжевая зона Таганрогского залива. Факторы активизации: атмосферные осадки, штормовые нагонные явления. Отмечается парагенетическая связь с абразионными процессами, процессами физического выветривания.		
61.2022.0043	Южный	Ростовская область	Неклиновский район, юго-западная окраина пос. Приазовский между улицами Восточная и Милосердия	47,13660	38,35228	47,13660	38,35228	00.03.22	00.07.22	Об	Атм., гидрол.	Не отмечалось	На отрезке берегового уступа на юго-западной окраине пос. Приазовский (между улицами Восточная и Милосердия) отмечалась активизация обвального процесса. Свежие вывалы на всем видимом протяжении. В западной части они достигают береговой линии. Размеры обломков – от 0,4-0,5 м, максимальные достигают 1,0 м в диаметре. Параметры активного очага – ширина 350 м, длина 10 м, площадь 3 500 м². В обвал вовлечены неоген-четвертичные суглинки, глины, пески. Базис развития опасного ЭГП - пляжевая зона Таганрогского залива. Факторы активизации: атмосферные осадки, штормовые нагонные явления. Отмечается парагенетическая связь с абразионными процессами, процессами физического выветривания.		
61.2022.0044	Южный	Ростовская область	Неклиновский район, южная окраина с. Весело-Вознесенка между улицами Садовая и Береговая	47,13817	38,33403	47,13817	38,33403	00.03.22	00.07.22	Об	Атм., гидрол.	Не отмечалось	На отрезке берегового уступа на южной окраине пос. Весело-Вознесенка (между улицами Садовая и Береговая) отмечалась активизация обвального процесса. На восточном фланге участка высота уступа около 20 м, к западу понижается до 7-8 м. Пораженность обвальными процессами достигает 100%. Вдоль уступа отмечаются глинистые столбчатые отдельности. Мощность свежих накоплений 0,5 м. Отмечаются обломки размером до 1,5 м, но преимущественно 10-20-30 см. В районе ул. Октябрьская отступание бровки составило 2,7 м за год. Параметры активного очага – ширина 400 м, длина 10 м, площадь 4 000 м². В обвал вовлечены неоген-четвертичные суглинки, глины, пески. Базис развития опасного ЭГП - пляжевая зона Таганрогского залива. Факторы активизации: атмосферные осадки, штормовые нагонные явления. Отмечается парагенетическая связь с абразионными процессами, процессами физического выветривания. Воздействие ЭГП на земли и хозяйственные объекты не выявлено. Инженерной защиты берегового уступа нет.		

1	2	3	4	5	6	7	8	9	10	11	12	13	14	15	16
91.2022.0048	Южный	Республика Крым	Бахчисарайский район, с. Береговое, западная окраина	44,89871	33,61147	44,89871	33,61147	26.07.22	Не завершилась	Оп	Атм., Гидрол.	Не отмечалось	Отмечалась активизация оползневого процесса в Бахчисарайском районе на западной окраине с Береговое. Признаки и параметры активизации опасного ЭГП: вывалы глинистой массы, глыб и мелких обломков песчаника и гравелита на пляжную зону. Параметры проявления опасного ЭГП: длина – 4 м; ширина – 10 м; площадь – 40м². Состав горных пород, затронутых проявлением: N2tv, континентальные суглинки желто-бурого и красно-бурого цвета с прослоями гравия, гальки, песка, гравелита и песчаника Факторы активизации опасного ЭГП: абразия, естественные выходы грунтовых вод на склоне и атмосферные осадки.		
91.2022.0049	Южный	Республика Крым	Бахчисарайский район, с. Береговое, западная окраина	44,90029	33,61252	44,90029	33,61252	26.07.22	Не завершилась	Оп	Атм., Гидрол.	Не отмечалось	Отмечалась активизация оползневого процесса в Бахчисарайском районе на западной окраине с Береговое. Признаки и параметры активизации опасного ЭГП: оплывина и оползания влажного грунта. Параметры проявления опасного ЭГП: длина – 6 м; ширина – 14 м; площадь – 84м². Состав горных пород, затронутых проявлением: N2tv, континентальные суглинки желто-бурого и красно-бурого цвета с прослоями гравия, гальки, песка, гравелита и песчаника Факторы активизации опасного ЭГП: Замачивание суглинков за счет естественных выходов грунтовых вод на склоне и атмосферных осадков.		
91.2022.0050	Южный	Республика Крым	Бахчисарайский район, с. Береговое, западная окраина	44,90180	33,61291	44,90180	33,61291	26.07.22	Не завершилась	Оп	Атм., Гидрол.	Не отмечалось	Отмечалась активизация оползневого процесса в Бахчисарайском районе на западной окраине с Береговое. Признаки и параметры активизации опасного ЭГП: Вдоль берегового обрыва наблюдаются свежие осыпания грунта на пляжную зону. Параметры проявления опасного ЭГП: длина – 10 м; ширина – 15 м; площадь – 150 м². Состав горных пород, затронутых проявлением: N2tv, континентальные суглинки желто-бурого и красно-бурого цвета с прослоями гравия, гальки, песка, гравелита и песчаника. Факторы активизации опасного ЭГП: замачивание суглинков за счет естественных выходов грунтовых вод на склоне и атмосферных осадков.		
91.2022.0051	Южный	Республика Крым	Бахчисарайский район, с. Береговое, западная окраина	44,89802	33,61147	44,89802	33,61147	26.07.22	Не завершилась	Оп	Атм., Гидрол.	Не отмечалось	Отмечалась активизация оползневого процесса в Бахчисарайском районе на западной окраине с Береговое. Признаки и параметры активизации опасного ЭГП: вывалы глинистой массы, глыб и мелких обломков песчаника и гравелита на пляжную зону. Параметры проявления опасного ЭГП: длина – 5 м; ширина – 20 м; площадь – 100 м². Состав горных пород, затронутых проявлением:N2tv,континентальные суглинки желто-бурого и красно-бурого цвета с прослоями гравия, гальки, песка, гравелита и песчаника Факторы активизации опасного ЭГП: абразия, естественные выходы грунтовых вод на склоне и атмосферные осадки.		
91.2022.0052	Южный	Республика Крым	Бахчисарайский район, с. Береговое, западная окраина	44,89737	33,61148	44,89737	33,61148	26.07.22	Не завершилась	Оп	Атм., Гидрол.	Не отмечалось	Отмечалась активизация оползневого процесса в Бахчисарайском районе на западной окраине с Береговое. Признаки и параметры активизации опасного ЭГП: оплывина и оползания влажного грунта. Параметры проявления опасного ЭГП: длина – 4 м; ширина – 10 м; площадь – 40 м². Состав горных пород, затронутых проявлением:N2tv, континентальные суглинки желто-бурого и красно-бурого цвета с прослоями гравия, гальки, песка, гравелита и песчаника Факторы активизации опасного ЭГП: абразия, естественные выходы грунтовых вод на склоне и атмосферные осадки.		

1	2	3	4	5	6	7	8	9	10	11	12	13	14	15	16
91.2022.0053	Южный	Республика Крым	Бахчисарайский район, с. Береговое, западная окраина	44,89588	33,61138	44,89588	33,61138	26.07.22	Не завершилась	Оп	Атм., Гидрол.	Не отмечалось	Отмечалась активизация оползневого процесса в Бахчисарайском районе на западной окраине с Береговое. Признаки и параметры активизации опасного ЭГП: оплывина и оползания влажного грунта. Параметры проявления опасного ЭГП: длина – 6 м; ширина – 20 м; площадь – 120 м². Состав горных пород, затронутых проявлением: N2tv, континентальные суглинки желто-бурого и красно-бурого цвета с прослоями гравия, гальки, песка, гравелита и песчаника Факторы активизации опасного ЭГП: замачивание суглинков за счет естественных выходов грунтовых вод на склоне и атмосферных осадков.		
91.2022.0054	Южный	Республика Крым	Бахчисарайский район, с. Береговое, 1,0 км юго-западнее	44,89424	33,6117	44,89424	33,6117	26.07.22	Не завершилась	Оп	Атм., Гидрол.	Не отмечалось	Отмечалась активизация оползневого процесса в Бахчисарайском районе в 1,0 км юго-западнее с Береговое. Признаки и параметры активизации опасного ЭГП: Свежий обвал на пляжную зону. Параметры проявления опасного ЭГП: длина – 1,5 м; ширина – 12 м; площадь – 18 м². Состав горных пород, затронутых проявлением: N2 tv, континентальные суглинки желтовато-бурые, красно-бурые с прослоями гравия, гальки, песка, песчаника, гравелита. Факторы активизации опасного ЭГП: абразия, атмосферные осадки.		
91.2022.0055	Южный	Республика Крым	Бахчисарайский район, с. Береговое	44,89035	33,61083	44,89035	33,61083	26.07.22	Не завершилась	Оп	Атм., Гидрол.	Не отмечалось	Отмечалась активизация оползневого процесса в Бахчисарайском районе в 1,38 км юго-западнее с. Береговое. Признаки и параметры активизации опасного ЭГП: Обвалы и вывалы блоков глин и глыб песчаника и гравелита из берегового обрыва на пляжную зону. Параметры проявления опасного ЭГП: длина – 15 м; ширина – 134 м; площадь – 2010 м². Состав горных пород, затронутых проявлением: N2tv, континентальные суглинки желто-бурого и красно-бурого цвета с прослоями гравия, гальки, песка, гравелита и песчаника Факторы активизации опасного ЭГП: абразия, атмосферные осадки.		
91.2022.0056	Южный	Республика Крым	Бахчисарайский район, с. Береговое	44,89046	33,61115	44,89046	33,61115	26.07.22	Не завершилась	Оп	Атм., Гидрол.	Не отмечалось	Отмечалась активизация оползневого процесса в Бахчисарайском районе в 1,38 км юго-западнее с. Береговое. Признаки и параметры активизации опасного ЭГП: вдоль стенки срыва, сформированы трещины закола с образованием новых блоков обрушения. Параметры проявления опасного ЭГП: длина – 20 м; ширина – 2,5 м; площадь – 50 м². Состав горных пород, затронутых проявлением: N2tv, континентальные суглинки желто-бурого и красно-бурого цвета с прослоями гравия, гальки, песка, гравелита и песчаника Факторы активизации опасного ЭГП: абразия, атмосферные осадки.		
91.2022.0057	Южный	Республика Крым	Бахчисарайский район, восточная окраина с. Зубакино	44,86214	33,89702	44,86214	33,89702	19.07.22	Не завершилась	Оп	Атм. Гидрол. Техн.	Отмечалось	Отмечалась активизация оползневого процесса в Бахчисарайском районе на восточной окраине с. Зубакино. Признаки и параметры активизации опасного ЭГП: деформация асфальтового покрытия – диагональная трещина сдвига. Параметры проявления опасного ЭГП: длина – 2,2 м. Состав горных пород, затронутых проявлением: N1, неогеновые глинисто-известняковые брекчии. Факторы активизации опасного ЭГП: абразия; обильные атмосферные осадки, высокий уровень грунтовых вод, техногенная подрезка склона. Характеристика воздействий опасного ЭГП на земли и хозяйственные объекты: деформации асфальтированного дорожного полотна на протяжении 2,2 м.		

1	2	3	4	5	6	7	8	9	10	11	12	13	14	15	16
91.2022.0058	Южный	Республика Крым	Бахчисарайский район, в 0,8 км на северо-запад от с. Железнодорожное	44,72697	33,79945	44,72697	33,79945	25.07.22	Не завершилась	Оп	Атм.	Не отмечалось	Отмечалась активизация оползневого процесса в Бахчисарайском районе в 0,8 км на северо-запад от с. Железнодорожное. Признаки и параметры активизации опасного ЭГП: обнажение старого оползневого уступа второго порядка (внутренний) по левому борту оползня. Параметры проявления опасного ЭГП: длина – 0,5 м; ширина – 3,5 м; площадь – 1,75 м². Состав горных пород, затронутых проявлением: глины, мергели, известняки. Фактор активизации опасного ЭГП: обильные атмосферные осадки.		
91.2022.0059	Южный	Республика Крым	Бахчисарайский район, в 0,8 км на северо-запад от с. Железнодорожное	44,72666	33,79919	44,72666	33,79919	25.07.22	Не завершилась	Оп	Атм.	Не отмечалось	Отмечалась активизация оползневого процесса в Бахчисарайском районе в 0,8 км на северо-запад от с. Железнодорожное. Признаки и параметры активизации опасного ЭГП: обнажение старого оползневого уступа по левому борту оползня. Параметры проявления опасного ЭГП: длина – 2 м; ширина – 33 м; площадь – 66 м². Состав горных пород, затронутых проявлением: N2, глины, мергели, известняки. Фактор активизации опасного ЭГП: обильные атмосферные осадки.		
91.2022.0060	Южный	Республика Крым	Бахчисарайский район, в 0,8 км на северо-запад от с. Железнодорожное	44,72618	33,79945	44,72618	33,79945	25.07.22	Не завершилась	Оп	Атм.	Не отмечалось	Отмечалась активизация оползневого процесса в Бахчисарайском районе в 0,8 км на северо-запад от с. Железнодорожное. Признаки и параметры активизации опасного ЭГП: обнажение старого оползневого уступа по левому борту оползня. Параметры проявления опасного ЭГП: длина – 3,5 м; ширина – 4,5 м; площадь – 15,75 м². Состав горных пород, затронутых проявлением: N2, глины, мергели, известняки. Фактор активизации опасного ЭГП: обильные атмосферные осадки.		
91.2022.0061	Южный	Республика Крым	Бахчисарайский район, в 0,5 км на северо-восток от с. Железнодорожное	44,72547	33,80128	44,72547	33,80128	25.07.22	Не завершилась	Оп	Атм.	Не отмечалось	Отмечалась активизация оползневого процесса в Бахчисарайском районе в 0,5 км на северо-восток от с. Железнодорожное. Признаки и параметры активизации опасного ЭГП: локальный срыв в языковой части оползня. Параметры проявления опасного ЭГП: длина – 1,5 м; ширина – 7 м; площадь – 10,5 м². Состав горных пород, затронутых проявлением: N2, суглинки щебенистые и дресвяные, почвенно-растительный слой. Фактор активизации опасного ЭГП: обильные атмосферные осадки.		
91.2022.0062	Южный	Республика Крым	Бахчисарайский район, в 0,5 км на северо-восток от с. Железнодорожное	44,72546	33,80135	44,72546	33,80135	25.07.22	Не завершилась	Оп	Атм.	Не отмечалось	Отмечалась активизация оползневого процесса в Бахчисарайском районе в 0,5 км на северо-восток от с. Железнодорожное. Признаки и параметры активизации опасного ЭГП: обнажение старого оползневого уступа по левому борту оползня. Параметры проявления опасного ЭГП: длина – 0,8 м; ширина – 4,5 м; площадь – 3,6 м². Состав горных пород, затронутых проявлением: N2, суглинки щебенистые и дресвяные, почвенно-растительный слой. Фактор активизации опасного ЭГП: обильные атмосферные осадки.		
91.2022.0063	Южный	Республика Крым	Бахчисарайский район, в 0,5 км на северо-восток от с. Железнодорожное	44,72557	33,80132	44,72557	33,80132	25.07.22	Не завершилась	Оп	Атм.	Не отмечалось	Отмечалась активизация оползневого процесса в Бахчисарайском районе в 0,5 км на северо-восток от с. Железнодорожное. Признаки и параметры активизации опасного ЭГП: обнажение старого оползневого уступа по левому борту оползня. Параметры проявления опасного ЭГП: длина – 13,2 м; ширина – 15,5 м; площадь – 204,6 м². Состав горных пород, затронутых проявлением: N2, суглинки щебенистые и дресвяные, почвенно-растительный слой. Фактор активизации опасного ЭГП: обильные атмосферные осадки.		

1	2	3	4	5	6	7	8	9	10	11	12	13	14	15	16
91.2022.0064	Южный	Республика Крым	Бахчисарайский район, в 0,5 км на северо-восток от с. Железнодорожное	44,72540	33,80166	44,72540	33,80166	25.07.22	Не завершилась	Оп	Атм.	Не отмечалось	Отмечалась активизация оползневого процесса в Бахчисарайском районе в 0,5 км на северо-восток от с. Железнодорожное. Признаки и параметры активизации опасного ЭГП: ЭГП локальный срыв в языковой части оползня. Параметры проявления опасного ЭГП: длина – 2 м; ширина – 6 м; площадь – 12 м². Состав горных пород, затронутых проявлением: N2, суглинки щебенистые и дресвяные, почвенно-растительный слой. Фактор активизации опасного ЭГП: обильные атмосферные осадки.		
91.2022.0065	Южный	Республика Крым	Бахчисарайский район, в 0,5 км на северо-восток от с. Железнодорожное	44,72461	33,80151	44,72461	33,80151	25.07.22	Не завершилась	Оп	Атм.	Не отмечалось	Отмечалась активизация оползневого процесса в Бахчисарайском районе в 0,5 км на северо-восток от с. Железнодорожное. Признаки и параметры активизации опасного ЭГП: локальный срыв в языковой части оползня. Параметры проявления опасного ЭГП: длина – 1,5 м; ширина – 7 м; площадь – 10,5 м². Состав горных пород, затронутых проявлением: N2, суглинки щебенистые и дресвяные, почвенно-растительный слой. Фактор активизации опасного ЭГП: обильные атмосферные осадки.		
91.2022.0066	Южный	Республика Крым	Бахчисарайский район, с. Счастливое	44,59029	34,04333	44,59029	34,04333	26.07.22	Не завершилась	Оп	Атм. Техн.	Не отмечалось	Отмечалась активизация оползневого процесса в Бахчисарайском районе с. Счастливое. Признаки и параметры активизации опасного ЭГП: Вспучивание асфальта дорожного полотна. Параметры проявления опасного ЭГП: длина – 7 м; ширина – 0,2 м; площадь – 1,4 м². Состав горных пород, затронутых проявлением: N1, неогеновые глинисто-известняковые брекчии. Факторы активизации опасного ЭГП: обильные атмосферные осадки, техногенная подрезка склона.		
91.2022.0067	Южный	Республика Крым	г. Симферополь, Микрорайон Марьино, 0,5 км на юго-запад от кирпичного завода	44,90889	34,13499	44,90889	34,13499	22.07.22	Не завершилась	Оп	Атм. Гидрол.	Не отмечалось	Отмечалась активизация оползневого процесса в г. Симферополь Микрорайон Марьино, в 0,5 км на юго-запад от кирпичного завода. Признаки и параметры активизации опасного ЭГП: свежие оползневые смещения. Параметры проявления опасного ЭГП: длина – 10 м; ширина – 3 м; площадь – 30 м². Состав горных пород, затронутых проявлением: K1a, аптские темно-серые глины. Факторы активизации опасного ЭГП: атмосферные осадки и гидрогеологический.		

1	2	3	4	5	6	7	8	9	10	11	12	13	14	15	16
91.2022.0068	Южный	Республика Крым	г. Симферополь, Микрорайон Марьино, 0,2 км на юго-запад от кирпичного завода	44,91163	34,13584	44,91163	34,13584	22.07.22	Не завер-шилась	Оп	Атм. Гидрол.	Отмечалось	Отмечалась активизация оползневого процесса в г. Симферополь, Микрорайон Марьино, в 0,2 км на юго-запад от кирпичного завода. Признаки и параметры активизации опасного ЭГП: свежие смещения грунта. Параметры проявления опасного ЭГП: длина – 175 м; ширина – 95 м; площадь – 16625 м². Состав горных пород, затронутых проявлением: K1a, аптские темно-серые глины. Факторы активизации опасного ЭГП: амтосферные осадки и гидрогеологический. Характеристика воздействий опасного ЭГП на земли и хозяйственные объекты: Разрушен каменный забор на протяжении 39,0 м на участке по ул. Горная, 4 СОТ «Кооператор».		
91.2022.0070	Южный	Республика Крым	Городской округ Судак, западнее с. Морское	44,81750	33,76849	44,81750	33,76849	31.08.22	Не завер-шилась	Оп	Атм. Гидрол.	Отмечалось	Отмечалась активизация оползневого процесса в ГО Судак, западнее с. Морское. Признаки и параметры активизации опасного ЭГП: свежие обрушения и заколы берегового откоса. Параметры проявления опасного ЭГП: длина –10 м; ширина – 41 м; площадь – 410 м². Состав горных пород, затронутых проявлением: dpQ 3-4, делювиально- пролювиальные верхнечетвертичные и современные накопления. Факторы активизации опасного ЭГП: абразионный размыв основания склона, атмосферные осадки. Характеристика воздействий опасного ЭГП на земли и хозяйственные объекты: деформации асфальтированного дорожного полотна на протяжении 10,0 м.		
91.2022.0071	Южный	Республика Крым	г. Керчь, район Аршинцево, Старокарантинс-кий пляж, пересечение улиц Прибрежный спуск и Первых Космонавтов	45,29312	36,42698	45,29312	36,42698	15.09.22	Не завер-шилась	Оп	Атм.	Не отмечалось	Отмечалась активизация оползневого процесса в г. Керчь, район Аршинцево на пересечении улиц Прибрежный спуск и Первых Космонавтов. Признаки и параметры активизации опасного ЭГП: Эрозионная промоина. Параметры проявления опасного ЭГП: длина –50 м; ширина – 2 м; площадь – 100 м². Состав горных пород, затронутых проявлением: N1m, N1s мэотические известняки, верхнесарматские трепеловидные известняки, верхнесарматские темно-серые глины. Факторы активизации опасного ЭГП: атмосферные осадки.		
91.2022.0072	Южный	Республика Крым	г.о. Ялта, севернее п. Форос	44,40575	33,79010	44,40575	33,79010	09.09.22	Не завер-шилась	Оп	Атм. Гидрол.	Не отмечалось	Отмечалась активизация оползневого процесса в ГО Ялта, севернее п. Форос. Признаки и параметры активизации опасного ЭГП: множественные продольные и поперечные трещины в асфальте. Параметры проявления опасного ЭГП: длина – 200 м; ширина – 12 м; площадь – 2400 м². Состав горных пород, затронутых проявлением Верхнеюрские известняки, делювиально-пролювиальные верхнечетвертичные и современные накопления (I3, dp III-IV), известняки монолитные, суглинки щебенистые. Факторы активизации опасного ЭГП: подземные и поверхностные воды, атмосферные осадки.		
05.2022.0041	Северо-Кавказский	Республика Дагестан	Высокогорный Дагестан Цумадинский район автодорога "Агвали-Кидеро", 1.72 км ЮЗ г. Сагада	42,38842	45,91074	42,38842	45,91074	20.07.22	20.07.22	Об	Атм., Техн.	Отмечалось	Обвальный процесс произошел в юрских и меловых отложениях, представленных аргиллитами, алевролитами, песчаниками и известняками. В результате активизации обвального процесса деформировано 20 м автодороги без твердого покрытия. Параметры активной части: длина - 20 м. ширина - 60 м, мощность - 2 м, площадь - 1200 м², объем -2400 м^3. Основные факторы активизации: метеорологический (выпадение обильных атмосферных осадков), техногенный (строительство автодороги).		из открытых источников информации

1	2	3	4	5	6	7	8	9	10	11	12	13	14	15	16
05.2022.0042	Северо-Кавказский	Республика Дагестан	Среднегорный Дагестан Унцукульский район автодорога "Буйнакск – Гимры - Чирката" км 42+200, 6км СЗ от с.Гимры	42,78941	46,79766	42,78941	46,79766	15.07.22	15.07.22	Об	Атм., Техн.	Отмечалось	Обвальный процесс произошел в верхнеюрских отложениях, представленных доломитами, доломитизированными известняками, глинами, песчаниками. В результате активизации обвального процесса деформировано 20 м автодороги с твердым покрытием. Параметры активной части: длина – 15 м, ширина – 10 м, высота – 2 м, площадь – 150 м², объем – 300 м³. Основные факторы активизации: метеорологический (выпадение обильных атмосферных осадков), техногенный (строительство автодороги).		из открытых источников информации
05.2022.0043	Северо-Кавказский	Республика Дагестан	Среднегорный Дагестан Дахадаевский район автодорога "Кубачи-Калакорейш" км 8, 8км В от с.Кубачи	42,09077	47,65714	42,09077	47,65714	28.07.22	28.07.22	Об	Атм., Техн.	Отмечалось	Обвал произошел в нижнеюрских отложениях, представленных песчаниками, глинистыми сланцами. В результате активизации обвального процесса деформировано 8м автодороги без твердого покрытия. Параметры активной части: длина – 5м, ширина – 8м, высота – 3м, площадь – 40м², объем – 120м³. Основные факторы активизации: 1) метеорологический фактор (выпадение обильных атмосферных осадков) 2) техногенный (подрезка склона при строительстве).		из открытых источников информации
05.2022.0044	Северо-Кавказский	Республика Дагестан	Среднегорный Дагестан Шамильский район автодорога "Гунибское шоссе-Вентляшевский перевал" км 64, 5.1км В от с.Голотль	42,48471	46,79013	42,48471	46,79014	06.08.22	06.08.22	Об	Атм.	Отмечалось	Обвал произошел в нижнемеловых отложениях. Отложения представлены известняками, глинами, песчаниками и алевролитами. В результате активизации обвального процесса деформировано 100м автодороги без твердого покрытия. Параметры активной части: длина – 10м, ширина – 100м, высота – 7 м, площадь – 1000м², объем – 7000м³. Основные факторы активизации: 1) метеорологический фактор (выпадение обильных атмосферных осадков)		из открытых источников информации
05.2022.0045	Северо-Кавказский	Республика Дагестан	Среднегорный Дагестан Шамильский район автодорога "Гунибское шоссе-Вентляшевский перевал-Тогох" км 5, 0,68км ЮВ от с.Уриб	42,45254	46,68034	42,45254	46,68034	06.08.22	06.08.22	Об	Атм.	Отмечалось	Обвал произошел в нижнемеловых отложениях. Отложения представлены известняками, глинами, песчаниками и алевролитами. В результате активизации обвального процесса деформировано 3м автодороги без твердого покрытия. Параметры активной части: длина – 1м, ширина – 3м, высота – 0.5м, площадь – 3м², объем – 1.5м³. Основные факторы активизации: 1) метеорологический фактор (выпадение обильных атмосферных осадков)		из открытых источников информации

1	2	3	4	5	6	7	8	9	10	11	12	13	14	15	16
05.2022.0046	Северо-Кавказский	Республика Дагестан	Высокогорный Дагестан Докузпаринский район в 3 км восточнее с. Мискинджа	41,42297	47,89261	41,42297	47,89261	17.08.22	17.08.22	Оп	Атм., Техн.	Отмечалось	Оползень произошел в четвертичных делювиальных отложениях. Отложения представлены глинисто-суглинистыми отложениями. В результате активизации оползневого процесса деформировано покрытие автодороги с твердым покрытием 120м., металлический парапет 150м. Параметры активной части: длина – 12м, ширина – 150м, высота – 4м, площадь – 1800м², объем – 7200м³. Основные факторы активизации: 1) метеорологический фактор (выпадение обильных атмосферных осадков) 2) техногенный (динамическая нагрузка от движения автотранспорта).		
05.2022.0047	Северо-Кавказский	Республика Дагестан	Среднегорная область Буйнакский район Чиркейский участок детальных наблюдений "4-й" массив в 14км СЗ пст. Чиркей	42,96830	46,87060	42,96830	46,87060	00.05.22	Не завер-шилась	Оп	Техн.	Не отмечалось	Оползень древний, в меловых и делювиальных четвертичных отложениях, представленных мергелем, суглинками и глинами. В зоне воздействия оползневого процесса находится Чиркейская ГЭС и ее инфраструктура. Параметры активной части: ширина- 200м, длина- 200м, площадь - 40000м², объем – 240000м³. Средняя величина смещения реперов-0,029м. Основные факторы активизации послужили режим заполнения водохранилища.		
05.2022.0048	Северо-Кавказский	Республика Дагестан	Среднегорная область Буйнакский район Чиркейский участок детальных наблюдений "5-й" массив в 19км СЗ пст. Чиркей	42,98760	46,91270	42,98760	46,91270	00.05.22	Не завер-шилась	Оп	Техн.	Не отмечалось	Оползень древний в меловых и делювиальных четвертичных отложениях, представленных мергелем, суглинками и глинами. В зоне воздействия оползневого процесса находится Чиркейская ГЭС и ее инфраструктура. Параметры активной части: ширина - 200м, длина -150м, площадь - 30000м², объем – 150000м³. Средняя величина смещения реперов-0,007м. Основные факторы активизации послужили режим заполнения водохранилища.		
05.2022.0049	Северо-Кавказский	Республика Дагестан	Среднегорная область Унцукульский район Ирганайсткий участок "65" массив в 1,0км севернее пст.Шамилькала	42,69670	46,85170	42,69670	46,85170	00.07.22	Не завер-шилась	Оп	Атм.	Не отмечалось	Оползневой процесс древний в меловых и делювиальных четвертичных отложениях, представленных мергелем, известняком и глинисто-суглинистых отложениями. Средняя величина смещения масс по реперам – 0,022м. Активность 5.2%. В зоне возможного воздействия оползневых процессов находится Ирганайская ГЭС. Параметры проявления: длина-1350м, ширина-850м, мощность – 5м, S=1147500м², объем-5737500м³. Параметры активной части: длина-300м. Ширина-200м. Мощность – 5 м, площадь – 60000м², объем – 300000м³. Основные факторы активизации послужили 1) режим заполнения водохранилища 2) сейсмическая активность на территории РД. Рекомендации: вести наблюдения за оползневым процессом.		
05.2022.0050	Северо-Кавказский	Республика Дагестан	Среднегорная область Унцукульский район Ирганайсткий участок "Станционный" массив в 2,5км южнее пст.Гимры	42,69400	46,85390	42,69400	46,85390	00.06.22	Не завер-шилась	Оп	Атм.	Не отмечалось	Оползневой процесс современный, в юрских и четвертичных делювиальных глинисто-суглинистых отложениях. Средняя величина смещения масс по реперам- 0,040м. Активность 3.6%. В зоне возможного воздействия оползневых процессов находится Ирганайская ГЭС. Параметры проявления: длина-1350м, ширина-1250м, мощность -3м, S=1687500м², объем-5062500м³. Параметры активной части: длина-300м, ширина-200м, площадь-60000м², объем-180000м³. Основные факторы активизации послужили 1) режим заполнения водохранилища 2) сейсмическая активность на территории РД. Рекомендации: вести наблюдения за оползневым процессом.		

1	2	3	4	5	6	7	8	9	10	11	12	13	14	15	16
05.2022.0051	Северо-Кавказский	Республика Дагестан	Высокогорный Дагестан Тляратинский район автодорога "Тлярата-Камилух" км 16, 3км З от с.Саниорта	42,03206	46,43578	42,03207	46,43578	08.09.22	08.09.22	Об	Атм., Техн.	Отмечалось	Обвальный процесс произошел в юрских отложениях, представленные аргиллитами, алевролитами и песчаником. В результате активизации обвального процесса деформировано 3м дорожного полотна без твердого покрытия. Параметры активной части: длина – 3м, ширина – 4м, глубина захвата – 2м, S = 12м², V = 24м^3. Основные факторы активизации: метеорологический фактор (выпадение обильных атмосферных осадков), техногенный (строительство автодороги).		из открытых источников информации
05.2022.0052	Северо-Кавказский	Республика Дагестан	Высокогорный Дагестан Тляратинский район автодорога "Тлярата-Камилух" до с.Гагар км 4	42,01460	46,52867	42,01460	46,52867	08.09.22	08.09.22	Об	Атм., Техн.	Отмечалось	Обвальный процесс произошел в юрских отложениях, представленные аргиллитами, алевролитами и песчаником. В результате активизации обвального процесса деформировано 5м дорожного полотна без твердого покрытия. Параметры активной части: длина – 3м, ширина – 5м, глубина захвата – 6м, S = 15м², V = 90м^3. Основные факторы активизации: метеорологический фактор (выпадение обильных атмосферных осадков), техногенный (строительство автодороги).		из открытых источников информации
06.2022.0003	Северо-Кавказский	Республика Ингушетия	Сунженский район, автодорога с. Даттых - с. Галашки -0,5 км	43,03528	45,09907	43,03528	45,09907	00.06.22	Не завер-шилась	Оп	Атм.	Не отмечалось	Признаки активизации: обрушение стенки уступа, образование внутриоползневых уступов, трещины закола на теле оползня. Параметры активной части - длина 20 м, ширина - 90 м, площадь 1800 м², объем 3600 м^3, мощность 2 м. Активность на момент обследования 100%. Комплексы и состав горных пород, затронутых проявлением: суглинки, глины Q_{IV}-N. Базис развития - пойма реки. Фактор активизации атмосферные осадки.		
06.2022.0004	Северо-Кавказский	Республика Ингушетия	Сунженский район, автодорога с. Даттых - с. Галашки - 5,26 км	43,05398	45,06910	43,05398	45,06910	00.06.22	Не завер-шилась	Оп	Атм.	Отмечалось	Признаки активизации оползневого процесса: обрушение стенки уступа, разрушение дороги. Параметры активной части - длина 15 м, ширина - 25 м, площадь 375 м², объем 375 м^3, мощность 1 м. Активность на момент обследования 100%. Комплексы и состав горных пород, затронутых проявлением: суглинки, глины Q_{IV}-N. Базис развития - основание склона. Фактор активизации - атмосферные осадки. Активизация оползня привела к разрушению полотна дороги с покрытием на участке длиной 20 м, шириной 1,5 м.		
06.2022.0005	Северо-Кавказский	Республика Ингушетия	Сунженский район, автодорога с. Даттых - с. Галашки - 13,3 км	43,06438	45,00996	43,06438	45,00996	00.06.22	Не завер-шилась	Оп	Атм.	Не отмечалось	Признаки активизации оползневого процесса: обрушение стенки уступа, образование внутриоползневого уступа. Параметры активной части - длина 6 м, ширина - 20 м, площадь 120 м², объем 180 м^3, мощность 1,5 м. Активность на момент обследования 100%. Комплексы и состав горных пород, затронутых проявлением: суглинки, глины Q_{IV}-N. Базис развития - пойма реки. Фактор активизации - атмосферные осадки.		
07.2022.0008	Северо-Кавказский	Кабардино-Балкарская Республика	Черекский муниципальный район, левый борт р. Черек Хуламский, 1,6 км к северо-востоку от с. Безенги	43,22650	43,30890	43,22637	43,30877	00.06.22	26.07.22	Оп	Атм. Гидрогеол., Техн.	Не отмечалось	В левом борту долины р. Черек Хуламский, в 1,6 км к северо-востоку от с. Безенги, выявлена подвижка на языке оползня, пересекаемого автодорогой Карасу-Безенги. Активный участок размерами около 10×20 м на языке оползня, ближе к левому борту отмечается подновление трещин, вертикальное и горизонтальное смещение до 0,2 м. Базисом оползня является р. Черек Хуламский. Общий объем переместившихся масс порядка 100 м^3. Ущерба нет. По состоянию на 26.07.2022 активизация завершена. В оползневой процесс вовлечены верхнечетвертичные делювиальные образования - dQ_{IV}. Состав горных пород, затронутых проявлением: глыбово-щебнистые отложения с суглинистым заполнителем. Факторы активизации: метеорологический (атмосферные осадки), гидрогеологический (обводненность оползневого тела), техногенный (подрезка склона автодорогой, движение автотранспорта).		

1	2	3	4	5	6	7	8	9	10	11	12	13	14	15	16
07.2022.0009	Северо-Кавказский	Кабардино-Балкарская Республика	Чегемский муниципальный район, левый борт р. Чегем, 1,5 км выше с. Нижний Чегем	43,47365	43,26704	43,47352	43,26691	11.08.22	11.08.22	Об	Атм. Гидрол.	Не отмечалось	На левом борту р. Чегем, в ~ 1,5 км выше с. Нижний Чегем, на обрывистом юго-восточном склоне куэсты Скалистого хребта произошел обвал объемом около 10500 м^3. Размеры обвального участка около 60×70 м. Наиболее крупные обломки размерами до 1×2 м. Высотная отметка верхней обвальной бровки около 1040 м, отметка уреза воды – около 930 м. Выше бровки склон залесён. На участке протяженностью около 100 м обвальными массами было частично перекрыто и подпружено русло р. Чегем, водоток сместился к правому борту, местами незначительно подмыв и подрезав правый берег (до 1-2 м). Визуально подъем уровня воды в р. Чегем выше обвального участка наблюдался на протяжении 350-400 м. Русло р. Чегем было частично расчищено 12 августа. В обвальный процесс вовлечены нижнемеловые образования (Берриасский - валанжинский ярусы, Баксанская свита - K_1bk) представленные светло-серыми, кремовыми известняками, пелитоморфными толстослоистыми и грубоплитчатыми. Вероятные факторы активизации: метеорологический (атмосферные осадки), гидрологический (боковая эрозия р. Чегем). Напротив обвального участка, на правом борту долины р. Чегем – устье и современный конус выноса селеносного правого притока, р. Адайсу (Сары-Жарласу).		
07.2022.0010	Северо-Кавказский	Кабардино-Балкарская Республика	Чегемский муниципальный район, правый борт р. Чегем, в ~ 4,5 км выше с. Хуштосырт	43,39579	43,19280	43,39580	43,19279	00.07.22	Не завер-шилась	Оп	Атм. Гидрол.	Не отмечалось	На правом борту р. Чегем, в ~ 4,5 км выше с. Хуштосырт, продолжается активизация старого оползня. Активный участок имеет размеры приблизительно 100×100 м. Подвижки охватили значительную часть склона (вверх и влево от первоначального оползневого участка), площадь оползня достигает 10 тыс. м^2. Активная часть удлинилась приблизительно на 15 м за время активизации с 2019 г., за счет отступления бровки отрыва вверх по склону и смещения подошвы в русло р. Чегем. Отмечается снижение интенсивности смещений, с сентября 2021 г. вертикальная амплитуда и горизонтальные перемещения составили порядка 1 м. Перекрытия русла нет, однако его несколько поджало к левому берегу. Высота стенки отрыва от 5 м до 12-15 м (в центральной части), объем переместившихся масс составляет около 90 тыс. м^3. Выше бровки отрыва отмечаются трещины закола, что позволяет прогнозировать продолжение подвижек. По состоянию на 15.08.2022 активизация не завершена. В оползневой процесс вовлечены верхнечетвертичные аллювиальные отложения, верхнечетвертичные коллювиально-делювиальные. Состав горных пород, затронутых проявлением: валунно-галечник, глыбово-щебнистые с супесчаным и суглинистым заполнителем (интрузивные, метаморфические и осадочные породы). Факторы активизации: метеорологический (атмосферные осадки), гидрологический (подрезка склона р. Чегем).		

1	2	3	4	5	6	7	8	9	10	11	12	13	14	15	16
07.2022.0011	Северо-Кавказский	Кабардино-Балкарская Республика	Чегемский муниципальный район, левый борт р. Чегем, в ~ 7,6 км ниже с. Эльтюбю	43,33423	43,15207	43,33423	43,15206	00.04.22	Не завершилась	Оп	Техн., Атм. Гидрол., Гидрогеол.	Отмечалось	На левом борту р. Чегем, в ~ 7,6 км ниже с. Эльтюбю, отмечено продолжение активизации части крупного оползневого массива древнего возраста. На участке, расположенном в левом борту оползня, шириной по низу до 30 м, протяженностью по склону до 50 м, произошла подвижка размерами активной части до 30×10 м, мощность сместившихся масс 2,5 м, объем ориентировочно 750 м^3. Смещения вертикальные и горизонтальные составили около 1 м, в результате чего была завалена грунтовая а/дорога Лечинкай - Булунгу на протяжении 25 м (шириной до 1-1,5 м вдоль верхового откоса). Дорога расчищена. По состоянию на 19.08.2022 активизация не завершена. В оползневой процесс вовлечены коллювиально-делювиальные верхнечетвертичные отложения. Состав горных пород, затронутых проявлением: глыбово-щебнистые с супесчаным и суглинистым заполнителем (аргиллиты, сланцы). Факторы активизации: техногенный (подрезка склона, дорожные работы, прокладка газопровода среднего давления), метеорологический (атмосферные осадки), гидрологический (боковая эрозия р. Чегем), гидрогеологический (обводненность склона, выходы ПВ).		
07.2022.0012	Северо-Кавказский	Кабардино-Балкарская Республика	Чегемский муниципальный район, левый борт р. Чегем, в ~ 7,5 км ниже с. Эльтюбю	43,33364	43,15174	43,33351	43,15162	00.07.22	Не завершилась	Оп	Техн., Гидрол. Атм. Гидрогеол.	Отмечалось	В левом борту р. Чегем, в 7,5 км ниже с. Эльтюбю напротив устья р. Быкмылгы (правый приток р. Чегем), отмечена активизация части крупного оползневого массива древнего возраста. Размеры участка, дислоцированного приблизительно в центре нижней части оползня, составляют 30×40 м, подвижка имеет размеры порядка 10×30 м, мощность около 1,5 м, смещение до 1 м. Объем переместившихся масс составил 450 м^3. Было частично перекрыто около 30 м обочины грунтовой автодороги Лечинкай - Булунгу. Дорога расчищена. По состоянию на 19.08.2022 активизация не завершена. В оползневой процесс вовлечены коллювиально-делювиальные верхнечетвертичные отложения. Состав горных пород, затронутых проявлением: глыбово-щебнистые с супесчаным и суглинистым заполнителем (аргиллиты, сланцы). Факторы активизации: техногенный (подрезка склона, дорожные работы, прокладка газопровода среднего давления), гидрологический (боковая эрозия р. Чегем), метеорологический (атмосферные осадки), гидрогеологический (обводненность склона, выходы ПВ).		
07.2022.0013	Северо-Кавказский	Кабардино-Балкарская Республика	Чегемский муниципальный район, правый борт р. Кардан, в ~ 1,8 км к востоку от с. Эльтюбю	43,26218	43,17451	43,26219	43,17450	00.07.22	Не завершилась	Оп	Атм. Гидрогеол. Техн. Гидрол.	Отмечалось	В правом борту р. Кардан продолжается развитие крупного древнего оползня (в нижней его части), расположенного в районе развалин Думала. Размеры оползня 2-го порядка 220×80 м, размеры активного участка приблизительно 70×50 м, площадь 3500 м^2, объем ~ 9 тыс. м^3. Смешение вертикальное и горизонтальное – около 0,5 м. Деформировано около 50 м грунтовой автодороги. Базисом оползня является р. Кардан. По состоянию на 22.08.2022 активизация не завершена. В оползневой процесс вовлечены средне-верхнечетвертичные коллювиально-делювиальные отложения. Состав горных пород, затронутых проявлением - глыбово-щебнистые с супесчаным и суглинистым заполнителем. Факторы активизации: метеорологический (атмосферные осадки), гидрогеологический (обводненность склона, выходы ПВ), техногенный (подрезка склона), гидрологический (боковая эрозия р. Кардан). Летом 2022 г. были частично срезаны бульдозером ступеньки на пересечении а/дороги с боковыми трещинами оползня, и перемещена часть грунта с верхнего откоса на нижний (в пределах языка оползня).		

1	2	3	4	5	6	7	8	9	10	11	12	13	14	15	16
07.2022.0014	Северо-Кавказский	Кабардино-Балкарская Республика	Эльбрусский муниципальный район, правый борт долины р. Гижгит, в 2,6 км к западу от с. Былым	43,45801	42,99312	43,45788	42,99300	00.07.22	24.08.22	Оп	Атм. Техн.	Отмечалось	В правом борту долины р. Гижгит, на склоне выше хвостохранилища №3 бывшего Тырныаузского ГОКа, выявлена подвижка оползня, образовавшегося в 2006 году. Активный участок размерами около 130×100 м, отмечается подновление трещин, смещения до 0,3 м вертикальные, 0,2-0,3 м горизонтальные. Базисом оползня является русло (сухое) сбросного канала хвостохранилища. Общий объем переместившихся масс порядка 30 тыс. м^3. Деформировано около 130 м грунтовой автодороги. По состоянию на 24.08.2022 активизация завершена. В оползневой процесс вовлечены нижнеюрские отложения - J_1hm_{2-3}. Состав горных пород, затронутых проявлением: песчаники, аргиллиты, алевролиты. Факторы активизации: метеорологический (атмосферные осадки), техногенный (подрезка склона автодорогой, земляные работы).		
07.2022.0015	Северо-Кавказский	Кабардино-Балкарская Республика	Эльбрусский муниципальный район, верховья р. Чатбаши, в 6 км к СЗ от г. Тырныауз	43,40734	42,84129	43,37251	43,62712	00.06.22	Не завершилась	Оп	Атм. Гидрогеол., Техн.	Не отмечалось	В верховьях р. Чатбаши (урочище Сурьма) отмечена активность на крупном оползневом массиве, в верхней части подрезаемом грунтовой автодорогой. Активный участок размерами около 370×260 м на нижней части оползня. Подновление трещин отрыва, смещение – 0,5-1 м вертикальное и горизонтальное. Площадь активного участка 70 тыс. м². Базисом оползня является дно долины р. Чатбаши. По состоянию на 05.09.2022 г. активизация не завершена. В оползневой процесс вовлечены разновозрастные отложения - cdQ_{IV},, C_3kr+gr, D_2pl. Состав горных пород, затронутых проявлением: коллювиально-делювиальные отложения (щебень с суглинком и супесью), конгломераты, песчаники, гравелиты, алевролиты и андезитовые порфириты, туфы и туфопесчаники (C_3kr+gr), глинисто-алевритовые сланцы, песчаники, обломки порфиритов (D_2pl). Факторы активизации: метеорологический (атмосферные осадки, таяние снега), гидрогеологический (обводненность склона - выходы ПВ, ручьи), техногенный (подрезка склона дорогой). Оползень является селевым очагом для селей по р. Чатбаши.		

1	2	3	4	5	6	7	8	9	10	11	12	13	14	15	16
07.2022.0006	Северо-Кавказский	Кабардино-Балкарская Республика	Черекский муниципальный район, правый борт долины р. Черек Балкарский, в 1,5 км к СВ от с. Верхняя Балкария	43,16100	43,48391	43,16101	43,48390	00.08.22	Не завершилась	Оп	Атм. Техн. Гидрогеол. Гидрол.	Отмечалось	На участке «Верхняя Балкария» оползневая активность вновь выявлена на южном фланге, в 1,5 км ниже с. Верхняя Балкария. Во 2-м цикле продолжается активность части (29,6% площади) оползня 2-го порядка размерами 210×130 м, в нижней части древнего крупного массива (размерами 1500×300 м), на пересечении с а/дорогой Урвань - Уштулу. Вновь отмечается слабое подновление трещины отрыва вдоль обочины автодороги Урвань - Уштулу, и левой боковой трещины оползневого блока на нижнем откосе дороги (следится ниже дороги на протяжении до 100 м). В правом борту оползня ниже автодороги также выявлено смещение и подновление трещин отрыва. Активный участок имеет размеры 100×80 м, площадью порядка 8 тыс. м². Объем подвижки около 4 тыс. м^3. Вертикальное и горизонтальное смещение до 0,3 м в центре и в левом борту, в правом - до 0,5 м. В правом борту и в центре активного участка, на нижнем откосе автодороги, продолжается деформация опор газопровода, сама труба газопровода среднего давления также деформирована на протяжении около 100 м. Автодорога Урвань - Уштулу деформирована и повреждена на участке протяжённостью 60 м (грунтовый участок). По состоянию на 10.09.2022 активизация не завершена. В оползневой процесс вовлечены четвертичные и современные оползневые отложения. Состав горных пород, затронутых проявлением: суглинки, глины с щебнем и глыбами известняков и песчаников. Факторы активизации: метеорологический (атмосферные осадки, снеготаяние), техногенный (подрезка склона, движение автотранспорта, обводнение склона из-за нарушения естественного стока грунтовых вод), гидрогеологический (выходы подземных вод – обводненность склона), гидрологический (боковая эрозия р. Черек Балкарский).		
07.2022.0007	Северо-Кавказский	Кабардино-Балкарская Республика	Эльбрусский муниципальный район, правый борт р. Герхожансу, в 2,6 км выше г. Тырныауз.	43,37184	42,93790	43,37184	42,93789	00.07.22	Не завершилась	Оп	Сейсм. Атм. Гидрогеол. Гидрол.	Не отмечалось	На оползне Бузулган (размерами до 1050×650 м, площадью 249000 м², мощностью до 30-60 м, объемом до 11205000 м^3) во 2-м цикле, также как и в 1-м, зафиксирована в целом относительно слабая активность - локализованная на правом борту оползневого массива выше бровки (площадью порядка 8 тыс. м²), на левом борту оползня также на узком участке вдоль бровки длиной до 350 м (всего около 7 тыс. м²), и на теле оползня, на останце старого рельефа ближе к левому борту, площадью около 5 тыс. м². Всего площадь активных участков на оползне Бузулган на 2022 г. составляет 20 тыс. м². Явного прироста площади активизации нет. Смещения вертикальные и горизонтальные по старым (прошлогодним и ранее) трещинам от 0,5 до 1 м, за исключением участков в правом борту оползня выше т.н. 11,12 – смещения до 3 м. По состоянию на 20.09.2022 активизация не завершена. В оползневой процесс вовлечены современные и верхнечетвертичные оползневые и делювиальные отложения, образования эльмезтюбинской и кызылкольской свит девона, верхнепротерозойские породы. Состав горных пород, затронутых проявлением: суглинки с глыбами и щебнем, туфы, туффиты, глинистые сланцы, кремни, лавы основного состава, мусковитовые, хлорит-мусковитовые кристаллические сланцы. Факторы активизации: тектонический, метеорологический (таяние снега, атмосферные осадки), гидрогеологический (выходы ПВ на теле оползня). гидрологический (подрезка языка оползня).		

1	2	3	4	5	6	7	8	9	10	11	12	13	14	15	16
15.2022.0037	Северо-Кавказский	Республика Северная Осетия-Алания	Алагирский район, ТрансКАМ пк 338, северная окраина пос.Бурон (участок *Буронский-I*)	42,80243	44,01256	42,80243	44,01256	00.06.22	Не завершилась	Об-Ос	Атм., Техн.	Отмечалось	Наблюдается постоянное осыпание каменного материала, на полотно ТрансКАМа. Параметры активной части осыпного проявления: длина – 70 м, ширина – 50 м, площадь 3,5 тыс. м². Базис развития осыпи – дорожная полка ТрансКАМа (Н=1180 м). Процесс развивается в современных коллювиальных отложениях (CoQ_{IV}), представленных обломками щебнем метаморфических пород (сланцы, гнейсы, кварциты). Активность проявления – 50%. Факторы активизации: атмосферный (снеготаяние, осадки), техногенный (подрезка крутого склона). Отмечается перекрытие дороги обломочным материалом на интервале до 50 м. Из защитных сооружений есть противообвальная стенка, но её пазуха переполнена.		
15.2022.0038	Северо-Кавказский	Республика Северная Осетия-Алания	Алагирский район, ТрансКАМ пк 341, 0,4км к северу от пос.Бурон (участок *Буронский-II*)	42,80440	44,01276	42,80440	44,01276	00.06.22	Не завершилась	Об-Ос	Атм., Техн.	Отмечалось	Продолжается осыпание каменного материала и камнепад на полотно и низовой откос ТрансКАМа, который подвергается размыву рекой Ардон. Параметры активного проявления: длина – 70 м, ширина – 30 м, площадь 2,1 тыс. м². Базис осыпания – дорожная полка ТрансКАМа (Н=1170м). Проявлением охвачены современные коллювиальные отложения (CoQ_{IV}), представленные слюдистыми сланцами, гнейсами, кварцитами. Активность процесса – 38%. Факторы активизации: атмосферный (снеготаяние, осадки), техногенный (подрезка крутого, трещиноватого склона). Есть противообвальная бетонная стенка. При активизации обломочным материалом был перекрыт ТрансКАМ.		
15.2022.0039	Северо-Кавказский	Республика Северная Осетия-Алания	Алагирский район, ТрансКАМ пк 347 (*Лабагомский обвально-осыпной участок*)	42,80790	44,01924	42,80790	44,01924	00.06.22	Не завершилась	Об-Ос	Атм., Техн.	Отмечалось	Продолжается осыпание мелкообломочного каменного материала и камнепад в верховом откосе ТрансКАМа, есть следы расчистки на дорожной полке. Параметры активной части осыпи: длина – 30 м, ширина – 80 м, площадь 2,4 тыс. м², активность процесса - 48%. Базис развития – дорожная полка ТрансКАМа (Н=1150 м). Факторы активизации: атмосферный (снеготаяние, осадки), техногенный (подрезка крутого осыпного склона). Процесс развивается в современных коллювиальных отложениях (CoQ_{IV}), представленных обломками метаморфических пород (кристаллические сланцы, гнейсы, амфиболиты). Подстилающие породы того же состава (буронская свита (PZ_1br). При активизации дорожная полка перекрывалась на интервале 80 м. Защитных сооружений нет, но проводится периодическая расчистка дороги.		
15.2022.0040	Северо-Кавказский	Республика Северная Осетия-Алания	Алагирский район, ТрансКАМ пк 351 (*Бадаштинский обвально-осыпной участок*)	42,81016	44,02269	42,81016	44,02269	00.06.22	Не завершилась	Об-Ос	Атм., Техн.	Отмечалось	Отмечены признаки осыпания и камнепада на внешнем краю дорожной полки. Параметры участка активизации: длина – 30 м, ширина – 100 м, площадь – 3 тыс. м². Процессом затронуты метаморфические породы буронской свиты (PZ_1br), представленные кристаллическими сланцами, гнейсами, амфиболитами и др. Базис развития осыпи – дорожная полка ТрансКАМа (Н=1130 м). Факторы активизации: атмосферный (снеготаяние, осадки) и техногенный (подрезка крутого, трещиноватого склона дорожной полкой). Дорога перекрывалась обломочным материалом на отрезке 50 м. Есть защитная противообвальная стенка, но застеночное пространство переполнено.		

1	2	3	4	5	6	7	8	9	10	11	12	13	14	15	16
15.2022.0041	Северо-Кавказский	Республика Северная Осетия-Алания	Алагирский район, автодорога Турбина-В.Згид, км 8,5 (*Верхне-Згидский обвально-осыпной участок)*	42,85756	43,96339	42,85756	43,96339	00.06.22	Не завершилась	Об-Ос	Атм., Техн.	Отмечалось	Отмечены новые участки осыпания в верховом откосе дороги и признаки обвала по лоткам. Отмечены следы расчистки дороги. Параметры активной части обвально-осыпного участка: длина – 15 м, ширина – 200 м, площадь - 3 тыс. м². Базис развития проявления – дорожная полка автодороги Турбина - В.Згид (Н=1750 м). Процессом захвачены граниты палеозойского комплекса (PZ_2), активность проявления - 60%. Факторы активизации: метеорологический (осадки и снеготаяние) и техногенный (подрезка трещиноватого скального склона). При активизации произошло перекрытие дорожной полки на интервале около 200 м. Сооружений инженерной защиты нет, проводится периодическая расчистка дорожной полки.		
15.2022.0042	Северо-Кавказский	Республика Северная Осетия-Алания	Алагирский район, автодорога Турбина-Н.Згид, км 7,8 (*Нижне-Згидский обвально-осыпной участок)*	42,85876	43,95059	42,85876	43,95059	00.06.22	Не завершилась	Об-Ос	Атм.	Отмечалось	Продолжается осыпание и обрушение крупнообломочного материала на дорожную полку и низовой откос. Отмечены следы расчистки. Параметры активной части проявления: длина – 50 м, ширина – 40 м, площадь - 2 тыс. м². Базис развития осыпного участка – дорожная полка автодороги Турбина - Н.Згид (Н=1660 м). Обвально-осыпным процессом затронуты: осадочные породы нижней юры (J1sd), представленные алевролитами и песчаником и палеозойские граниты (γPZ_2). Факторы активизации: метеорологический (снеготаяние, осадки). В летний период дорога перекрыта обломочным материалом на интервале 40 м. Защитных сооружений нет.		
15.2022.0043	Северо-Кавказский	Республика Северная Осетия-Алания	Алагирский район, автодорога Турбина-Н.Згид, км 6,7 (*Нижне-Згидский-II обвально-осыпной участок)*	42,85316	43,96024	42,85316	43,96024	00.06.22	Не завершилась	Об-Ос	Атм.	Отмечалось	Обвалом захвачен край скального уступа вместе с крупными деревьями, ниша отрыва находится в 15 м выше дороги, объём обрушившихся грунтов - 360 м³, размеры ниши: длина 15 м, ширина - 12 м, глубина ≈ 2 м. Обвалом захвачены породы осадочного комплекса нижней юры (J_1gl), представленные песчано-глинистыми породами (сланцы, алевролиты). Фактор активизации - метеорологический (осадки). В результате обвала была перекрыта автодорога Турбина – Н. Згид на интервале около 15 м. Сооружений инженерной защиты нет. Базис развития проявления - дорожная полка (Н=1560 м).		
15.2022.0044	Северо-Кавказский	Республика Северная Осетия-Алания	Алагирский район, ТрансКАМ пк 60,5 (*6 км к югу от пос.Бурон*)	42,74941	43,98207	42,74941	43,98207	00.07.22	Не завершилась	Об-Ос	Атм., Техн.	Отмечалось	Продолжается осыпание обломочного материала на дорожную полку и редкий камнепад, есть следы расчистки. Параметры активной части осыпи: длина – 30 м, ширина – 50 м, площадь – 1,5 тыс. м². Базис развития проявления - дорожная полка ТрансКАМа (Н=1550 м). В процесс вовлечены метаморфические породы Кассарского комплекса (PZ_2ks), представленные слюдистыми сланцами, амфиболитами. Факторы активизации: атмосферный (осадки, снеготаяние) и техногенный (подрезка крутого склона). При активизации дорожное полотно ТрансКАМа перекрывалось обломочным материалом на участке около 50 м, деформирована бетонная противообвальная стенка.		
15.2022.0045	Северо-Кавказский	Республика Северная Осетия-Алания	Алагирский район, ТрансКАМ пк 108,5 (*участок Блоковый*)	42,70782	43,97809	42,70782	43,97809	00.07.22	Не завершилась	Об-Ос	Атм., Техн.	Отмечалось	В районе древнего блокового оползня отмечено осыпание и скатывание средних и крупных обломков, сужение полотна дороги с перекрытием проезжей части. Параметры активной части осыпи: длина – 50 м, ширина – 50 м, площадь - 2,5 тыс. м². Базис развития проявления - дорожная полка ТрансКАМа (Н=1770 м). Факторы активизации: метеорологический (осадки), техногенный (подрезка трещиноватого крутого склона дорожной полкой). Процессом захвачены глинистые сланцы и алевролиты. При активизации в начале лета дорожное полотно перекрывалось обломочным материалом на интервале 50 м. Сооружения инженерной защиты отсутствуют, проводится периодическая расчистка дорожного полотна.		

1	2	3	4	5	6	7	8	9	10	11	12	13	14	15	16
15.2022.0046	Северо-Кавказский	Республика Северная Осетия-Алания	Алагирский район, ТрансКАМ пк 96	42,71842	43,97740	42,71842	43,97740	00.07.22	Не завершилась	Об-Ос	Атм., Техн.	Отмечалось	Отмечены свежие участки осыпания в верховом откосе дороги, следы расчистки на полотне. Параметры участка активизации: длина – 15 м, ширина – 300 м, площадь – 4,5 тыс. м². Базис развития проявления – дорожная полка ТрансКАМа (Н=1700 м). Проявлением затронуты породы верхнеюрского осадочного комплекса (J_3), представленные глинистым сланцем с прослоями алевролитов. Факторы активизации: метеорологический (осадки), техногенный (подрезка крутого трещиноватого склона дорожной полкой). При активизации отмечено перекрытие полотна автодороги с твердым покрытием на интервале 300 м, защитных сооружений нет, ведётся периодическая расчистка полотна дорожной техникой.		
15.2022.0047	Северо-Кавказский	Республика Северная Осетия-Алания	Алагирский район, р.Бабиат км 2; 2,2км к югу от с.Нар	42,66109	44,04467	42,66109	44,04467	00.07.22	Не завершилась	Об-Ос	Атм.	Не отмечалось	Свежие участки осыпания на обоих бортах, осовы и большое скопление обломочного материала в русле реки, сильное сужение поймы. Параметры активной части: длина – 50 м, ширина – 10 м, площадь - 7,5 тыс. м². Базис проявления – пойма р. Бабиат (Н=1980м). В процесс вовлечены юрские осадочные породы (мергели, известняки - J_{2-3}). Фактор активизации - метеорологический (интенсивные осадки, снеготаяние). Защитных сооружений нет, противооползневых мероприятий не проводилось.		
15.2022.0048	Северо-Кавказский	Республика Северная Осетия-Алания	Алагирский район, ТрансКАМ пк 279	42,63026	44,08707	42,63026	44,08707	00.07.22	Не завершилась	Об-Ос	Атм., Техн.	Отмечалось	Новые осыпные конусы в верховом откосе дороги, следы расчистки на полотне, скопление осыпного материала на внешнем крае дорожной полки. Параметры активной части проявления: длина – 20 м, ширина – 200 м, площадь – 4 тыс. м². Базис развития - дорожная полка ТрансКАМа (Н=2050 м). Процессом охвачены верхнеюрские карбонатные отложения (J_3), представленные песчаниками, алевролиты и мергели. Факторы активизации процесса: метеорологический (осадки, снеготаяние), техногенный (подрезка крутого трещиноватого склона дорожной полкой). При активизации отмечена деформация (перекрытие) дороги с твердым покрытием на интервале 200 м. Защитных сооружений нет, ведётся периодическая расчистка полотна дорожной техникой.		
15.2022.0049	Северо-Кавказский	Республика Северная Осетия-Алания	Алагирский район, ТрансКАМ пк 235,5 *(обвал Хур-Адагский)*	42,63745	44,04125	42,63745	44,04125	00.07.22	Не завершилась	Об	Атм.	Отмечалось	После сильных осадков на полотно ТрансКАМа обвалился скальный уступ. Ниша обвала находится в 50 м выше дороги. Объём обвала ≈ 1 тыс. м^3. Есть следы расчистки, обломочный материал сдвинут на внешний край дорожной полки. Базис проявлений – дорожная полка ТрансКАМа (Н=1940 м). Проявлением затронуты верхнеюрские карбонатные отложения (J_3th) представленные песчаниками и мергелями. Фактор активизации - метеорологический (интенсивные осадки). В результате обвала дорожная полка была перекрыта на интервале 50 м (с т.п.). Есть камнеулавливающая стенка, однако пазуха уже переполнена, а стенка деформирована.		
15.2022.0050	Северо-Кавказский	Республика Северная Осетия-Алания	Алагирский район, ТрансКАМ пк 220	42,63963	44,02690	42,63963	44,02690	00.07.22	Не завершилась	Об	Атм.	Отмечалось	В 50 м выше дороги наблюдается ниша обвала. Крупноглыбовый материал в объёме около 400 м^3 сдвинут на внешний край дорожной полки. Базис развития обвала – эта же дорожная полка (Н=1885 м). Проявлением затронуты верхнеюрские карбонатные отложения (J_3th) представленные песчаниками и мергелями. Фактором активизации является метеорологический (ливневые осадки). Дорожная полка была перекрыта обломочным материалом на интервале около 40 м. Из защитных сооружений есть камнеулавливающая бетонная стенка, но застеночная пазуха переполнена.		

1	2	3	4	5	6	7	8	9	10	11	12	13	14	15	16
15.2022.0051	Северо-Кавказский	Республика Северная Осетия-Алания	Алагирский район, ТрансКАМ пк 212	42,64337	44,02009	42,64337	44,02009	00.07.22	Не завер-шилась	Об-Ос	Атм., Техн.	Отмечалось	Обвально-осыпной процесс развивается на южном портале противолавинной галереи идёт активное осыпание в верховом откосе дороги, камнепад достигает проезжей части. Параметры активной части: длина – 50 м, ширина – 50 м, площадь – 2,5 тыс. м². Базисом развития проявления является дорожная полка ТрансКАМа (Н=1850 м). Процессом затронуты верхнеюрские карбонатные отложения (J_3), представленные песчаниками и мергелями. Факторы активизации: метеорологический (осадки), техногенный (подрезка трещиноватого склона дорожной полкой). Дорога перекрывалась обломочными отложениями на интервале 20 м. Камнепадом деформирована защитная металлическая сетка и камнеулавливающая бетонная стенка.		
15.2022.0052	Северо-Кавказский	Республика Северная Осетия-Алания	Алагирский район, ТрансКАМ пк 151 (*оползень Цебойтинский*)	42,68570	44,00561	42,68570	44,00561	00.07.22	Не завер-шилась	Оп	Атм., Гидрогеол.	Отмечалось	Отмечены ступени отсадки в низовом откосе дороги, растрескивание поверхности откоса деформация дорожной полки. Параметры активной части проявления: длина – 70 м, ширина – 80 м, мощность – до 8 м. Базисом проявления является дорожная полка ТрансКАМа (Н=1760 м). Проявлением затронут современные коллювиальные отложения (CoQ_{IV}), представленные глинисто-щебнистыми грунтами с обломками глинистых сланцев и песчаников. Факторы активизации: метеорологический (осадки), гидрогеологический (обводнение грунтовыми водами). При активизации деформирована дорожная полка на интервале 20 м (с т.п.). Защитных сооружений нет. Активность процесса на момент обследования – 100 %.		
15.2022.0053	Северо-Кавказский	Республика Северная Осетия-Алания	Алагирский район, р.Бабиат км 2,3 (*оползень Бабиатский*)	42,65746	44,04933	42,65746	44,04933	00.07.22	Не завер-шилась	Оп	Атм., Гидрогеол., Гидрологич.	Не отмечалось	Происходит отсадка и обрушение крупных блоков фронта оползня, вместе с деревьями, вывал крупных камней; отмечается усиление разгрузки грунтовых вод. Параметры активной части оползня: длина – 20 м, ширина – 270 м, мощность - 8÷10 м, площадь – 5,4 тыс. м². Базис развития – пойма р. Бабиат (Н=2100 м). Проявлением затронуты современные оползневые отложения (dpQ_{IV}), представленные глинисто-щебнистыми грунтами с обломками песчаников, алевролитов и глинистых сланцев. Факторы активизации оползневого процесса: метеорологический (осадки), гидрогеологический (разгрузка грунтовых вод), гидрологический (размыв фронта оползня рекой Бабиат). Создаётся угроза перекрытия реки, с последующим селевым выбросом. Противооползневых мероприятий не проводилось, сооружений инженерной защиты нет.		
15.2022.0054	Северо-Кавказский	Республика Северная Осетия-Алания	Алагирский район, р.Зруг км 4,3	42,64802	43,99288	42,64802	43,99288	00.07.22	Не завер-шилась	Об-Ос	Атм., Техн.	Отмечалось	Наблюдается осыпание крупных и средних обломков, свежие осыпные конусы, сужение проезжей части и перекрытие дорожной полки обломочным материалом. Параметры активной части: длина – 20 м, ширина – 120 м, площадь – 2,4 тыс. м², активность процесса – 60 %. Базис развития – полка дороги к погранзаставе «Зруг» (Н=1900 м). Процессом затронуты верхнеюрские карбонатные отложения (J_3) представленные песчаниками и мергелями. Факторы активизации обвально-осыпного процесса: метеорологический (осадки), техногенный (подрезка крутого рыхлообломочного склона дорожной полкой). Дорога была перекрыта обломочным материалом на интервале 120 м, есть следы расчистки. Сооружений инженерной защиты нет, но проводится периодическая расчистка полки дорожной техникой.		

1	2	3	4	5	6	7	8	9	10	11	12	13	14	15	16
15.2022.0055	Северо-Кавказский	Республика Северная Осетия-Алания	Алагирский район, газопровод Дзуарикау-Цхинвал км 95,5	42,60355	43,79099	42,60355	43,79099	00.07.22	Не завершилась	Об-Ос	Атм., Техн.	Отмечалось	Обломочным материалом перекрыто 2 серпантина дорожной полки, склон сильно-обводнён, есть осовы и промоины в низовом откосе дороги. Параметры активизации: длина – 30 м, ширина – 200 м, площадь – 6 тыс. м². Базисом проявления является полка технологической дороги (H=2740 м), активность процесса – 67%. факторы активности: техногенный (подрезка осыпного склона при прокладке газопровода), метеорологический (снеготаяние). Обвально-осыпным процессом затронуты осадочные породы нижнего мела (K_1sh) представленные песчаниками, алевролитами и мергелями и ледниковые(моренные) отложения (gQ_{IV}) В процессе активизации произошло перекрытие технологической дороги без твердого покрытия, на интервале 200 м. Сооружений инженерной защиты нет, проводится периодическая расчистка полки дорожной техникой.		
15.2022.0056	Северо-Кавказский	Республика Северная Осетия-Алания	Алагирский район, р.Кайтиком км 1,2 (*Кайтикомский правобережный оплзень*)	42,66056	43,86046	42,66056	43,86046	00.07.22	Не завершилась	Оп	Атм., Гидрогеол. Гидрологич.	Не отмечалось	Фронт оползня сильно размыт рекой Кайтиком, на фронтальном уступе отмечаются свежие оплывины, отсевшие блоки обводнённых грунтов, растрескивание поверхности. Параметры активной части: длина – 100 м, ширина – 75 м, мощность – до 10 м, площадь – 7,5 тыс. м². Базис проявления – пойма р. Кайтиком (H=2000 м). В оползневой процесс вовлечены современные оползневые отложения (dpQ_{IV}), представленные глинисто-щебнистыми грунтами с обломками мергелей и аргиллитов. Факторы активизации: метеорологический (осадки), гидрогеологический (разгрузка грунтовых вод), гидрологический (размыв фронта оползня рекой Кайтиком). Противооползневых сооружений нет.		
15.2022.0057	Северо-Кавказский	Республика Северная Осетия-Алания	Алагирский район, газопровод Дзуарикау-Цхинвал км 81,5 (*Южный фланг Тибского обвально-осыпного участка*)	42,66776	43,90844	42,66776	43,90844	00.07.22	Не завершилась	Об-Ос	Атм., Техн.	Отмечалось	Продолжается осыпание крупнообломочного материала с верхового склона. Параметры активной части проявления: длина – 100 м, ширина – 400 м, площадь – 40 тыс. м², объём – до 2 тыс. м³. Базис развития проявления – пойма р. Мамисондон (H=1710 м), промежуточный базис – технологическая дорога газопровода. Активность процесса – 71 %. Проявлением затронуты осадочные отложения верхней юры (J_3th), представленные известняками с прослоями мергелей и алевролитов. Факторы активизации процесса: техногенный (нарушение рыхлообломочного склона при прокладке газопровода), метеорологический (осадки). Отмечено полное перекрытие технологической дороги на интервале 400 м и деформация подпорных стенок из габионов на интервале 150 м. Проводится периодическая расчистка дорожной полки.		
15.2022.0058	Северо-Кавказский	Республика Северная Осетия-Алания	Алагирский район, газопровод Дзуарикау-Цхинвал км 81 (*Северный фланг Тибского обвально-осыпного участка*)	42,67018	43,91680	42,67018	43,91680	00.07.22	Не завершилась	Об-Ос	Атм., Техн.	Отмечалось	Продолжается осыпание и камнепад на полку технологической дороги газопровода, отмечаются следы микроселей и осыпных конусов по рытвинам. Параметры активной части: длина – 50 м, ширина – 150 м, площадь – 4,5 тыс. м², объём – до 1 тыс. м³. Базис развития проявления– пойма р. Мамисондон (H=1700 м). Процессом затронуты осадочные породы верхней юры (J_3th), представленные известняками с прослоями мергелей и алевролитов. Активность – 32 %. Факторы активизации: техногенный (нарушение рыхлообломочного склона при прокладке газопровода), метеорологический (осадки). Технологическая дорога газопровода перекрыта на интервале 150 м. Сооружений инженерной защиты нет, проводится периодическая расчистка дорожной полки.		

1	2	3	4	5	6	7	8	9	10	11	12	13	14	15	16
15.2022.0059	Северо-Кавказский	Республика Северная Осетия-Алания	Алагирский район, автодорога Зарамаг-Мамисон, км 48.5, 1км к северо-востоку от с.Тиб (*оползень-поток*)	42,67635	43,91988	42,67635	43,91988	00.07.22	Не завершилась	Оп	Атм., Гидрогеол.	Отмечалось	На правом фланге продолжает размываться оползень поток, периодически перекрывающий дорогу, проезжая часть сужена до 2,5 м, по низовому откосу отмечаются деформации и отсадка крупных блоков. Склон выше дороги разбит трещинами. Параметры активной части: длина – 100 м, ширина – 120 м, мощность – до 15 м. Базис развития проявления – дорога Зарамаг – Мамисон (Н=1900 м). Процессом затронуты оползневые отложения голоцена (dpQ_{IV}), представленные глинисто-щебнистыми грунтами с обломками песчаников и алевролитов. Активность процесса – 40 %. Факторы активизации: метеорологический (снеготаяние, осадки), гидрогеологический (разгрузка грунтовых вод). Дорога была деформирована и перекрыта оползневыми массами на интервале 30 м (с т.п.). Бетонная подпорная стенка не работает, застеночное пространство переполнено.		
15.2022.0060	Северо-Кавказский	Республика Северная Осетия-Алания	Алагирский район, 0,8км к юго-западу от с.Тиб (*участок Опорный)*	42,66837	43,90098	42,66837	43,90098	00.07.22	Не завершилась	Об-Ос	Атм., Техн.	Отмечалось	Отмечается осыпание крупнообломочного материала, сужение полотна дороги, заметное увеличение шлейфа осыпи. Активность – 75 %. Параметры активной части: длина – 20 м, ширина – 150 м, площадь – 3 тыс. м². Проявлением затронуты верхнеюрские карбонатные отложения (J_3), сложенные песчаниками и мергелями. Базис развития проявления – дорожная полка (Н=1950 м). Факторы активизации: метеорологический и техногенный (подрезка склона дорожной полкой). Дорожная полка была перекрыта обломочным материалом на интервале 150 м. Сооружений инженерной защиты нет, проводится периодическая расчистка дороги.		
15.2022.0061	Северо-Кавказский	Республика Северная Осетия-Алания	Алагирский район, в 1,5км к юго-востоку от с.Сатат (*оползень Пусдонский I*)	42,68093	43,94215	42,68093	43,94215	00.07.22	Не завершилась	Оп	Атм., Гидрогеол. Гидрологич.	Не отмечалось	На фронтальном уступе отседают и оползают обводненные блоки грунта, вместе, с травой и кустарником. Весь оползневой склон разбит глубокими и протяжёнными трещинами, идёт разгрузка грунтовых вод. Площадь активизации суммарно составляет около 0,003 км². Базисом развития оползня является пойма р. Пусдон (Н=1760 м). Факторы активизации: метеорологический (снеготаяние, осадки), гидрогеологический (обводнение грунтовыми водами), гидрологический (размыв фронта оползня рекой Пусдон). Заметного ущерба оползень не наносит, сооружений инженерной защиты нет.		
15.2022.0062	Северо-Кавказский	Республика Северная Осетия-Алания	Пригородный район, 2,5км от с.Кобан к югу (*Кахтисарский участок*)	42,83379	44,45351	42,83379	44,45351	00.08.22	Не завершилась	Об-Ос	Атм., Техн.	Отмечалось	Продолжается осыпание и камнепады обломочного материала с верхового откоса дороги, отмечены свежие осыпные конусы, есть следы расчистки овражной эрозии. Параметры активной части: длина – 360 м, ширина – 100 м, площадь – 3 тыс. м². Проявлением затронуты породы карбонатного комплекса верхней юры (J_3), представленного известняками, доломитами и песчаниками сильно раздробленными и трещиноватыми. Активность процесса – 5%. Базис развития проявления – пойма р. Гизельдон (Н=1200 м). Дорога перекрыта крупнообломочным материалом на интервале около 100 м (без т.п.). Противообвальных сооружений нет, проводится периодическая расчистка полки дорожной техникой.		

1	2	3	4	5	6	7	8	9	10	11	12	13	14	15	16
15.2022.0063	Северо-Кавказский	Республика Северная Осетия-Алания	Пригородный район, 1км к юго-западу от с.Кобан (оползень Кобанский)	42,90352	44,46268	42,90352	44,46268	00.08.22	Не завер-шилась	Оп	Атм., Техн.	Отмечалось	В 1 км к юго-западу от с. Кобан после техногенной подрезки крутого неустойчивого склона и интенсивных дождей сформировался крупный оползневой блок, захвативший дорогу. Оползневые ступени смещены вместе с деревьями. Параметры оползня: длина – 50 м, ширина – 50 м, площадь – 2,5 тыс.м², мощность – до 5 м. Активность 100 %. Базисом развития оползня является р. Гизельдон (Н=1050 м). Проявлением захвачены современные пролювиально-коллювиальные (p-coQ$_{IV}$) отложения, сложенные щебнисто-глинистыми грунтами с обломками карбонатных пород. Факторы активизации: техногенный (подрезка рыхлообломочного склона дорожной полкой), атмосферный (осадки). Дорога без твердого покрытия была разрушена на интервале 150 м. Готовится строительство подпорной стенки.		
15.2022.0064	Северо-Кавказский	Республика Северная Осетия-Алания	Алагирский район, 1.8км к северу от с.Н.Зарамаг (оползень Калм)	42,71163	43,97145	42,71163	43,97145	00.08.22	Не завер-шилась	Оп	Техн.	Не отмечалось	В 1,8 км к северу от с. Н. Зарамаг, после 10 лет стабилизации активизировался оползень Калм. Наблюдается растрескивание склона, смещение крупных блоков, обводнение фронтальной части. Параметры активной части: длина – 180 м, ширина – 150 м, площадь – 27 тыс. м². Базис развития процесса – полка автодороги Зарамаг – Мамисон (Н=1700 м). Процессом затронуты современные оползневые отложения (dpQ$_{IV}$), представленные глинисто-щебнистыми грунтами с обломками и глыбами глинистых сланцев и алевролитов. Фактор активизации – техногенный (сильная подрезка тела оползня при расширении дорожной полки и нарушение поверхностного и подземного стока). Создалась угроза разрушения дорожной полки автодороги Зарамаг – Мамисон. На момент обследования инженерной защиты нет.		
15.2022.0065	Северо-Кавказский	Республика Северная Осетия-Алания	Ирафский район, с.Стур-Дигора (оползень Стур-Дигорский)	42,89991	43,65477	42,89991	43,65477	00.08.22	Не завер-шилась	Оп	Атм., Гидрол., Гидрогеол.	Не отмечалось	Обрушилась краевая (восточная) часть оползня вместе с деревьями и кустарником. Параметры активной части: длина – 25 м, ширина – 120 м, мощность – до 5 м, площадь – 2,7 тыс.м². Базис развития – пойма р. Урух (Н=1560 м). Процессом затронуты породы нижнеюрского осадочного комплекса (J$_1$t$_2$), представленные аргиллитами, алевролитами и песчаниками. Оползневые отложения сложены глинисто-щебнистыми грунтами. Активность процесса – 20%. Факторы активизации: метеорологический (осадки), гидрологический (боковая эрозия фронта), гидрогеологический (разгрузка грунтовых вод). При дальнейшей активизации возникает угроза смещения русла к левому берегу, где расположены строения с. Стур-Дигора. Сооружений инженерной защиты нет.		
15.2022.0066	Северо-Кавказский	Республика Северная Осетия-Алания	Ирафский район, правый берег р.Караугом, км5 от устья (участок Моренный)	42,84632	43,70198	42,84632	43,70198	00.08.22	Не завер-шилась	Об-Ос	Атм.	Не отмечалось	Пойменная терраса правого берега р. Караугом завалена свежими обломками и глыбами, многие из которых расколоты. На склоне сохранились следы весеннего камнепада. Параметры активной части осыпи: длина- 50 м, ширина – 60 м, площадь – 3,5 тыс.м². Базис развития – пойма р. Караугом (Н=1850 м). Процесс происходит в моренных (ледниковых) отложениях (fQ$_{IV}$, gQ$_{IV}$), представленных валунами и полуокатанными обломками кристаллических пород (граниты, диориты и др). Активность процесса – 100% (два предыдущих года активности не отмечалось, а в отчётном году возобновилась в прежних границах). Факторы активизации: метеорологический (осадки и снеготаяние, деградация ледника). При паводках возникает угроза селевых выбросов с поражением ниже расположенных объектов (с. Дзинага, турбаза «Дзинага», погранзастава).		

1	2	3	4	5	6	7	8	9	10	11	12	13	14	15	16
20.2022.0034	Северо-Кавказский	Чеченская Республика	Надтеречный район, с. Братское	43,65887	44,90360	43,65887	44,90360	00.05.22	Не завершилась	Оп	Атм.	Не отмечалось	Признаки активизации: обрушение стенки уступа, трещины закола на теле оползня, образование валов выпирания. Параметры активной части – длина 120 м, ширина – 220 м, площадь 26400 м², объем 132000 м^3, мощность 5 м. Активность опасного ЭГП на момент обследования 100%. Комплексы и состав горных пород, затронутых проявлением: суглинки, глины dQ_{III} - N. Базис развития опасного ЭГП - пойма реки. Фактор активизации опасного ЭГП атмосферные осадки.		
20.2022.0035	Северо-Кавказский	Чеченская Республика	Надтеречный район, с. Братское	43,65730	44,88203	43,65730	44,88203	00.05.22	Не завершилась	Оп	Атм.	Не отмечалось	Признаки активизации - обрушение стенки уступа. Параметры активной части - длина 70 м, ширина - 45 м, площадь 3150 м², объем 15750 м^3, мощность 5 м. Активность опасного ЭГП на момент обследования 17%. Комплексы и состав горных пород, затронутых проявлением: суглинки, глины Q_{III} - N. Базис развития опасного ЭГП - пойма реки. Фактор активизации опасного ЭГП - атмосферные осадки.		
20.2022.0036	Северо-Кавказский	Чеченская Республика	Надтеречный район, п.Горагорский	43,51204	45,07673	43,51204	45,07673	00.05.22	Не завершилась	Оп	Атм.	Не отмечалось	Признаки активизации - обрушение стенки уступа. Параметры активной части - длина 15 м, ширина - 13 м, площадь 195 м², объем 195 м^3, мощность 1 м. Активность опасного ЭГП на момент обследования 2%. Комплексы и состав горных пород, затронутых проявлением: суглинки, глины Q_{IV} - N. Базис развития опасного ЭГП - подножье склона. Фактор активизации - атмосферные осадки.		
20.2022.0037	Северо-Кавказский	Чеченская Республика	Надтеречный район, п.Горагорский	43,50534	45,08154	43,50534	45,08154	00.05.22	Не завершилась	Оп	Атм., Техн.	Не отмечалось	Признаки активизации - обрушение стенки уступа в бортовых частях оползня. Параметры активной части - длина 30 м, ширина - 20 м, площадь 600 м², объем 900 м^3, мощность 1,5 м. Активность опасного ЭГП на момент обследования 26%. Комплексы и состав горных пород, затронутых проявлением: суглинки, глины Q_{IV}. Базис развития опасного ЭГП - подножье склона. Факторы активизации опасного ЭГП: атмосферные осадки, техногенный (утечка воды из водопроводных коммуникаций)		
20.2022.0038	Северо-Кавказский	Чеченская Республика	Ножай-Юртовский район, автодорога с. Шовхал-Берды - с. Аллерой - 0,49 км	43,09556	46,30202	43,09556	46,30202	00.05.22	Не завершилась	Оп	Атм.	Не отмечалось	Признаки активизации: обрушение стенки уступа, скопление разрыхленных масс на полке дороги. Параметры активной части - длина 12 м, ширина - 10 м, площадь 120 м², объем 180 м^3, мощность 1,5 м. Активность на момент обследования 20%. Комплексы и состав горных пород, затронутых проявлением: суглинки, глины Q_{IV} - N. Базис развития опасного ЭГП - полка дороги. Фактор активизации опасного ЭГП - атмосферные осадки.		
20.2022.0039	Северо-Кавказский	Чеченская Республика	Ножай-Юртовский район, автодорога с. Турты-Хутор – с. Малые Шуани - 2,26 км	43,09381	46,25334	43,09381	46,25334	00.06.22	Не завершилась	Оп	Атм.	Не отмечалось	Признаки активизации: обрушение стенки уступа, трещины закола на теле оползня. Параметры активной части - длина 5 м, ширина - 15 м, площадь 75 м², объем 37,5 м^3, мощность 0,5 м. Активность опасного ЭГП на момент обследования 100%. Комплексы и состав горных пород, затронутых проявлением: суглинки, глины Q_{III} - N. Базис развития опасного ЭГП - полка дороги. Фактор активизации опасного ЭГП - атмосферные осадки.		

1	2	3	4	5	6	7	8	9	10	11	12	13	14	15	16
20.2022.0040	Северо-Кавказский	Чеченская Республика	Ножай-Юртовский район, автодорога с. Турты-Хутор – с. Малые Шуани-2,31 км	43,09367	46,25331	43,09367	46,25331	00.06.22	Не завершилась	Оп	Атм.	Не отмечалось	Признаки активизации: обрушение стенки уступа, трещины закола на теле оползня. Параметры активной части - длина 6 м, ширина - 20 м, площадь 120 м², объем 60 м³, мощность 0,5 м. Активность опасного ЭГП на момент обследования 100%. Комплексы и состав горных пород, затронутых проявлением: суглинки, глины Q_{IV} - N. Базис развития опасного ЭГП - полка дороги. Фактор активизации опасного ЭГП - атмосферные осадки.		
20.2022.0041	Северо-Кавказский	Чеченская Республика	Ножай-Юртовский район, автодорога с. Малые Шуани – Бас-Гордали - 6,5 км	43,07092	46,22962	43,07092	46,22962	00.06.22	Не завершилась	Оп	Атм.	Отмечалось	Признаки активизации: обрушение стенки уступа, трещины закола на теле оползня. Параметры активной части - длина 20 м, ширина - 40 м, площадь 800 м², объем 3200 м³, мощность 4 м. Активность опасного ЭГП на момент обследования 100%. Комплексы и состав горных пород, затронутых проявлением: суглинки, глины Q_{IV} - N. Базис развития опасного ЭГП - тальвег лощины. Фактор активизации - атмосферные осадки. Активизация оползня привела к разрушению обочины дороги с покрытием на участке длиной 10 м		
20.2022.0042	Северо-Кавказский	Чеченская Республика	Ножай-Юртовский район, автодорога с. Малые Шуани - с. Бас-Гордали - 7,51 км	43,06419	46,22493	43,06419	46,22494	00.05.22	Не завершилась	Оп	Атм.	Не отмечалось	Признаки активизации - обрушение стенки уступа. Параметры активной части - длина 20 м, ширина - 25 м, площадь 500 м², объем 1500 м³, мощность 3 м. Активность опасного ЭГП на момент обследования 40%. Комплексы и состав горных пород, затронутых проявлением: суглинки, глины Q_{IV} - N. Базис развития опасного ЭГП - тальвег лощины. Фактор активизации опасного ЭГП - атмосферные осадки.		
20.2022.0043	Северо-Кавказский	Чеченская Республика	Ножай-Юртовский район, с. Хашки-Мохк дорога на кладбище - 1,67 км	43,06528	46,20795	43,06528	46,20795	00.06.22	Не завершилась	Оп	Атм.	Отмечалось	Признаки активизации - обрушение стенки уступа. Параметры активной части - длина 60 м, ширина - 25 м, площадь 1500 м², объем 3000 м³, мощность 2 м. Активность опасного ЭГП на момент обследования 21%. Комплексы и состав горных пород, затронутых проявлением: суглинки, глины Q_{III} - N. Базис развития опасного ЭГП - тальвег лощины. Фактор активизации - атмосферные осадки. Активизация оползня привела к разрушению полотна дороги без покрытия на участке длиной 6 м		
20.2022.0044	Северо-Кавказский	Чеченская Республика	Ножай-Юртовский район, автодорога с. Ялхой-Мохк - с. Малые Шуани - 5,53 км	43,07915	46,23392	43,07915	46,23392	00.05.22	Не завершилась	Оп	Атм.	Отмечалось	Признаки активизации - обрушение стенки уступа. Параметры активной части - длина 12 м, ширина - 26 м, площадь 312 м², объем 312 м³, мощность 1 м. Активность опасного ЭГП на момент обследования 60%. Комплексы и состав горных пород, затронутых проявлением: суглинки, глины Q_{IV} - N. Базис развития опасного ЭГП - полка дороги. Фактор активизации опасного ЭГП - атмосферные осадки. Активизация оползня привела к разрушению полотна дороги покрытием на участке длиной 3 м		
20.2022.0045	Северо-Кавказский	Чеченская Республика	Ножай-Юртовский район, автодорога с. Ялхой-Мохк – с. Малые Шуани - 4,05 км	43,08215	46,22235	43,08215	46,22235	00.06.22	Не завершилась	Оп	Атм.	Не отмечалось	Признаки активизации - обрушение стенки уступа, трещина закола на теле оползня. Параметры активной части - длина 40 м, ширина - 25 м, площадь 1000 м², объем 2000 м³, мощность 2 м. Активность опасного ЭГП на момент обследования 100%. Комплексы и состав горных пород, затронутых проявлением: суглинки, глины Q_{III} - N. Базис развития опасного ЭГП - полка дороги. Фактор активизации опасного ЭГП - атмосферные осадки.		

1	2	3	4	5	6	7	8	9	10	11	12	13	14	15	16
20.2022.0046	Северо-Кавказский	Чеченская Республика	Ножай-Юртовский район, автодорога с. Шуани - с. Саясан - 0,75 км	43,06813	46,24460	43,06813	46,24461	00.06.22	Не завер-шилась	Оп	Атм.	Не отмечалось	Признаки активизации - обрушение стенки уступа. Параметры активной части - длина 25 м, ширина - 80 м, площадь 2000 м², объем 2000 м³, мощность 1 м. Активность опасного ЭГП на момент обследования 100%. Комплексы и состав горных пород, затронутых проявлением: суглинки, глины N. Базис развития опасного ЭГП - пойма реки. Фактор активизации опасного ЭГП - атмосферные осадки.		
20.2022.0047	Северо-Кавказский	Чеченская Республика	Ножай-Юртовский район,автодорога с.Шуани - с.Саясан - 1,15км	43,06834	46,24931	43,06834	46,24931	00.06.22	Не завер-шилась	Оп	Атм.	Не отмечалось	Признаки активизации – обрыв стенки уступа. Параметры активной части - длина 35м, ширина - 100м, площадь 3500м², объем 10500м³, мощность 3м. Активность опасного ЭГП на момент обследования 100%. Комплексы и состав горных пород, затронутых проявлением: суглинки, глины N. Базис развития опасного ЭГП: пойма реки. Фактор активизации опасного ЭГП - атмосферные осадки.		
20.2022.0048	Северо-Кавказский	Чеченская Республика	Ножай-Юртовский район,автодорога с. Шуани – с. Саясан-2,43км	43,06883	46,26377	43,06883	46,26377	00.06.22	Не завер-шилась	Оп	Атм.	Не отмечалось	Признаки активизации - обрушение стенки уступа. Параметры активной части - длина 50м, ширина - 110м, площадь 5500м², объем 22000м³, мощность 4м. Активность опасного ЭГП на момент обследования 100%. Комплексы и состав горных пород, затронутых проявлением: суглинки, глины N. Базис развития опасного ЭГП: пойма реки. Фактор активизации опасного ЭГП - атмосферные осадки.		
20.2022.0049	Северо-Кавказский	Чеченская Республика	Ножай-Юртовский район,автодорога с.Шуани - с.Саясан - 2,77км	43,06816	46,26752	43,06816	46,26753	00.06.22	Не завер-шилась	Оп	Атм.	Не отмечалось	Признаки активизации - обрыв стенки уступа, трещины закола на теле оползня. Параметры активной части - длина 50м, ширина - 80м, площадь 4000м², объем 12000м³, мощность 3м. Активность опасного ЭГП на момент обследования 100%. Комплексы и состав горных пород, затронутых проявлением: алевролиты, глины N. Базис развития опасного ЭГП: пойма реки. Фактор активизации опасного ЭГП - атмосферные осадки.		
20.2022.0050	Северо-Кавказский	Чеченская Республика	Ножай-Юртовский район,автодорога с.Шуани - с.Саясан - 3,03км	43,06748	46,27017	43,06748	46,27017	00.06.22	Не завер-шилась	Оп	Атм.	Не отмечалось	Признаки активизации - обрыв стенки уступа. Параметры активной части - длина 80м, ширина - 30м, площадь 2400 м², объем 7200м³, мощность 4м. Активность опасного ЭГП на момент обследования 67%. Комплексы и состав горных пород, затронутых проявлением: суглинки, глины Q_{IV} – N. Базис развития опасного ЭГП: пойма реки. Фактор активизации опасного ЭГП - атмосферные осадки.		
20.2022.0051	Северо-Кавказский	Чеченская Республика	Ножай-Юртовский район,втодорога с.Шуани - с.Саясан - 3,15км	43,06696	46,27142	43,06696	46,27143	00.06.22	Не завер-шилась	Оп	Атм.	Не отмечалось	Признаки активизации - обрыв стенки уступа. Параметры активной части – длина 80 м, ширина – 28 м, площадь 2240 м², объем 8960 м³, мощность 4 м. Активность опасного ЭГП на момент обследования 100 %. Комплексы и состав горных пород, затронутых проявлением: суглинки, глины Q_{III} - N. Базис развития опасного ЭГП: пойма реки. Фактор активизации опасного ЭГП - атмосферные осадки.		

1	2	3	4	5	6	7	8	9	10	11	12	13	14	15	16
20.2022.0052	Северо-Кавказский	Чеченская Республика	Ножай-Юртовский район,автодорога с.Аллерой - с.Гансолчу - 2,9км	43,09981	46,27214	43,09981	46,27214	00.06.22	Не завер-шилась	Оп	Атм.	Не отмечалось	Признаки активизации - обрыв стенки уступа. Параметры активной части – длина 10 м, ширина – 6 м, площадь 60 м², объем 60 м^3, мощность 1 м. Активность опасного ЭГП на момент обследования 100 %. Комплексы и состав горных пород, затронутых проявлением: суглинки, глины Q_{IV} - N. Базис развития опасного ЭГП: тальвег лощины. Фактор активизации опасного ЭГП – атмосферные осадки.		
20.2022.0053	Северо-Кавказский	Чеченская Республика	Ножай-Юртовский район,автодорога с.Аллерой - с.Гансолчу - 3,05км	43,10011	46,27029	43,10011	46,27029	00.06.22	Не завер-шилась	Оп	Атм.	Не отмечалось	Признаки активизации - обрыв стенки уступа. Параметры активной части – длина 10 м, ширина – 36 м, площадь 360 м², объем 180 м^3, мощность 0,5 м. Активность опасного ЭГП на момент обследования 100%. Комплексы и состав горных пород, затронутых проявлением: суглинки, глины Q_{III}-N. Базис развития опасного ЭГП: тальвег лощины. Фактор активизации опасного ЭГП - атмосферные осадки.		
20.2022.0054	Северо-Кавказский	Чеченская Республика	Шатойский район, автодорога с.Хал-Килой – с.Нижний Дай – 6,25км	42,79445	45,81895	42,79445	45,81895	00.05.22	Не завер-шилась	Оп	Атм.	Отмечалось	Признаки активизации – образование стенки уступа. Параметры активной части - длина 15м, ширина - 6м, площадь 90м², объем 45м^3, мощность 0,5м. Активность опасного ЭГП на момент обследования 100%. Комплексы и состав горных пород, затронутых проявлением: суглинки, глины Q-K_1al. Базис развития опасного ЭГП: пойма реки. Фактор активизации опасного ЭГП - атмосферные осадки. Активизация оползня привела разрушению обочины дороги с твердым покрытием на участке длиной 6 м, шириной 0,5 м.		
20.2022.0055	Северо-Кавказский	Чеченская Республика	Шатойский район, с.Нижний Дай	42,78270	45,83174	42,78270	45,83174	00.05.22	Не завер-шилась	Оп	Атм.	Отмечалось	Признаки активизации – образование стенки уступа. Параметры активной части - длина 10 м, ширина – 14 м, площадь 140 м², объем 70 м^3, мощность 0,5 м. Активность опасного ЭГП на момент обследования 100%. Комплексы и состав горных пород, затронутых проявлением: суглинки, глины Q-K_1al. Базис развития опасного ЭГП: пойма реки. Фактор активизации опасного ЭГП - атмосферные осадки. Активизация оползня привела разрушению обочины дороги с твердым покрытием на участке длиной 14 м, шириной 0,5 м.		
20.2022.0056	Северо-Кавказский	Чеченская Республика	Шатойский район, с.Верхний Дай	42,85234	45,65664	42,85234	45,65664	00.05.22	Не завер-шилась	Оп	Атм.	Не отмечалось	Признаки активизации – смещение оползневой массы в головной части с частичным обрушением уступа. Параметры активной части - длина 5м, ширина - 10м, площадь 50м², объем 25м^3, мощность 0,5м. Активность опасного ЭГП на момент обследования 1%. Комплексы и состав горных пород, затронутых проявлением: суглинки, глины Q-K_1al. Базис развития опасного ЭГП: тальвег лощины. Фактор активизации опасного ЭГП - атмосферные осадки.		
20.2022.0057	Северо-Кавказский	Чеченская Республика	Шатойский район, с.Верхний Дай	42,76483	45,85676	42,76484	45,85676	00.05.22	Не завер-шилась	Оп	Атм.	Не отмечалось	Признаки активизации – обрушение уступа, трещины на теле оползня. Параметры активной части - длина 4м, ширина - 25м, площадь 100м², объем 100м^3, мощность 1м. Активность опасного ЭГП на момент обследования 4%. Комплексы и состав горных пород, затронутых проявлением: суглинки, глины Q-K_1al. Базис развития опасного ЭГП: тальвег лощины. Фактор активизации опасного ЭГП - атмосферные осадки.		
20.2022.0058	Северо-Кавказский	Чеченская Республика	Ножай-Юртовский район, автодорога с. Бетти – Мохк - с. Совраги – 2,14км	43,10196	46,33127	43,10196	46,33127	00.07.22	Не завер-шилась	Оп	Атм.	Отмечалось	Признаки активизации – обрушение стенки уступа. Параметры активной части- длина 25м, ширина - 11м, площадь 275м², объем 413м^3, мощность 1,5м. Активность опасного ЭГП на момент обследования 10%. Комплексы и состав горных пород, затронутых проявлением: суглинки, глины Q_{IV} - N. Базис развития опасного ЭГП: пойма реки. Фактор активизации опасного ЭГП - атмосферные осадки. Активизация оползня привела к разрушению полотна дороги с покрытием на участке длиной 6м, шириной 3м.		

1	2	3	4	5	6	7	8	9	10	11	12	13	14	15	16
20.2022.0059	Северо-Кавказский	Чеченская Республика	Ножай-Юртовский район, автодорога с. Бетти – Мохк - с. Совраги – 4,58км	43,08188	46,32312	43,08188	46,32312	00.06.22	Не завер-шилась	Оп	Атм.	Отмечалось	Признаки активизации – обрушение стенки уступа, образование внутриоползневых уступов, трещины закола на теле оползня глубиной до 0,5 м. Параметры активной части-длина 30м, ширина – 52м, площадь 1560м², объем 2340м³, мощность 1,5м. Активность опасного ЭГП на момент обследования 100%. Комплексы и состав горных пород, затронутых проявлением: суглинки, глины Q_{IV}-N. Базис развития опасного ЭГП: пойма реки. Фактор активизации опасного ЭГП - атмосферные осадки. Активизация оползня привела к разрушению обочины дороги с покрытием на участке длиной 10м.		
20.2022.0060	Северо-Кавказский	Чеченская Республика	Ножай-Юртовский район, с. Ножай – Юрт, Детский Реабилитационный центр	43,09943	46,36484	43,09943	46,36484	00.11.22	00.04.22	Оп	Атм.	Отмечалось	Признаки активизации – обрушение стенки уступа, образование внутриоползневых уступов, трещины закола на теле оползня глубиной до 0,5м. Параметры активной части-длина 50м, ширина - 125м, площадь 6250м², объем 9375м³, мощность 1,5м. Активность опасного ЭГП на момент обследования 27%. Комплексы и состав горных пород, затронутых проявлением: суглинки, глины Q_{IV} - N. Базис развития опасного ЭГП: тальвег ложбины. Фактор активизации опасного ЭГП - атмосферные осадки. Активизация оползня привела разрушению автодороги с покрытием на участке длиной 125м		
20.2022.0061	Северо-Кавказский	Чеченская Республика	Ножай-Юртовский район, с. Мехкешты	43,05111	46,39431	43,05111	46,39431	00.07.22	Не завер-шилась	Оп	Атм.	Отмечалось	Признаки активизации – обрушение уступа, образование внутриоползневых уступов, трещины закола на теле оползня. Параметры активной части - длина 25м, ширина - 28м, площадь 700м², объем 1400м³, мощность 2м. Активность опасного ЭГП на момент обследования 100%. Комплексы и состав горных пород, затронутых проявлением: суглинки, глины Q_{IV} - N. Базис развития опасного ЭГП: пойма реки. Фактор активизации опасного ЭГП - атмосферные осадки. Активизация оползня привела к разрушению обочины дороги с покрытием на участке длиной 6м, шириной 1м.		
20.2022.0062	Северо-Кавказский	Чеченская Республика	Ножай-Юртовский район, автодорога с.Мехкешты - с.Зандак – 1,31км	43,04341	46,40251	43,04341	46,40251	00.07.22	Не завер-шилась	Оп	Атм.	Не отмечалось	Признаки активизации – образование стенки уступа, трещины закола на теле оползня. Параметры активной части - длина 25м, ширина - 30м, площадь 750м², объем 1125м³, мощность 1,5м. Активность опасного ЭГП на момент обследования 100%. Комплексы и состав горных пород, затронутых проявлением: гравий, галька, глины Q_{IV}. Базис развития опасного ЭГП: пойма реки. Фактор активизации опасного ЭГП - атмосферные осадки.		
20.2022.0063	Северо-Кавказский	Чеченская Республика	Ножай-Юртовский район, автодорога с.Мехкешты - с.Зандак – 2,95км	43,04120	46,41600	43,04120	46,41600	00.06.22	Не завер-шилась	Оп	Атм.	Отмечалось	Признаки активизации – образование оползневого уступа, трещины закола на теле оползня. Параметры активной части-длина 20м, ширина - 85м, площадь 1700м², объем 1700м³, мощность 1м. Активность опасного ЭГП на момент обследования 100%. Комплексы и состав горных пород, затронутых проявлением: суглинки, глины Q_{IV} - N. Базис развития опасного ЭГП: тальвег ложбины. Фактор активизации опасного ЭГП - атмосферные осадки. Активизация оползня привела к разрушению полотна дороги с покрытием на участке длиной 8м и обочины дороги длиной 6м.		

1	2	3	4	5	6	7	8	9	10	11	12	13	14	15	16
20.2022.0064	Северо-Кавказский	Чеченская Республика	Ножай-Юртовский район, автодорога с.Мехкешты - с.Зандак – 3км	43,04184	46,41563	43,04184	46,41563	00.06.22	Не завер-шилась	Оп	Атм., Техн.	Не отмечалось	Признаки активизации – образование стенки уступа, смещение оползневой массы в виде потока. Параметры активной части - длина 50м, ширина - 30м, площадь 1500м², объем 3000м³, мощность 2м. Активность опасного ЭГП на момент обследования 100%. Комплексы и состав горных пород, затронутых проявлением: глины N. Базис развития опасного ЭГП: тальвег ложбины. Факторы активизации опасного ЭГП: атмосферные осадки, техногенный		
20.2022.0065	Северо-Кавказский	Чеченская Республика	Ножай-Юртовский район, автодорога с.Мехкешты - с.Зандак – 3,8км	43,04402	46,41888	43,04402	46,41888	00.04.22	Не завер-шилась	Оп	Атм.	Отмечалось	Признаки активизации – обрушение стенки уступа. Параметры активной части- длина 8м, ширина - 80м, площадь 640м², объем 960м³, мощность 1,5м. Активность опасного ЭГП на момент обследования 100%. Комплексы и состав горных пород, затронутых проявлением: суглинки, глины QIV - N. Базис развития опасного ЭГП:основание склона. Фактор активизации опасного ЭГП - атмосферные осадки. Активизация оползня привела к разрушению полностью полотна дороги с покрытием на участке 50м, частично на участке 30м.		
20.2022.0066	Северо-Кавказский	Чеченская Республика	Ножай-Юртовский район, автодорога с.Мехкешты - с.Зандак – 3,91км	43,04409	46,42033	43,04409	46,42033	00.07.22	Не завер-шилась	Оп	Атм.	Отмечалось	Признаки активизации – обрушение стенки уступа. Параметры активной части- длина 30м, ширина - 20м, площадь 600м², объем 900м³, мощность 1,5м. Активность опасного ЭГП на момент обследования 67%. Комплексы и состав горных пород, затронутых проявлением: суглинки, глины Q_{IV} - N. Базис развития опасного ЭГП: пойма реки. Фактор активизации опасного ЭГП - атмосферные осадки. Активизация оползня привела к разрушению обочины дороги с покрытием на участке 15м.		
20.2022.0067	Северо-Кавказский	Чеченская Республика	Ножай-Юртовский район, автодорога с.Мехкешты - с.Зандак – 4,36км	43,04503	46,42547	43,04503	46,42547	00.07.22	Не завер-шилась	Оп	Атм.	Отмечалось	Признаки активизации – образование стенки уступа на полотне дороги, трещины закола на теле оползня. Параметры активной части- длина 10м, ширина - 40м, площадь 400м², объем 200м³, мощность 0,5м. Активность опасного ЭГП на момент обследования 22%. Комплексы и состав горных пород, затронутых проявлением: суглинки, глины Q_{IV} - N. Базис развития опасного ЭГП: основание склона. Активизация оползня привела к разрушению полотна дороги с покрытием на участке длиной 40м.		
20.2022.0068	Северо-Кавказский	Чеченская Республика	Ножай-Юртовский район, автодорога с.Мехкешты - с.Зандак – 4,7км	43,04585	46,42984	43,04585	46,42984	00.07.22	Не завер-шилась	Оп	Атм.	Отмечалось	Признаки активизации – обрушение стенки уступа на полотне дороги, трещины закола на теле оползня. Параметры активной части- длина 30м, ширина - 60м, площадь 1800м², объем 3600м³, мощность 2м. Активность опасного ЭГП на момент обследования 100%. Комплексы и состав горных пород, затронутых проявлением: суглинки, глины Q_{IV} - N. Базис развития опасного ЭГП: основание склона. Факторы активизации опасного ЭГП: атмосферные осадки. Активизация оползня привела к разрушению полотна дороги с покрытием на участке длиной 60м, шириной 3м.		
20.2022.0069	Северо-Кавказский	Чеченская Республика	Ножай-Юртовский район, автодорога с.Мехкешты - с.Зандак – 5,01км	43,04577	46,43394	43,04577	46,43394	00.07.22	Не завер-шилась	Оп	Атм.	Отмечалось	Признаки активизации – образование уступа. Параметры активной части- длина 10м, ширина - 100м, площадь 1000м², объем 500м³, мощность 0,5м. Активность опасного ЭГП на момент обследования 100%. Комплексы и состав горных пород, затронутых проявлением: суглинки, глины Q_{IV} - N. Базис развития опасного ЭГП: основание склона. Факторы активизации опасного ЭГП: атмосферные осадки. Активизация оползня привела к разрушению полотна дороги с покрытием на участке длиной 50м.		

1	2	3	4	5	6	7	8	9	10	11	12	13	14	15	16
20.2022.0070	Северо-Кавказский	Чеченская Республика	Ножай-Юртовский район, автодорога с.Мехкешты - с.Зандак – 5,07км	43,04589	46,43417	43,04589	46,43417	00.07.22	Не завер-шилась	Оп	Атм.	Отмечалось	Признаки активизации – образование уступа, валы выпирания в нижней части. Параметры активной части- длина 15м, ширина - 25м, площадь 375м², объем 188м^3, мощность 0,5м. Активность опасного ЭГП на момент обследования 100%. Комплексы и состав горных пород, затронутых проявлением: суглинки, глины Q_{IV} - N. Базис развития опасного ЭГП: основание склона. Факторы активизации опасного ЭГП: атмосферные осадки. Активизация оползня привела к разрушению обочины дороги с покрытием на участке длиной 20м.		
20.2022.0071	Северо-Кавказский	Чеченская Республика	Ножай-Юртовский район, автодорога с.Байтарки – с.Чеччель-Юх – 2,0км	43,01973	46,45132	43,01973	46,45132	00.07.22	Не завер-шилась	Оп	Атм.	Отмечалось	Признаки активизации – рост оползня в уступе, трещины закола на теле оползня. Параметры активной части- длина 20м, ширина - 25м, площадь 500м², объем 750м^3, мощность 1,5м. Активность опасного ЭГП на момент обследования 67%. Комплексы и состав горных пород, затронутых проявлением: суглинки, глины Q_{IV} - N. Базис развития опасного ЭГП: пойма реки. Факторы активизации опасного ЭГП: атмосферные осадки. Активизация оползня привела к разрушению участка дороги без покрытия длиной 7м, шириной до 1м.		
26.2022.0022	Северо-Кавказский	Ставропольский край	Ставропольский край, станица Новотроицкая Изобильненского района.	45,37395	41,54084	45,37395	41,54084	00.04.22	00.07.22	Оп	Атм, гидрогеол, гидрол.	Не отмечалось	Смещения низкой интенсивности в головной части у основания откоса. Тело оползня находится в увлажненном состоянии. Параметры проявления опасного ЭГП: длина - 13м, Ширина - 20м, площадь - 200м². Параметры активной части: длина - 3м, ширина - 15м, площадь - 40м². Комплексы горных пород, затронутые проявлением: dpQ4; aQ. Состав горных пород затронутые проявлением: Делювиально-пролювиальные четвертичные суглинки; аллювиальные континентальные отложения: пески, гравий суглинки, слоистые глины. Базис развития опасного ЭГП: Русло р. Егорлык. Факторы активизации опасного ЭГП: 1. Атмосферные осадки; 2. Речная боковая эрозия; 3. Увлажнение оползневых отложений грунтовыми водами. Характеристика воздействий опасного ЭГП на земли и хозяйственные объекты: Угроза деформаций строений, автодороги, в том числе жилого дома. В 2014г. проводилась отсыпка берега глыбами известняка-ракушечника.		
26.2022.0023	Северо-Кавказский	Ставропольский край	Ставропольский край, станица Новотроицкая Изобильненского района.	45,37502	41,54140	45,37502	41,54140	27.06.22	00.07.22	Оп	Атм, гидрогеол, гидрол.	Не отмечалось	Активизация с увеличением площади оползня, блоковые смещения в головной части оползня. Тело оползня находится в переувлажненном состоянии. Параметры проявления опасного ЭГП: длина - 20м, Ширина - 40м, площадь - 700м². Параметры активной части: длина - 20м, ширина - 40м, площадь - 700м². Комплексы горных пород, затронутые проявлением: dpQ4; aQ. Состав горных пород затронутые проявлением: Делювиально-пролювиальные четвертичные суглинки; аллювиальные континентальные отложения: пески, гравий суглинки, слоистые глины. Базис развития опасного ЭГП: Русло р. Егорлык. Факторы активизации опасного ЭГП: 1. Атмосферные осадки; 2. Речная боковая эрозия; 3. Увлажнение оползневых отложений грунтовыми водами. Характеристика воздействий опасного ЭГП на земли и хозяйственные объекты: Деформация участка домовладения по ул. Егорлыкской, угроза деформаций строений, в том числе жилого дома. Защитные сооружения отсутствуют, мероприятия не проводились.		

1	2	3	4	5	6	7	8	9	10	11	12	13	14	15	16
26.2022.0024	Северо-Кавказский	Ставропольский край	Ставропольский край, станица Новотроицкая Изобильненского района.	45,37582	41,54179	45,37582	41,54179	00.04.22	00.07.22	Оп	Атм, гидрогеол, гидрол.	Не отмечалось	Активен в пределах правой половины оползня, блоковые смещения. Тело оползня находится в увлажненном состоянии. Параметры проявления опасного ЭГП: длина - 20м, Ширина - 50м, площадь - 1000м². Параметры активной части: длина - 10м, ширина - 20м, площадь - 150м². Комплексы горных пород, затронутые проявлением: dpQ4; aQ. Состав горных пород затронутые проявлением: Делювиально-пролювиальные четвертичные суглинки; аллювиальные континентальные отложения: пески, гравий суглинки, слоистые глины. Базис развития опасного ЭГП: Русло р. Егорлык. Факторы активизации опасного ЭГП: 1. Атмосферные осадки; 2. Речная боковая эрозия; 3. Увлажнение оползневых отложений грунтовыми водами. Характеристика воздействий опасного ЭГП на земли и хозяйственные объекты: Угроза деформаций строений, в том числе жилого дома. Защитные сооружения отсутствуют, мероприятия не проводились.		
26.2022.0025	Северо-Кавказский	Ставропольский край	Южная окраина станицы Каменнобродской Изобильненского района Ставропольского края.	45,17142	41,52061	45,17142	41,52061	00.04.22	00.07.22	Оп	Атм, гидрол.	Не отмечалось	Смещения средней интенсивности в левой половине и центральной части оползня. Параметры проявления опасного ЭГП: длина - 32м, Ширина - 158м, площадь - 3465м². Параметры активной части: длина - 20м, ширина - 75м, площадь - 1730м². Комплексы горных пород, затронутые проявлением: dpQ4; aQ. Состав горных пород затронутые проявлением: Делювиально-пролювиальные четвертичные суглинки; аллювиальные континентальные отложения: пески, гравий суглинки, слоистые глины. Базис развития опасного ЭГП: Русло р. Егорлык. Факторы активизации опасного ЭГП: 1. Атмосферные осадки; 2. Речная боковая эрозия. Характеристика воздействий опасного ЭГП на земли и хозяйственные объекты: не выявлено. Защитные сооружения отсутствуют, мероприятия не проводились.		
26.2022.0026	Северо-Кавказский	Ставропольский край	Южная окраина станицы Каменнобродской Изобильненского района Ставропольского края.	45,18613	41,52363	45,18613	41,52363	00.04.22	00.07.22	Оп	Атм, гидрогеол, гидрол.	Не отмечалось	Минимальные по интенсивности смещения в нижней части зоны транзита. Параметры проявления опасного ЭГП: длина - 30м, Ширина - 380м, площадь - 7740м². Параметры активной части: длина - 10м, ширина - 20м, площадь - 200м². Комплексы горных пород, затронутые проявлением: dpQ4; aQ. Состав горных пород затронутые проявлением: Делювиально-пролювиальные четвертичные суглинки; аллювиальные континентальные отложения: пески, гравий суглинки, слоистые глины. Базис развития опасного ЭГП: Русло р. Егорлык. Факторы активизации опасного ЭГП: 1. Атмосферные осадки; 2. Речная боковая эрозия; 3. Увлажнение оползневых отложений грунтовыми водами. Характеристика воздействий опасного ЭГП на земли и хозяйственные объекты: не выявлено. Защитные сооружения отсутствуют, мероприятия не проводились.		

1	2	3	4	5	6	7	8	9	10	11	12	13	14	15	16
26.2022.0027	Северо-Кавказский	Ставропольский край	в 600 м на запад от западной окраины села Бешпагир Грачёвского района Ставропольского края.	45,01590	42,34960	45,01590	42,34960	00.04.22	00.07.22	Оп	Атм, гидрогеол.	Не отмечалось	Смещения на двух локальных участках в головной части оползня. Параметры проявления ОПАСНОГО ЭГП: длина - 515м, Ширина - 1500м, площадь - 773400м². Параметры активной части: 1 уч.: длина - 10м, ширина - 15м, площадь - 150м² ; 2 уч.: длина - 25м, ширина - 20м, площадь - 500м². Комплексы горных пород затронутые проявлением: dcQ4 ; N13S2-3; N13S2cr. Состав горных пород затронутые проявлением: Делювиально- коллювиальные четвертичные отложения, в том числе оползневые накопления; верхнемиоценовые отложения горизонта «с типичной фауной» среднего сармата и отложения верхнего сармата: ракушечники, песчаники, пески, опесчаненные глины; отложения криптомактровых слоёв среднего сармата: глины с маломощными прослоями мергелей. Базис развития опасного ЭГП: Пологая часть склона. Факторы активизации опасного ЭГП: 1. Атмосферные осадки; 2. Увлажнение оползневых отложений грунтовыми водами. Воздействий опасного ЭГП нет. Защитные сооружения отсутствуют, мероприятия не проводились.		
26.2022.0028	Северо-Кавказский	Ставропольский край	в 900 м на запад от западной окраины села Бешпагир Грачёвского района Ставропольского края.	45,01416	42,33650	45,01416	42,33650	00.04.22	00.07.22	Оп	Атм, гидрогеол.	Не отмечалось	Смещения на двух локальных участках в головной части оползня. Параметры проявления ОПАСНОГО ЭГП: длина - 360м, Ширина - 400м, площадь - 145000м². Параметры активной части: 1 уч.: длина - 50м, ширина - 10м, площадь - 500м² ; 2 уч.: длина - 10м, ширина - 20м, площадь - 200м². Комплексы горных пород затронутые проявлением: dcQ4 ; N13S2-3; N13S2cr. Состав горных пород затронутые проявлением: Делювиально- коллювиальные четвертичные отложения, в том числе оползневые накопления; верхнемиоценовые отложения горизонта «с типичной фауной» среднего сармата и отложения верхнего сармата: ракушечники, песчаники, пески, опесчаненные глины; отложения криптомактровых слоёв среднего сармата: глины с маломощными прослоями мергелей. Базис развития опасного ЭГП: Пологая часть склона. Факторы активизации опасного ЭГП: 1. Атмосферные осадки; 2. Увлажнение оползневых отложений грунтовыми водами. Воздействий опасного ЭГП нет. Защитные сооружения отсутствуют, мероприятия не проводились.		
26.2022.0029	Северо-Кавказский	Ставропольский край	Ленинский район г. Ставрополя, левый борт реки Мутнянка.	45,04938	42,07692	45,04938	42,07692	00.04.22	00.07.22	Оп	Атм, гидрогеол, гидрол	Не отмечалось	Смещения средней интенсивности на локальном участке у левого борта оползня. Параметры проявления ОПАСНОГО ЭГП: длина - 30м, Ширина - 100м, площадь - 1600м². Параметры активной части: длина - 20м, ширина - 15м, площадь - 300м². Комплексы горных пород, затронутые проявлением: dpQ4; N13S1sd. Состав горных пород затронутые проявлением: Делювиально-пролювиальные четвертичные суглинки, глины синдесмиевой свиты. Базис развития опасного ЭГП: Русло р. Мутнянки. Факторы активизации опасного ЭГП: 1. Атмосферные осадки; 2. Увлажнение оползневых отложений грунтовыми водами; 3. Речная боковая эрозия. Характеристика воздействий опасного ЭГП на земли и хозяйственные объекты: не отмечалось. Защитные сооружения отсутствуют, мероприятия не проводились.		

1	2	3	4	5	6	7	8	9	10	11	12	13	14	15	16
26.2022.0030	Северо-Кавказский	Ставропольский край	Ленинский район г. Ставрополя, левый борт реки Мутнянка.	45,04907	42,07524	45,04907	42,07524	00.04.22	00.07.22	Оп	Атм, гидрол	Не отмечалось	Активизация в правой четверти оползня, блоковые смещения. Параметры проявления ОПАСНОГО ЭГП: длина - 30м, Ширина - 60м, площадь - 1400м². Параметры активной части: длина - 20м, ширина - 25м, площадь - 400м². Комплексы горных пород, затронутые проявлением: dpQ4; N13S1sd. Состав горных пород затронутые проявлением: Делювиально-пролювиальные четвертичные суглинки, глины синдесмиевой свиты. Базис развития опасного ЭГП: Русло р. Мутнянки. Факторы активизации опасного ЭГП: 1. Атмосферные осадки; 2. Речная боковая эрозия. Характеристика воздействий опасного ЭГП на земли и хозяйственные объекты: не отмечалось. Защитные сооружения отсутствуют, мероприятия не проводились.		
26.2022.0031	Северо-Кавказский	Ставропольский край	Ленинский район г. Ставрополя, правый борт реки Мутнянка.	45,04760	42,07469	45,04760	42,07469	00.04.22	00.07.22	Оп	Атм, гидрол.	Не отмечалось	Блоковые смещения в языке левой части оползня. Параметры проявления ОПАСНОГО ЭГП: длина - 50м, Ширина - 160м, площадь - 6500м². Параметры активной части: длина - 10м, ширина - 25м, площадь - 250м². Комплексы горных пород, затронутые проявлением: dpQ4; N13S1sd. Состав горных пород затронутые проявлением: Делювиально-пролювиальные четвертичные суглинки, глины синдесмиевой свиты. Базис развития опасного ЭГП: Русло р. Мутнянки. Факторы активизации опасного ЭГП: 1. Атмосферные осадки; 2. Речная боковая эрозия. Характеристика воздействий опасного ЭГП на земли и хозяйственные объекты: не отмечалось. Защитные сооружения отсутствуют, мероприятия не проводились.		
26.2022.0032	Северо-Кавказский	Ставропольский край	Ленинский район г. Ставрополя, левый борт реки Мутнянка.	45,04860	42,07282	45,04860	42,07282	00.04.22	00.07.22	Оп	Атм, гидрол.	Не отмечалось	Блоковые смещения у левого борта оползня. Параметры проявления ОПАСНОГО ЭГП: длина - 40м, Ширина - 140м, площадь - 4000м². Параметры активной части: длина - 20м, ширина - 20м, площадь - 400м². Комплексы горных пород, затронутые проявлением: dpQ4; N13S1sd. Состав горных пород затронутые проявлением: Делювиально-пролювиальные четвертичные суглинки, глины синдесмиевой свиты. Базис развития опасного ЭГП: Русло р. Мутнянки. Факторы активизации опасного ЭГП: 1. Атмосферные осадки; 2. Речная боковая эрозия. Характеристика воздействий опасного ЭГП на земли и хозяйственные объекты: не отмечалось. Защитные сооружения отсутствуют, мероприятия не проводились.		
26.2022.0033	Северо-Кавказский	Ставропольский край	Ленинский район г. Ставрополя, правый борт реки Мутнянка.	45,04726	42,07193	45,04726	42,07193	00.04.22	00.07.22	Оп	Атм, гидрол.	Не отмечалось	Блоковые смещения у левого борта оползня. Параметры проявления ОПАСНОГО ЭГП: длина - 60м, Ширина - 190м, площадь -7600м². Параметры активной части: длина - 10м, ширина - 30м, площадь - 300м². Комплексы горных пород, затронутые проявлением: dpQ4; N13S1sd. Состав горных пород затронутые проявлением: Делювиально-пролювиальные четвертичные суглинки, глины синдесмиевой свиты. Базис развития опасного ЭГП: Русло р. Мутнянки. Факторы активизации опасного ЭГП: 1. Атмосферные осадки; 2. Речная боковая эрозия. Характеристика воздействий опасного ЭГП на земли и хозяйственные объекты: не отмечалось. Защитные сооружения отсутствуют, мероприятия не проводились.		

1	2	3	4	5	6	7	8	9	10	11	12	13	14	15	16
26.2022.0034	Северо-Кавказский	Ставропольский край	Ленинский район г. Ставрополя, правый борт реки Мутнянка.	45,04754	42,07083	45,04754	42,07083	00.04.22	00.07.22	Оп	Атм, гидрол.	Не отмечалось	Блоковые смещения на вновь образовавшемся оползне. Параметры проявления ОПАСНОГО ЭГП: длина - 60м, Ширина - 190м, площадь -7600м². Параметры активной части: длина - 10м, ширина - 30м, площадь - 300м². Комплексы горных пород, затронутые проявлением: dpQ4; N13S1sd. Состав горных пород затронутые проявлением: Делювиально-пролювиальные четвертичные суглинки, глины синдесмиевой свиты. Базис развития опасного ЭГП: Русло р. Мутнянки. Факторы активизации опасного ЭГП: 1. Атмосферные осадки; 2. Речная боковая эрозия. Характеристика воздействий опасного ЭГП на земли и хозяйственные объекты: не отмечалось. Защитные сооружения отсутствуют, мероприятия не проводились.		
26.2022.0035	Северо-Кавказский	Ставропольский край	Ленинский район г. Ставрополя, правый борт реки Мутнянка.	45,04691	42,06936	45,04691	42,06936	00.04.22	00.07.22	Оп	Атм, гидрогеол., гидролог	Не отмечалось	Смещения высокой интенсивности в левом борту оползня. Параметры проявления ОПАСНОГО ЭГП: длина - 40м, Ширина - 80м, площадь -9100м². Параметры активной части: длина - 20м, ширина - 30м, площадь - 600м². Комплексы горных пород затронутые проявлением: dpQ4; N13S1sd. Состав горных пород затронутые проявлением: Делювиально-пролювиальные четвертичные суглинки, глины синдесмиевой свиты. Базис развития опасного ЭГП: Русло р. Мутнянки. Факторы активизации опасного ЭГП: 1. Атмосферные осадки; 2. Увлажнение оползневых отложений грунтовыми водами; 3. Речная боковая эрозия. Характеристика воздействий опасного ЭГП на земли и хозяйственные объекты: не отмечалось. Защитные сооружения отсутствуют, мероприятия не проводились.		
26.2022.0036	Северо-Кавказский	Ставропольский край	Ленинский район г. Ставрополя, правый борт реки Мутнянка.	45,04724	42,06584	45,04724	42,06584	00.04.22	00.07.22	Оп	Атм, гидрол.	Не отмечалось	Блоковые смещения на 80% площади оползня. Параметры проявления ОПАСНОГО ЭГП: длина - 12м, Ширина - 50м, площадь - 600м². Параметры активной части: длина - 12м, ширина - 45м, площадь - 500м². Комплексы горных пород, затронутые проявлением: dpQ4; N13S1sd. Состав горных пород затронутые проявлением: Делювиально-пролювиальные четвертичные суглинки, глины синдесмиевой свиты. Базис развития опасного ЭГП: Русло р. Мутнянки. Факторы активизации опасного ЭГП: 1. Атмосферные осадки; 2. Речная боковая эрозия. Характеристика воздействий опасного ЭГП на земли и хозяйственные объекты: не отмечалось. Защитные сооружения отсутствуют, мероприятия не проводились.		
26.2022.0037	Северо-Кавказский	Ставропольский край	Ленинский район г. Ставрополя, правый борт реки Мутнянка.	45,04549	42,05495	45,04549	42,05495	00.04.22	00.07.22	Оп	Атм, гидрол.	Не отмечалось	Оп. №3441.Смещения в языковой части у левого оползня. Параметры проявления ОПАСНОГО ЭГП: длина - 60м, Ширина - 90м, площадь - 3600м². Параметры активной части: длина - 10м, ширина - 10м, площадь - 100м². Комплексы горных пород, затронутые проявлением: dpQ4; N13S1sd. Состав горных пород затронутые проявлением: Делювиально-пролювиальные четвертичные суглинки, глины синдесмиевой свиты. Базис развития опасного ЭГП: Русло р. Мутнянки. Факторы активизации опасного ЭГП: 1. Атмосферные осадки; 2. Речная боковая эрозия. Характеристика воздействий опасного ЭГП на земли и хозяйственные объекты: не отмечалось. Защитные сооружения отсутствуют, мероприятия не проводились.		

1	2	3	4	5	6	7	8	9	10	11	12	13	14	15	16
26.2022.0038	Северо-Кавказский	Ставропольский край	Ленинский район г. Ставрополя, правый борт реки Мутнянка	45,04541	42,05296	45,04541	42,05296	00.04.22	00.07.22	Оп	Атм, гидрол.	Не отмечалось	Смещения низкой интенсивности на участке прошлогодней активности. Параметры проявления ОПАСНОГО ЭГП: длина - 60м, Ширина - 150м, площадь - 7390м². Параметры активной части: длина - 10м, ширина - 20м, площадь - 200м². Комплексы горных пород, затронутые проявлением: dpQ4; N13S1sd. Состав горных пород затронутые проявлением: Делювиально-пролювиальные четвертичные суглинки, глины синдесмиевой свиты. Базис развития опасного ЭГП: Русло р. Мутнянки. Факторы активизации опасного ЭГП: 1. Атмосферные осадки; 2. Речная боковая эрозия. Характеристика воздействий опасного ЭГП на земли и хозяйственные объекты: не отмечалось. Защитные сооружения отсутствуют, мероприятия не проводились.		
26.2022.0039	Северо-Кавказский	Ставропольский край	Ленинский район г. Ставрополя, левый борт реки Мутнянка	45,04629	42,05276	45,04629	42,05276	00.04.22	00.07.22	Оп	Атм, гидрол., техн.	Не отмечалось	Активизация в нижней половине оползня на участке прошлогодней активности. Блоковые смещения средней интенсивности по типу сдвига. Параметры проявления опасного ЭГП: длина - 35м, Ширина - 55м, площадь - 1300м². Параметры активной части: длина - 10м, ширина - 30м, площадь - 300м². Комплексы горных пород, затронутые проявлением: dpQ4; N13S1sd. Состав горных пород затронутые проявлением: Делювиально-пролювиальные четвертичные суглинки, глины синдесмиевой свиты. Базис развития опасного ЭГП: Русло р. Мутнянки. Факторы активизации опасного ЭГП: 1. Атмосферные осадки; 2. Речная боковая эрозия; 3. Сброс с очистных сооружений. Характеристика воздействий опасного ЭГП на земли и хозяйственные объекты: не отмечалось. Защитные сооружения отсутствуют, мероприятия не проводились.		
26.2022.0040	Северо-Кавказский	Ставропольский край	Ленинский район г. Ставрополя, левый борт реки Мутнянка	45,04528	42,05055	45,04528	42,05055	00.04.22	00.07.22	Оп	Атм, гидрогеол, гидрол.	Не отмечалось	Смещения средней интенсивности на четырех локальных участках размерами 10х20м, 20х25м, 15х30м, 10х20м, в языке, зоне транзита и рыхлых отложениях головного откоса. Параметры проявления опасного ЭГП: длина - 50м, Ширина - 450м, площадь - 27760м². Параметры активной части: Общая площадь - 1350м². Комплексы горных пород, затронутые проявлением: dpQ4; N13S2m; N13S1sd. Состав горных пород затронутые проявлением: Делювиально-пролювиальные четвертичные суглинки, известковистые породы мамайского горизонта (выветрелые известняки, известковистые песчаники, глины, мергели); глины синдесмиевой свиты. Базис развития опасного ЭГП: Русло р. Мутнянки. Факторы активизации опасного ЭГП: 1. Атмосферные осадки; 2. Речная боковая эрозия; 3. Увлажнение оползневых отложений грунтовыми водами. Характеристика воздействий опасного ЭГП на земли и хозяйственные объекты: не отмечалось. Защитные сооружения отсутствуют, мероприятия не проводились.		
26.2022.0041	Северо-Кавказский	Ставропольский край	Ленинский район г. Ставрополя, левый борт р. Мутнянка южнее городских очистных	45,04602	42,04240	45,04602	42,04240	00.04.22	00.07.22	Оп	Атм, гидрогеол, гидрол., техн.	Не отмечалось	Смещения в насыпных грунтах в головной части оползня. Параметры проявления опасного ЭГП: длина - 250м, Ширина - 400м, площадь - 69880м². Параметры активной части: Параметры активной части: длина - 30м, ширина - 60м, площадь - 1800м². Комплексы горных пород, затронутые проявлением: Q4t; dpQ4; N13S2m; N13S1sd. Состав горных пород затронутые проявлением: Техногенные грунты; делювиально-пролювиальные четвертичные суглинки, известковистые породы мамайского горизонта (выветрелые известняки, известковистые песчаники, глины, мергели); глины синдесмиевой свиты. Базис развития опасного ЭГП: Русло р. Мутнянки. Факторы активизации опасного ЭГП: 1. Атмосферные осадки; 2. Речная боковая эрозия; 3. Увлажнение оползневых отложений грунтовыми водами; 4. Антропогенный. Характеристика воздействий опасного ЭГП на земли и хозяйственные объекты: не отмечалось. Защитные сооружения отсутствуют, мероприятия не проводились.		

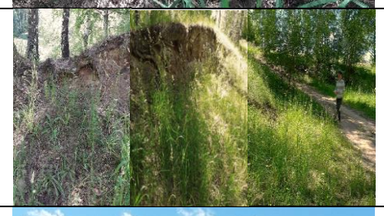
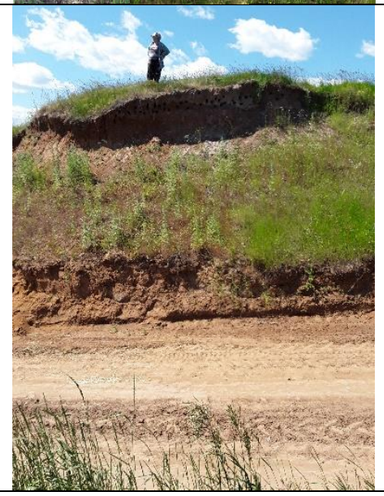
1	2	3	4	5	6	7	8	9	10	11	12	13	14	15	16
26.2022.0042	Северо-Кавказский	Ставропольский край	Ленинский район г. Ставрополя, правый борт р. Мутнянка, севернее ул. Просторная.	45,04153	42,02301	45,04153	42,02301	00.04.22	00.07.22	Оп	Атм, гидрогеол, гидрол.	Отмечалось	Пять участков активизации, смещения от малой до высокой интенсивности, подновление оползневых трещин, блоковые смещения. Параметры проявления опасного ЭГП: длина - 90м, Ширина - 600м, площадь - 76680м². Параметры активной части: Общая площадь - 7250м². Комплексы горных пород, затронутые проявлением: dpQ4; N13S2m; N13S1sd. Состав горных пород затронутые проявлением: делювиально-пролювиальные четвертичные суглинки, известковистые породы мамайского горизонта (выветрелые известняки, известковистые песчаники, глины, мергели); глины синдесмиевой свиты. Базис развития опасного ЭГП: Русло р. Мутнянки. Факторы активизации опасного ЭГП: 1. Атмосферные осадки; 2. Речная боковая эрозия; 3. Увлажнение оползневых отложений грунтовыми водами. Характеристика воздействий опасного ЭГП на земли и хозяйственные объекты: Деформация опор линии газопровода на отрезке 20м. Угроза порыва линии газопровода. Защитные сооружения отсутствуют, мероприятия не проводились.		
26.2022.0043	Северо-Кавказский	Ставропольский край	западная окраина х. Темнореченский Шпаковского района Ставропольского края.	44,87920	41,91841	44,87920	41,91841	00.04.22	00.07.22	Оп	Атм, гидрогеол.	Не отмечалось	Смещения минимальной интенсивности на локальном участке в головной и верхней части зоны транзита левой половины оползня. Параметры проявления опасного ЭГП: длина - 400м, Ширина - 1600м, площадь - 285300м². Параметры активной части: Площадь - 5700м². Комплексы горных пород, затронутые проявлением: dpQ4; N13S2cr. Состав горных пород затронутые проявлением: Делювиально-пролювиальные четвертичные суглинки; отложения криптомактровых слоёв среднего сармата: глины с маломощными прослоями мергелей. Базис развития опасного ЭГП: Русло р. Тёмной. Факторы активизации опасного ЭГП: 1. Атмосферные осадки; 2. Увлажнение оползневых отложений грунтовыми водами. Характеристика воздействий опасного ЭГП на земли и хозяйственные объекты: не отмечалось. Защитные сооружения отсутствуют, мероприятия не проводились.		
26.2022.0044	Северо-Кавказский	Ставропольский край	В 2,0 км северо-восточнее оползня с. Ивановское. Кочубеевский район Ставропольского края.	44,54884	41,84067	44,54884	41,84067	00.04.22	00.07.22	Оп	Атм, гидрогеол, гидрол.	Не отмечалось	Смещения от средней до высокой интенсивности в центральной и левой частях оползня. Параметры проявления опасного ЭГП: длина - 50м, Ширина - 250м, площадь - 8440м². Параметры активной части: 1уч.: длина - 10м, ширина - 30м, площадь - 300м²; 2 уч.: длина - 40м, ширина - 50м, площадь - 2000м². Комплексы горных пород затронутые проявлением: dpQ4; aQ; N1mk.. Состав горных пород затронутые проявлением: Делювиально-пролювиальные четвертичные суглинки, аллювий террас р. Кубани (галечники, валуны, пески, гравий, суглинки), глины майкопской серии. Базис развития опасного ЭГП: Русло р. Большой Зеленчук. Факторы активизации опасного ЭГП: 1. Атмосферные осадки; 2. Увлажнение оползневых отложений грунтовыми водами; 3. Речная боковая эрозия. Характеристика воздействий опасного ЭГП на земли и хозяйственные объекты: не отмечалось. Защитные сооружения отсутствуют, мероприятия не проводились.		

1	2	3	4	5	6	7	8	9	10	11	12	13	14	15	16
26.2022.0045	Северо-Кавказский	Ставропольский край	Северо-восточная часть с. Ивановского. Кочубеевский район Ставропольского края.	44,58820	41,89705	44,58820	41,89705	00.04.22	00.07.22	Оп	Атм, гидрогеол, гидрол.	Не отмечалось	Продолжаются смещения у основания откоса в левой половине оползня на участке 5х30м. Параметры проявления опасного ЭГП: длина - 25м, Ширина - 75м, площадь - 1500м². Параметры активной части: длина - 5м, ширина - 30м, площадь - 150м². Комплексы горных пород, затронутые проявлением: dpQ4; aQ; N1mk. Состав горных пород затронутые проявлением: Делювиально-пролювиальные четвертичные суглинки, аллювий террас р. Кубани (галечники, валуны, пески, гравий, суглинки), глины майкопской серии. Базис развития опасного ЭГП: Русло р. Большой Зеленчук. Факторы активизации опасного ЭГП: 1. Атмосферные осадки; 2. Увлажнение оползневых отложений грунтовыми водами; 3. Речная боковая эрозия. Характеристика воздействий опасного ЭГП на земли и хозяйственные объекты: не отмечалось. Защитные сооружения отсутствуют, мероприятия не проводились.		
26.2022.0046	Северо-Кавказский	Ставропольский край	В 450 м южнее от южной окраины с. Сергиевское Грачёвского района Ставропольского края.	44,93890	42,70655	44,93890	42,70655	00.04.22	00.07.22	Оп	Атм, гидрогеол, гидрол.	Не отмечалось	Активизация на двух локальных участках в левой и правой половинах оползня. Параметры проявления опасного ЭГП: длина - 120м, Ширина - 500м, площадь - 58950м². Параметры активной части: 1уч. длина - 30м, ширина - 30м, площадь - 900м² ; 2уч. длина - 10м, ширина - 10м, площадь - 100м². Комплексы горных пород затронутые проявлением: aQ; dpQ4; N13S2cr. Состав горных пород затронутые проявлением: Делювиально-пролювиальные четвертичные суглинки; Отложения криптомактровых слоёв среднего сармата: глины с маломощными прослоями мергелей, в береговом откосе - аллювиальные континентальные отложения: пески, гравий суглинки, глины слоистые. Базис развития опасного ЭГП: Русло р. Калаус. Факторы активизации опасного ЭГП:1. Атмосферные осадки; 2. Увлажнение оползневых отложений грунтовыми водами; 3. Речная боковая эрозия. Характеристика воздействий опасного ЭГП на земли и хозяйственные объекты: не отмечалось. Защитные сооружения отсутствуют, мероприятия не проводились.		
26.2022.0047	Северо-Кавказский	Ставропольский край	Южная окраина с. Сергиевское Грачёвского района Ставропольского края.	44,94412	42,70544	44,94412	42,70544	00.04.22	00.07.22	Оп	Атм, гидрогеол, гидрол.	Не отмечалось	Смещения в головном откосе на участке15х50м со стороны кладбища. В левой части смещения в откосе нижней части зоны транзита 10х30м. Параметры проявления опасного ЭГП: длина - 50м, Ширина - 150м, площадь - 11600м². Параметры активной части: Общая площадь - 1050м². Комплексы горных пород затронутые проявлением: aQ; dpQ4; N13S2cr. Состав горных пород затронутые проявлением: Делювиально-пролювиальные четвертичные суглинки; Отложения криптомактровых слоёв среднего сармата: глины с маломощными прослоями мергелей, в береговом откосе - аллювиальные континентальные отложения: пески, гравий суглинки, глины слоистые. Базис развития опасного ЭГП: Русло р. Калаус. Факторы активизации опасного ЭГП:1. Атмосферные осадки; 2. Увлажнение оползневых отложений грунтовыми водами; 3. Речная боковая эрозия. Характеристика воздействий опасного ЭГП на земли и хозяйственные объекты: Деформации поверхности склона, угроза сельскому кладбищу. Защитные сооружения отсутствуют, мероприятия не проводились.		

1	2	3	4	5	6	7	8	9	10	11	12	13	14	15	16
26.2022.0048	Северо-Кавказский	Ставропольский край	Оползень расположен в 200м. от юго-западной окраины с. Надежда Шпаковского района Ставропольского края	45,03669	42,09400	45,03669	42,09400	00.04.22	00.07.22	Оп	Атм, гидрогеол.	Не отмечалось	Смещения не высокой интенсивности в голове центральной части оползня, в рыхлых отложениях. Параметры проявления опасного ЭГП: длина - 200м, Ширина - 100м, площадь - 137200м². Параметры активной части: длина - 15м, ширина - 30м, площадь - 450м². Комплексы горных пород, затронутые проявлением: dpQ4; N13S1sd. Состав горных пород затронутые проявлением: Делювиально-пролювиальные четвертичные суглинки, глины синдесмиевой свиты. Базис развития опасного ЭГП: Правый склон р. Мамайки. Факторы активизации опасного ЭГП: 1. Атмосферные осадки; 2. Увлажнение оползневых отложений грунтовыми водами. Характеристика воздействий опасного ЭГП на земли и хозяйственные объекты: не отмечалось. Защитные сооружения отсутствуют, мероприятия не проводились.		
02.2022.0011	Приволжский	Республика Башкортостан	г. Уфа, крутой правобережный слон р.Белой, в нижней части вдоль железной дороги Уфа-Челябинск	54,78254	56,02205	54,78254	56,02205	10.09.22	29.09.22	Эо	Атм. Техн.	Не отмечалось	На территории парковой зоны г.Уфы и граничащего с ЖК «Зеленый берег» (ул.Блюхера) отмечалась активизация процесса овражной эрозии. Овраг находится в стадии развития. Общая длина оврага составляет 0,8 км, с развитием на нем 4-х эрозионных уступов до глубины залегания коренных пород (2,5-8,0 м). Активность овражной эрозии наблюдалась в пределах среднего эрозионного уступа, выразилась в расширении вершины. По левому борту произошло оползание склона мощностью 1,05 м, Ширина активной зоны при вершине – 5,30 м, глубина – 3,30 м. Прирост при вершине 0,20 м. Состав пород, затронутых проявлением - глины, мергели нижнепермского периода. Борта оврага постоянно осыпаются. Факторы активизации: атмосферные осадки, направленный сброс сточных вод в овраги..		
02.2022.0012	Приволжский	Республика Башкортостан	г. Уфа, Октябрьский и Орджоникидзевский район	54,78500	56,02167	54,78500	56,02167	10.09.22	29.09.22	Ка	Атм. Гидролог.	Не отмечалось	В г. Уфа, на территории парка им. М.Гафури отмечалась активизация карстового процесса. Параметры воронки – диаметр 40 м в верхней части, 15-20 м в нижней части, глубина 8 м. По результатам осеннего наблюдения отмечалось обрушение горных пород объемом 3,5 м³ в активную часть диаметром 4,5 м. Состав пород, затронутых активизацией гипсы, суглинки соликамской свиты (P1sk). В понор, расположенный в днище воронки, впадает ручей дебитом 2 л/с. Фактором активизации являются атмосферные осадки и поверхностный сток родника.		

1	2	3	4	5	6	7	8	9	10	11	12	13	14	15	16
02.2022.0013	Приволжский	Республика Башкортостан	г. Уфа, Октябрьский и Орджоникидзевский район ГО г.Уфы	54,78630	56,01761	54,78630	56,01761	10.09.22	29.09.22	Ка	Атм.	Не отмечалось	В Орджоникидзевском районе г. Уфы отмечалась активизация карстового процесса. Размеры проявления 4,35×4,50 м, глубина – 1,80 м. Один из поноров без признаков активности. Второй понор в северо-западном направлении склона увеличился до размеров 1,5×1,23 м и глубины 3,8 м. По южному борту удлинилась промоина до 8,70 м с эрозионным уступом глубиной 0,9 м. Состав горных пород – гипсы кунгурского яруса нижней перми (P1k). Фактором активизации являются атмосферные осадки.		
02.2022.0014	Приволжский	Республика Башкортостан	г. Уфа, Октябрьский и Орджоникидзевский район ГО г.Уфы	54,78604	56,01804	54,78604	56,01804	10.09.22	29.09.22	Ка	Атм. Техн.	Не отмечалось	В Орджоникидзевском районе г. Уфы отмечалась активизация карстового процесса. Параметры воронки 1,15×0,70 м, глубиной 1,37 м. Состав пород, затронутых проявлением четвертичные пролювиально-делювиальные отложения (pdQ). Фактором активизации являются атмосферные осадки.		
02.2022.0015	Приволжский	Республика Башкортостан	г. Уфа, Октябрьский и Орджоникидзевский район ГО г.Уфы	54,78516	56,01937	54,78516	56,01937	10.09.22	29.09.22	Ка	Атм. Техн.	Не отмечалось	В Орджоникидзевском районе г. Уфы отмечалась активизация карстового процесса. Выявлено обрушение горных пород по северо-восточному борту. Параметры проявления: длина – 7,84 м, ширина – 3,60 м, глубина – 4,2 м. Отмечается рост 2-х эрозионных уступов по южному борту. Проявлением обнажены гипсы, известняки, нижнепермских отложений (P1k), четвертичные пролювиально-делювиальные отложения (pdQ). Факторами активизации являются атмосферные осадки и поверхностные (сточные) воды.		
02.2022.0016	Приволжский	Республика Башкортостан	г. Уфа, Октябрьский и Орджоникидзевский район ГО г.Уфы	54,76121	55,98609	54,76121	55,98609	10.09.22	04.10.22	Ка	Атм. Гидрол.	Не отмечалось	В Октябрьском районе г. Уфы отмечалась активизация карстового процесса. По результатам осеннего обследования отмечено проседание воронки. Понор диаметром 0,3 м углубился до 0,92 м. Борта рыхлые обвисшие. Состав пород, затронутых проявление делювиально-пролювиальные суглинки N-Q. Фактором активизации являются атмосферные осадки.		

1	2	3	4	5	6	7	8	9	10	11	12	13	14	15	16
02.2022.0017	Приволжский	Республика Башкортостан	г. Уфа, Октябрьский и Орджоникидзевский район ГО г.Уфы	54,7636	55,9883	54,7636	55,9883	10.09.22	04.10.22	Ка	Атм.Гидрол.	Не отмечалось	В Октябрьском районе г. Уфы в 100 м западнее от жилого комплекса, в частности от дома № 9 ул отмечалась активизация карстового процесса. Параметры проявления: 1,30×0,80 м, глубиной 2 м. Состав горных пород: известняки (P1u). Факторами активизации являются атмосферные осадки		
02.2022.0018	Приволжский	Республика Башкортостан	г. Уфа, Октябрьский и Орджоникидзевский район ГО г.Уфы	54,76027	55,98311	54,76027	55,98311	10.09.22	04.10.22	КС	Атм..	Не отмечалось	В Октябрьском районе г. Уфы отмечалась активизация карстового процесса. Участок из 13 карстовых проявлений образует карстовое поле. Активные воронки №№ 4/13, 4/39, 4/41, 4/14, 4/13/1 диаметром от 1,5 до 15,70 м и глубиной от 0,3 до 7 м. Продолжается просадка участка между воронками 4/13 и 4/13/1. Интенсивное сползание бортов отмечается в воронке 4/14. В геологическом строении принимают участие гипсы кунгурского и терригенно-карбонатные отложения уфимского ярусов нижней перми, пролювиально-делювиальные отложения четвертичной системы. Воронки находятся в стадии развития. Фактором активизации служат атмосферные осадки, сток поверхностных вод.		
12.2022.0001	Приволжский	Республика Марий Эл	Горномарийский район, 0,6 км южнее западной окраины д. Высоково	56,24472	46,51644	56,24472	46,51644	00.05.22	Не завершилась	Эо	Атм	Не отмечалось	В Горномарийском районе отмечалась активизация процесса овражной эрозии, в вершине оврага в 0,6 км южнее западной окраины д. Высоково. Длина участка 10 м, ширина 0,5 - 2,5 м. Литологический состав пород представлен четвертичными суглинками. Фактор активизации – климатический (поверхностный сток и переувлажнение грунтов инфильтрационными водами).		

1	2	3	4	5	6	7	8	9	10	11	12	13	14	15	16
12.2022.0002	Приволжский	Республика Марий Эл	Горномарийский район, 0,9 км северо-восточнее северо-восточной окраины д. Замятино	56,24417	46,51561	56,24417	46,51561	00.05.22	Не завершилась	Эо	Атм	Не отмечалось	В Горномарийском районе отмечалась активизация процесса овражной эрозии в вершине оврага и верхней части склона в 0,9 км северо-восточнее окраины д. Замятино. Длина участка – 10 м, ширина – 2,5 м. Литологический состав пород представлен четвертичными супесями. Фактор активизации – атмосферные осадки.		
12.2022.0003	Приволжский	Республика Марий Эл	Горномарийский район, на северной окраине д. Новая	56,22142	46,47503	56,22142	46,47503	00.05.22	Не завершилась	Эо	Атм	Не отмечалось	В Горномарийском районе отмечалась активизация процесса овражной эрозии в верхней части склона на северной окраине д. Новая. Длина участка – 10 м, ширина – 1,0 м. В зоне воздействия грунтовая автодорога Лявранангер-Новая. Литологический состав пород представлен четвертичным отложениями и пермскими глинами. Фактор активизации – атмосферные осадки.		
12.2022.0004	Приволжский	Республика Марий Эл	Горномарийский район, на южной окраине д. Пертнуры	56,22517	46,43425	56,22517	46,43425	00.05.22	Не завершилась	Эо	Атм	Не отмечалось	В Горномарийском районе отмечалась активизация процесса овражной эрозии в верхней части склона на южной окраине д. Пертнуры. Длина участка – 21 м, ширина – 1,5 м. В зоне воздействия грунтовая автодорога Пертнуры-Пальтикино. Фактор активизации – атмосферные осадки. Литологический состав пород представлен четвертичными супесями и пермскими глинами.		

1	2	3	4	5	6	7	8	9	10	11	12	13	14	15	16
12.2022.0005	Приволжский	Республика Марий Эл	Горномарийский район, на южной окраине д. Пертнуры	56,22528	46,43433	56,22528	46,43433	00.05.22	Не завершилась	Эо	Атм	Не отмечалось	В Горномарийском районе отмечалась активизация процесса овражной эрозии на южной окраине д. Пертнуры. Длина участка – 6 м, ширина – 0,8-2,5 м. В зоне воздействия грунтовая автодорога Пертнуры-Пальтикино. Литологический состав пород представлен четвертичными суглинками. Фактор активизации – атмосферные осадки.		
12.2022.0006	Приволжский	Республика Марий Эл	Горномарийский район, 140 м на запад от западной окраины г. Козьмодемьянск	56,32159	46,50936	56,32159	46,50936	00.05.22	Не завершилась	Оп	Атм	Не отмечалось	В Горномарийском районе отмечалась активизация оползневого процесса в 140 м на запад от г. Козьмодемьянск. Отмечались свежие осыпи грунта, следы поверхностных водотоков, нависшая бровка, обнажившиеся корни деревьев. На момент обследования 24.06.2022 г. длина участка – 40 м, ширина – 30 м, расстояние до бровки оползня – 6,4 м. Литологический состав пород представлен четвертичными суглинками и пермскими глинами с прослоями мергелей. В зоне воздействия земли лесного фонда вблизи городской застройки. Фактор активизации – атмосферные осадки.		
12.2022.0007	Приволжский	Республика Марий Эл	Горномарийский район, в юго-западной части г. Козьмодемьянск	56,33344	46,56151	56,33344	46,56151	00.05.22	Не завершилась	Эо	Атм	Не отмечалось	В Горномарийском районе отмечалась активизация процесса овражной эрозии в юго-западной части г. Козьмодемьянск у частных гаражей. На момент обследования 24.06.2022 г. длина участка – 15 м, ширина – 2 м, расстояние до бровки оврага – 5,2 м, отступание бровки – 0,3 м. В зоне воздействия частные гаражи автокооператива «Волга». Литологический состав пород представлен четвертичными суглинками и пермскими глинами. Фактор активизации – атмосферные осадки.		
12.2022.0008	Приволжский	Республика Марий Эл	Волжский район, между населенными пунктами Петьял и Бол. Сосновка	56,10328	48,67788	56,10328	48,67788	00.05.22	Не завершилась	Эо	Атм	Не отмечалось	В Волжском районе между дд Петьял и Бол. Сосновка с мая 2022 г. отмечалась активизация процесса овражной эрозии. Были зафиксированы свежие осыпи грунта, в вершине проседание почвы, глубокая ниша до 0.5 м. На момент обследования 23.09.2022 г. расстояние до вершины оврага – 29,15 м, рост оврага составил 1,95 м. Вершина оврага в виде цирка размером 4×4 м, глубиной 4.5 м, стенки отвесные. Литологический состав пород представлен четвертичными суглинками и пермскими глинами с прослойками известняка. Фактор активизации – атмосферные осадки.		

1	2	3	4	5	6	7	8	9	10	11	12	13	14	15	16
18.2022.0006	Приволжский	Удмуртская Республика	Сарпульский район, г. Сарапул	56,49464	53,81100	56,49464	53,81100	00.04.22	Не завер-шилась	Оп	Атм	Не отмечалось	На северо-восточной окраине г. Сарапул отмечалась активизация оползневого процесса с глубиной захвата 0,7-1,0 м. Оползневой процесс в стадии развитиятя. Общий объем оползневого тела приблизительно 5500 м³, площадь – 6500 м², протяженностью от 50 до 80 м. Оползень пересекает поверхность склона до уреза р. Камы. Фактор активизации – атмосферные осадки.		
18.2022.0007	Приволжский	Удмуртская Республика	Кизнерский район, с. Крымская Слудка	56,00256	51,42093	56,00256	51,42093	00.05.22	Не завер-шилась	Оп	Атм	Не отмечалось	Активизация оползневого процесса была на территории с. Крымская Слудка Кизнерского района. Развитие оползневого процесса генетически обусловлено интенсивной деятельностью речной боковой эрозии р. Вятки в период весеннего половодья. Размыву подвержен уступ третьей надпойменной террасы, сложенной буровато-коричневыми глинистыми мелкозернистыми песками (а Q_{II}^2) видимой мощностью до 20 м. Оползневой процесс в стадии развития. Высота уступа террасы на участке обследования – 16 - 20 м, средняя крутизна 50-55°. Во время весеннего снеготаяния 2022 г., был зафиксирован оползень протяженностью – 15,0 м, шириной – 7,5 м и глубиной захвата 1,5-2,0 м. Объем оползня составляет, приблизительно, 200 м^3. Язык оползня размыт русловым потоком р. Вятки. Стенка отрыва вплотную подошла к фундаменту деревянной постройки, величина отступания бровки террасы в западном направлении по сравнению с 2020 г. составила 7,0 м. Факторы активизации – атмосферные осадки и гидрологический.		
59.2022.0001	Приволжский	Пермский край	г. Березники, территория над затопленным рудником БКПРУ-1, пересечение улиц Березниковской, Тельмана и М.Горького	59,40009	56,77383	59,40009	56,77382	00.07.22	Не завер-шилась	От	Техн.	Отмечалось	В г. Березники, на территории над затопленными горными выработками рудника БКПРУ-1, активизация процесса оседания земной поверхности отмечается на пересечении улиц Березниковской, Тельмана и М.Горького (ПН «Промплощадка БШСУ»). На юго-востоке от провала №3 (автодорожное кольцо и гаражный кооператив «Кардан»), процесс оседания земной поверхности продолжает развиваться с небольшим уменьшением скорости. В 3 квартале 2022 г. скорость оседания составила 40-87 мм/мес (во 2-м квартале 2022 г. было 38-90 мм/мес). По сравнению с аналогичным периодом прошлого года в 3-м квартале 2022 года в районе автодорожного кольца и ГК «Кардан» произошло замедление скорости оседания на 5-30 мм/мес. Возраст и состав горных пород, затронутых проявлением – пески, глины четвертичных отложений (aQ); глины, песчаники, алевролиты шешминского горизонта (P_1ss); известняки, доломиты, мергели, аргиллиты терригенно-карбонатной толщи (P_1sl_2); мергели, глины, гипсы, каменная соль соляно-мергельной толщи (P_1sl_1). Абсолютная отметка базиса развития опасного ЭГП (-161,7 м) – отметка подошвы нижнего промышленного пласта «Красный-2». Максимальные оседания земной поверхности (по данным последних измерений 3.02.2022 г.) в районе ГК «Кардан» достигли 12,6 м. Фактор активизации техногенный – нарушение водозащитной толщи рудника при ведении горных работ.		

1	2	3	4	5	6	7	8	9	10	11	12	13	14	15	16
59.2022.0002	Приволжский	Пермский край	г. Соликамск, территория над рудником СКРУ-2, СНТ "Ключики"	59,59380	56,81040	59,59381	56,81039	00.07.22	Не завер-шилась	От	Техн. Гидрогеол. Сейсм.	Отмечалось	По результатам аэрофотосъёмки, выполненной 20.08.2022 г., размеры провала составили 197,5×166,5 м, глубина – 0,1 м. Абсолютная отметка зеркала провала – 198,6 м. В 3-м квартале 2022 г. в окрестностях провала сейсмическая активность снизилась – было зафиксировано 1 сейсмособытие 23.09.2022 г. в рыхлых породах с энергией 8,1 Дж в северной части провала. Возраст и состав горных пород, затронутых проявлением: пески, глины четвертичных отложений (aQ); глины, алевролиты, аргиллиты, песчаники шешминского горизонта (P_1ss); глины, известняки, мергели терригенно-карбонатной толщи (P_1sl_2), мергели, глины, гипсы, каменная соль соляно-мергельной толщи (P_1sl_1). Абсолютная отметка базиса развития опасного ЭГП (-152,4 м) - отметка подошвы нижнего промышленного пласта «Красный-2». Факторы активизации: техногенный – нарушение водозащитной толщи рудника при ведении горных работ; гидрогеологический – проникновение в рудник подземных вод через нарушенную водозащитную толщу		
43.2022.0001	Приволжский	Кировская область	Кирово-Чепецкий район, г. Кирово-Чепецк, ул. Вятская набережная, мемориал «Вечный огонь»	58,56157	50,03240	58,56157	50,03240	00.04.22	00.10.22	Эо	Атм., техн.	Не отмечалось	В г. Кирово-Чепецк Кирово-Чепецкого района около мемориала «Вечный огонь» отмечалась активизация процесса овражной эрозии. Вершина оврага поднялась вверх по склону на 2 м (до трубы из которой происходит сток ливневых вод). Ширина оврага в устьевой части достигает 25 м, глубина до 12 м. Ширина оврага в вершине достигает 7 м, глубина до 6 м. Борта оврага оголены, крутые (до 90°в вершине оврага и до 60° в нижней части оврага). Литологический состав пород представлен глинами, аргиллитами, мергелями, известняками. Базис развития – тальвег оврага, урез р. Вятка. Овраг находится в стадии развития. Также отмечены промоины шириной до 1,5 м и глубиной до 1 м, вершины некоторых промоин выходят на бровку склона. Минимальное расстояние от вершин промоин до мемориального комплекса «Вечный огонь» составляет 13 м, до пешеходной дорожки – 4 м. Основные факторы активизации – атмосферные осадки, техногенный (неорганизованный направленный сток талых и ливневых вод).		
56.2022.0005	Приволжский	Оренбургская область	Правая сторона дороги Оренбург-Бузулук, южная окраина г.Сорочинск Сорочинского района	52,39925	53,12475	52,39925	53,12475	01.05.22	Не завер-шилась	Эо	Атм.	Не отмечалось	На восточной окраине г. Сорочинск, в 2 км южнее жилой застройки города отмечалась активизация процесса овражной эрозии. Наблюдается овраг, растущий вдоль трассы федерального значения Оренбург-Бузулук. В составе пород, затронутых проявлением, преобладает суглинок буро-коричневый. Овраг находится в стадии развития. За 2022 г. рост оврага составил 0,3 м. Ширина оврага у верховья составила 0,8 м, в самой широкой части – 3,3 м. Борта обрывистые. Протяженность оврага 360 м. Активизация происходит преимущественно в весенний период. Основные факторы активизации - интенсивное таяние снега в период половодья и атмосферные осадки. Укрепительных мероприятий не производилось.		
56.2022.0006	Приволжский	Оренбургская область	В 0,8 км севернее с.Верхнеиг-нашкино Грачевского района	52,96901	53,06889	52,96901	53,06889	01.05.22	Не завер-шилась	Эо	Атм.	Не отмечалось	В 0,8 км севернее с. Верхнеигнашкино, на правом склоне долины реки Елховка отмечалась активизация процесса овражной эрозии. В составе пород, затронутых проявлением, преобладает суглинок буро-коричневый с глиной красно-коричневой. Овраг находится в стадии развития. В 2022 г. рост вершины оврага составил 0,85 м. Ширина оврага у верховья составила 0,4 м, в самой широкой части – 7,5 м. Борта обрывистые. Протяженность оврага 360 м. Укрепительные мероприятия не производились. Активизация происходит преимущественно в весенний период. Основные факторы активизации - интенсивное таяние снега в период половодья и атмосферные осадки. Развитие эрозионного процесса приводит к сокращению пастбищных угодий.		

1	2	3	4	5	6	7	8	9	10	11	12	13	14	15	16
56.2022.0007	Приволжский	Оренбургская область	В 16,0 км восточнее п.Карагач Беляевского района, в 7,0 км южнее с.Двуречный, в 0,5 км южнее перешейка карстовых озер	51,229444	56,6364	51,22945	56,63640	01.05.22	Не завер-шилась	Эо	Атм.	Не отмечалось	В Оренбургской области в 7,0 км южнее с. Двуречный отмечалась активизация процесса овражной эрозии. Рост оврага осуществляется в юго-восточном направлении от перешейка карстовых озер Косколь в сторону автодороги. За 2022 г. рост вершины оврага составил 0,35 м. В результате инструментальных замеров ширина оврага изменяется от 0,5 до 16 м. Протяженность оврага составляет 460 м. В составе пород, затронутых проявлением, преобладает суглинок и глина красно-коричневая. Овраг находится в стадии развития. При визуальном обследовании установлено, что эрозионные процессы на участке наблюдений слабо развиваются, образование «молодых» оврагов не выявлено, тем самым активизация овражной эрозии не несет чрезвычайных или опасных ситуаций, однако ведет к сокращению сельскохозяйственных земель. Активизация происходит преимущественно в весенний период. Основные факторы активизации – интенсивное таяние снега в период половодья и атмосферные осадки. Укрепительные мероприятия не производились.		
56.2022.0008	Приволжский	Оренбургская область	Западная окраина п.Яровой Оренбургского района	51,74752	55,67282	51,74752	55,67282	01.05.22	Не завер-шилась	Эо	Атм.	Не отмечалось	На западной окраине п. Яровой Оренбургского района отмечалась активизация процесса овражной эрозии. Длина оврага – 2,2 км, ширина изменяется от 5,0 до 50,0 м, глубина – от 1,5 до 9,0 м. Борта преимущественно пологие, задернованы. В составе пород преобладает глина красновато-коричневая. Овраг находится в стадии развития. Овраг расположен в непосредственной близости от федеральной автодороги М-5, но значительной угрозы не представляет, поскольку борта оврага, примыкающие к дороге пологие, задернованы. Активные проявления ЭГП вблизи поселка отсутствуют, борта пологие, сильно задернованы. Активизация происходит преимущественно в весенний период. Основные факторы активизации - интенсивное таяние снега в период половодья и атмосферные осадки. В качестве противоэрозионной защиты, автодорога оборудована водопропускным каналом для пропуска талых и дождевых вод под автодорожным полотном.		
64.2022.0004	Приволжский	Саратовская область	г. Вольск между ул. Красноармейская и Комсомольская	52,03122	47,38064	52,03122	47,38064	00.09.22	19.09.22	Оп	Атм., техн.	Отмечалось	В г. Вольск между ул. Красноармейская и Комсомольская отмечалась активизация оползневого процесса. Проявление процесса зафиксировано на площади шириной 240 м, длина по оси до 30 м, с образованием сомкнутых трещин с вертикальным смещением по плоскости от 0,1 м до 0,5 м. Литологический состав пород представлен, суглинками, песками четвертичного возраста (Q), мелом, мергелем, черными и зеленовато-серыми плотными глинами альбского возраста (Kal) и техногенными грунтами. При активизации произошло частичное разрушение дороги на улице Красноармейской. Базис оползня - ниже уреза Волгоградского водохранилища. Факторы активизации: атмосферные осадки; техногенный; разгрузка грунтовых вод.		
64.2022.0005	Приволжский	Саратовская область	г. Вольск между улицами Коржевина и Речная	52,02366	47,36109	52,02366	47,36109	00.00.22	19.09.22	Оп	Атм., техн.	Отмечалось	В г. Вольск между улицами Коржевина и Речная проявление оползневого процесса зафиксировано на площади шириной 240 м, длина по оси до 140 м, с образованием трещины с вертикальным смещением по плоскости до 0,5 м. Литологический состав пород представлен песками, алевритами, глинами альбского возраста (Kal) и техногенными грунтами. При активизации произошло воздействие на постройки на улицах Коржевина и Речной, выраженные трещинами на стенах. Базис оползня – урез Волгоградского водохранилища. Факторы активизации: атмосферные осадки; техногенный; разгрузка грунтовых вод.		

1	2	3	4	5	6	7	8	9	10	11	12	13	14	15	16
64.2022.0006	Приволжский	Саратовская область	г Саратов Заводскогй район ул. Сиреневая и 1-й Сиреневый проезд	51,49982	45,90443	51,49982	45,90443	00.05.22	23.09.22	Оп	Атм., техн.	Отмечалось	В г. Саратове, Заводской район ул. Сиреневая и 1-й Сиреневый проезд отмечалась активизация оползневого процесса, по дну межоползневой западины прошла трещина длиной до 100 м, с вертикальным смещением до 0,3 м, длина по оси смещения до 170 м. Литологический состав пород представлен опоковидными и мергелистыми глинами верхнемелового возраста K_2. При активизации произошло образование новых трещин на стенах и продолжение разрушения двух домов, расположенных на 4-м Лучевом проезде. Базис оползня - нижняя часть склона. Факторы активизации: атмосферные осадки; техногенный.		
74.2022.0006	Уральский	Челябин-ская область	Копейский ГО, борт затапливаем ого карьера	55,11005	61,63742	55,11005	61,63742	00.04.22	Не завер-шилась	Оп	Техн.	Не отмечалось	В г. Копейск Челябинской области, на территории затапливаемого угольного карьера отмечалась активизация оползневого процесса. Период активизации – весна 2022 г. Стадия развития: развитие. Базис развития: дно затапливаемого угольного разреза. Горные породы: техногенные отложения (tHgr^2): глыбы, щебень, галька, дресва, гравий, песок, глина. На западном борту происходит оседание блока шириной от 10,6 до 16,3 м и протяженностью вдоль борта до 200 м. Появилась трещина отрыва шириной 0,1-1,0 м, глубиной до 5,0 м. Факторы активизации оползневого процесса техногенные: подъем уровня воды в карьере, смачивание борта карьера потоком грунтовых под, фильтрацией из водоема, расположенного выше по потоку		
86.2022.0001	Уральский	ХМАО-Югра	Ханты-Мансийский район, пос. Выкатной	60,64749	69,55966	60,64749	69,55966	14.09.22	Не завер-шилась	ГР	Гидрол.	Не отмечалось	По информации ГУ МЧС России по ХМАО-Югре, в пос. Выкатной Ханты-Мансийского района зафиксирована активизация гравитационного комплекса процессов. В границах населенного пункта, на протяжении 700 м происходит обрушение и оползание берегового склона высотой до 3 м, со смещением бровки отрыва на 7-10 м. Период активизации: 14.09.2022 г. Базис развития: урез воды в р. Конда. Комплекс горных пород: аллювиальные отложения пойменных террас (aH): пески, местами с гравием и галькой, супеси, суглинки, общей мощностью до 35 м. Факторы активизации ЭГП: гидрологические (изменение русла р. Конда, сильное течение).		
04.2022.0013	Сибирский	Республика Алтай	Усть-Коксинский район, с. Банное	50,37995	84,87102	50,37996	84,87101	00.05.22	Не завер-шилась	ГР	Атм., гидрол.	Не отмечалось	В с. Банное Усть-Коксинского района (пункт наблюдений Банное) отмечена активизация гравитационных процессов на участке, протяженностью 124 м. Состав горных пород, затронутых проявлением: галечный материал с гравийно-песчаным заполнителем и с прослоями песков. Основные факторы активизации: гидрометеорологический, гидрологический.		–
04.2022.0014	Сибирский	Республика Алтай	Усть-Коксинский район, с. Тюнгур	50,15687	86,28899	50,15688	86,28898	00.05.22	Не завер-шилась	ГР	Атм., гидрол.	Не отмечалось	На въезде в с. Тюнгур (пункт наблюдений Участок автодороги в с. Тюнгур) отмечалась активизация гравитационных процессов в уступе высокой террасы р. Катунь на отрезке 1460 м. Состав горных пород, затронутых проявлением: гравийно-галечный материал с песчаным заполнителем, с прослоями супесей, с включениями валунов. Основные факторы активизации: гидрометеорологический, гидрологический.		–

1	2	3	4	5	6	7	8	9	10	11	12	13	14	15	16
04.2022.0015	Сибирский	Республика Алтай	Усть-Коксинский район, с. Тюнгур	50,15817	86,29018	50,15817	86,29017	00.05.22	Не завершилась	Эо	Атм., техн.	Отмечалось	В Усть-Коксинском районе, на участке автодороги в с. Тюнгур, 58,7 км (пункт наблюдений участок автодороги в с. Тюнгур) зафиксирована активизация процесса овражной эрозии. Параметры проявления опасного ЭГП: длина – 48 м, максимальная ширина – 56 м. Негативное воздействие выражалось в деформации откосов автодороги на отрезке 10 м. Состав горных пород, затронутых проявлением: гравийно-галечный материал с песчаным заполнителем, с прослоями супесей. Основные факторы активизации: гидрометеорологический, техногенный фактор (водовыпуск).		–
04.2022.0016	Сибирский	Республика Алтай	Усть-Коксинский район, с. Тюнгур	50,15950	86,29298	50,15951	86,29296	00.05.22	Не завершилась	Эо	Атм., техн.	Отмечалось	В Усть-Коксинском районе на уч. автодороги в с. Тюнгур, 58,94 км (пункт наблюдений участок автодороги в с. Тюнгур) отмечалась активизация процесса овражной эрозии. Параметры проявления опасного ЭГП: длина – 81 м, максимальная ширина – 47 м. Негативное воздействие выражалось в деформации откосов автодороги на отрезке 18 м. Состав горных пород, затронутых проявлением: гравийно-галечный материал с песчаным заполнителем, с прослоями супесей. Основные факторы активизации: гидрометеорологический, техногенный фактор (водовыпуск).		–
04.2022.0017	Сибирский	Республика Алтай	Усть-Коксинский район, с. Верх-Уймон	50,22019	85,72931	50,22019	85,72929	00.05.22	Не завершилась	ГР	Атм., гидрол.	Отмечалось	В с. Верх-Уймон, Усть-Коксинского района (пункт наблюдений Уймонская протока) отмечалась активизация гравитационных процессов, на участке протяженностью 371 м, высота уступа – 3,9 м. Негативное воздействие заключалось в разрушении ограды усадьбы по ул. Набережная, 64. Состав горных пород, затронутых проявлением: валунно-галечный материал с гравийно-супесчаным заполнителем, с прослоями супесей. Основные факторы активизации: гидрометеорологический, гидрологический.		–
04.2022.0018	Сибирский	Республика Алтай	Усть-Коксинский район, с. Усть-Кокса	50,26742	85,63325	50,26743	85,63323	00.05.22	Не завершилась	ГР	Атм., гидрол.	Отмечалось	В с. Усть-Кокса, Усть-Коксинского района (пункт наблюдений Усть-Кокса) отмечалась активизация гравитационных процессов на высокой террасе р. Катунь, на отрезке 1350 м, высота уступа – до 15 м. При проведении обследования фиксировались осыпные шлейфы по уступу, блоки отпора. Отмечалось негативное воздействие на ограждения усадьбы по ул. Набережная, 127А. Состав горных пород, затронутых проявлением: валунно-галечный материал с гравийно-супесчаным заполнителем, с прослоями песков, супесей. Основные факторы активизации: гидрометеорологический, гидрологический.		–
04.2022.0019	Сибирский	Республика Алтай	Усть-Коксинский район, участке автодороги Усть-Кокса - Мараловодка, 21-22 км	50,12426	85,46853	50,12427	85,46851	00.05.22	Не завершилась	ГР	Атм., гидрол.	Не отмечалось	В Усть-Коксинском районе на участке автодороги Усть-Кокса – Мараловодка, 21-22 км (пункт наблюдений участок автодороги в Мараловодку) отмечалась активизация гравитационных процессов на левобережной высокой террасе р. Катунь, протяженностью 683 м, высота уступа – 6-8 м. Состав горных пород, затронутых проявлением: валунно-галечный материал с гравийно-супесчаным заполнителем. Основные факторы активизации: гидрометеорологический, гидрологический.		–
04.2022.0020	Сибирский	Республика Алтай	Усть-Коксинский район, с. Березовка	50,23705	85,53531	50,23706	85,53530	00.05.22	Не завершилась	ГР	Атм., гидрол.	Не отмечалось	В с. Березовка Усть-Коксинского района (пункт наблюдений Березовка) отмечалась активизация гравитационных процессов, на отрезке протяженностью 670 м, высота уступа – 3 м. Состав горных пород, затронутых проявлением: валунно-галечный материал с гравийно-песчаным заполнителем. Основные факторы активизации: гидрометеорологический, гидрологический.		–

1	2	3	4	5	6	7	8	9	10	11	12	13	14	15	16
04.2022.0021	Сибирский	Республика Алтай	Усть-Коксинский район, с. Усть-Кокса	50,25998	85,61464	50,25998	85,61463	00.05.22	Не завер-шилась	ГР	Атм., гидрол.	Не отмечалось	На южной окраине с. Усть-Кокса, ул. Аргучинского, 47 (пункт наблюдений Стрелка) отмечалась активизация гравитационных процессов на уступе высокой поймы, протяженностью 461 м, высота уступа – 3 м. Состав горных пород, затронутых проявлением: валунно-галечный материал с гравийно-супесчаным заполнителем. Основные факторы активизации: гидрометеорологический, гидрологический.		–
04.2022.0022	Сибирский	Республика Алтай	Усть-Коксинский район, участке автодороги Усть-Кокса - Мараловодка, 2-3 км	50,25420	85,58275	50,25421	85,58273	00.05.22	Не завер-шилась	ГР	Атм., гидрол.	Не отмечалось	В Усть-Коксинском районе на уч. автодороги Усть-Кокса – Мараловодка, 2-3 км (пункт наблюдений Подсолодка) фиксировалась активизация гравитационных процессов на уступе первой террасы, длиной 778 м, и высотой – 3,7 м. Состав горных пород, затронутых проявлением: валунно-галечный материал с гравийно-песчаным заполнителем. Основные факторы активизации: гидрометеорологический, гидрологический.		–
04.2022.0023	Сибирский	Республика Алтай	Онгудайский район, участке автодороги в Алтайское подворье, 19,5 км	50,77741	86,46345	50,7774	86,46344	00.05.22	Не завер-шилась	Оп	Атм., Техн.	Не отмечалось	В Онгудайском районе, выше по склону от участка автодороги в Алтайское подворье, 19,5 км (пункт наблюдений Подъезд к урочищу Урсул) отмечалась активизация оползневого процесса. Площадь оползня – 18755 м². В пределах проявления фиксировались трещины и рвы глубиной 0,3-2,2 м. Ширина рвов – от 1 до 8 м. Состав горных пород, затронутых проявлением: щебнисто-глыбовый материал с супесчаным заполнителем. Основные факторы активизации: гидрометеорологический, техногенный (строительство и эксплуатация дороги).		–
04.2022.0024	Сибирский	Республика Алтай	Онгудайский район, участок автодороги в Алтайское подворье, 20 км	50,77982	86,47043	50,77982	86,47042	00.05.22	Не завер-шилась	Оп	Атм., Техн.	Отмечалось	В Онгудайском районе на участке автодороги в Алтайское подворье, 20 км (пункт наблюдений Участок автодороги в Алтайское подворье) зафиксирована активизация оползневого процесса. Протяженность оползня по дороге – 190 м. Фиксировались трещины по флангам на дороге, глубиной до 0,1-0,4 м, уступы – 0,8-1,7 м. Негативное воздействие опасного ЭГП выражалось в частичном разрушении откосов полотна, деформации габионов и подпорных стенок на отрезке автодороги, длиной 190 м. Состав горных пород, затронуты проявлением: щебнисто-глыбовый материал с супесчаным заполнителем. Основные факторы активизации: гидрометеорологический, техногенный (строительство и эксплуатация дороги).		–
04.2022.0025	Сибирский	Республика Алтай	Майминский район, с. Майма	52,01543	85,89019	52,01543	85,89018	00.05.22	Не завер-шилась	ГР	Атм., гидрол.	Отмечалось	В с. Майма, Майминского района (пункт наблюдений Катунский водозабор) зафиксирована активизация гравитационных процессов на уступе протяженностью 547 м, высота уступа – 3,55 м. В зоне негативного воздействия находится территория ЗСО 1, 2, 3 поясов охраны водозабора, дамбы обвалования. Состав горных пород, затронутых проявлением: пески, валунно-галечный материал. Основные факторы активизации: гидрометеорологический, гидрологический.		–

1	2	3	4	5	6	7	8	9	10	11	12	13	14	15	16
04.2022.0026	Сибирский	Республика Алтай	Онгудайский район, с. Кара-Кобы	50,81209	85,57878	50,81209	85,57876	00.05.22	Не завершилась	ГР	Атм., гидрол.	Отмечалось	В с. Кара-Кобы Онгудайского района (пункт наблюдений Кара-Кобы) зафиксирована активизация гравитационных процессов в уступе террасы р. Урсул, протяженностью 1590 м, высота уступа – от 8 до 15 м. Отмечалось негативное воздействие опасного ЭГП на территории 2 усадеб по ул. Шоссейная, 19, 25 (частично разрушены ограждения). Состав горных пород, затронутых проявлением: супесчано-песчано-гравийный материал с включениями гальки, с прослоями супесей и песков в верху разреза. Основные факторы активизации: гидрометеорологический, гидрологический.		–
04.2022.0027	Сибирский	Республика Алтай	Онгудайский район, с. Кара-Кобы	50,81019	85,57686	50,81019	85,57684	00.05.22	Не завершилась	Эо	Атм., техн.	Отмечалось	В с. Кара-Кобы на участке автодороги Туекта – Усть-Кан, 21,08 км (пункт наблюдений Кара-Кобы) отмечалась активизация процесса овражной эрозии в уступе высокой террасы р. Урсул. Параметры проявления опасного ЭГП: длина – 60 м, максимальная ширина – 22 м. Негативное воздействие опасного ЭГП заключалось в разрушении откосов автодороги, на отрезке 10 м. Состав горных пород, затронутых проявлением: супесчано-песчано-гравийный материал с включениями гальки, с прослоями супесей. Основные факторы активизации: гидрометеорологический, техногенный (водовыпуск).		–
04.2022.0028	Сибирский	Республика Алтай	Онгудайский район, с. Кара-Кобы	50,81465	85,58116	50,81466	85,58115	00.05.22	Не завершилась	Эо	Атм., техн.	Не отмечалось	В с. Кара-Кобы на участке автодороги Туекта – Усть-Кан, 20,5 км (пункт наблюдений Кара-Кобы) зафиксирована активизация процесса овражной эрозии. Параметры проявления опасного ЭГП: длина – 76 м, максимальная ширина – 24 м. Состав горных пород, затронутых проявлением: супесчано-песчано-гравийный материал с включениями гальки, с прослоями супесей. Основные факторы активизации: гидрометеорологический, техногенный (водовыпуск).		–
04.2022.0029	Сибирский	Республика Алтай	Онгудайский район, с. Кара-Кобы	50,81759	85,58684	50,81760	85,58683	00.05.22	Не завершилась	Эо	Атм., техн.	Отмечалось	В с. Кара-Кобы на участке автодороги Туекта – Усть-Кан, 19,96 км (пункт наблюдений Кара-Кобы) отмечалась активизация процесса овражной эрозии. Параметры проявления опасного ЭГП: длина – 41 м, максимальная ширина – 14 м. Негативное воздействие опасного ЭГП заключалось в разрушении откосов участке автодороги, протяженностью 5 м. Состав горных пород, затронутых проявлением: супесчано-песчано-гравийный материал с включениями гальки, с прослоями супесей. Основные факторы активизации: гидрометеорологический, техногенный (водовыпуск).		–
04.2022.0030	Сибирский	Республика Алтай	Усть-Канский район, автодорога Усть-Кан – Коргон, 38,4-48,9 км	51,02659	84,29414	51,02660	84,29413	00.05.22	Не завершилась	ГР	Атм., гидрол.	Не отмечалось	В Усть-Канском районе, на участке автодороги Усть-Кан – Коргон, 38,4-38,78 км отмечалась активизация гравитационных процессов в уступе высокой поймы р. Чарыш, высотой 3,5 м. На отрезке 365 м фиксировались трещины отседания. Состав горных пород, затронутых проявлением: галечный материал с включениями гравия и супесей. Основные факторы активизации: гидрометеорологический, гидрологический.	–	Плановое обследование
04.2022.0031	Сибирский	Республика Алтай	Усть-Канский район, автодорога Усть-Кан – Коргон, 38,4-48,9 км	51,03546	84,26774	51,03546	84,26773	00.05.22	Не завершилась	ГР	Атм., гидрол.	Отмечалось	В Усть-Канском районе, на участке автодороги Усть-Кан – Коргон, 40,44-40,95 км наблюдалась активизация гравитационных процессов в уступе террасы р. Чарыш, высотой 6-9 м. На отрезке, длиной 510 м отмечались трещины отседания. Негативное воздействие опасного ЭГП заключалось в разрушении откосов дорожного полотна, длиной 5 м. Состав горных пород, затронутых проявлением: галечный материал с включениями гравия и супесей. Основные факторы активизации: гидрометеорологический, гидрологический.		Плановое обследование

1	2	3	4	5	6	7	8	9	10	11	12	13	14	15	16
04.2022.0032	Сибирский	Республика Алтай	Усть-Канский район, а/дорога Усть-Кан – Коргон, 38,4-48,9 км	51,04923	84,18593	51,04923	84,18592	00.05.22	Не завершилась	ГР	Атм., гидрол.	Не отмечалось	В Усть-Канском районе, на участке автодороги Усть-Кан – Коргон, 46,7-46,99 км наблюдалась активизация гравитационных процессов в уступе террасы р. Чарыш, высотой 6-9 м. На отрезке, длиной 290 м, отмечались трещины и блоки отседания. Состав горных пород, затронутых проявлением: галечный материал с включениями гравия и супесей. Основные факторы активизации: гидрометеорологический, гидрологический.		Плановое обследование
04.2022.0033	Сибирский	Республика Алтай	Усть-Канский район, а/дорога Усть-Кан – Коргон, 38,4-48,9 км	51,05049	84,17801	51,05049	84,17800	00.05.22	Не завершилась	ГР	Атм., гидрол.	Отмечалось	В Усть-Канском районе, на участке автодороги Усть-Кан – Коргон, 47,29-47,53 км наблюдалась активизация гравитационных процессов в уступе высокой поймы р. Чарыш, высотой 4 м. На отрезке, длиной 240 м отмечались трещины отседания, в непосредственной близи от отбойников. Негативное воздействие опасного ЭГП выражалось в разрушении откосов дорожного полотна, на отрезке 5 м. Состав горных пород, затронутых проявлением: галечный материал с включениями гравия и супесей. Основные факторы активизации: гидрометеорологический, гидрологический.	–	Плановое обследование
04.2022.0034	Сибирский	Республика Алтай	Турочакский район, с. Верх-Бийск	52,03657	87,08725	52,03658	87,08724	00.05.22	00.09.22	ГР	Атм., гидрол.	Отмечалось	В с. Верх-Бийск, Турочакского района на ул. Береговая (пункт наблюдений Верх-Бийск) наблюдалась активизация гравитационных процессов в уступе высокой террасы, на отрезке, протяженностью 932 м, высота уступа – 10 м. Фиксировалось наличие блоков отпора и осыпание рыхлого материала. Негативное воздействие опасного ЭГП заключалось в деформации ограждений и хозяйственных построек на территории усадеб по ул. Береговая, 4, 6, 8, 10, 16, 18. Состав горных пород, затронутых проявлением: валунно-галечный материал с песчаным заполнителем, с прослоями песка и супесей. Основные факторы активизации: гидрометеорологический, гидрологический.		–
04.2021.0035	Сибирский	Республика Алтай	Онгудайский район, участок автодороги в с. Инегень	50,38671	86,66941	50,38672	86,66939	00.05.22	00.09.22	Оп	Атм., гидрол.	Отмечалось	В Онгудайском районе на серпантине автодороги в с. Инегень (пункт наблюдений Участок автодороги в с. Инегень) наблюдалась активизация оползневого процесса. Оползневому процессу подвержен низовой откос автодороги. При проведении обследования на дорожном полотне фиксировались трещины и блоки отпора. Негативное воздействие опасного ЭГП выражалось и разрушении дорожного полотна и отбойников, на протяжении 265 м. Состав горных пород, затронутых проявлением: гравийно-галечный материал с песчаным заполнителем. Основные факторы активизации: гидрометеорологический, гидрологический.		–
04.2021.0036	Сибирский	Республика Алтай	Онгудайский район, участок автодороги в с. Инегень	50,38669	86,66974	50,38669	86,66973	00.05.22	00.09.22	Эо	Атм.	Отмечалось	В Онгудайском районе на серпантине автодороги в с. Инегень (пункт наблюдений Участок автодороги в с. Инегень) зафиксирована активизация процесса овражной эрозии. Овраг развивается по бровке дорожного полотна. Негативное воздействие опасного ЭГП выражалось в деформации дорожного полотна и отбойников автодороги, на отрезке 3 м. Состав горных пород, затронутых проявлением: гравийно-галечный материал с песчаным заполнителем. Основной фактор активизации – гидрометеорологический.		–
04.2021.0037	Сибирский	Республика Алтай	Кош-Агачский район, в 3 км северо-восточнее с. Курай	50,26552	87,95370	50,26552	87,95369	00.05.22	00.09.22	ГР	Атм., гидрол.	Отмечалось	В 3 км северо-восточнее с. Курай, Кош-Агачского района (пункт наблюдений Курайский) на правом берегу р. Курайка отмечена активизация гравитационных процессов на уступе высокой террасы, протяженностью 967 м. Отмечалось негативное воздействие опасного ЭГП на земли сельскохозяйственного назначения, площадью 484 м². Состав горных пород, затронутых проявлением: валунно-галечный материал с гравийно-супесчаным заполнителем. Основные факторы активизации: гидрометеорологический, гидрологический.		–

1	2	3	4	5	6	7	8	9	10	11	12	13	14	15	16
04.2021.0038	Сибирский	Республика Алтай	Кош-Агачский район, участок автодороги Кош-Агач - Джазатор, 99,72 км	49,64250	87,92769	49,64251	87,92768	00.05.22	00.09.22	Эо	Атм., техн.	Отмечалось	В Кош-Агачском районе на участке автодороги Кош-Агач – Джазатор, 99,72 км (пункт наблюдений Джазаторская трасса) наблюдалась активизация процесса овражной эрозии. Параметры проявления опасного ЭГП: длина – 62 м, ширина – 2-18 м. Отмечалось негативное воздействие опасного ЭГП: деформация откоса автодороги, на протяжении 4 м. Состав горных пород, затронутых проявлением: валунно-галечный материал с супесчаным заполнителем. Основные факторы активизации: гидрометеорологический, техногенный (наличие воздовыпуска).		–
04.2021.0039	Сибирский	Республика Алтай	Кош-Агачский район, участок автодороги Кош-Агач - Джазатор, 101,26 км	49,63688	87,90769	49,63688	87,90768	00.05.22	00.09.22	ГР	Атм., гидрол.	Отмечалось	В Кош-Агачском районе, на автодороге Кош-Агач – Джазатор, 101,26 км (пункт наблюдений Джазаторская трасса) наблюдалась активизация гравитационных процессов в уступе высокой террасы р. Жасатер. На отрезке 130 м уступ обнажен, наблюдались трещины отпора, а также свежий обломочный материал у подножия склона. Высота уступа – 15 м. При проведении обследования отмечалось негативное воздействие опасного ЭГП, которое выражалось в разрушении откосов дорожного полотна на отрезке 130 м. Состав горных пород, затронутых проявлением: валунно-галечный материал с супесчаным заполнителем. Основные факторы активизации: гидрометеорологический, гидрологический.		–
04.2021.0040	Сибирский	Республика Алтай	Кош-Агачский район, участок автодороги Кош-Агач - Джазатор, 118 км	49,64794	87,69309	49,64795	87,69307	00.05.22	00.09.22	Эо	Атм., техн.	Не отмечалось	В Кош-Агачском районе на участке автодороги Кош-Агач – Джазатор, 118 км (пункт наблюдений Джазаторская трасса) наблюдалась активизация процесса овражной эрозии. Параметры проявления опасного ЭГП: длина – 30 м, ширина – 10-15 м. Состав горных пород, затронутых проявлением: супесь, с включением гальки и валунов. Факторы активизации: гидрометеорологический, техногенный фактор (водовыпуск).		–
04.2021.0041	Сибирский	Республика Алтай	Кош-Агачский район, участок автодороги Кош-Агач - Джазатор, 128 км	49,67339	87,57702	49,67339	87,57701	00.05.22	00.09.22	Эо	Атм.	Не отмечалось	В Кош-Агачском районе на участке автодороги Кош-Агач – Джазатор, 128 км (пункт наблюдений Джазаторская трасса) фиксировалась активизация процесса овражной эрозии. Параметры проявления опасного ЭГП: длина – 57 м, ширина – 15 м, глубина у вершины – 2,5 м. Состав горных пород, затронутых проявлением: супесь, с включением гальки и валунов. Основной фактор активизации – гидрометеорологический.		–
04.2021.0042	Сибирский	Республика Алтай	Кош-Агачский район, участок автодороги Кош-Агач - Джазатор, 136,6 км	49,6918	87,47819	49,69181	87,47818	00.05.22	00.09.22	ГР	Атм., техн.	Отмечалось	В Кош-Агачском районе на участке автодороги Кош-Агач – Джазатор, 136,6 км (пункт наблюдений Джазаторская трасса) наблюдалась активизация гравитационных процессов в уступе высокой террасы в излучине р. Жасатер, протяженностью 190 м, высота уступов – 8 м. При проведении обследования отмечалось обнажение склонов, наличие трещин отпора, оплывин и осыпных шлейфов в подножии. В результате активизации опасного ЭГП происходила деформация откосов дорожного полотна, на отрезке 60 м. Состав горных пород, затронутых проявлением: пески, с включением гальки и валунов. Основные факторы активизации: гидрометеорологический, гидрологический.		–

1	2	3	4	5	6	7	8	9	10	11	12	13	14	15	16
04.2021.0043	Сибирский	Республика Алтай	Кош-Агачский район, участок автодороги Кош-Агач - Джазатор, 138 км	49,69124	87,46421	49,69125	87,46420	00.05.22	00.09.22	Эо	Атм.	Отмечалось	В Кош-Агачском районе на участок автодороги Кош-Агач – Джазатор, 138 км (пункт наблюдений Джазаторская трасса) наблюдалась активизация процесса овражной эрозии. Параметры проявления опасного ЭГП: длина – 37 м, ширина – 30 м. При проведении обследования отмечалась деформация откосов автодороги, на протяжении 20 м. Состав горных пород, затронутых проявлением: супесь, с включением гальки и валунов. Основной фактор активизации – гидрометеорологический.		–
04.2021.0044	Сибирский	Республика Алтай	Кош-Агачский район, в 9,2 км к юго-западу от с. Бельтир	49,95656	88,07422	49,95657	88,07421	00.05.22	00.09.22	Оп	Атм., сейсм.	Отмечалось	В 9,2 км к юго-западу от с. Бельтир Кош-Агачского района (пункт наблюдений Арка-Узук) наблюдалась активизация оползневого процесса на крупном сейсмогенном оползне блокового типа. Отступание надоползневого уступа составляло 5-11 м, прирост площади оползня по уступу – 1205 м², площадь оползня на момент обследования – 646591 м². Признаки активизации опасного ЭГП: наличие свежих блоков отпора, оплывин, и поваленных деревьев. Отмечалось негативное воздействие на земли сельскохозяйственного назначения (пастбища), площадью 1205 м². Состав горных пород, затронутых проявлением: супесь, с включением гальки и валунов, а также суглинки. Основные факторы активизации: гидрометеорологический, сейсмический.		–
04.2021.0045	Сибирский	Республика Алтай	Кош-Агачский район, в 10 км к юго-западу от с. Чаган-Узун	50,04170	88,25876	50,04171	88,25874	00.05.22	00.09.22	Оп	Атм., сейсм.	Не отмечалось	В 10 км к юго-западу от с. Чаган-Узун, Кош-Агачского района (пункт наблюдений Кызыл-Чин) наблюдалась активизация оползневого процесса. Параметры проявления опасного ЭГП: длина – 412 м, ширина – до 150 м, высота надоползневого уступа – до 15 м, площадь – 33478 м². Язык оползня частично перекрывает русло р. Кызыл-Чин. Состав горных пород, затронутых проявлением: супеси и суглинки с включением гравия. Основные факторы активизации: гидрометеорологический, сейсмический.		–
04.2021.0046	Сибирский	Республика Алтай	Кош-Агачский район, в 10 км к юго-западу от с. Чаган-Узун	50,04160	88,25660	50,04160	88,25659	00.05.22	00.09.22	Оп	Атм., сейсм.	Не отмечалось	В 10 км к юго-западу от с. Чаган-Узун, Кош-Агачского района (пункт наблюдений Кызыл-Чин) наблюдалась активизация оползневого процесса. Параметры проявления опасного ЭГП: длина – 77 м, ширина – до 48 м, высота надоползневого уступа – до 1,5 м, площадь – 2653 м². Состав горных пород, затронутых проявлением: супеси и суглинки с включением гравия. Основные факторы активизации: гидрометеорологический, сейсмический.		–
04.2021.0047	Сибирский	Республика Алтай	Кош-Агачский район, в 9 км к юго-западу от с. Чаган-Узун	50,04500	88,26652	50,04500	88,26651	00.05.22	00.09.22	Оп	Атм., сейсм.	Не отмечалось	В 9 км к юго-западу от с. Чаган-Узун, Кош-Агачского района (пункт наблюдений Кызыл-Чин) наблюдалась активизация оползневого процесса. Параметры проявления опасного ЭГП: длина – 110 м, ширина – до 31 м, высота надоползневого уступа – до 2 м, площадь – 2415 м². Параметры проявления опасного ЭГП: супеси и суглинки с включением гравия. Основные факторы активизации: гидрометеорологический, сейсмический.	–	–
04.2021.0048	Сибирский	Республика Алтай	Кош-Агачский район, в 0,3 км к северо-востоку от с. Чаган-Узун	50,10780	88,36602	50,10781	88,36600	00.05.22	00.09.22	Оп	Атм., сейсм.	Отмечалось	В 0,3 км к северо-востоку от с. Чаган-Узун, Кош-Агачского района (пункт наблюдений Чуйский тракт) наблюдалась активизация оползневого процесса. Параметры проявления опасного ЭГП: длина – 208 м, ширина – до 150 м, площадь – 19131 м². Отмечалось негативное воздействие опасного ЭГП на земли сельскохозяйственного назначения, площадью 721 м². Состав горных пород, затронутых проявлением: супеси и суглинки, с включением гравия. Основные факторы активизации: гидрометеорологический, сейсмический.		–

1	2	3	4	5	6	7	8	9	10	11	12	13	14	15	16
04.2021.0049	Сибирский	Республика Алтай	Кош-Агачский район, в 0,17 км к северо-востоку от с. Чаган-Узун	50,10512	88,36869	50,10512	88,36868	00.05.22	00.09.22	Оп	Атм., гидрогеол., сейсм.	Не отмечалось	В 0,17 км к северо-востоку от с. Чаган-Узун (пункт наблюдений Чуйский тракт) наблюдалась активизация оползневого процесса. Параметры проявления опасного ЭГП: длина – 230 м, ширина – до 133 м, высота – до 7 м, площадь – 19905 м². Состав горных пород, затронутых проявлением: многолетнемерзлые супеси и суглинки с включением гравия. Основные факторы активизации: гидрометеорологический, гидрогеологический, сейсмический.		–
04.2021.0050	Сибирский	Республика Алтай	Кош-Агачский район, в 0,17 км к северо-востоку от с. Чаган-Узун	50,10354	88,37298	50,10354	88,37297	00.05.22	00.09.22	Оп	Атм., гидрогеол., сейсм.	Отмечалось	В 0,17 км к северо-востоку от с. Чаган-Узун (пункт наблюдений Чуйский тракт) наблюдалась активизация оползневого процесса. Параметры проявления опасного ЭГП: длина – 256 м, ширина – до 95 м, высота – до 8 м, площадь – 9705 м². В стенке отрыва обнажаются многолетнемерзлые породы и линзы льда, смещение уступа на момент обследования составляло 19-22 м. Негативному воздействию опасного ЭГП подверглись земли сельскохозяйственного назначения, на площади 458 м². Состав горных пород, затронутых проявлением: многолетнемерзлые супеси и суглинки с включением гравия. Основные факторы активизации: гидрометеорологический, гидрогеологический, сейсмический.		–
04.2021.0051	Сибирский	Республика Алтай	Кош-Агачский район, в 0,5 км к северо-востоку от с. Чаган-Узун	50,10288	88,37553	50,10288	88,37552	00.05.22	00.09.22	Оп	Атм., гидрогеол., сейсм.	Отмечалось	В 0,5 км к северо-востоку от с. Чаган-Узун Кош-Агачского района (пункт наблюдений Чуйский тракт) наблюдалась активизация оползневого процесса. Параметры проявления опасного ЭГП: длина – 50 м, ширина – 34 м, площадь – 1045 м². Негативному воздействию опасного ЭГП подверглись земли сельскохозяйственного назначения, на площади 210 м². Состав горных пород, затронутых проявлением: супеси и суглинки с включением гравия и гальки. Основные факторы активизации: гидрометеорологический, гидрогеологический, сейсмический.		–
04.2021.0052	Сибирский	Республика Алтай	Кош-Агачский район, в 1,77 км к северу от с. Чаган-Узун	50,11976	88,36745	50,11976	88,36744	00.05.22	00.09.22	Оп	Атм., сейсм.	Не отмечалось	В 1,77 км к северу от с. Чаган-Узун, Кош-Агачского района (пункт наблюдений Чуйский) наблюдалась активизация оползневого процесса. Параметры проявления опасного ЭГП: длина – 91 м, ширина – 34 м, площадь – 2269 м². Отмечалось наличие трещин сдвига и растяжения по границам оползня. Негативное воздействие отсутствует. Состав горных пород, затронутых проявлением: супеси и суглинки с включением гравия и гальки. Основные факторы активизации: гидрометеорологический, сейсмический.	–	–
04.2021.0053	Сибирский	Республика Алтай	Кош-Агачский район, в 1,9 км к северу от с. Чаган-Узун	50,11970	88,37025	50,11971	88,37023	00.05.22	00.09.22	Оп	Атм., сейсм.	Отмечалось	В 1,9 км к северу от с. Чаган-Узун, Кош-Агачского района (пункт наблюдений Чуйский) наблюдалась активизация оползневого процесса. Параметры проявления опасного ЭГП: длина – 31 м, ширина – 28 м, площадь – 540 м². Негативному воздействию опасного ЭГП подверглись земли сельскохозяйственного назначения, на площади 15 м². Состав горных пород, затронутых проявлением: супеси и суглинки, с включением углистого вещества. Основные факторы активизации: гидрометеорологический, сейсмический.		–
04.2021.0054	Сибирский	Республика Алтай	Кош-Агачский район, в 1,8 км к северу от с. Чаган-Узун	50,11972	88,37657	50,11973	88,37656	00.05.22	00.09.22	Оп	Атм., гидрогеол., сейсм.	Не отмечалось	В 1,8 км к северу от с. Чаган-Узун (пункт наблюдений Чуйский) наблюдалась активизация оползневого процесса. Параметры проявления опасного ЭГП: длина – 347 м, ширина – 40 м, площадь – 7758 м². Отмечалось наличие трещин сдвига. Состав горных пород, затронутых проявлением: супеси и суглинки с включением гравия и гальки. Основные факторы активизации: гидрометеорологический, гидрогеологический, сейсмический.		–

1	2	3	4	5	6	7	8	9	10	11	12	13	14	15	16
04.2021.0055	Сибирский	Республика Алтай	Кош-Агачский район, в 2,15 км к северо-западу от с. Чаган-Узун	50,11995	88,38167	50,11996	88,38166	00.05.22	00.09.22	Оп	Атм., гидрогеол., сейсм.	Отмечалось	В 2,15 км к северо-западу от с. Чаган-Узун, Кош-Агачского района (пункт наблюдений Чуйский) наблюдалась активизация оползневого процесса. Параметры проявления опасного ЭГП: длина – 306 м, ширина – 118 м, площадь – 11810 м². При проведении обследования отмечались потоки разжиженных пород, зеркала скольжения в уступе и на дне лотка транзита, мочажины. Негативному воздействию опасного ЭГП подверглись земли сельскохозяйственного назначения, на площади 4912 м². Состав горных пород, затронутых проявлением: супеси и суглинки с включением гравия и гальки. Основные факторы активизации: гидрометеорологический, гидрогеологический, сейсмический.		–
04.2021.0056	Сибирский	Республика Алтай	Кош-Агачский район, в 1,86 км к северо-западу от с. Чаган-Узун	50,11752	88,38556	50,11753	88,38555	00.05.22	00.09.22	Оп	Атм., сейсм.	Не отмечалось	В 1,86 км к северо-западу от с. Чаган-Узун, Кош-Агачского района (пункт наблюдений Чуйский) наблюдалась активизация оползневого процесса. Параметры проявления опасного ЭГП: длина – 592 м, ширина – до 150 м, площадь – 41011 м². Надоползневый уступ с 2 вершинами, ступенеобразный, высотой до 15 м. Состав горных пород, затронутых проявлением: супеси и суглинки, с включением гравия и гальки. Основные факторы активизации: гидрометеорологический, сейсмический.		–
04.2021.0057	Сибирский	Республика Алтай	Кош-Агачский район, в 5,29 км к северу от с. Ортолык	50,08657	88,49102	50,08657	88,49101	00.05.22	00.09.22	Оп	Атм., сейсм.	Отмечалось	В 5,29 км к северу от с. Ортолык, Кош-Агачского района (пункт наблюдений Чуйский) наблюдалась активизация оползневого процесса. Параметры проявления опасного ЭГП: длина – 153 м, ширина – 83 м, площадь – 5770 м². Отмечалось наличие трещин сдвига. Негативному воздействию опасного ЭГП подверглись земли сельскохозяйственного назначения, на площади 692 м². Состав горных пород, затронутых проявлением: супеси и суглинки рыже-коричневые с включением гравия и гальки. Основные факторы активизации: гидрометеорологический, сейсмический.		–
04.2021.0058	Сибирский	Республика Алтай	Кош-Агачский район, в 5,17 км к северу от с. Ортолык	50,08654	88,49216	50,08655	88,49215	00.05.22	00.09.22	Оп	Атм., сейсм.	Не отмечалось	В 5,17 км к северу от с. Ортолык, Кош-Агачского района (пункт наблюдений Чуйский) наблюдалась активизация оползневого процесса. Параметры проявления опасного ЭГП: длина – 253 м, ширина – 84 м, площадь – 12893 м². Состав горных пород, затронутых проявлением: супеси и суглинки рыже-коричневые, с включением гравия и гальки. Основные факторы активизации: гидрометеорологический, сейсмический.		–
04.2021.0059	Сибирский	Республика Алтай	Кош-Агачский район, в 3,58 км к югу от с. Чаган-Узун	50,06579	88,35838	50,06579	88,35836	00.05.22	00.09.22	Оп	Атм., гидрогеол., сейсм.	Не отмечалось	В 3,58 км к югу от с. Чаган-Узун, Кош-Агачского района (пункт наблюдений Чуйский) наблюдалась активизация оползневого процесса. Параметры проявления опасного ЭГП: длина – 302 м, ширина – 91 м, площадь – 16145 м². В подошве уступа вскрыты многолетнемерзлые породы. Состав горных пород, затронутых проявлением: супеси и суглинки, с включением гравия и гальки. Основные факторы активизации: гидрометеорологический, гидрогеологический, сейсмический.		–
04.2021.0060	Сибирский	Республика Алтай	Кош-Агачский район, в 3,87 км к югу от с. Чаган-Узун	50,06573	88,35760	50,06573	88,35759	00.05.22	00.09.22	Оп	Атм., гидрогеол., сейсм.	Не отмечалось	В 3,87 км к югу от с. Чаган-Узун, Кош-Агачского района (пункт наблюдений Чуйский) наблюдалась активизация оползневого процесса. Параметры проявления опасного ЭГП: длина – 260 м, ширина – 45 м, площадь – 9737 м². При проведении обследования фиксировались трещины растяжения и сдвига в вершинной части, а также водонасыщеный грунт в подошве склона. Состав горных пород, затронутых проявлением: супеси и суглинки, с включением гравия и гальки. Основные факторы активизации: гидрометеорологический, гидрогеологический, сейсмический.	–	–

1	2	3	4	5	6	7	8	9	10	11	12	13	14	15	16
04.2021.0061	Сибирский	Республика Алтай	Кош-Агачский район, в 4,02 км к югу от с. Чаган-Узун	50,06421	88,35836	50,06422	88,35834	00.05.22	00.09.22	Оп	Атм., сейсм.	Не отмечалось	В 4,02 км к югу от с. Чаган-Узун, Кош-Агачского района (пункт наблюдений Чуйский) наблюдалась активизация оползневого процесса. Параметры проявления опасного ЭГП: длина – 163 м, ширина – 73 м. При проведении обследования фиксировались трещины растяжения и сдвига в вершинной части, а также водонасыщеный грунт в подошве склона. Состав горных пород, затронутых проявлением: супеси и суглинки с включением гравия и гальки. Основные факторы активизации: гидрометеорологический, сейсмический.		–
04.2021.0062	Сибирский	Республика Алтай	Кош-Агачский район, в 3,55 км к югу от с. Чаган-Узун	50,06693	88,36485	50,06694	88,36484	00.05.22	00.09.22	Оп	Атм., сейсм.	Не отмечалось	В 3,55 км к югу от с. Чаган-Узун, Кош-Агачского района (пункт наблюдений Чуйский) наблюдалась активизация оползневого процесса. Параметры проявления опасного ЭГП: длина – 116 м, ширина – 102 м, площадь – 8740 м². Язык оползня перекрывает ручей на отрезке 78 м. Состав горных пород, затронутых проявлением: супеси и суглинки, с включением гравия и гальки. Основные факторы активизации: гидрометеорологический, сейсмический.		–
04.2021.0063	Сибирский	Республика Алтай	Кош-Агачский район, в 3,18 км к югу от с. Чаган-Узун	50,06956	88,36819	50,06956	88,36818	00.05.22	00.09.22	Оп	Атм., сейсм.	Не отмечалось	В 3,18 км к югу от с. Чаган-Узун, Кош-Агачского района (пункт наблюдений Чуйский) наблюдалась активизация оползневого процесса. Параметры проявления опасного ЭГП: длина – 292 м, ширина – 61 м, площадь – 14262 м². При обследовании отмечалось наличие трещин растяжения выше уступа. Состав горных пород, затронутых проявлением: супеси и суглинки, с включением гравия и гальки. Основные факторы активизации: гидрометеорологический, сейсмический.	–	–
04.2021.0064	Сибирский	Республика Алтай	Кош-Агачский район, в 3,36 км к юго-востоку от с. Чаган-Узун	50,06709	88,37789	50,06709	88,37788	00.05.22	00.09.22	Оп	Атм., сейсм.	Не отмечалось	В 3,36 км к юго-востоку от с. Чаган-Узун, Кош-Агачского района (пункт наблюдений Чуйский) наблюдалась активизация оползневого процесса. Параметры проявления опасного ЭГП: длина – 410 м, ширина – 163 м, площадь – 32490 м². При обследовании отмечалось наличие оперяющих трещин в зоне надоползневого уступа. Состав горных пород, затронутых проявлением: супеси и суглинки, с включением гравия и гальки. Основные факторы активизации: гидрометеорологический, сейсмический.		–
04.2021.0065	Сибирский	Республика Алтай	Чемальский район, с. Толгоёк	51,33835	86,06005	51,33836	86,06003	00.05.22	00.09.22	Оп	Атм., сейсм.	Не отмечалось	В с. Толгоёк, Чемальского района отмечалась активизация оползневого процесса. Параметры проявления опасного ЭГП: длина – 70 м, ширина – 20 м, площадь – 1071 м². Во фронтальном уступе языка признаки слабого смещения. Состав горных пород, затронутых проявлением: супеси и суглинки, с включением гравия и гальки. Основные факторы активизации: гидрометеорологический, сейсмический.		–
04.2021.0066	Сибирский	Республика Алтай	Чемальский район, участок автодороги в с. Ороктой, 5-7 км	51,08225	86,15179	51,08225	86,15178	00.05.22	00.09.22	ГР	Атм., гидрол.	Отмечалось	В Чемальском районе на участке автодороги в с. Ороктой, 5-7 км наблюдалась активизация гравитационных процессов в уступе высокой террасы р. Катунь, на отрезке 1040 м. Высота склона – 7 м. Признаки активизации опасного ЭГП: частичное отсутствие дерна на склоне, наличие свежих блоков отседания. При проведении обследования отмечалось разрушение откосов дорожного полотна на отрезках, суммарной протяженностью 155 м. Состав горных пород, затронутых проявлением: валунно-галечный материал с супесчаным заполнителем. Основные факторы активизации: гидрометеорологический, гидрологический.		–

1	2	3	4	5	6	7	8	9	10	11	12	13	14	15	16
17.2022.0005	Сибирский	Республика Тыва	Пий-Хемский район, участок автодороги Р-257, 740 км, в районе с. Уюк	52,08009	94,03712	52,08009	94,03713	00.06.22	00.08.22	Эо	Атм.	Не отмечалось	Вдоль участка автодороги Р-257 в районе с. Уюк (пункт наблюдений Уюкский) наблюдалась активизации процесса овражной эрозии. Длина оврага – 1611 м, овраг вытянут вдоль полотна дороги, глубина – 0,9-2,6 м, ширина – до 9,3 м. Овраг активный, на отдельных участках продолжается его рост, образование свежих отвершков и расширение. Состав горных пород, затронутых проявлением: суглинки с дресвой и щебнем, с прослоями дресвяно-щебнистых отложений. Основной фактор активизации – гидрометеорологический.		–
17.2022.0006	Сибирский	Республика Тыва	Дзун-Хемчикский район, участок автодороги Р-257, 1018 км, восточная окраина г. Чадан	51,29356	91,60404	51,29357	91,60404	00.07.22	00.08.22	Эо	Атм.	Не отмечалось	Вдоль участка автодороги Р-257, 1018 км, в районе г. Чадан (пункт наблюдений Чаданский) отмечалась активизация процесса овражной эрозии. Параметры проявления опасного ЭГП: длина оврага – 1162 м, ширина – 35 м, глубина – 5,5 м. При проведении обследования фиксировались свежие обрушения грунта вдоль стенок, прирост ширины оврага до 1 м. Состав горных пород, затронутых проявлением: пески, супеси с прослоями дресвяно-щебнистого материала. Основной фактор активизации – гидрометеорологический.		–
17.2022.0007	Сибирский	Республика Тыва	Дзун-Хемчикский район, участок автодороги Р-257, 1001 км, район Чаданского угольного разреза	51,33607	91,84319	51,33607	91,84320	00.07.22	00.08.22	Эо	Атм.	Не отмечалось	Вдоль участка автодороги Р-257, 1001 км, в районе Чаданского угольного разреза (пункт наблюдений Чаданский) отмечена активизация процесса овражной эрозии. Параметры проявления опасного ЭГП: длина – 130 м, ширина – 16 м, глубина – 1,8 м. При проведении обследования фиксировались свежие обрушения грунта по стенкам, прирост ширины оврага на отдельных участках до 0,8 м, прирост вершин в среднем 0,45 м, Состав горных пород, затронутых проявлением: пески, супеси с прослоями дресвяно-щебнистого материала. Основной фактор активизации – гидрометеорологический.		–
17.2022.0008	Сибирский	Республика Тыва	Дзун-Хемчикский район, участок автодороги Р-257, 1003 км, район Чаданского угольного разреза	51,33053	91,81890	51,33053	91,81891	00.07.22	00.08.22	Эо	Атм.	Не отмечалось	Вдоль участка автодороги Р-257, 1003 км, в районе Чаданского угольного разреза (пункт наблюдений Чаданский) отмечена активизация процесса овражной эрозии. Параметры проявления опасного ЭГП: длина – 93 м, ширина – 10,5 м, глубина – 2 м. При проведении обследования фиксировались свежие обрушения грунта по стенкам. Состав горных пород, затронутых проявлением: пески, супеси с прослоями дресвяно-щебнистого материала. Основной фактор активизации – гидрометеорологический.	–	–
17.2022.0009	Сибирский	Республика Тыва	Дзун-Хемчикский район, с. Хорум-Даг	51,27829	91,05035	51,27829	91,05036	00.07.22	00.08.22	ГР	Атм.	Отмечалось	В с. Хорум-Даг Дзун-Хемчикского района (пункт наблюдений Хорум-Дагский) отмечена активизация гравитационных процессов вдоль уступа 1-ой террасы р. Чыргакы. Параметры проявления опасного ЭГП: высота склона – 4,3 м, длина – 439 м. При проведении обследования фиксировались свежие обвалы грунта на уступе на локальных участках, отседание блоков, шириной до 2,5 м. Состав горных пород, затронутых проявлением: песчаные и супесчаные отложения, с гравием и галькой. Отмечалось негативное воздействие опасного ЭГП: Частично обваливаются территории приусадебных участков с обрушением ограждений по ул. О. Дандар-оола, №№ 2, 4, 6. Основной фактор активизации – гидрометеорологический.		–

1	2	3	4	5	6	7	8	9	10	11	12	13	14	15	16
17.2022.0010	Сибирский	Республика Тыва	Улуг-Хемский район, участок автодороги Шагонар – Эйлиг-Хем, 10 км, в 16,13 км восточнее с. Эйлиг-Хем	51,61884	92,91444	51,61884	92,91445	00.07.22	00.08.22	Эо	Атм.	Не отмечалось	Вдоль участка автодороги Шагонар – Эйлиг-Хем, 10 км (пункт наблюдений Эйлиг-Хемский) отмечалась активизация процесса овражной эрозии. Параметры проявления опасного ЭГП: длина – 110,2 м, ширина – 4,9 м, глубина – 1,2 м. При проведении обследования фиксировались свежие обрушения грунта вдоль стенок, трещины отрыва, ниши в бортах, глубиной до 0,27 м. Состав горных пород, затронутых проявлением: дресвяно-щебенистые отложения с суглинистым заполнителем, прослои суглинков. Основной фактор активизации – гидрометеорологический.		–
17.2022.0011	Сибирский	Республика Тыва	Улуг-Хемский район, участок автодороги Шагонар – Эйлиг-Хем, 10 км, в 15,94 км восточнее с. Эйлиг-Хем	51,62566	92,90981	51,62566	92,90982	00.07.22	00.08.22	Эо	Атм.	Не отмечалось	Вдоль участка автодороги Шагонар – Эйлиг-Хем, 10 км (пункт наблюдений Эйлиг-Хемский) отмечалась активизация процесса овражной эрозии. Параметры проявления опасного ЭГП: длина – 169 м, ширина – до 5,5 м, глубина – 1,2 м. При проведении обследования наблюдались обрушения и обваливания грунта по стенкам, прирост в вершинах отвершков – 0,2-0,3 м, трещины отпора, прирост ширины оврага составлял 0,3-0,5 м. Состав горных пород, затронутых проявлением: дресвяно-щебенистые отложения с суглинистым заполнителем, прослои суглинков. Основной фактор активизации – гидрометеорологический.		–
17.2022.0012	Сибирский	Республика Тыва	Улуг-Хемский район, участок автодороги Шагонар – Эйлиг-Хем, 21 км, в 10,3 км северо-восточнее с. Эйлиг-Хем	51,63885	92,79059	51,63885	92,79060	00.07.22	00.08.22	Эо	Атм.	Не отмечалось	Вдоль участка автодороги Шагонар – Эйлиг-Хем, 21 км (пункт наблюдений Эйлиг-Хемский) зафиксирована активизация процесса овражной эрозии. Параметры проявления опасного ЭГП: длина – 347 м, ширина – до 9,2 м, глубина – до 1,45 м. Отмечались обрушения грунта по стенкам, прирост в вершине составил 2 м, прирост ширины на отдельных участках – до 2 м. Состав горных пород, затронутых проявлением: дресвяно-щебенистые отложения с суглинистым заполнителем, прослои суглинков. Основной фактор активизации – гидрометеорологический.		–
17.2022.0013	Сибирский	Республика Тыва	Улуг-Хемский район, участок автодороги Шагонар – Эйлиг-Хем, 22 км, в 6,96 км северо-восточнее с. Эйлиг-Хем	51,63372	92,77391	51,63372	92,77392	00.07.22	00.08.22	Эо	Атм.	Не отмечалось	Вдоль участка автодороги Шагонар – Эйлиг-Хем, 22 км (пункт наблюдений Эйлиг-Хемский) отмечалась активизация процесса овражной эрозии. Параметры проявления опасного ЭГП: длина – 232,2 м, ширина – 7 м, глубина – 1,3 м. При обследовании наблюдались свежие обрушения грунта по стенкам, блоки отседания, шириной до 0,3 м, прирост в вершине – 1,2 м. Состав горных пород, затронутых проявлением: дресвяно-щебенистые отложения с суглинистым заполнителем, прослои суглинков. Основной фактор активизации – гидрометеорологический.		–

1	2	3	4	5	6	7	8	9	10	11	12	13	14	15	16
17.2022.0014	Сибирский	Республика Тыва	Улуг-Хемский район, участок автодороги Шагонар – Эйлиг-Хем – Куйлуг-Хем, 32 км, в 1,46 км северо-западнее с. Эйлиг-Хем	51,61911	92,64908	51,61911	92,64909	00.07.22	00.08.22	Эо	Атм.	Не отмечалось	Вдоль участка автодороги Шагонар – Эйлиг-Хем – Куйлуг-Хем, 32 км (пункт наблюдений Эйлиг-Хемский) фиксировалась активизация процесса овражной эрозии. Параметры проявления опасного ЭГП: длина – 129 м, ширина – 5,3 м, глубина – 1,9 м. При проведении обследования отмечались многочисленные обрушения и обваливания грунта по стенкам, прирост в вершине оврага – до 1 м, в вершинах отвершков – 0,3-0,5 м. Состав горных пород, затронутых проявлением: дресвяно-щебенистые отложения с суглинистым заполнителем, прослои суглинков. Основной фактор активизации – гидрометеорологический.		–
17.2022.0015	Сибирский	Республика Тыва	Чеди-Хольский район, с. Сайлыг	51,12267	93,68898	51,12267	93,68899	00.07.22	00.08.22	ГР	Атм.	Отмечалось	В с. Сайлыг, Чеди-Хольского района (пункт наблюдений Сайлыгский) отмечалась активизация гравитационных процессов вдоль террасовидного уступа, длиной 815 м, и высотой 13 м. На отдельных участках зафиксированы обрушения, осыпания грунта. Состав горных пород, затронутых проявлением: супеси, пески с дресвой и щебнем. В результате активизации опасного ЭГП обвалилась часть приусадебных участков по ул. Горького, №№ 12, 14. Основной фактор активизации – гидрометеорологический.		–
17.2022.0016	Сибирский	Республика Тыва	Чеди-Хольский район, с. Сайлыг	51,12274	93,68817	51,12274	93,68818	00.07.22	00.08.22	Эо	Атм.	Не отмечалось	На территории с. Сайлыг, Чеди-Хольского района (пункт наблюдений Сайлыгский) зафиксирована активизация процесса овражной эрозии. Параметры проявления опасного ЭГП: длина – 107,35 м, ширина – до 9 м, глубина – до 6 м. Прирост по длине оврага составил 0,45 м. Состав горных пород, затронутых проявлением: супеси с дресвой и щебнем. Основной фактор активизации – гидрометеорологический.		–
17.2022.0017	Сибирский	Республика Тыва	Каа-Хемский район, с. Сизим	51,31971	95,94505	51,31971	95,94506	00.07.22	00.09.22	Эо	Атм.	Не отмечалось	В с. Сизим, Каа-Хемского района (пункт наблюдений Сизимский) зафиксирована активизация процесса овражной эрозии. Параметры проявления опасного ЭГП: длина – 60 м, ширина – 7,2 м, глубина – 2,5 м. При проведении обследования отмечалось обрушение бортов оврага, размерами 0,3×0,2×0,2 м. Состав горных пород, затронутых проявлением: пески, супеси с прослоями гальки и гравия. Основной фактор активизации – гидрометеорологический.		–
17.2022.0018	Сибирский	Республика Тыва	Каа-Хемский район, с. Сизим	51,31983	95,94490	51,31983	95,94491	00.07.22	00.09.22	Эо	Атм.	Не отмечалось	В с. Сизим, Каа-Хемского района (пункт наблюдений Сизимский) наблюдалась активизация процесса овражной эрозии. Параметры проявления опасного ЭГП: длина – 29 м, ширина – до 3 м, глубина – 1,48 м. При проведении обследования отмечалось обрушение бортов и вершины оврага. Прирост в вершине на момент обследования составлял 1 м, по ширине – 0,3 м. Состав горных пород, затронутых проявлением: пески, супеси с прослоями гальки и гравия. Основной фактор активизации – гидрометеорологический.		–

1	2	3	4	5	6	7	8	9	10	11	12	13	14	15	16
17.2022.0019	Сибирский	Республика Тыва	Каа-Хемский район, с. Сизим	51,32068	95,94403	51,32068	95,94404	00.07.22	00.09.22	Эо	Атм.	Не отмечалось	В с. Сизим, Каа-Хемского района (пункт наблюдений Сизимский) отмечалась активизация процесса овражной эрозии. Параметры проявления опасного ЭГП: длина – 24,2 м, ширина – 6,2 м, глубина – 2,5 м. При проведении обследования отмечалось обрушение бортов оврага, а также рост его вершины на 0,34 м. Состав горных пород, затронутых проявлением: пески, супеси с прослоями гальки и гравия. Основной фактор активизации – гидрометеорологический.		–
17.2022.0020	Сибирский	Республика Тыва	Каа-Хемский район, с. Сизим	51,32095	95,94407	51,32095	95,94408	00.07.22	00.09.22	Эо	Атм.	Не отмечалось	В с. Сизим, Каа-Хемского района (пункт наблюдений Сизимский) наблюдалась активизация процесса овражной эрозии. Параметры проявления опасного ЭГП: длина – 61,3 м, ширина – 5,8 м, глубина – 2,5 м. При проведении обследования отмечалось увеличение размеров проявления: ширины – на 0,4 м, глубины – на 0,2 м, длины – на 1 м, Состав горных пород, затронутых проявлением: пески, супеси с прослоями гальки и гравия. Основной фактор активизации – гидрометеорологический.		–
17.2022.0021	Сибирский	Республика Тыва	Каа-Хемский район, с. Сизим	51,32054	95,94319	51,32054	95,94320	00.07.22	00.09.22	Эо	Атм.	Не отмечалось	В с. Сизим Каа-Хемского района (пункт наблюдений Сизимский) отмечена активизация процесса овражной эрозии. Параметры проявления опасного ЭГП: длина – 38,8 м, ширина – 15,7 м, глубина – 3,4 м. Отмечался прирост ширины на 0,3 м, обрушения по бортам оврага, размерами до 0,45×0,80×0,90 м, свежие промоины. Состав горных пород, затронутых проявлением: пески, супеси с прослоями гальки и гравия. Основной фактор активизации – гидрометеорологический.		–
19.2022.0001	Сибирский	Республика Хакасия	г. Черногорск	53,82692	91,30469	53,82755	91,30448	00.01.22	Не завершилась	Пт	Атм., техн.	Отмечалось	В г. Черногорск (пункт наблюдений г. Черногорск) отмечалась активизация процесса подтопления. Площадь подтопленной территории – около 0,12 км². В подвалах жилых домов (ул. Чернышевского, 15, Белинского, 40) уровень воды стоит на 2 м выше пола. В наблюдательных скважинах ГМСН (в южной части г. Черногорск) в III квартале отмечался подъем уровней подземных вод (июль 2022 г – 2,4 м, август 2022 г. – 2,24 м, сентябрь – 2,2 м). Негативному воздействию подвержены жилые дома по ул. Чернышевского, Белинского. На площади подтопления развиты аллювиальные гравийно-галечниковые отложения, пески и суглинки. Фактор активизации – осадки весенне-летнего периода, возможные утечки канализационных и водопроводных сетей.		–
19.2022.0002	Сибирский	Республика Хакасия	Алтайский район, участок автодороги Р-257, 430 км, в районе моста «Братский»	53,62636	91,54789	53,62699	91,54768	00.04.22	00.07.22	Оп	Атм., техн.	Отмечалось	В Алтайском районе, вдоль левого склона участка автодороги Р-257 Абакан-Кызыл, 430 км (пункт наблюдений участок автодороги Р-257, Братский мост) наблюдалась активизация оползневого процесса. Зафиксировано отступание верхней стенки отрыва оползня вглубь склона на 1 м. Негативное воздействие заключается в вывалах оползневых масс на полотно дороги на протяжении 70 м, для уборки которых привлекается тяжелая техника. Состав горных пород, затронутых проявлением: аллювиальные пески, галечники и бурые глины. Основные факторы активизации: гидрометеорологический, техногенный.		–

1	2	3	4	5	6	7	8	9	10	11	12	13	14	15	16
19.2022.0003	Сибирский	Республика Хакасия	Алтайский район, правый борт участка автодороги Р-257, 430 км, в районе моста «Братский»	53,62535	91,54790	53,62598	91,54769	00.04.22	00.07.22	Оп	Атм., техн.	Отмечалось	В Алтайском районе, вдоль правого склона участка автодороги Р-257 Абакан-Кызыл, 430 км (пункт наблюдений участок автодороги Р-257, Братский мост) наблюдалась активизация оползневого процесса. При проведении обследования отмечалось отступание верхней стенки отрыва на юго-западной окраине оползня вглубь склона на 0,5 м, увеличение высоты стенки отрыва – до 3-3,5 м. На северо-восточной окраине оползня зафиксирован новый оползший блок, площадью около 20 м². Негативное воздействие опасного ЭГП заключается в вывалах оползневых масс на полотно дороги, на протяжении 190 м, для уборки которых привлекается тяжелая техника. Состав горных пород, затронутых проявлением: аллювиальные пески, галечники и бурые глины. Основные факторы активизации: гидрометеорологический, техногенный.		–
19.2022.0004	Сибирский	Республика Хакасия	Алтайский район, правый борт участка автодороги Р-257, 430 км, в районе моста «Братский»	53,62394	91,54536	53,62456	91,54515	00.04.22	00.07.22	Оп	Атм., техн.	Отмечалось	В Алтайском районе, вдоль правого склона участка автодороги Р-257 Абакан-Кызыл, 430 км (пункт наблюдений участок автодороги Р-257, Братский мост) наблюдалась активизация оползневого процесса. При проведении обследования отмечалось отступание верхней стенки отрыва на северо-восточной окраине на 2 м, а также образование новых трещин отрыва, глубиной 0,5-1 м, и длиной – до 10 м. Негативное воздействие заключается в вывалах оползневых масс на полотно дороги на протяжении 120 м. Состав горных пород, затронутых проявлением: аллювиальные пески, галечники и бурые глины. Основные факторы активизации: гидрометеорологический, техногенный.		–
19.2022.0005	Сибирский	Республика Хакасия	Алтайский район, правый борт участка автодороги Р-257, 430 км, в районе моста «Братский»	53,62323	91,54388	53,62386	91,54367	00.04.22	00.07.22	Оп	Атм., техн.	Отмечалось	В Алтайском районе, вдоль правого склона участка автодороги Р-257 Абакан-Кызыл, 430 км (пункт наблюдений участок автодороги Р-257, Братский мост) наблюдалась активизация оползневого процесса. При проведении обследования отмечалось увеличение ширины оползня вдоль склона на 3 м, отступания верхней стенки отрыва вглубь склона – на 1,5 м. Негативное воздействие заключается в вывалах оползневых масс на полотно дороги, на протяжении 35 м. Состав горных пород, затронутых проявлением: аллювиальные пески, галечники и бурые глины. Основные факторы активизации: гидрометеорологический, техногенный.		–
19.2022.0006	Сибирский	Республика Хакасия	Алтайский район, правый борт участка автодороги Р-257, 430 км, в районе моста «Братский»	53,62354	91,54406	53,62417	91,54385	00.04.22	00.07.22	Оп	Атм., техн.	Отмечалось	В Алтайском районе, вдоль правого склона участка автодороги Р-257 Абакан-Кызыл, 430 км (пункт наблюдений участок автодороги Р-257, Братский мост) наблюдалась активизация оползневого процесса. При проведении обследования отмечалось увеличение протяженности оползня (по подошве) на 15 м. Негативное воздействие заключается в вывалах оползневых масс на полотно дороги, на протяжении 55 м. Состав горных пород, затронутых проявлением: аллювиальные пески, галечники и бурые глины. Основные факторы активизации: гидрометеорологический, техногенный.		–
19.2022.0007	Сибирский	Республика Хакасия	Алтайский район, южная окраина с. Подсинее, участок автодороги Абакан – Подсинее, 8 км в районе ж/д моста через р. Енисей	53,65330	91,54016	53,65267	91,54037	00.04.22	00.07.22	Оп	Атм., техн.	Не отмечалось	На участке автодороги Абакан-Подсинее, 8 км в Алтайском районе, вдоль южной окраины с. Подсинее (пункт наблюдений участок автодороги Абакан-Подсинее, 8 км) отмечалась активизация оползневого процесса. При проведении обследования зафиксировано смещение нивелировочных вешек и опоры ЛЭП в северной части склона, что свидетельствует о более активных оползневых (горизонтальных) смещениях в этой части участка. При дальнейшей активизации существует потенциальная угроза обрушения опоры ЛЭП. Состав горных пород, затронутых проявлением: пески, супесь, гравийно-галечниковые аллювиальные отложения. Основные факторы активизации: гидрометеорологический, техногенный.		

1	2	3	4	5	6	7	8	9	10	11	12	13	14	15	16
19.2022.0008	Сибирский	Республика Хакасия	Аскизский район, участок автодороги А-161 Абакан – Ак-Довурак, 135 км, в 1 км к юго-западу от д. Нижняя Тёя	52,92531	90,03965	52,92471	90,03991	00.04.22	00.08.22	Эо	Атм.	Не отмечалось	В 1 км к юго-западу от д. Нижняя Тёя, Аскизского района, вдоль автодороги А-161 Абакан-Ак-Довурак, 135 км по обе стороны дороги развивается овраг. Развитие оврага, обусловлено площадным стоком талых и дождевых вод идущих со склонов холмов (отроги Абаканского хребта), а также концентрацией талых и дождевых вод водоотводящей трубой под полотном автодороги. Овраг представляет собой каскад промоин и участков переуглубления русла. Параметры проявления опасного ЭГП: длина – 2102 м, глубина – от 0,5 до 1,5 м, ширина – от 2 до 10 м. Состав горных пород, затронутых проявлением: аллювиальные пески и гравийно-галечные отложения, перекрытые с поверхности лессовидными суглинками. Факторы активизации – интенсивность снеготаяния и осадки весенне-летнего периода.		Плановое обследование
19.2022.0009	Сибирский	Республика Хакасия	Аскизский район, в 1,3 км к юго-западу от д. Нижняя Тёя	52,91387	90,03799	52,91326	90,03825	00.04.22	00.08.22	Эо	Атм.	Не отмечалось	В 1,3 км к юго-западу от д. Нижняя Тёя, Аскизского района, отмечалась активизация процесса овражной эрозии на территории частных землель сельскохозяйственного назначения. Параметры проявления опасного ЭГП: длина – 2605 м, глубина – от 1 до 4 м, ширина – от 2 до 10 м. Относительно обследования 2019 г. зафиксировано отступание правой вершины оврага на 5-6 м, отступание вершин отвершков – на 1-4 м, а также образование новых отвершков. Состав горных пород, затронутых проявлением: аллювиальные пески и гравийно-галечные отложения, перекрытые с поверхности лессовидными суглинками. Факторы активизации – интенсивность снеготаяния и осадки весенне-летнего периода.		Плановое обследование
24.2022.0001	Сибирский	Красноярский край	Минусинский район, г. Минусинск	53,69981	91,71890	53,70044	91,71870	00.01.22	30.09.22	Пт	Гидрогеол., атм.	Отмечалось	В г. Минусинск, Минусинского района (пункт наблюдений Минусинск) отмечалась активизация процесса подтопления. Подтопленными остаются жилые дома частного сектора, приусадебные участки (85 подворий) в мкр. Дружба (Цыганское болото). Состав горных пород, затронутых проявлением: четвертичные пески, супеси с низкими фильтрационными свойствами, подстилаемые водоупорными глинистыми отложениями. Основные факторы активизации: гидрометеорологический, гидрогеологический.	-	–
24.2022.0007	Сибирский	Красноярский край	Балахтинский район, правый склон долины р. Чулым в 9 км ниже по течению от пгт. Балахта	55,46844	91,61189	55,46910	91,61166	00.04.22	00.09.22	Оп	Атм., гидрол.	Не отмечалось	На правом склоне долины р. Чулым, в 9 км ниже по течению от пгт. Балахта Балахтинского района (пункт наблюдений Малосырский) наблюдалась активизация оползневого процесса. Базис развития процесса – р. Чулым. Состав горных пород, затронутых проявлением: четвертичные суглинки, супеси, иловатые пески, подстилаемые юрскими пластичными глинами. Факторы активизации - осадки весенне-летних месяцев и подъем уровня р. Чулым во время паводка, что привело к подмыву основания оползневого склона.	–	–
24.2022.0008	Сибирский	Красноярский край	Балахтинский район, правый склон долины р. Чулым в 10 км ниже по течению от пгт. Балахта	55,47316	91,61100	55,47382	91,61077	00.04.22	00.09.22	Оп	Атм., гидрол.	Не отмечалось	На правом склоне долины р. Чулым, в 10 км ниже по течению от пгт. Балахта Балахтинского района (пункт наблюдений Малосырский) наблюдалась активизация оползневого процесса. При проведении обследования зафиксированы вертикальные смещения оползневых реперов на 6-145 мм. Базис развития процесса – р. Чулым. Состав горных пород, затронутых проявлением: четвертичные суглинки, супеси, иловатые пески, подстилаемые юрскими пластичными глинами. Факторы активизации - осадки весенне-летних месяцев и подъем уровня р. Чулым во время паводка, что привело к подмыву основания оползневого склона.	–	–

1	2	3	4	5	6	7	8	9	10	11	12	13	14	15	16
24.2022.0009	Сибирский	Красноярский край	Балахтинский район, юго-западная окраина п. Приморск	55,19590	91,87699	55,19524	91,87720	00.04.22	00.07.22	Эо	Атм.	Не отмечалось	В Балахтинском районе, на юго-западной окраине п. Приморск (пункт наблюдений Приморск) в правом борту залива наблюдалась активизация процесса овражной эрозии. Параметры проявления опасного ЭГП: длина – 15 м, ширина – от 6,5 до 20 м, глубина – от 2 до 4,5 м. Состав горных пород, затронутых проявлением: делювиально-пролювиальные лессовидные суглинки и супеси четвертичного возраста. Факторы активизации – атмосферные осадки, снеготаяние.		–
24.2022.0010	Сибирский	Красноярский край	Балахтинский район, юго-западная окраина п. Приморск	55,19752	91,87637	55,19686	91,87658	00.04.22	00.07.22	Эо	Атм.	Не отмечалось	В Балахтинском районе, на юго-западной окраине п. Приморск (пункт наблюдений Приморск) в правом борту залива наблюдалась активизация процесса овражной эрозии. Параметры проявления опасного ЭГП: длина – 20,5 м, ширина – от 3 до 11 м, ориентировочная глубина оврага – 5-5,5 м. Состав горных пород, затронутых проявлением: делювиально-пролювиальные лессовидные суглинки и супеси четвертичного возраста. Факторы активизации – атмосферные осадки, снеготаяние.		
24.2022.0011	Сибирский	Красноярский край	Емельяновский район, участок автодороги Р-255, 29 км	56,13560	93,10339	56,13491	93,10357	00.04.22	00.09.22	Эо	Техн., атм.	Отмечалось	В Емельяновском районе, вдоль трассы федерального значения Р-255 «Сибирь», на 29 км (пункт наблюдений участок автодороги Р-255, 29 км) зафиксирована активизация процесса овражной эрозии. При проведении обследования фиксировалось увеличение ширины оврага в вершине на 5 м и отступание вершины оврага на 4 м, что привело к обрушению секции водоотводящего лотка. На всем протяжении оврага отмечается значительное расширение и углубление русла. Состав горных пород, затронутых проявлением: аллювиальные отложения (супеси и суглинки с щебнем и галькой). Факторы активизации: техногенный – концентрация стока талых и дождевых вод; метеорологический - осадки весенне-летнего периода.		–
24.2022.0012	Сибирский	Красноярский край	Емельяновский район, п. Памяти 13-ти Борцов, левый берег р. Кача	56,22169	92,33402	56,22238	92,33381	00.04.22	00.09.22	Оп	Атм., гидрол.	Не отмечалось	В Емельяновском районе, на левом берегу р. Кача, в северо-восточной части п. Памяти 13 Борцов (пункт наблюдений Стеклозавод) отмечалась активизация оползневого процесса. Вертикальные смещения реперов составили 4-249 мм. Базисом развития процесса является р. Кача. Состав горных пород, затронутых проявлением: суглинки и супеси с щебнем, галькой и дресвой нижнечетвертичного возраста, подстилаемые корой выветривания среднеюрских отложений (глины, алевролиты, аргиллиты). Факторами активизации являются осадки весенне-летних месяцев и высокие уровни р. Кача во время весеннего паводка, что привело к подмыву основания оползневого склона.		–

1	2	3	4	5	6	7	8	9	10	11	12	13	14	15	16
24.2022.0013	Сибирский	Красноярский край	Канский район, правый борт долины р. Кан, в 0,5 км к западу от с. Анцирь	56,26141	95,49105	56,26211	95,49097	00.04.22	00.08.22	Эо	Атм.	Не отмечалось	В Канском районе, в 0,5 км к западу от с. Анцирь (пункт наблюдений участок автодороги Анцирь-Хаерино) на правом берегу р. Кан зафиксирована активизация процесса овражной эрозии. Отступание вершины оврага составило 1 м. Кроме того, наблюдались свежие обрушения бортов оврага. Состав горных пород, затронутых проявлением: аллювиальные пески, супеси и суглинки. Основной фактор активизации – гидрометеорологический.		–
24.2022.0014	Сибирский	Красноярский край	Канский район, правый борт долины р. Кан, в 0,5 км к западу от с. Анцирь	56,26303	95,49132	56,26373	95,49124	00.04.22	00.08.22	Эо	Атм.	Не отмечалось	В Канском районе в 0,5 км к западу от с. Анцирь (пункт наблюдений участок автодороги Анцирь-Хаерино), на правом берегу р. Кан зафиксирована активизация процесса овражной эрозии. Отступание вершины оврага составило 1,5 м. Состав горных пород, затронутых проявлением: аллювиальные пески, супеси и суглинки. Основной фактор активизации – гидрометеорологический.		–
24.2022.0015	Сибирский	Красноярский край	Краснотуранский район, в 0,25 км северо-восточнее окраины с. Краснотуранск	54,32600	91,57382	54,32664	91,57361	00.04.22	00.07.22	Эо	Атм.	Не отмечалось	В Краснотуранском районе, в 0,25 км северо-восточнее с. Краснотуранск (пункт наблюдений Краснотуранск), отмечалась активизация процесса овражной эрозии. При проведении обследования было зафиксировано отступание вершины на 1,2 м. Состав горных пород, затронутых проявлением: делювиально-пролювиальные лессовидные суглинки и супеси четвертичного возраста. Основным фактором активизации являются осадки весенне-летнего периода.		–
24.2022.0016	Сибирский	Красноярский край	Краснотуранский район, в 2 км к западу от д. Уза, участок автодороги Минусинск-Беллык, 98 км	54,43105	91,57066	54,43169	91,57044	00.04.22	00.07.22	Эо	Техн., атм.	Отмечалось	В Краснотуранском районе, в 2 км к западу от д. Уза (пункт наблюдений участок автодороги Минусинск – Беллык, 98 км), зафиксирована активизация процесса овражной эрозии. Развитие оврага «Левый», происходит за счет образования новых отвершков по левому борту оврага, что приводит к выводу из оборота около 28 м² земель сельскохозяйственного назначения. Состав горных пород, затронутых проявлением: делювиально-пролювиальные лессовидные суглинки и супеси четвертичного возраста. Факторы активизации – концентрация стока талых и дождевых вод при прокладке водопропускной трубы под полотном дороги и осадки весенне-летнего периода.		
24.2022.0017	Сибирский	Красноярский край	Краснотуранский район, в 2 км к западу от д. Уза, участок автодороги Минусинск-Беллык, 98 км	54,43110	91,57566	54,43175	91,57545	00.04.22	00.07.22	Эо	Атм.	Не отмечалось	В Краснотуранском районе, в 2 км к западу от д. Уза (пункт наблюдений участок автодороги Минусинск – Беллык, 98 км), отмечалась активизация процесса овражной эрозии на землях сельскохозяйственного назначения. При проведении обследования зафиксировано отступание вершины оврага «Центральный» на 1 м, вершины правого отвершка – на 0,2 м. Состав горных пород, затронутых проявлением: делювиально-пролювиальные лессовидные суглинки и супеси четвертичного возраста. Факторы активизации - осадки весенне-летнего периода.		–

1	2	3	4	5	6	7	8	9	10	11	12	13	14	15	16
24.2022.0018	Сибирский	Красноярский край	Краснотуранский район, в 2 км к западу от д. Уза, участок автодороги Минусинск-Беллык, 98 км	54,43290	91,58482	54,43355	91,58460	00.04.22	00.07.22	Эо	Атм.	Отмечалось	В Краснотуранском районе, в 2 км к западу от д. Уза (пункт наблюдений участок автодороги Минусинск – Беллык, 98 км), отмечалась активизация процесса овражной эрозии на землях сельскохозяйственного назначения. По линии стока оврага «Центральный» развивается активный овраг «Основной». Зафиксировано отступание вершины «Основного» оврага на 1 м, вершины отвершка в привершинной части – на 3 м. Базисом эрозии является р. Камышта. Процессы овражной эрозии развиваются в делювиально-пролювиальных лессовидных суглинках и супесях четвертичного возраста Состав горных пород, затронутых проявлением: делювиально-пролювиальные лессовидные суглинки и супеси четвертичного возраста. Факторы активизации - осадки весенне-летнего периода. Негативное воздействие заключается в выводе из оборота земель сельскохозяйственного назначения, площадью около 40 м².		–
24.2022.0019	Сибирский	Красноярский край	Краснотуранский район, в 2,8 км к северо-западу от д. Белоярск, вдоль участка автодороги Минусинск – Беллык, 93 км	54,41206	91,65978	54,41270	91,65957	00.04.22	00.07.22	Эо	Атм.	Отмечалось	В Краснотуранском районе, в 2,8 км к северо-западу от д. Белоярск, (пункт наблюдений участок автодороги Минусинск - Беллык, 93 км) отмечалась активизация процесса овражной эрозии. Вершина оврага укреплена крупнообломочным материалом, что препятствует ее росту, в следствие чего активизация процесса заключается в интенсивном обрушении бортов оврага, что ведет к увеличению размеров оврага и выводу из оборота земель сельскохозяйственного назначения. Состав горных пород, затронутых проявлением: делювиально-пролювиальные лессовидные суглинки и супеси четвертичного возраста. Факторы активизации - осадки весенне-летнего периода. Негативное воздействие заключается в выводе из оборота земель сельскохозяйственного назначения, площадью около 50 м².		–
24.2022.0020	Сибирский	Красноярский край	Краснотуранский район, в 5,5 км к северо-востоку от д. Листвягово	54,00242	91,73105	54,00305	91,73085	00.04.22	00.07.22	Эо	Атм.	Не отмечалось	В 5,5 км к северо-востоку от д. Листвягово, Краснотуранского района (пункт наблюдений с/х угодья Краснотуранского района), отмечалась активизация процесса овражной эрозии. Протяженность оврага составляет около 1103 м. Овраг имеет три вершины. Отступание зафиксировано в пределах 2-х вершин на 1-3 м. Отмечался рост отвершка в привершинной части на 3-3,5 м. По бортам оврага, на всем его протяжении, наблюдалось большое количество оползающих или обрушившихся участков, площадью от 25 до 420 м². Базисом эрозии является овраг, расположенный ниже по линии стока. Состав горных пород, затронутых проявлением: делювиально-пролювиальные лессовидные суглинки и супеси четвертичного возраста. Факторы активизации – осадки весенне-летнего периода.		–
24.2022.0021	Сибирский	Красноярский край	Краснотуранский район, в 5,5 км к северо-востоку от д. Листвягово	53,99948	91,73916	54,00011	91,73896	00.04.22	00.07.22	Эо	Атм.	Не отмечалось	В 5,5 км к северо-востоку от д. Листвягово, Краснотуранского района (пункт наблюдений с/х угодья Краснотуранского района), наблюдалась активизация процесса овражной эрозии. Общая протяженность оврага – около 600 м. Зафиксированы значительные обрушения в бортах оврага и переуглубление русла в устьевой части, на протяжении 100 м. Состав горных пород, затронутых проявлением: делювиально-пролювиальные лессовидные суглинки и супеси четвертичного возраста. Факторы активизации – осадки весенне-летнего периода.		–

1	2	3	4	5	6	7	8	9	10	11	12	13	14	15	16
24.2022.0022	Сибирский	Красноярский край	Курагинский район, в 6,5 км к юго-востоку от с. Шалоболино	53,92436	92,38984	53,92373	92,39002	00.04.22	00.07.22	Эо	Атм.	Отмечалось	В 6,5 км к юго-востоку от с. Шалоболино, Курагинского района, на с/х угодьях ОПХ Курагинское зафиксирована активизация процесса овражной эрозии. Овраг № 1 состоит из 2-х русел с общим устьем. Параметры проявления опасного ЭГП: длина – около 312 м, глубина – от 3 до 8 м, в устьевой части оврага глубина уменьшается до 0,5 м, ширина оврага изменяется от 2 до 50 м. Поперечный профиль оврага V-образный. В результате активизации процесса негативному воздействию подверглись земли сельскохозяйственного назначения, что привело к выводу из оборота около 45-50 м² с/х угодий. Состав горных пород, затронутых проявлением: лессовидные супеси и суглинки. Факторы активизации – осадки весенне-летнего периода.		Плановое обследование
24.2022.0023	Сибирский	Красноярский край	Курагинский район, в 6,5 км к юго-востоку от с. Шалоболино	53,92376	92,38920	53,92313	92,38938	00.04.22	00.07.22	Эо	Атм.	Не отмечалось	В 6,5 км к юго-востоку от с. Шалоболино, Курагинского района, на с/х угодьях ОПХ Курагинское зафиксирована активизация процесса овражной эрозии (овраг № 3). Овраг имеет две вершины. Параметры проявления опасного ЭГП: глубина – от 1,5 до 6 м, ширина оврага изменяется от 3 до 10 м, протяженность – около 150 м. Состав горных пород, затронутых проявлением: лессовидные супеси и суглинки. Факторы активизации – осадки весенне-летнего периода.		Плановое обследование
24.2022.0024	Сибирский	Красноярский край	Курагинский район, в 8,2 км к юго-востоку от с. Шалоболино	53,91005	92,40731	53,90942	92,40749	00.04.22	00.07.22	Эо	Атм.	Отмечалось	В 8,2 км к юго-востоку от с. Шалоболино, Курагинского района, на с/х угодьях ОПХ Курагинское зафиксирована активизация процесса овражной эрозии (овраг № 4). На с/х угодьях развивается каскад промоин и оврагов, расположенных по одной линии стока. Параметры проявления опасного ЭГП: общая протяженность каскада – 660 м, глубина – от 3 до 10 м, ширина – от 5 до 12,5 м. В результате активизации процесса негативному воздействию подверглись земли сельскохозяйственного назначения, что привело к выводу из оборота около 20 м² с/х угодий. Состав горных пород, затронутых проявлением: лессовидные супеси и суглинки. Факторы активизации – осадки весенне-летнего периода.		Плановое обследование
24.2022.0025	Сибирский	Красноярский край	Курагинский район, в 8,2 км к юго-востоку от с. Шалоболино	53,90788	92,40532	53,90725	92,40550	00.04.22	00.07.22	Эо	Атм.	Отмечалось	В 8,2 км к юго-востоку от с. Шалоболино, Курагинского района, на с/х угодьях ОПХ Курагинское зафиксирована активизация процесса овражной эрозии (овраг № 5). Параметры проявления опасного ЭГП: длина – 65 м, глубина – от 0,5 до 2,5 м, ширина – от 1,2 до 5,5 м. В результате активизации процесса негативному воздействию подверглись земли сельскохозяйственного назначения, что привело к выводу из оборота около 40 м² с/х угодий. Состав горных пород, затронутых проявлением: лессовидные супеси и суглинки. Факторы активизации – осадки весенне-летнего периода.		Плановое обследование

1	2	3	4	5	6	7	8	9	10	11	12	13	14	15	16
24.2022.0026	Сибирский	Красноярский край	Курагинский район, в 8,2 км к юго-востоку от с. Шалоболино	53,90853	92,40582	53,90790	92,40600	00.04.22	00.07.22	Эо	Атм.	Отмечалось	В 8,2 км к юго-востоку от с. Шалоболино, Курагинского района, на с/х угодьях ОПХ Курагинское зафиксирована активизация процесса овражной эрозии (овраг № 6). Параметры проявления опасного ЭГП: длина – 60,5 м, глубина – от 0,5 до 1 м, ширина – от 0,5 до 1,8 м. В результате активизации процесса негативному воздействию подверглись земли сельскохозяйственного назначения, что привело к выводу из оборота около 10 м² с/х угодий. Состав горных пород, затронутых проявлением: лессовидные супеси и суглинки. Факторы активизации – осадки весенне-летнего периода.		Плановое обследование
24.2022.0027	Сибирский	Красноярский край	Курагинский район, в 8,2 км к юго-востоку от с. Шалоболино	53,90885	92,40655	53,90822	92,40673	00.04.22	00.07.22	Эо	Атм.	Отмечалось	В 8,2 км к юго-востоку от с. Шалоболино, Курагинского района, на с/х угодьях ОПХ Курагинское зафиксирована активизация процесса овражной эрозии (овраг № 7). Параметры проявления опасного ЭГП: длина – 96 м, глубина – от 0,5 до 0,7 м, ширина – от 0,5 до 6 м. В результате активизации процесса негативному воздействию подверглись земли сельскохозяйственного назначения, что привело к выводу из оборота около 10 м² с/х угодий. Состав горных пород, затронутых проявлением: лессовидные супеси и суглинки. Факторы активизации – осадки весенне-летнего периода.		Плановое обследование
24.2022.0028	Сибирский	Красноярский край	Курагинский район, в 8,2 км к юго-востоку от с. Шалоболино	53,90876	92,40680	53,90813	92,40698	00.04.22	00.07.22	Эо	Атм.	Отмечалось	В 8,2 км к юго-востоку от с. Шалоболино, Курагинского района, на с/х угодьях ОПХ Курагинское зафиксирована активизация процесса овражной эрозии (овраг № 8). Параметры проявления опасного ЭГП: длина – 104 м, глубина – от 0,6 до 1,2 м, ширина – от 1,8 до 6,6 м. В результате активизации процесса негативному воздействию подверглись земли сельскохозяйственного назначения, что привело к выводу из оборота около 15 м² с/х угодий. Состав горных пород, затронутых проявлением: лессовидные супеси и суглинки. Факторы активизации – осадки весенне-летнего периода.		Плановое обследование
24.2022.0029	Сибирский	Красноярский край	Курагинский район, в 8,2 км к юго-востоку от с. Шалоболино	53,90885	92,40765	53,90822	92,40783	00.04.22	00.07.22	Эо	Атм.	Отмечалось	В 8,2 км к юго-востоку от с. Шалоболино, Курагинского района, на с/х угодьях ОПХ Курагинское зафиксирована активизация процесса овражной эрозии (овраг № 9). Параметры проявления опасного ЭГП: длина – 98 м, глубина – от 0,5 до 4 м, ширина – от 1 до 6,5 м. В результате активизации процесса негативному воздействию подверглись земли сельскохозяйственного назначения, что привело к выводу из оборота около 20 м² с/х угодий. Состав горных пород, затронутых проявлением: лессовидные супеси и суглинки. Факторы активизации – осадки весенне-летнего периода.		Плановое обследование
24.2022.0030	Сибирский	Красноярский край	Курагинский район, в 8,2 км к юго-востоку от с. Шалоболино	53,90789	92,40755	53,90726	92,40773	00.04.22	00.07.22	Эо	Атм.	Не отмечалось	В 8,2 км к юго-востоку от с. Шалоболино, Курагинского района, на с/х угодьях ОПХ Курагинское зафиксирована активизация процесса овражной эрозии (овраг № 10). Параметры проявления опасного ЭГП: длина – 273 м, глубина – от 0,3 до 2,5 м, ширина – от 1 до 3,7 м. Состав горных пород, затронутых проявлением: лессовидные супеси и суглинки. Факторы активизации – осадки весенне-летнего периода.		Плановое обследование

1	2	3	4	5	6	7	8	9	10	11	12	13	14	15	16
24.2022.0031	Сибирский	Красноярский край	Курагинский район, в 8,2 км к юго-востоку от с. Шалоболино	53,90807	92,40804	53,90744	92,40822	00.04.22	18.07.22	Эо	Атм.	Не отмечалось	В 8,2 км к юго-востоку от с. Шалоболино, Курагинского района, на с/х угодьях ОПХ Курагинское зафиксирована активизация процесса овражной эрозии (овраг № 11). Параметры проявления опасного ЭГП: длина – 396 м, глубина – от 0,5 до 1,7 м, ширина – от 0,5 до 3,5 м. Состав горных пород, затронутых проявлением: лессовидные супеси и суглинки. Факторы активизации – осадки весенне-летнего периода.		Плановое обследование
24.2022.0032	Сибирский	Красноярский край	Курагинский район, в 2,2 км к северо-востоку от с. Пойлово	53,86660	92,48836	53,86597	92,48854	00.04.22	18.07.22	Эо	Атм., техн.	Не отмечалось	В 22,2 км к северо-востоку от с. Пойлово, Курагинского района, на с/х угодьях ОПХ Курагинское наблюдалась активизация процесса овражной эрозии (овраг № 12). Развитие оврага начинается от водопропускной трубы на 9 км автодороги 04К-026 Курагино-Шалоболино. Параметры проявления опасного ЭГП: длина – 420 м, глубина – от 1 до 6 м, ширина – от 6 до 18 м. Базисом развития процесса является лог Иванов. Состав горных пород, затронутых проявлением: лессовидные супеси и суглинки. Факторы активизации – осадки весенне-летнего периода.		Плановое обследование
24.2022.0033	Сибирский	Красноярский край	Минусинский район, восточная окраина п. Пригородный	53,54396	92,03157	53,54459	92,03138	00.04.22	00.07.22	Эо	Атм.	Не отмечалось	В Минусинском районе, вдоль восточной окраины п. Пригородный (пункт наблюдений Пригородный) отмечена активизация процесса овражной эрозии. Вершина оврага, развивающаяся по логу Восточный, продвинулась на 3,5 м. Базисом развития процесса овражной эрозии на участке является р. Лугавка. Состав горных пород, затронутых проявлением: лессовидные супеси и суглинки. Факторы активизации – осадки весенне-летнего периода.		–
24.2022.0034	Сибирский	Красноярский край	Минусинский район, восточная окраина п. Суходол	53,78186	91,78279	53,78123	91,78299	00.04.22	00.07.22	Эо	Атм.	Не отмечалось	На восточной окраине п. Суходол, Минусинского района (пункт наблюдений Суходол) наблюдалась активизация процесса овражной эрозии. Овраг здесь развивается по руслу пересыхающего руч. Харасуг. Отступание вершины оврага составило 2,5 м. В левом борту в привершинной части отмечено развитие активного отвершка, отступание вершины которого составило 1 м. В средней части оврага развивается большое количество отвершков. Зафиксировано образование 2-х новых отвершков 2 порядка, протяженностью 7,3 и 8,2 м, ширина отвершков – 3-3,6 м, глубина – от 2 до 3 м. Базисом развития процесса является р. Минусинка. В зоне потенциального воздействия находятся опоры ЛЭП. Состав горных пород, затронутых проявлением: лессовидные супеси и суглинки. Факторы активизации – осадки весенне-летнего периода.		–

1	2	3	4	5	6	7	8	9	10	11	12	13	14	15	16
24.2022.0035	Сибирский	Красноярский край	Минусинский район, в 5 км к северу от д. Быстрая, лог Зубаревский	53,77000	91,61778	53,77063	91,61757	00.04.22	00.07.22	Эо	Атм.	Не отмечалось	В 5 км к северу от д. Быстрая, Минусинского района (пункт наблюдений Зубаревский) отмечалась активизация процесса овражной эрозии. Овраг развивается по Зубаревскому логу (овраг № 1). При проведении обследования зафиксировано отступание в вершине отвершка на 1,9 м. Базисом развития процесса является р. Быстрая. Состав горных пород, затронутых проявлением: аллювиальные глинистые пески и суглинки. Факторы активизации – осадки весенне-летнего периода.		–
24.2022.0036	Сибирский	Красноярский край	Минусинский район, в 3,5 км к северо-востоку от д. Быстрая	53,75436	91,62279	53,75499	91,62258	00.04.22	00.07.22	Эо	Атм.	Не отмечалось	В 3,5 км к северо-востоку от д. Быстрая, Минусинского района (пункт наблюдений Зубаревский) отмечалась активизация процесса овражной эрозии на заброшенных с/х угодьях (овраг № 2). Овраг имеет ступенчатый профиль и представляет собой каскад из шести участков переуглубления русла, глубиной от 0,5 до 7 м, шириной – от 1,2 до 10 м. Активизация процесса наблюдалась в центральной части русла, где зафиксировано увеличение протяженности переуглубленных участков на 0,5-1 м. Базисом развития процесса является лог Зубаревский. Состав горных пород, затронутых проявлением: аллювиальные глинистые пески и суглинки. Факторы активизации – осадки весенне-летнего периода.		–
24.2022.0037	Сибирский	Красноярский край	Минусинский район, с. Новотроицкое, южная окраина	53,85629	91,80259	53,85692	91,80239	00.04.22	00.07.22	Эо	Атм.	Не отмечалось	На южной окраине с. Новотроицкое, Минусинского района (пункт наблюдений Новотроицкое) зафиксирована активизация процесса овражной эрозии, которая выражалась в отступании вершины оврага на 1,5 м, отступании вершин уже существующих отвершков на 1 м, а также образовании новых отвершков, длиной 6 и 6,5 м, Базисом эрозии является р. Мокрая Бедра. Состав горных пород, затронутых проявлением: делювиально-пролювиальные лессовидные супеси и суглинки. Факторы активизации – осадки весенне-летнего периода.		–
24.2022.0038	Сибирский	Красноярский край	Минусинский район, частные с/х угодья, в 6 км к востоку от п. Мал. Минуса	53,74465	91,90470	53,74528	91,90450	00.04.22	00.07.22	Эо	Атм.	Отмечалось	В Минусинском районе, в 6 км к востоку от п. Мал. Минуса (пункт наблюдений Спартак), на частных с/х угодьях зафиксирована активизация процесса овражной эрозии (в пределах оврага № 1). Отступание вершины составило 2 м, что привело к выводу из оборота около 10 м² с/х угодий. Базисом развития процесса является русло оврага № 2, развивающегося ниже по линии стока. Состав горных пород, затронутых проявлением: делювиально-пролювиальные лессовидные супеси и суглинки. Факторы активизации – осадки весенне-летнего периода.		–

1	2	3	4	5	6	7	8	9	10	11	12	13	14	15	16
24.2022.0039	Сибирский	Красноярский край	Минусинский район, в 6 км к востоку от п. Мал. Минуса	53,74425	91,90426	53,74488	91,90406	00.04.22	00.07.22	Эо	Атм.	Отмечалось	В Минусинском районе, в 6 км к востоку от п. Мал. Минуса (пункт наблюдений Спартак), на частных с/х угодьях зафиксирована активизация процесса овражной эрозии (в пределах оврага № 2). Отступание вершины составило 1 м. Отмечалось увеличение ширины оврага на 0,9-1 м, что привело к выводу из оборота около 3 м² с/х угодий. Базисом эрозии является русло оврага, развивающегося ниже по линии стока. Состав горных пород, затронутых проявлением: делювиально-пролювиальные лессовидные супеси и суглинки. Факторы активизации – осадки весенне-летнего периода.		–
24.2022.0040	Сибирский	Красноярский край	Минусинский район, в 6 км к востоку от п. Мал. Минуса	53,74370	91,90365	53,74433	91,90345	00.04.22	00.07.22	Эо	Атм.	Не отмечалось	В Минусинском районе, в 6 км к востоку от п. Мал. Минуса (пункт наблюдений Спартак) зафиксирована активизация процесса овражной эрозии (в пределах оврага № 3). Отступание вершины составило 1,5 м. Базисом развития процесса является русло оврага, развивающегося ниже по линии стока. Состав горных пород, затронутых проявлением: делювиально-пролювиальные лессовидные супеси и суглинки. Факторы активизации – осадки весенне-летнего периода.		–
24.2022.0041	Сибирский	Красноярский край	Новоселовский район, западная окраина п. Анаш	54,86629	91,04375	54,86564	91,04399	00.04.22	00.07.22	Эо	Атм.	Не отмечалось	В Новоселовском районе, на западной окраине п. Анаш (пункт наблюдений Анаш) отмечалась активизация процесса овражной эрозии. Здесь расположен древний лог. По правому его борту, в границах населенного пункта развиваются небольшие овраги, в зоне потенциального воздействия которых находятся жилые дома и приусадебные участки частного сектора. Вершины оврагов заваливаются бытовым мусором и с/х отходами. Активизация процесса овражной эрозии зафиксирована только в пределах оврага № 4. Отступание его вершины составило 1-1,2 м. Базисом развития процесса выступает безымянный лог и Красноярское водохранилище. Состав горных пород, затронутых проявлением: делювиальные супеси и суглинки. Факторы активизации – осадки весенне-летнего периода.		–
24.2022.0042	Сибирский	Красноярский край	Новоселовский район, в 3,5 км к западу от с. Новоселово, с/х угодья вдоль левой стороны автодороги Р-257, 242 км	55,00745	90,90916	55,00810	90,90891	00.04.22	00.07.22	Эо	Атм.	Не отмечалось	В Новоселовском районе, в 3,5 км к западу от с. Новоселово, вдоль левой стороны автодороги Р-257 (пункт наблюдений участок автодороги Р-257, 242 км) отмечалась активизация процесса овражной эрозии. Здесь происходит развитие оврага каскадного типа. Овраг «Левый» имеет две вершины, признаки активизации наблюдались только в пределах одной (отступание вершины составляло 0,5 м). Базисом развития процесса является лог Борозда. Состав горных пород, затронутых проявлением: делювиально-пролювиальные лессовидные суглинки, супеси. Факторы активизации – осадки весенне-летнего периода.		–

1	2	3	4	5	6	7	8	9	10	11	12	13	14	15	16
24.2022.0043	Сибирский	Красноярский край	Новоселовский район, в 3,5 км к западу от с. Новоселово, с/х угодья вдоль левой стороны автодороги Р-257, 242 км	55,00614	90,90344	55,00679	90,90319	00.04.22	00.07.22	Эо	Атм.	Не отмечалось	В Новоселовском районе, в 3,5 км к западу от с. Новоселово, вдоль левой стороны автодороги Р-257 (пункт наблюдений участок автодороги Р-257, 242 км) отмечалась активизация процесса овражной эрозии. Здесь происходит развитие оврага каскадного типа. В овраге «Правый» зафиксировано образование нового отвершка площадью около 3,3 м². Базисом развития процесса является лог Борозда. Состав горных пород, затронутых проявлением: делювиально-пролювиальные лессовидные суглинки, супеси. Факторы активизации – осадки весенне-летнего периода.		–
24.2022.0044	Сибирский	Красноярский край	Новоселовский район, юго-восточная окраина п. Куртак	55,14507	91,55332	55,14573	91,55309	00.04.22	00.07.22	ГР	Атм., гидрол.	Не отмечалось	В Новоселовском районе, на юго-восточной окраине п. Куртак (пункт наблюдений Куртак), на берегу Красноярского водохранилища наблюдалась активизация гравитационных процессов. Параметры проявления опасного ЭГП: длина – 620 м, высота – 15-20 м. Состав горных пород, затронутых проявлением: делювиально-пролювиальные лессовидные суглинки, супеси. Основные факторы активизации: осадки весенне-летних месяцев и уровенный режим водохранилища.		–
24.2022.0045	Сибирский	Красноярский край	Новоселовский район, юго-восточная окраина п. Куртак	55,14497	91,55230	55,14563	91,55207	00.04.22	00.07.22	Эо	Атм.	Не отмечалось	В Новоселовском районе, на юго-восточной окраине п. Куртак (пункт наблюдений Куртак), на берегу Красноярского водохранилища отмечалась активизация процесса овражной эрозии (овраг № 8). Отступание вершины составило 2,6 м. При проведении обследования наблюдались интенсивные обрушения в бортах. Состав горных пород, затронутых проявлением: делювиально-пролювиальные лессовидные суглинки, супеси. Факторы активизации – осадки весенне-летнего периода.		–
24.2022.0046	Сибирский	Красноярский край	Новоселовский район, юго-восточная окраина п. Куртак	55,14595	91,55556	55,14661	91,55533	00.04.22	00.07.22	Эо	Атм.	Не отмечалось	В Новоселовском районе, на юго-восточной окраине п. Куртак (пункт наблюдений Куртак), на берегу Красноярского водохранилища отмечалась активизация процесса овражной эрозии (овраг № 9). Отступание вершины составило 1,5 м. Борта оврага вертикальные. Состав горных пород, затронутых проявлением: делювиально-пролювиальные лессовидные суглинки, супеси. Факторы активизации – осадки весенне-летнего периода.		–
24.2022.0047	Сибирский	Красноярский край	Новоселовский район, юго-восточная окраина п. Куртак	55,14891	91,56204	55,14957	91,56181	00.04.22	00.07.22	Эо	Атм.	Не отмечалось	В Новоселовском районе, на юго-восточной окраине п. Куртак (пункт наблюдений Куртак), на берегу Красноярского водохранилища отмечалась активизация процесса овражной эрозии (овраг № 13). При проведении обследования наблюдалось отступание вершины оврага на 1 м, увеличение ширины оврага (в привершинной части) – на 0,7-1 м. Состав горных пород, затронутых проявлением: делювиально-пролювиальные лессовидные суглинки, супеси. Факторы активизации – осадки весенне-летнего периода.		–

1	2	3	4	5	6	7	8	9	10	11	12	13	14	15	16
24.2022.0048	Сибирский	Красноярский край	Новоселовский район, юго-восточная окраина п. Куртак	55,14534	91,55336	55,14600	91,55313	00.04.22	00.07.22	Су	Атм.	Не отмечалось	В Новоселовском районе, на юго-восточной окраине п. Куртак (пункт наблюдений Куртак), на берегу Красноярского водохранилища отмечалась активизация суффозионного процесса. При проведении обследования зафиксировано увеличение площади суффозионного провала на 2 м². Провал в плане неправильной формы: длина увеличилась до 5,4 м, ширина и глубина без изменений (4,1 м и 3 м соответственно). Состав горных пород, затронутых проявлением: делювиально-пролювиальные лессовидные суглинки, супеси. Факторы активизации – осадки весенне-летнего периода.		–
24.2022.0049	Сибирский	Красноярский край	Сухобузимский район, западная окраина с. Сухобузимское	56,49919	93,24016	56,49989	93,23982	00.04.22	00.07.22	Эо	Атм., техн.	Не отмечалось	В Сухобузимском районе, на западной окраине с. Сухобузимское (пункт наблюдений Сухобузимское) зафиксирована активизация процесса овражной эрозии. Овраг развивается по ложбинам стока, образованным концентрацией талых и дождевых вод водопропускной трубой под полотном дороги Красноярск-Сухобузимское. Отступание в вершинах оврага составило 0,5-1 м, отступание вершины отвершка – 1,2 м. Состав горных пород, затронутых проявлением: аллювиальные пески, супеси, суглинки с включением гальки. Основные факторы активизации - осадки весенне-летних месяцев, концентрация стока талых и ливневых вод водоотводящей трубой под полотном дороги.		
38.2022.0027	Сибирский	Иркутская область	Ольхонский район, о. Ольхон, побережье залива Сарайский оз. Байкал, в 0,78 км к северо-западу от д. Харанцы	53,21862	107,39247	53,21862	107,39247	00.05.22	00.09.22	Оп	Атм.	Не отмечалось	В 0,78 км к северо-западу от д. Харанцы, Ольхонского района (пункт наблюдений Сарайский) с мая 2022 г. на оползне № 1 отмечалась активизация оползневого процесса. Параметры проявления опасного ЭГП: длина – 5 м, ширина – 19 м. Литологический состав пород представлен суглинками. Фактор активизации процесса – выпадение большого количества (относительно нормы) атмосферных осадков при значениях температуры воздуха около нормы.		–
38.2022.0028	Сибирский	Иркутская область	Ольхонский район, о. Ольхон, побережье залива Сарайский оз. Байкал, в 0,76 км к северо-западу от д. Харанцы	53,21742	107,39247	53,21742	107,39246	00.05.22	00.09.22	Оп	Атм.	Не отмечалось	В 0,76 км к северо-западу от д. Харанцы, Ольхонского района (пункт наблюдений Сарайский) с мая 2022 г. на оползне №2 отмечалась активизация оползневого процесса. Параметры проявления опасного ЭГП: длина – 31 м, ширина – 54 м. Прирост площади проявления составил 0,000062 км². Литологический состав пород представлен суглинками. Фактор активизации процесса – выпадение большого количества (относительно нормы) атмосферных осадков при значениях температуры воздуха около нормы.		–
38.2022.0029	Сибирский	Иркутская область	Ольхонский район, о. Ольхон, побережье залива Сарайский оз. Байкал, в 0,76 км к северо-западу от д. Харанцы	53,21685	107,39403	53,21685	107,39402	00.05.22	00.09.22	Оп	Атм.	Не отмечалось	В 0,76 км к северо-западу от д. Харанцы, Ольхонского района (пункт наблюдений Сарайский) с мая 2022 г. на оползне №3 отмечалась активизация оползневого процесса. Параметры проявления опасного ЭГП: длина – 33 м, ширина – 55 м. Прирост площади проявления составил 0,000033 км². Литологический состав пород представлен суглинками. Фактор активизации процесса – выпадение большого количества (относительно нормы) атмосферных осадков при значениях температуры воздуха около нормы.		–

1	2	3	4	5	6	7	8	9	10	11	12	13	14	15	16
38.2022.0030	Сибирский	Иркутская область	Ольхонский район, о. Ольхон, побережье залива Сарайский оз. Байкал, в 0,73 км к северо-западу от д. Харанцы	53,21667	107,39333	53,21667	107,39332	00.05.22	00.09.22	Оп	Атм.	Не отмечалось	В 0,73 км к северо-западу от д. Харанцы, Ольхонского района (пункт наблюдений Сарайский) с мая 2022 г. на оползне №4 отмечалась активизация оползневого процесса. Параметры проявления опасного ЭГП: длина – 30,5 м, ширина – 54 м. Прирост площади проявления составил 0,000027 км². Литологический состав пород представлен суглинками. Фактор активизации процесса – выпадение большого количества (относительно нормы) атмосферных осадков при значениях температуры воздуха около нормы.		–
38.2022.0031	Сибирский	Иркутская область	Ольхонский район, о. Ольхон, побережье оз. Байкал, участок от мыса Харанцы до мыса Харалдой, в 0,5 км к северо-западу от д. Харанцы	53,23413	107,41953	53,23413	107,41952	00.05.22	00.09.22	Оп	Атм.	Не отмечалось	В 0,5 км к северо-западу от д. Харанцы, Ольхонского района (пункт наблюдений Харанцынский) с мая 2022 г. на оползне №1 отмечалась активизация оползневого процесса. Параметры проявления опасного ЭГП: длина – 20 м, ширина – 170 м. Прирост площади проявления составил 0,00268 км². Литологический состав пород представлен суглинками. Фактор активизации процесса – выпадение большого количества (относительно нормы) атмосферных осадков при значениях температуры воздуха около нормы.		–
38.2022.0032	Сибирский	Иркутская область	Ольхонский район, о. Ольхон, побережье оз. Байкал, участок от мыса Харанцы до мыса Харалдой, в 0,1 км к северу д. Харанцы	53,22993	107,42547	53,22993	107,42546	00.05.22	00.09.22	Оп	Атм.	Не отмечалось	В 0,1 км к северу д. Харанцы, Ольхонского района (пункт наблюдений Харанцынский) с мая 2022 г. на оползне №1 отмечалась активизация оползневого процесса. Параметры проявления опасного ЭГП: длина – 14 м, ширина – 350 м. Прирост площади проявления составил 0,00442 км². Литологический состав пород представлен суглинками. Фактор активизации процесса – выпадение большого количества (относительно нормы) атмосферных осадков при значениях температуры воздуха около нормы.		–
38.2022.0033	Сибирский	Иркутская область	Ольхонский район, о. Ольхон, д. Харанцы	53,21984	107,41661	53,21984	107,41661	00.05.22	00.08.22	Эа	Атм.	Отмечалось	На западном побережье о. Ольхон в д. Харанцы (пункт наблюдений Ольхон) с мая 2022 г. по ул. Намшеевой №№ 1, 1а, 2, 2а, 3, 4, 6, Совхозной №№ 1, 3, 5, Лесной №№ 1, 1а, 3 отмечалась активизация процесса эоловой аккумуляции. Свежие наносы песка на проезжие части улиц и придомовые территории выявлены на площади 0,006 км². Литологический состав пород представлен песками. Фактор активизации процесса – гидрометеорологический.		–
38.2022.0034	Сибирский	Иркутская область	Ольхонский район, о. Ольхон, д. Харанцы	53,22454	107,41514	53,22454	107,41514	00.05.22	00.08.22	Эа	Атм.	Отмечалось	На западном побережье о. Ольхон в д. Харанцы (пункт наблюдений Ольхон) по ул. Намшеевой, №№ 16, 24, 24а, 26, 27, 29, 31, 31а, Песчаной, №№4, 10 отмечалось развитие процесса эоловой аккумуляции. Свежие наносы песка на проезжей части улиц и придомовые территории выявлены на площади 0,0059 км². Литологический состав пород представлен песками. Фактор активизации процесса – гидрометеорологический.		–

1	2	3	4	5	6	7	8	9	10	11	12	13	14	15	16
38.2022.0035	Сибирский	Иркутская область	Ольхонский район, о. Ольхон, п. Хужир	53,19815	107,35231	53,19815	107,35231	00.05.22	00.08.22	Эа	Атм.	Отмечалось	На западном побережье о. Ольхон в п. Хужир (пункт наблюдений Ольхон) по ул. Ворошилова, Северной, Сарайской и Солнечной отмечалось развитие эоловой аккумуляции. Свежие наносы песка отмечаются на проезжих частях улиц, территориях 6 приусадебных участков и 2 баз отдыха, общей площадью 0,0085 км². Литологический состав пород представлен песками. Фактор активизации процесса – гидрометеорологический.		–
38.2022.0036	Сибирский	Иркутская область	Ольхонский район, о. Ольхон, п. Хужир	53,19165	107,33345	53,19165	107,33345	00.05.22	00.08.22	Эол	Атм.	Отмечалось	На западном побережье о. Ольхон в п. Хужир (пункт наблюдений Ольхон) отмечалась активизация эоловых процессов по ул. Береговой, Горького, Байкальской, Мира, пер. Пионерский. Вынос и аккумуляция песка отмечались на территории 2 приусадебных участков и арт отеля «Порт Ольхон», общей площадью – 0,01 км². Литологический состав пород представлен песками. Фактор активизации процесса – гидрометеорологический.		–
38.2022.0037	Сибирский	Иркутская область	Ольхонский район, о. Ольхон, п. Хужир	53,18331	107,31782	53,18331	107,31782	00.05.22	00.08.22	Эа	Атм.	Отмечалось	На западном побережье о. Ольхон в п. Хужир (пункт наблюдений Ольхон) по ул. Береговая наблюдалась активизация процесса эоловой аккумуляции. Наносы песка отмечаются на проезжей части, придомовых участках по ул. Береговая, №№ 20, 24, 26, 28, 39 и 6 административных зданий, общей площадью 0,021 км². Литологический состав пород представлен песками. Фактор активизации процесса – гидрометеорологический.		–
38.2022.0038	Сибирский	Иркутская область	Ольхонский район, о. Ольхон, в 0,15 км к востоку от д. Ялга	53,13871	107,19007	53,13871	107,19007	00.05.22	00.08.22	Де	Атм.	Отмечалось	На западном побережье о. Ольхон, в 0,15 км к востоку от д. Ялга на землях с/х назначения наблюдалась активизация процесса дефляции. При проведении обследования фиксировалось выдувание плодородного слоя с земель сельскохозяйственного назначения, площадью 0,016 км². Литологический состав пород представлен песками. Фактор активизации процесса – гидрометеорологический.		–
38.2022.0039	Сибирский	Иркутская область	Слюдянский район, участок дороги А-146 Иркутск-Монды, 8 км, в 2,9 км к северо-западу от п. Култук	51,73791	103,59538	51,73791	103,59536	00.05.22	Не завершилась	Эо	Атм., техн.	Отмечалось	В 2,9 км к северо-западу от п. Култук, на участке автодороги А-146 Иркутск-Монды (пункт наблюдений Быстринский) на землях лесного фонда с мая 2022 г. отмечалась активизация процесса овражной эрозии (овраг №1). Параметры проявления опасного ЭГП: длина – 42 м, ширина – 10,7 м, глубина – 4,53 м. Прирост вершины оврага составил 0,3 м, ширина увеличилась на 1,7 м, глубина уменьшилась на 0,67 м. В результате активизации процесса воздействию подверглись земли лесного фонда, площадью 0,000074 км². Состав горных пород, затронутых проявлением: лессовидные суглинки. Факторы активизации процесса – гидрометеорологический (выпадение большого количества (относительно нормы) атмосферных осадков при значениях температуры воздуха около нормы, и техногенный (нарушение стока атмосферных осадков).		–

1	2	3	4	5	6	7	8	9	10	11	12	13	14	15	16
38.2022.0040	Сибирский	Иркутская область	Слюдянский район, участок дороги А-146 Иркутск-Монды, 8 км, в 2,8 км к северо-западу от п. Култук	51,73798	103,59550	51,73798	103,59548	00.05.22	Не завершилась	Эо	Атм., техн.	Не отмечалось	В 2,8 км к северо-западу от п. Култук, на участке автодороги А-146 Иркутск-Монды (пункт наблюдений Быстринский) на землях лесного фонда с мая 2022 г. отмечалась активизация процесса овражной эрозии (овраг №2). Параметры проявления опасного ЭГП: длина – 10,2 м, ширина – 3,5 м и глубина – 0,9 м. Прирост вершины оврага составил 0,2 м, глубина уменьшилась на 0,4 м. Состав горных пород, затронутых проявлением: лессовидные суглинки. Факторы активизации процесса – гидрометеорологический (выпадение большого количества (относительно нормы) атмосферных осадков при значениях температуры воздуха около нормы, и техногенный (нарушение стока атмосферных осадков).		–
38.2022.0041	Сибирский	Иркутская область	Слюдянский район, участок дороги А-146 Иркутск-Монды, 8 км, в 3 км к северо-западу от п. Култук	51,73786	103,59436	51,77386	103,59435	00.05.22	Не завершилась	Эо	Атм., техн.	Не отмечалось	В 3 км к северо-западу от п. Култук, на участке автодороги А-146 Иркутск-Монды (пункт наблюдений Быстринский) на землях лесного фонда с мая 2022 г. отмечалась активизация процесса овражной эрозии (овраг №3). Параметры проявления опасного ЭГП: длина – 9,8 м, ширина – 2 м, глубина – 0,51 м. Прирост вершины оврага составил 0,1 м, глубина уменьшилась на 0,34 м. Состав горных пород, затронутых проявлением: лессовидные суглинки. Факторы активизации процесса – гидрометеорологический (выпадение большого количества (относительно нормы) атмосферных осадков при значениях температуры воздуха около нормы, и техногенный (нарушение стока атмосферных осадков).		–
38.2022.0042	Сибирский	Иркутская область	Слюдянский район, участок дороги А-146 Иркутск-Монды, 8 км, в 3 км к северо-западу от п. Култук	51,73805	103,59416	51,73805	103,59416	00.05.22	Не завершилась	Эо	Атм., техн.	Не отмечалось	В 3 км к северо-западу от п. Култук, на участке автодороги А-146 Иркутск-Монды (пункт наблюдений Быстринский) на землях лесного фонда с мая 2022 г. отмечалась активизация процесса овражной эрозии (овраг №4). Параметры проявления опасного ЭГП: длина – 11 м, ширина – 3,45 м, глубина – 1,8 м. Состав горных пород, затронутых проявлением: лессовидные суглинки. Факторы активизации процесса – гидрометеорологический (выпадение большого количества (относительно нормы) атмосферных осадков при значениях температуры воздуха около нормы, и техногенный (нарушение стока атмосферных осадков).		–
38.2022.0043	Сибирский	Иркутская область	г. Иркутск, Ленинский район, п. Жилкино	52,32861	104,24842	52,32861	104,24842	00.05.22	Не завершилась	Пт	Атм., техн, гидрогеол.	Отмечалось	В г. Иркутске, на территории жилой застройки по ул. Покрышкина и Олега Кошевого (пункт наблюдений Иркутск) с мая 2022 г. отмечалась активизация процесса подтопления. Процессом охвачена территория 9 приусадебных участков, площадью 0,031 км². Состав горных пород, затронуты проявлением: суглинки и глины. Основные факторы активизации опасного ЭГП: гидрометеорологический (выпадение интенсивных атмосферных осадков при значениях температуры воздуха около нормы), техногенный (подпор грунтовых вод), гидрогеологический (инфильтрация из поверхностных водоемов).		–

1	2	3	4	5	6	7	8	9	10	11	12	13	14	15	16
38.2022.0044	Сибирский	Иркутская область	г. Иркутск, Ново-Ленинский район, п. Кирова	52,30572	104,24633	52,30572	104,24637	00.05.22	Не завер-шилась	Пт	Атм., техн., гидрогеол.	Отмечалось	В г. Иркутске, в п. Кирова на территории жилой застройки по ул. 7-я Кировская и 1-я Линия (пункт наблюдений Кировский) с мая 2022 г. отмечалась активизация процесса подтопления. Подтопленными оказались 6 домов и приусадебных участков. Площадь территории подтопления составила 0,007 м². Состав горных пород, затронуты проявлением: суглинки и глины. Основные факторы активизации опасного ЭГП: гидрометеорологический (выпадение интенсивных атмосферных осадков при значениях температуры воздуха около нормы), техногенный (подпор грунтовых вод), гидрогеологический (инфильтрация из поверхностных водоемов).		–
38.2022.0045	Сибирский	Иркутская область	Шелеховский район, с. Баклаши	52,22758	104,05642	52,22758	104,05642	00.05.22	Не завер-шилась	Пт	Атм., гидрогеол.	Отмечалось	В с. Баклаши, Шелеховского района, на территории жилой застройки пер. Озерный и ул. Цветочная отмечалась активизация процесса подтопления. 11 жилых домов оказались в зоне воздействия процесса, терраса 1 дома деформирована. Основные факторы активизации: гидрометеорологический (выпадение интенсивных атмосферных осадков при значениях температуры воздуха около нормы), гидрогеологический (подпор грунтовых вод вследствие образования старицы). Площадь территории подтопления составила 0,049 км².		Плановое обследование
42.2022.0008	Сибирский	Кемеровская область-Кузбасс	Новокузнецкий район, в 0,56 км к юго-западу от п. Ерунаково	54,07639	87,45139	54,07639	87,45137	00.04.22	Не завер-шилась	Оп	Атм.	Отмечалось	В Новокузнецком районе, в 0,56 км к юго-западу от п. Ерунаково (пункт наблюдений п. Ерунаково) с апреля 2022 г. отмечалась активизация оползневого процесса. Процесс в стадии развития. Базис развития процесса – р. Томь. Параметры проявления опасного ЭГП: длина – 250,15 м, ширина – 351 м, площадь – 0,0878 км². Обрушению подвержены верхнечетвертичные отложения. Возраст проявления ЭГП современный. Оползень продолжает увеличиваться, в среднем прирост по ширине составил 1 м, отмечалось продвижение стенки отрыва оползня вглубь склона на 0,15 м. В верхней части оползневого склона на поверхности оползневого блока зафиксировано 3 водоема, площадью 20, 200 и 120 м², что приводит к дополнительному увлажнению склона. В результате активизации оползневого процесса воздействию подверглись земли лесного фонда, площадью 0,000302 км². Основной фактор активизации – гидрометеорологический.		–
42.2022.0009	Сибирский	Кемеровская область-Кузбасс	г. Новокузнецк	53,78873	87,35275	53,78873	87,35274	00.04.22	00.07.22	Пт	Атм., гидрогеол.	Отмечалось	В г. Новокузнецке (пункт наблюдений г. Новокузнецк) с апреля 2022 г. фиксировалась активизация процесса подтопления. Площадь подтопленной территории в Орджоникидзевском районе составила 0,66 км². Основные факторы активизации: гидрометеорологический, гидрогеологический.		–
42.2022.0010	Сибирский	Кемеровская область-Кузбасс	г. Междуреченск	53,71723	87,97578	53,71723	87,97577	00.04.22	Не завер-шилась	Пт	Атм., гидрогеол.	Отмечалось	В г. Междуреченске (пункт наблюдений г. Междуреченск) с апреля 2022 г. фиксировалась активизация процесса подтопления. В результате активизации опасного ЭГП воздействию подверглись приусадебные участки по ул. Новоулусинская, Куйбышева, Проходчиков, Леонова, Зеленая, Геологов, общей площадью 0,754 км². В пределах пункта наблюдений глубина залегания подземных вод изменяется от 3,5 до 0,3 м, что связано это в основном с влиянием естественной гидрографической сети (р. Томь и ее старицы), а также с малыми уклонами поверхности, что затрудняет поверхностный сток и увеличивает инфильтрацию воды в грунт. На подтапливаемой территории сооружены дренажные канавы.		–

1	2	3	4	5	6	7	8	9	10	11	12	13	14	15	16
42.2022.0011	Сибирский	Кемеровская область-Кузбасс	г. Ленинск-Кузнецкий	54,62682	86,18415	54,62689	86,18415	00.04.22	Не завершилась	От	Техн., атм.	Отмечалось	В г. Ленинск-Кузнецке (пункт наблюдений г. Ленинск-Кузнецкий) с апреля 2022 г. наблюдалась активизация процесса оседания и обрушения поверхности над горными выработками. Развитию процесса подвержена площадь около 0,17562 км². При проведении обследования зафиксировано оседание поверхности земли, а также деформация зданий и сооружений на ул. Есенина, Сельская, Щербакова, пер. Щербакова. Основные факторы активизации: техногенный (подземные горные выработки) и гидрометеорологический.		–
42.2022.0012	Сибирский	Кемеровская область-Кузбасс	Таштагольский район, пгт. Мундыбаш, участок автодороги Кузедеево – Таштагол, 24-25 км	53,20966	87,26187	53,20966	87,26187	00.04.22	Не завершилась	Ос	Атм.	Не отмечалось	В пгт. Мундыбаш, Таштагольского района, на участке автодороги Кузедеево - Таштагол, 24-25 км (пункт наблюдений пгт. Мундыбаш) с апреля 2022 г. отмечалась активизация осыпного процесса. Параметры проявления опасного ЭГП: длина – 30 м, ширина – 350 м, площадь – 0,0105 км². Осыпной процесс развивается на склоне, расположенном вдоль участка автодороги Кузедеево-Таштагол (около моста через р. Кондома). Основной фактор активизации – гидрометеорологический.		–
42.2022.0013	Сибирский	Кемеровская область-Кузбасс	Таштагольский район, пгт. Темиртау	53,13680	87,45883	53,13680	87,45882	00.04.22	Не завершилась	Ос	Атм., техн.	Не отмечалось	В пгт. Темиртау, Таштагольского района (пункт наблюдений пгт. Темиртау) с апреля 2022 г. отмечалась активизация осыпного процесса. Параметры проявления опасного ЭГП: длина – 22 м, ширина – 575 м, площадь – 0,0127 км². Признаки активизации опасного ЭГП: поверхность склона не задернована, отмечались конусы выноса обломочного материала и упавшие деревья. На локальных участках видны следы свежих обрушений, прослеживаются трещины отрыва, длиной от 0,5 до 9 м, ширина формирующихся блоков – до 2 м. Основные факторы активизации: гидрометеорологический, техногенный (подземные горные выработки). В зоне потенциальной опасности находятся гаражи и опора ЛЭП.		–
54.2022.0001	Сибирский	Новосибирская область	Татарский район, г. Татарск	55,22215	75,98335	55,22215	75,98334	11.03.22	Не завершилась	Пт	Атм., гидрогеол., техн.	Отмечалось	В г. Татарске, Татарского района (пункт наблюдений Татарский) активизация подтопления отмечена с 11.03.2022 г. Из-за обильного количества осадков в третьей декаде июля по некоторым скважинам уровни превысили весенние максимумы на 0,03-0,22 м. Затем зафиксировано их монотонное снижение в среднем на 0,95 м. По отношению к предвесенним минимумам в сентябре они оказались выше в среднем на 0,11 м и залегали на глубине 1-1,5 м. Общая площадь территории, подверженная процессу подтопления – 17,3 км². Подтоплены объекты жилой застройки и промышленного производства (железнодорожная станция, элеватор, пищекомбинат), территории селитебных зон, большая часть водопроводящих коммуникаций, проложенных на глубине 2-3 м. Состав горных пород, затронутых проявлением: илистые суглинки (saQ_{III}+ N_2cn), мощностью 2,4-7 м, сплошным чехлом покрывающие водоупорный горизонт павлодарских глин. Основные факторы активизации процесса: гидрометеорологический (количество летних осадков - 56 % нормы, в том числе в июле за 7 дней 45 % нормы), гидрогеологический, техногенный (насыпи автодорог, Транс-Сибирской ж. д. магистрали, засыпка естественных водоёмов, служивших местом сбора поверхностных вод с окружающей территории; отсутствие вертикальной планировки; подвалы, построенные поперёк потока грунтовых вод, играют роль водопроводной плотины).		–

1	2	3	4	5	6	7	8	9	10	11	12	13	14	15	16
54.2022.0002	Сибирский	Новосибирская область	Барабинский район, г. Барабинск	55,34908	78,34945	55,34908	78,34944	26.03.22	Не завершилась	Пт	Атм., гидрогеол., техн.	Отмечалось	В г. Барабинске Барабинского района (пункт наблюдений Барабинский) активизация подтопления зафиксирована с 26.03.2022 г. После максимума (15.04) наблюдается монотонное снижение уровней. В сентябре они были выше предвесенних минимумов в среднем на 0,08 м и ниже весенних максимумов в среднем на 0,98 м. На преобладающей территории уровни залегали на глубине 1,5-2 м, в пониженных участках рельефа ул. Краскома, Революционная, Садовая, Розы Люксембург, Октябрьская, Пушкина, Зелёная, Победы, Чехова, Сельская – на глубине до 1-1,5 м. Здесь погреба и заглублённые подполья частных домов остаются подтопленными. Состав горных пород, затронутых проявлением: в кровле – средние, реже лёгкие суглинки, мощностью от 4,3 до 10 м; ниже – илистые средние суглинки, мощностью от 2,1 до 6,8 м; с глубины 7,6-13,8 м – плотные глины убинской свиты (Q_{EI}ub). Основные факторы активизации процесса: гидрометеорологический (количество летних осадков - 82 % нормы, в том числе в июне – 135 %), гидрогеологический, техногенный (насыпи автодорог, засыпка естественных водоёмов, служивших местом сбора поверхностных вод с окружающей территории; отсутствие вертикальной планировки; подвалы, построенные поперёк потока грунтовых вод играют роль водопроводной плотины).	–	–
54.2022.0003	Сибирский	Новосибирская область	г. Бердск	54,75183	83,07066	54,75183	83,07065	29.03.22	Не завершилась	Пт	Атм., гидрогеол., техн.	Отмечалось	В г. Бердске (пункт наблюдений Бердский) активизация подтопления зафиксирована с 29.03.2022 г. После апрельского максимума наблюдалось монотонное снижение уровней. В сентябре они оказались в среднем на уровне предвесенних минимумов, были ниже весенних максимумов в среднем на 1,14 м и залегали на глубине 1,8-2,8 м. Остаётся подтопленной территория, расположенная в районе перекрёстков ул. Октябрьской - Урицкой, Гагарина - Урицкой, Искитимской - Толбухина. Состав горных пород, затронутых проявлением: лессовидные супеси, с линзами и прослоями суглинков, мощностью до 5 м; ниже – лессовидные слабопроницаемыми суглинки и супеси, мощностью до 25 м. В пределах пункта наблюдений предусмотрена дренажная система, с помощью которой происходит осушение: сооружены 5 колодцев, из которых пробурено по 5-10 горизонтальных скважин, длиной 80 м, расположенных веером. Откачка воды ведётся из колодцев с дебитами от 3 до 8 $м^3$/час. Основные факторы активизации: гидрометеорологический (количество летних осадков - 80,5 % нормы, в том числе в июне – 188 %), гидрогеологический, техногенный (утечки из водонесущих коммуникаций, засыпка оврагов при строительстве, планировке и асфальтировании).	–	–

1	2	3	4	5	6	7	8	9	10	11	12	13	14	15	16
54.2022.0004	Сибирский	Новосибирская область	Мошковский район, пгт. Мошково	55,30784	83,61243	55,30784	83,61242	31.03.22	Не завершилась	Пт	Атм., гидрогеол., техн.	Отмечалось	В пгт. Мошково, Мошковского района (пункт наблюдений Мошковский) активизация подтопления отмечается с 31.03.2022 г. После апрельского максимума наблюдалось монотонное снижение уровней. В сентябре они оказались выше предвесенних минимумов в среднем на 0,17 м, ниже весенних максимумов в среднем на 1,69 м и залегали на глубине 1,2-2,3 м. Оставалась подтопленной территория, расположенная в районе ул. Народная, Пионерская. Состав горных пород, затронутых проявлением: лёгкие и средние лёссовидные суглинки, с прослоями и линзами супесей и тонкозернистых песков, суммарной мощностью 38-49 м; маломощные горизонты погребённых почв (до 0,5-1,0 м), сложенные тяжёлыми суглинками и глинами. Основные факторы активизации: гидрометеорологический (количество летних осадков -79 % нормы, в том числе в июне – 144 % нормы), гидрогеологический, техногенный (полив огородов, планировочные работы при строительстве, утечки из водонесущих коммуникаций, засыпка оврагов).	–	–
54.2022.0005	Сибирский	Новосибирская область	Чулымский район, г. Чулым	55,09199	80,96416	55,09199	80,96415	31.03.22	Не завершилась	Пт	Атм., гидрогеол., техн.	Отмечалось	В г. Чулыме, Чулымского района (пункт наблюдений Чулымский) активизация подтопления отмечается с 31.03.2022 г. В апреле-июне на преобладающей территории уровни залегали на глубине до 0,5 м, и снизились к концу августа в среднем на 0,93 м. По отношению к предвесенним минимумам они оказались ниже на 0,25 м. На преобладающей территории уровни продолжали залегать на глубине до 1-1,5 м. Наиболее напряжённая ситуация отмечалась в центральной части города. Состав горных пород, затронутых проявлением: илистые суглинки, с весьма слабыми фильтрационными свойствами, мощностью 37-39 м, с линзами или пачками тонко-мелкозернистых песков, мощностью 2,2-6,8 м, приуроченных к средней и нижней частям разреза. Основные факторы активизации процесса: гидрометеорологический (количество летних осадков - 71 % нормы), гидрогеологический, техногенный (утечки из водонесущих коммуникаций, засыпка оврагов при строительстве, планировки). Редкая сеть водосточных канав частично обеспечивает водоотвод с территории города в р. Чулым.	–	–
54.2022.0006	Сибирский	Новосибирская область	Баганский район, с. Баган	54,09711	77,67093	54,09711	77,67092	31.03.22	31.08.22	Пт	Атм., гидрогеол., техн.	Отмечалось	В с. Баган, Баганского района (пункт наблюдений Баганский) с 31.03.2022 г. отмечалась активизация процесса подтопления. После максимума (30.04) наблюдалось монотонное снижение уровней до конца квартала в среднем на 1,35 м. Они оказались ниже предвесенних минимумов в среднем на 0,15 м. На преобладающей территории уровни в сентябре залегали на глубине 2-2,5 м. Состав горных пород, затронутых проявлением: суглинки – от лёгких до тяжёлых, ниже – глинистые пески, мощностью 2,9 м. Основные факторы активизации: гидрометеорологический (количество летних осадков - 80 % нормы), гидрогеологический, техногенный (утечки из водонесущих коммуникаций; засыпка оврагов при строительстве, планировке.		–

1	2	3	4	5	6	7	8	9	10	11	12	13	14	15	16
54.2022.0007	Сибирский	Новосибирская область	г. Новосибирск	55,04861	82,93167	55,048661	82,93166	29.03.22	31.08.22	Пт	Атм., гидрогеол., техн.	Отмечалось	В г. Новосибирске (пункт наблюдений Новосибирский) с 29.03.2022 г. отмечалась активизация подтопления. Уровни после плавного снижения относительно весеннего подъёма на конец августа были выше предвесенних минимумов в среднем на 0,03 м и ниже весенне-летних максимумов в среднем на 0,94 м. На преобладающей территории уровни залегают на глубине 2,5-5 м. Состав горных пород, затронутых проявлением: на левобережье – аллювиальные суглинки, с редкими не выдержанными прослоями песка и супеси (aQ_{IV}, a^1Q_{III} - a^3Q_{III}), на правобережье – плотными суглинками ($Q_{I-II}kd$). Основные факторы активизации: гидрометеорологический (количество летних осадков -87 % нормы, в том числе в июне – 154 %), гидрогеологический, техногенный (утечки из городских водонесущих коммуникаций, строительство подпорных стенок и набережных, перекрывающих выход грунтовых вод в естественные речные потоки; зарегулированность русел естественных дрен речек Каменка, Ельцовка-1 и др.; засыпка естественных водоемов, служивших местом сбора поверхностных вод с окружающей территории; наличие железнодорожных насыпей и многочисленных автодорог, препятствующих естественному стоку).	–	–
54.2022.0008	Сибирский	Новосибирская область	Коченёвский район, пгт. Коченёво	55,02067	82,20586	55,020267	82,20585	31.03.22	31.08.22	Пт	Атм., гидрогеол., техн.	Отмечалось	В пгт. Коченёво, Коченёвского района (пункт наблюдений Коченевский) с 31.03.2022 г. отмечалась активизация процесса подтопления. После максимума (20.04) до второй декады июня на преобладающей территории уровни находились на глубине 0,5-1,5 м. Затем наблюдался их резкий спад, сменившийся со второй декады августа стабилизацией, с преобладающей глубиной залегания – 1,5-2,5 м. Их положение зафиксировано ниже весеннего максимума на 1,13 м, и выше предвесеннего минимума – на 0,51 м. Состав горных пород, затронутых проявлением: илистые суглинки и глины, с невыдержанными прослоями супесей и тонко-мелкозернистых глинистых песков общей мощностью 15-35 м (saQ_{III}+$saQ_{I-II}kd$). Основные факторы активизации: гидрометеорологический (количество летних осадков - 102 % нормы, в том числе в июне – 162 % и августе – 113 %), гидрогеологический, техногенный (насыпи существующих автодорог и под Транс-Сибирскую железнодорожную магистраль, проложенные поперёк естественного уклона к р. Камышинка, препятствуют поверхностному стоку талых и дождевых вод; засыпка естественных водоёмов, служивших местом сбора поверхностных вод с окружающей территории.	–	–

1	2	3	4	5	6	7	8	9	10	11	12	13	14	15	16
54.2022.0009	Сибирский	Новосибирская область	Искитимский район, с. Лебедевка	54,66833	83,23149	54,66833	83,23148	31.03.22	31.08.22	Пт	Атм., гидрогеол., техн.	Отмечалось	В с. Лебедевка, Искитимского района (пункт наблюдений Лебедевский) с 31.03.2022 г. отмечалась активизация процесса подтопления. На подтапливаемой территории уровень грунтовых вод в апреле залегал на преобладающей глубине около 1 м, со второй декады мая – на глубине 1,5-2 м, к концу августа – на глубине более 2 м. По скважинам на ул. Мира и Ленина, расположенным рядом с дренами, глубина уровня в сентябре составляла 3,03-3,08 м. Состав горных пород, затронутых проявлением: сверху – пылеватые лёссовидные суглинки, от средних до тяжёлых, подстилаемые горизонтом погребенной почвы, состоящим из переслаивающихся тугопластичных тяжелых суглинков и глин, мощностью до 2,5 м (saQ_{III}+$saQ_{I-II}kd$). Основные факторы активизации: гидрометеорологический (количество летних осадков – 80,5 % нормы, в том числе в июне – 188 %), гидрогеологический, техногенный (полив приусадебных участков, сброс бытовых вод, утечки из водопроводной сети; наличие в каждом дворе негерметичных выгребных ям; отсутствие вертикальной планировки села. С 2016 г. осушение ведётся с помощью дренажной системы; по огородам и ул. Мира, Ленина, Солнечная проложены 4 параллельных дрены, на глубине 5-5,5 м. Отведение дренажных вод самотёком производится в р. Петушиха по полиэтиленовым трубопроводам с дебитами 0,99-1,62 м^3/час.	–	–
54.2022.0010	Сибирский	Новосибирская область	Чистоозёрный район, пгт. Чистоозёрное	54,70735	76,58548	54,70735	76,58547	11.03.22	31.08.22	Пт	Атм., гидрогеол., техн.	Отмечалось	В пгт. Чистоозёрное, Чистоозёрного района (пункт наблюдений Чистоозёрненский) с 11.03.2022 г. отмечалась активизация подтопления. После прохождения максимума (30 апреля) наблюдалось монотонное снижение уровня. На конец августа он оказался ниже весеннего максимума на 1,2 м и ниже предвесеннего минимума на 0,1 м, при глубине залегания более 2 м. Состав горных пород, затронутых проявлением: в кровле – средние, реже лёгкие суглинки, мощностью 2,1 м (saQ_{III}); ниже – глинистые тонкозернистые пески, мощностью 5,2 м (N_2cn). Основные факторы активизации процесса: гидрометеорологический; гидрогеологический, техногенный (насыпи существующих автодорог, препятствующие поверхностному стоку талых и дождевых вод; утечка воды из водонесущих коммуникаций, канализационных ям; поливные воды зелёных насаждений и приусадебных участков.		–
54.2022.0011	Сибирский	Новосибирская область	Купинский район, г. Купино	54,37912	77,31135	54,37912	77,31134	31.03.22	31.08.22	Пт	Атм., гидрогеол., техн.	Отмечалось	В г. Купино, Купинского района (пункт наблюдения Купинский) с 31.03.2021 г. отмечалась активизация процесса подтопления. Подземные воды на большей части подтопляемой территории в апреле-мае находились на глубине 0,8-1 м, в июне-июле – на глубине 1-2 м, снизившись к концу августа, до глубины 2-2,5 м. Состав горных пород, затронутых проявлением: в кровле – эоловые, в основном лёгкие, суглинки и супеси, мощностью от 1 до 4,2 м (vQ_{III}); ниже –лёгкие супеси, реже – глинистые тонкозернистые пески, общей мощностью 1,2-5,2 м ($Q_{II-III}kr$). Основные факторы активизации процесса: гидрометеорологический (количество летних осадков – 56 % нормы, в том числе в июне – 135 %); гидрогеологический, техногенный (насыпи существующих автодорог, препятствующие поверхностному стоку талых и дождевых вод; утечка воды из водонесущих коммуникаций, канализационных ям; поливные воды зелёных насаждений и приусадебных участков; из-за поломки насосов станции перекачки длительное время не работают).		–

1	2	3	4	5	6	7	8	9	10	11	12	13	14	15	16
54.2022.0018	Сибирский	Новосибирская область	Ордынский район, юго-западная окраина с. Спирино	54,12247	81,53303	54,12247	81,53302	00.04.22	Не завершилась	Эо	Атм.	Отмечалось	На юго-западной окраине с. Спирино, Ордынского района, отмечалась активизация процесса овражной эрозии. Зафиксирован рост вершины оврага по сравнению с 2017 г. на 7,8 м. Параметры проявления опасного ЭГП: длина – 35,8 м; ширина у устья – 10,5 м, в середине – 4,5 м, площадь – 250,6 м², глубина – 2-3 м. Состав горных пород, затронутых проявлением: сухие лёссовидные супеси и суглинки третьей надпойменной террасы р. Оби (a^3Q_{III}). При проведении обследования отмечалось воздействие опасного ЭГП на земли лесного фонда, площадью 0,000022 м². Основной фактор активизации – гидрометеорологический (количество осадков в зимний период 2021-2022 гг. превысило норму на 24 %).		Плановое обследование
54.2022.0019	Сибирский	Новосибирская область	Ордынский район, в 0,52 км к юго-западу от с. Спирино	54,12037	81,52569	54,12037	81,52568	00.04.22	Не завершилась	Эо	Атм., гидрол.	Отмечалось	В 0,52 км к юго-западу от с. Спирино, Ордынского района, отмечалась активизация процесса овражной эрозии. Зафиксирован рост вершины оврага по сравнению с 2017 г. на 9,9 м. Параметры проявления опасного ЭГП: длина – 13 м; ширина у устья – 10 м, в середине – 7 м, площадь – 110,5 м², глубина – 5-6 м. Состав горных пород, затронутых проявлением: сухие лёссовидные супеси и суглинки третьей надпойменной террасы р. Оби (a^3Q_{III}). При проведении обследования отмечалось воздействие опасного ЭГП на земли лесного фонда, площадью 0,000018 м². Основной фактор активизации – гидрометеорологический (количество осадков в зимний период 2021-2022 гг. превысило норму на 24 %).		Плановое обследование
54.2022.0020	Сибирский	Новосибирская область	Ордынский район, в 1,2 км к юго-западу от с. Спирино	54,11714	81,51711	54,11714	81,51710	00.04.22	Не завершилась	ГР	Атм., гидрол.	Отмечалось	В 1,2 км к юго-западу от с. Спирино, Ордынского района, на склоне Новосибирского водохранилища отмечалась активизация гравитационного процесса, выражавшаяся в осыпании, оползании, образовании свежих стенок отрыва площадью 5-6 м². Параметры проявления опасного ЭГП: длина пораженного склона – 1800 м, ширина – 1-2 м, высота – 4-8 м. При проведении обследования наблюдалось искривление и падение деревьев, оголение корней, скопление обломочного материала у подножья склона. Состав горных пород, затронутых проявлением: сухие лёссовидные супеси и суглинки третьей надпойменной террасы р. Оби (a^3Q_{III}). Воздействию опасного ЭГП подверглись земли лесного фонда, площадью 0,0018 км². Основные факторы активизации: гидрометеорологический (количество осадков в зимний период 2021-2022 гг. превысило норму на 24 %), гидрологический.		Плановое обследование
54.2022.0021	Сибирский	Новосибирская область	Ордынский район, в 0,75 км к юго-западу от с. Спирино	54,11939	81,52261	54,11939	81,52260	00.04.22	Не завершилась	Эо	Атм.	Отмечалось	В 0,75 км к юго-западу от с. Спирино, Ордынского района, наблюдалась активизация процесса овражной эрозии. Зафиксировано образование нового оврага. Параметры проявления опасного ЭГП: длина – 3 м, ширина – 2 м; площадь – 6 м², глубина – 2 м. Уровень активности средний. Состав горных пород, затронутых проявлением: сухие лёссовидные супеси и суглинки третьей надпойменной террасы р. Оби (a^3Q_{III}). Воздействию опасного ЭГП подверглись земли лесного фонда, площадью 6 м². Основной фактор активизации – гидрометеорологический (количество осадков в зимний период 2021-2022 гг. превысило норму на 24 %).		Плановое обследование
55.2022.0016	Сибирский	Омская область	Русско-Полянский район, в 10 км к северо-востоку от с. Калинино	53,70167	73,42667	53,70168	73,42666	00.04.22	00.09.22	Эо	Атм.	Не отмечалось	В 10 км к северо-востоку от с. Калинино, Русско-Полянского района (пункт наблюдений Калининский) с апреля 2022 г. наблюдалась активизация процесса овражной эрозии (на овраге №5-1). Состав горных пород, затронутых проявлением: суглинки, глины. Основной фактор активизации – гидрометеорологический.		–

1	2	3	4	5	6	7	8	9	10	11	12	13	14	15	16
55.2022.0017	Сибирский	Омская область	Русско-Полянский район, в 10,3 км к северо-востоку от с. Калинино	53,70167	73,39972	53,70168	73,39971	00.04.22	00.09.22	Эо	Атм.	Не отмечалось	В 10,3 км к северо-востоку от с. Калинино, Русско-Полянского района (пункт наблюдений Калининский) с апреля 2022 г. наблюдалась активизация процесса овражной эрозии (на овраге №5-4). Состав горных пород, затронутых проявлением: суглинки, глины. Основной фактор активизации – гидрометеорологический.		–
55.2022.0018	Сибирский	Омская область	Русско-Полянский район, в 10,6 км к северо-востоку от с. Калинино	53,71417	73,37500	53,71418	73,37499	00.04.22	00.09.22	Эо	Атм.	Не отмечалось	В 10,6 км к северо-востоку от с. Калинино, Русско-Полянского района (пункт наблюдений Калининский) с апреля 2022 г. наблюдалась активизация процесса овражной эрозии (на овраге №5-5). Состав горных пород, затронутых проявлением: суглинки, глины. Основной фактор активизации – гидрометеорологический.		–
55.2022.0019	Сибирский	Омская область	Черлакский район, в 3,3 км к юго-востоку от с. Елизаветинка	54,22210	74,70310	54,22210	74,70309	00.04.22	00.09.22	Эо	Атм.	Не отмечалось	В 3,3 км к юго-востоку от с. Елизаветинка, Черлакского района (пункт наблюдений Черлакский) с апреля 2022 г. наблюдалась активизация процесса овражной эрозии (на овраге №1-5). При проведении обследования отмечалось обрушение грунта с правого борта оврага. Состав горных пород, затронутых проявлением: супеси, суглинки, глины. Основной фактор активизации – гидрометеорологический.		–
55.2022.0020	Сибирский	Омская область	Черлакский район, д. Бердниково	54,41368	74,43294	54,41368	74,43293	00.04.22	00.09.22	Эо	Атм.	Не отмечалось	В д. Бердниково, Черлакского района (пункт наблюдений Черлакский) с апреля 2022 г. наблюдалась активизация процесса овражной эрозии (на овраге №1-6). Зафиксировано обрушение грунта с левого борта оврага. Состав горных пород, затронутых проявлением: супеси, глины, пески. Основной фактор активизации – гидрометеорологический.		–
55.2022.0021	Сибирский	Омская область	Черлакский район, в 2,7 км к юго-востоку от д. Бердниково	54,41410	74,48625	54,41410	74,48624	00.04.22	00.09.22	Эо	Атм.	Не отмечалось	В 2,7 км к юго-востоку от д. Бердниково, Черлакского района (пункт наблюдений Черлакский) с апреля 2022 г. наблюдалась активизация процесса овражной эрозии (на овраге №1-7). Зафиксировано обрушение грунта в вершине оврага. Состав горных пород, затронутых проявлением: суглинки, глины. Основной фактор активизации – гидрометеорологический.		–

1	2	3	4	5	6	7	8	9	10	11	12	13	14	15	16
55.2022.0022	Сибирский	Омская область	Черлакский район, в 1 км к юго-востоку от с. Соляное	54,35500	74,62980	54,35500	74,62979	00.04.22	00.09.22	Эо	Атм.	Не отмечалось	В 1 км к юго-востоку от с. Соляное, Черлакского района (пункт наблюдений Черлакский) с апреля 2022 г. наблюдалась активизация процесса овражной эрозии (на овраге №1-8). Зафиксировано обрушение грунта с правого борта оврага. Состав горных пород, затронутых проявлением: супеси, суглинки, пески. Основной фактор активизации – гидрометеорологический.		–
55.2022.0023	Сибирский	Омская область	Черлакский район, в 0,4 км к юго-востоку от с. Татарка	53,94805	75,07572	53,94805	75,07571	00.04.22	00.09.22	Эо	Атм.	Не отмечалось	В 0,4 км к юго-востоку от с. Татарка, Черлакского района (пункт наблюдений Черлакский) с апреля 2022 г. наблюдалась активизация процесса овражной эрозии (на овраге №1-11). Зафиксировано обрушение грунта по всей площади оврага. Зафиксировано обрушение грунта по всей площади оврага. Состав горных пород, затронутых проявлением: супеси, пески. Основной фактор активизации – гидрометеорологический.	–	–
55.2022.0024	Сибирский	Омская область	Черлакский район, в 1 км к северо-западу от с. Елизаветинка	54,27212	74,65831	54,27213	74,65830	00.04.22	00.09.22	Эо	Атм.	Не отмечалось	В 1 км к северо-западу от с. Елизаветинка, Черлакского района (пункт наблюдений Черлакский) с апреля 2022 г. наблюдалась активизация процесса овражной эрозии (на овраге №1-14). Зафиксировано обрушение грунта по всей площади оврага. Состав горных пород, затронутых проявлением: супеси, пески. Основной фактор активизации – гидрометеорологический.		–
55.2022.0025	Сибирский	Омская область	Черлакский район, в 4 км к востоку от д. Покрово-Иртышское	54,56081	74,22958	54,56081	74,22957	00.04.22	00.09.22	Эо	Атм.	Не отмечалось	В 4 км к востоку от д. Покрово-Иртышское, Черлакского района (пункт наблюдений Черлакский) с апреля 2022 г. наблюдалась активизация процесса овражной эрозии (на овраге №1-20). Зафиксировано обрушение грунта в вершине оврага. Состав горных пород, затронутых проявлением: супеси и суглинки. Основной фактор активизации – гидрометеорологический.		–
55.2022.0026	Сибирский	Омская область	Черлакский район, северо-западная окраина д. Бердниково	54,42640	74,41410	54,42640	74,41409	00.04.22	00.09.22	Эо	Атм.	Не отмечалось	На северо-западной окраине д. Бердниково, Черлакского района (пункт наблюдений Черлакский) с апреля 2022 г. наблюдалась активизация процесса овражной эрозии (на овраге №1-21). Зафиксировано обрушение грунта с левого борта оврага. Состав горных пород, затронутых проявлением: супеси и суглинки. Основной фактор активизации – гидрометеорологический.		–
55.2022.0027	Сибирский	Омская область	Черлакский район, в 1,3 км к северо-западу от с. Елизаветинка	54,27385	74,65563	54,27386	74,65562	00.04.22	00.09.22	Эо	Атм.	Не отмечалось	В 1,3 км к северо-западу от с. Елизаветинка, Черлакского района (пункт наблюдений Черлакский) с апреля 2022 г. наблюдалась активизация процесса овражной эрозии (на овраге №1-24). Зафиксировано обрушение грунта по всему периметру оврага. Состав горных пород, затронутых проявлением: супеси и суглинки. Основной фактор активизации – гидрометеорологический.		–
55.2022.0028	Сибирский	Омская область	Черлакский район, в 1 км к северо-западу с. Елизаветинка	54,27170	74,65852	54,27171	74,65851	00.04.22	00.09.22	Эо	Атм.	Не отмечалось	В 1 км к северо-западу с. Елизаветинка, Черлакского района (пункт наблюдений Черлакский) с апреля 2022 г. наблюдалась активизация процесса овражной эрозии (на овраге №1-25). Зафиксировано обрушение грунта с правого борта оврага. Состав горных пород, затронутых проявлением: супеси и суглинки. Основной фактор активизации – гидрометеорологический.		–

1	2	3	4	5	6	7	8	9	10	11	12	13	14	15	16
55.2022.0029	Сибирский	Омская область	Черлакский район, в 2,5 км к юго-востоку от пгт. Черлак	54,12442	74,82637	54,12443	74,82636	00.04.22	00.09.22	Эо	Атм.	Не отмечалось	В 2,5 км к юго-востоку от пгт. Черлак, Черлакского района (пункт наблюдений Черлакский) с апреля 2022 г. наблюдалась активизация процесса овражной эрозии (на овраге №1-25). Зафиксировано обрушение грунта с правого борта оврага. Состав горных пород, затронутых проявлением: супеси и суглинки. Основной фактор активизации – гидрометеорологический.		–
55.2022.0030	Сибирский	Омская область	Черлакский район, в 1,8 км к юго-востоку от пгт. Черлак	54,12986	74,82169	54,12987	74,82168	00.04.22	00.09.22	Эо	Атм.	Не отмечалось	В 1,8 км к юго-востоку от пгт. Черлак, Черлакского района (пункт наблюдений Черлакский) с апреля 2022 г. наблюдалась активизация процесса овражной эрозии (на овраге №1-27). Состав горных пород, затронутых проявлением: супеси и суглинки. Основной фактор активизации – гидрометеорологический.		–
55.2022.0031	Сибирский	Омская область	Кормиловский район, в 0,2 км к северо-западу от д. Игнатьево	55,05695	74,19498	55,05694	74,19497	00.04.22	00.09.22	Эо	Атм.	Не отмечалось	В 0,2 км к северо-западу от д. Игнатьево, Кормиловского района (пункт наблюдений Нижнеомский) с апреля 2022 г. наблюдалась активизация процесса овражной эрозии (на овраге №2-1). Состав горных пород, затронутых проявлением: супеси и суглинки. Основной фактор активизации – гидрометеорологический.		–
55.2022.0032	Сибирский	Омская область	Кормиловский район, в 1,2 км к северо-востоку от с. Борки	55,04244	74,04242	55,04244	74,04241	00.04.22	00.09.22	Эо	Атм.	Не отмечалось	В 1,2 км к северо-востоку от с. Борки, Кормиловского района (пункт наблюдений Нижнеомский) с апреля 2022 г. наблюдалась активизация процесса овражной эрозии (на овраге №2-3). Зафиксировано обрушение грунта в вершине оврага. Состав горных пород, затронутых проявлением: супеси и суглинки. Основной фактор активизации – гидрометеорологический.		–
55.2022.0033	Сибирский	Омская область	Кормиловский район, в 1 км к северо-западу от с. Борки	55,03398	74,01627	55,03398	74,01626	00.04.22	00.09.22	Эо	Атм.	Не отмечалось	В 1 км к северо-западу от с. Борки, Кормиловского района (пункт наблюдений Нижнеомский) наблюдалась активизация процесса овражной эрозии (на овраге №2-4). Зафиксировано обрушение грунта с левого борта оврага. Состав горных пород, затронутых проявлением: супеси и суглинки. Основной фактор активизации – гидрометеорологический.		–
55.2022.0034	Сибирский	Омская область	Кормиловский район, в 2,7 км к северо-западу от пгт. Кормиловка	55,03919	74,05511	55,03919	74,05510	00.04.22	00.09.22	Эо	Атм.	Не отмечалось	В 2,7 км к северо-западу от пгт. Кормиловка, Кормиловского района (пункт наблюдений Нижнеомский) наблюдалась активизация процесса овражной эрозии (на овраге №2-7). Зафиксировано обрушение грунта с левого борта оврага. Литологический состав пород представлен суглинками. Основной фактор активизации – гидрометеорологический.		–
55.2022.0035	Сибирский	Омская область	Кормиловский район, в 1,6 км к северо-западу от пгт. Кормиловка	55,03822	74,07024	55,03822	74,07023	00.04.22	00.09.22	Эо	Атм.	Не отмечалось	В 1,6 км к северо-западу от пгт. Кормиловка, Кормиловского района (пункт наблюдений Нижнеомский) наблюдалась активизация процесса овражной эрозии (на овраге №2-9). Зафиксировано обрушение грунта по всему периметру оврага. Состав горных пород, затронутых проявлением: суглинки и глины. Основной фактор активизации – гидрометеорологический.		–

1	2	3	4	5	6	7	8	9	10	11	12	13	14	15	16
55.2022.0036	Сибирский	Омская область	Нижнеомский район, в 1,5 км к северо-западу от с. Соловецкое	55,32439	74,97311	55,32439	74,97310	00.04.22	00.09.22	Эо	Атм.	Не отмечалось	В 1,5 км к северо-западу от с. Соловецкое, Нижнеомского района (пункт наблюдений Нижнеомский) наблюдалась активизация процесса овражной эрозии (на овраге №2-16). Зафиксировано обрушение грунта по всему периметру оврага. Состав горных пород, затронутых проявлением: суглинки и глины. Основной фактор активизации – гидрометеорологический.		–
55.2022.0037	Сибирский	Омская область	Калачинский район, в 3 км к востоку от д. Старый Ревель	55,19469	74,06119	55,19469	74,06118	00.04.22	00.09.22	Эо	Атм.	Не отмечалось	В 3 км к востоку от д. Старый Ревель, Калачинского района (пункт наблюдений Нижнеомский) наблюдалась активизация процесса овражной эрозии (на овраге №2-17). Зафиксировано обрушение грунта в вершине оврага. Состав горных пород, затронутых проявлением: пески, супеси, суглинки. Основной фактор активизации – гидрометеорологический.		–
55.2022.0038	Сибирский	Омская область	Калачинский район, в 1 км к западу от с. Глуховка	55,08250	74,68419	55,08250	74,68418	00.04.22	00.09.22	Эо	Атм.	Не отмечалось	В 1 км к западу от с. Глуховка, Калачинского района (пункт наблюдений Нижнеомский) с апреля 2022 г. наблюдалась активизация процесса овражной эрозии (на овраге №2-19). Зафиксировано обрушение грунта в вершине оврага. Литологический состав пород представлен суглинками. Основной фактор активизации – гидрометеорологический.		–
55.2022.0039	Сибирский	Омская область	Кормиловский район, в 0,8 км к северо-западу от пгт. Кормиловка	55,02192	74,07531	55,02192	74,07530	00.04.22	00.09.22	Эо	Атм.	Не отмечалось	В 0,8 км к северо-западу от пгт. Кормиловка, Кормиловского района (пункт наблюдений Нижнеомский) с апреля 2022 г. наблюдалась активизация процесса овражной эрозии (на овраге №2-20). Зафиксировано обрушение грунта по всему периметру оврага. Литологический состав пород представлен суглинками. Основной фактор активизации – гидрометеорологический.		–
55.2022.0040	Сибирский	Омская область	Кормиловский район, в 0,9 км к северо-западу от пгт. Кормиловка	55,02774	74,07146	55,02774	74,07145	00.04.22	00.09.22	Эо	Атм.	Не отмечалось	В 0,9 км к северо-западу от пгт. Кормиловка, Кормиловского района (пункт наблюдений Нижнеомский) с апреля 2022 г. наблюдалась активизация процесса овражной эрозии (на овраге №2-21). Зафиксировано обрушение грунта с правого борта оврага. Литологический состав пород представлен суглинками. Основной фактор активизации – гидрометеорологический.		–
55.2022.0041	Сибирский	Омская область	Омский район, в 0,35 км к юго-западу от д. Прудки	55,02639	73,79000	55,02639	73,78999	00.04.22	00.09.22	Эо	Атм.	Не отмечалось	В 0,35 км к юго-западу от д. Прудки, Омского района (пункт наблюдений Нижнеомский) с апреля 2022 г. наблюдалась активизация процесса овражной эрозии (на овраге №2-23). Зафиксировано обрушение грунта в вершине оврага. Литологический состав пород представлен супесями. Основной фактор активизации – гидрометеорологический.		–

1	2	3	4	5	6	7	8	9	10	11	12	13	14	15	16
55.2022.0042	Сибирский	Омская область	Кормиловский район, в 1 км к юго-западу от д. Сыропятская	55,03081	73,83923	55,03081	73,83922	00.04.22	00.09.22	Эо	Атм.	Не отмечалось	В 1 км к юго-западу от д. Сыропятская, Кормиловского района (пункт наблюдений Нижнеомский) наблюдалась активизация процесса овражной эрозии (на овраге №2-24). Зафиксировано обрушение грунта по всему периметру оврага. Литологический состав пород представлен суглинками. Основной фактор активизации – гидрометеорологический.		–
55.2022.0043	Сибирский	Омская область	Омский район, в 0,6 км к северу от с. Богословка	55,04328	73,73031	55,04328	73,73030	00.04.22	00.09.22	Эо	Атм.	Не отмечалось	В 0,6 км к северу от с. Богословка, Омского района (пункт наблюдений Нижнеомский) с апреля 2022 г. наблюдалась активизация процесса овражной эрозии (на овраге №2-26). Зафиксировано обрушение грунта в вершине оврага. Состав горных пород, затронутых проявлением: суглинки, глины. Основной фактор активизации – гидрометеорологический.		–
55.2022.0044	Сибирский	Омская область	Омский район, в 0,8 км к западу от п. Ростовка	55,02687	73,53293	55,02687	73,53292	00.04.22	00.09.22	Эо	Атм.	Не отмечалось	В 0,8 км к западу от п. Ростовка, Омского района (пункт наблюдений Нижнеомский) с апреля 2022 г. наблюдалась активизация процесса овражной эрозии (на овраге №2-28). Зафиксировано обрушение грунта по всему периметру оврага. Литологический состав пород представлен супесями, глинами. Основной фактор активизации – гидрометеорологический.		–
55.2022.0045	Сибирский	Омская область	Москаленский район, восточная окраина а. Тумба	54,73358	71,73869	54,73359	71,73868	00.04.22	00.09.22	Эо	Атм.	Не отмечалось	На восточной окраине а. Тумба, Москаленского района (пункт наблюдений оз. Эбейты) с апреля 2022 г. отмечалась активизация процесса овражной эрозии (на овраге №8-4). Зафиксировано обрушение грунта в вершине оврага. Литологический состав пород представлен суглинками. Основной фактор активизации – гидрометеорологический.		–
55.2022.0046	Сибирский	Омская область	Москаленский район, в 3,9 км к западу от а. Кзыл-Агаш	54,72417	71,79053	54,72418	71,79052	00.04.22	00.09.22	Эо	Атм.	Не отмечалось	В 3,9 км к западу от а. Кзыл-Агаш, Москаленского района (пункт наблюдений оз. Эбейты) с апреля 2022 г. отмечалась активизация процесса овражной эрозии (на овраге №8-1). Зафиксировано обрушение грунта с левого борта оврага. Состав горных пород, затронутых проявлением: супеси, суглинки. Основной фактор активизации – гидрометеорологический.		–
70.2022.0015	Сибирский	Томская область	Колпашевский район, с. Озерное	58,22608	82,89544	58,22608	82,89543	00.04.22	00.07.22	Пт	Атм., гидрол.	Отмечалось	В с. Озерное, Колпашевского района, (пункт наблюдений с. Озерное) с апреля 2022 г. отмечалась активизация процесса подтопления. Процесс в стадии развития. Состав горных пород, затронутых проявлением: переслаивание песчано-глинистых пород. Активность процесса низкая. Основные факторы активизации: гидрометеорологический, гидрологический. Подтопление развивается на площади 0,0289 км². В границах зоны подтопления расположены опоры ЛЭП, отдельные хозяйственные постройки.	–	–

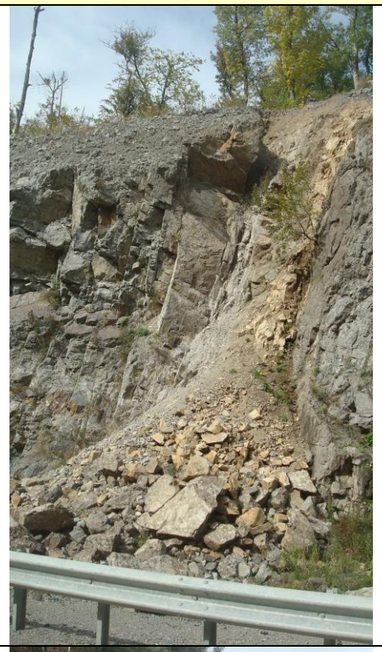
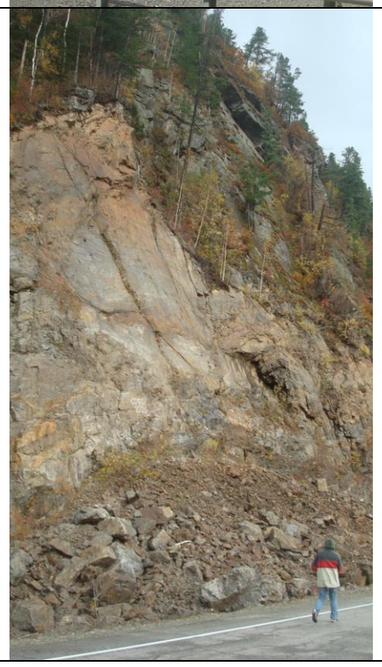
1	2	3	4	5	6	7	8	9	10	11	12	13	14	15	16
70.2022.0016	Сибирский	Томская область	Кривошеинский район, с. Кривошеино	57,32606	83,93978	57,32606	83,93977	00.04.22	Не завершилась	ГР	Атм., гидрол.	Не отмечалось	В с. Кривошеино Кривошеинского района (пункт наблюдений Кривошеино) с апреля 2022 г. отмечалась активизация гравитационного процесса. Процесс в стадии развития. Параметры проявления опасного ЭГП: длина склона – 0,6 км, высота – 28-34 м. Состав горных пород, затронутых проявлением: переслаивание песчано-глинистых пород. Активность процесса средняя. Обрушения имеют локальный характер, поверхность уступа частично заросла травой. Основные факторы активизации: гидрометеорологический, гидрологический.		–
70.2022.0017	Сибирский	Томская область	Томский район, с. Орловка	56,81731	84,63139	56,81731	84,63139	00.04.22	Не завершилась	ГР	Атм., гидрол.	Не отмечалось	В с. Орловка Томского района (пункт наблюдений Орловка) с апреля 2022 г. отмечалась активизация гравитационного процесса (осыпи, обвалы). Процесс в стадии развития. Параметры проявления опасного ЭГП: длина склона – 1 км, высота – 8-10 м. Состав горных пород, затронутых проявлением: переслаивание песчано-глинистых пород. Активность процессов средняя, на локальных участках склона отмечались свежих обрушения пород. Основные факторы активизации: гидрометеорологический, гидрологический.		–
70.2022.0018	Сибирский	Томская область	Колпашевский район, г. Колпашево	58,31403	82,93647	58,31403	82,93646	00.05.22	Не завершилась	ГР	Атм., гидрол.	Отмечалось	В г. Колпашево, Колпашевского района (пункт наблюдений Колпашево) с мая 2022 г. отмечалась активизация гравитационного процесса (осыпи, обвалы, мелкие оползни). Процесс в стадии развития. Параметры проявления опасного ЭГП: длина склона – 3500 м, высота – до 20 м. Состав горных пород, затронутых проявлением: переслаивание песчано-глинистых пород. Активность процессов средняя. На поверхности склона отмечались новые трещины отрыва, длиной от 2,5 до 8,5 м, указывающие на формирующиеся оползневые блоки, шириной до 1 м. Негативному воздействию подвержены жилые дома по ул. Матьянговская 1, Лермонтова 26, Октябрьская 20, Ватутина 10а, Панова 35, пер. Пристанский 1/1. Основные факторы активизации: гидрометеорологический, гидрологический.		–
70.2022.0019	Сибирский	Томская область	Колпашевский район, д. Тискино	58,08850	83,19436	58,08850	83,19435	00.05.22	Не завершилась	ГР	Атм., гидрол.	Не отмечалось	В д. Тискино Колпашевского района (пункт наблюдений Тискино) с мая 2022 г. отмечалась активизация гравитационного процесса (осыпи, обвалы). Процесс в стадии развития. Параметры проявления опасного ЭГП: длина склона – 0,4 км, высота – 8-10 м. Состав горных пород, затронутых проявлением: переслаивание песчано-глинистых пород. Состав горных пород, затронутых проявлением: переслаивание песчано-глинистых пород. Активность процессов высокая. Основные факторы активизации: гидрометеорологический, гидрологический.	–	–
70.2022.0020	Сибирский	Томская область	Томский район, д. Нагорный Иштан	56,74838	84,56483	56,74838	84,56482	00.05.22	Не завершилась	Оп	Атм., гидрол.	Отмечалось	В д. Нагорный Иштан, Томского района (пункт наблюдений Нагорный Иштан) с мая 2022 г. отмечалась активизация оползневого процесса. Параметры проявления опасного ЭГП: ширина – 180 м, длина – 110 м, высота – до 30 м, высота надоползневого уступа – 8-12 м. Состав горных пород, затронутых проявлением: переслаивание песчано-глинистых пород. Активность процесса средняя, на поверхности оползня отдельные деревья наклонены в сторону склона. Смещение оползневого тела за 2 года составило порядка 1,4 м. Происходит разрушение участка № 208 СТ «Водник» по ул. Церковная. Основные факторы активизации: гидрометеорологический, гидрологический.		

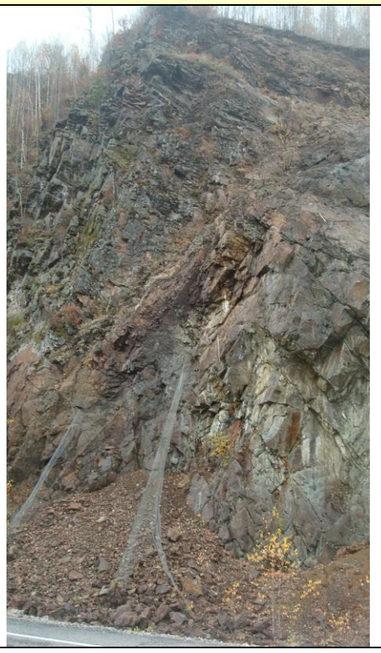
1	2	3	4	5	6	7	8	9	10	11	12	13	14	15	16
70.2022.0021	Сибирский	Томская область	Томский район, д. Нагорный Иштан	56,74751	84,56371	56,74751	84,56370	00.05.22	Не завершилась	Эо	Атм.	Не отмечалось	В д. Нагорный Иштан, Томского района (пункт наблюдений Нагорный Иштан) с мая 2022 г. отмечалась активизация процесса овражной эрозии. Параметры проявления опасного ЭГП: длина – 47 м, ширина – 27 м, глубина – 9,5 м. Состав горных пород, затронутых проявлением: переслаивание песчано-глинистых пород. Активность процесса средняя. Увеличение длины оврага за 2 года составило порядка 5 м. Основной фактор активизации – гидрометеорологический.	–	–
70.2022.0022	Сибирский	Томская область	г. Томск, Лагерный сад	56,45205	84,94467	56,45206	84,94466	00.07.22	00.07.22	Оп	Атм., гидрогеол.	Не отмечалось	В г. Томске, в Лагерном саду (пункт наблюдений Лагерный сад) в июле 2022 г. наблюдалась активизация оползневого процесса. Параметры проявления опасного ЭГП: длина – 65 м, ширина – 90 м, площадь – 5850 м², мощность – 5 м. Состав горных пород, затронутых проявлением: переслаивание песчано-глинистых пород. Активность процесса низкая, поверхность оползневых тел разбита трещинами растяжения и сброса, уровень подземных вод находится выше поверхности скольжения, оползневые тела зарастают травой и древесной растительностью. Основные факторы активизации: гидрометеорологический, гидрогеологический. Проведено уполаживание (террасирование склона), построены дренажные сооружения), включающие дренажную горную выработку, дренажные прорези, присклоновые дренажи), контрбанкет.	–	–
03.2022.0005	Дальневосточный	Республика Бурятия	Кяхтинский район, с. Уладый	50,17068	107,64150	50,17068	107,64149	00.05.22	00.07.22	Пт	Атм.	Отмечалось	В с. Уладый Кяхтинского района (пункт наблюдений с. Уладый) в мае 2022 г. отмечалась активизация процеса подтопления – в подпольях 6 домов по ул. Верховскаяй, 25, 27, 29, 30, 31, 33 появилась вода. Период активизации май-июль 2022 г. Общая площадь подтопления составила 0,018 км². Уровень воды в подпольях составлял на момент обследования 0,3 м. Литологический состав пород в пределах проявления представлен песками (aQ_{III}). Процесс носит сезонный характер. Фактор активизации: метеорологический (выпадение осадков в зимне-весенний период). Мероприятия инженерной защиты не проводятся.		
03.2022.0006	Дальневосточный	Республика Бурятия	Кяхтинский район, в 0,77 км З с. Уладый	50,16988	107,62924	50,16988	107,62923	00.07.22	00.09.22	Эо	Атм.	Не отмечалось	0,77 км на запад от с. Уладый Кяхтинского района (пункт наблюдений с. Уладый) развивается овраг №1 длиной 340 м, шириной 1-5 м, глубиной до 2 м, площадью 1700 м². В средней части оврага наблюдаются блоки обвалившегося грунта длиной 1,5 м шириной 0,5 м. Базис развития – руч. Уладый. Литологический состав пород представлен песками (aQ_{III}). Фактор активизации: метеорологический (выпадение атмосферных осадков).		
03.2022.0007	Дальневосточный	Республика Бурятия	Кяхтинский район, 0,75 км на запад от с. Уладый	50,17010	107,62949	50,17010	107,62948	00.07.22	00.09.22	Эо	Атм.	Не отмечалось	0,75 км км на запад от с. Уладый Кяхтинского района (пункт наблюдений с. Уладый) развивается овраг №2 длиной 335 м, шириной 0,5-3 м, глубиной до 1,5 м, площадью 1005 м². На боковых стенках отмечаются осыпи. Базис развития – руч. Уладый. Литологический состав пород представлен песками (aQ_{III}). Фактор активизации: метеорологический (выпадение атмосферных осадков).		

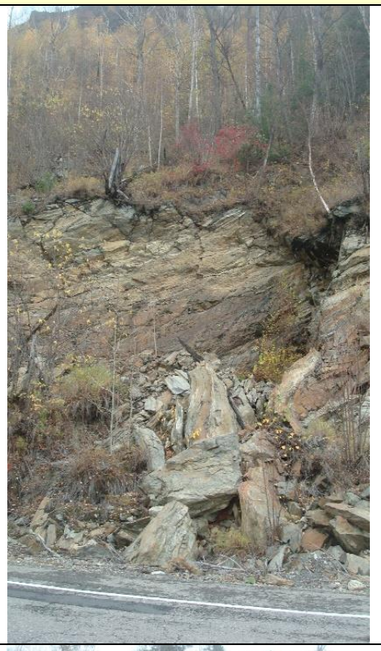
1	2	3	4	5	6	7	8	9	10	11	12	13	14	15	16
03.2022.0008	Дальневосточный	Республика Бурятия	Мухоршибирский район, с Хонхолой	51,13556	108,25519	51,13556	108,25518	00.08.22	00.09.22	Эо	Атм.	Не отмечалось	В с. Хонхолой Мухоршибирского района (пункт наблюдений с. Хонхолой), овраг №1 развивается в сторону а/дороги республиканского значения. Овраг имеет длину 352 м, ширину 13 м, площадь 4556 м², глубину от 1 до 12 м. Наблюдается небольшое увеличение вреза оврага до 0,3 м и по бортам оврага блоки обвалившегося грунта шириной до 0,8 м. Базис развития – тальвег оврага. Литологический состав пород представлен супесями, суглинками, песками. Фактор активизации: метеорологический (выпадение атмосферных осадков).		
03.2022.0009	Дальневосточный	Республика Бурятия	Мухоршибирский район, с Хонхолой	51,13611	108,26917	51,13611	108,26916	00.08.22	00.09.22	Эо	Атм.	Не отмечалось	В с. Хонхолой Мухоршибирского района (пункт наблюдений с. Хонхолой) в овраге №2 прирост в вершине составил 0,7 м, наблюдается образование трещин, блоки обвалившегося грунта. Длина оврага составляет 727,7 м, ширина – 30,8 м, площадь 22413 м², глубина – 1-12 м. Базис развития – тальвег оврага. Литологический состав пород представлен супесями, суглинками, песками. Фактор активизации: метеорологический (выпадение атмосферных осадков).		
03.2022.0010	Дальневосточный	Республика Бурятия	Мухоршибирский район, в 0,34 км С с. Хонхолой	51,14024	108,24283	51,14024	108,24282	00.08.22	00.09.22	Эо	Атм.	Не отмечалось	В 0,34 км С с. Хонхолой Мухоршибирского района (пункт наблюдений с. Хонхолой) овраг №3 развивается в сторону пашни. Длина оврага 350 м, ширина от 3 до 12 м, глубина от 1,0 до 3,0 м, площадь оврага 4200 м². По бортам оврага наблюдаются блоки обвалившегося грунта до 1,5 м и осыпи. Базис развития – тальвег оврага Литологический состав пород представлен песками, супесями, суглинками (aQ_{III}). Факторы активизации: метеорологический (выпадение атмосферных осадков)		
03.2022.0011	Дальневосточный	Республика Бурятия	Мухоршибирский район, в 1,1 км В с. Хонхолой	51,13346	108,28615	51,13346	108,28614	00.08.22	00.09.22	Эо	Атм.	Не отмечалось	в 1,1 км В с. Хонхолой Мухоршибирского района (пункт наблюдений с. Хонхолой) овраг №4 развивается в сторону пашни. Длина оврага 1405 м, ширина 10,0 м, глубина от 1,0 до 5,0 м, площадь 14050 м. По бортам оврага наблюдаются блоки обвалившегося грунта длиной до 1,5 м небольшие отвершки длиной от 3 до 5 м. Базис развития – тальвег оврага. Литологический состав пород представлен песками, супесями, суглинками (aQ_{III}). Фактор активизации: метеорологический (выпадение атмосферных осадков).		

1	2	3	4	5	6	7	8	9	10	11	12	13	14	15	16
03.2022.0012	Дальневосточный	Республика Бурятия	Мухоршибирский район, в 1,38 км Ю с. Верхний Жирим	51,28628	107,22603	51,28628	107,22602	00.08.22	00.09.22	Эо	Атм.	Не отмечалось	1,38 км на юг от с. Верхний Жирим Мухоршибирского района развивается овраг. Овраг разветвленный, имеет 2 равноценные вершины. Левая вершина активная, длиной 575 м, шириной 5,8 м, площадью 3335 м². В верхней части происходит активное обрушение боковых стенок. Глубина левой вершины колеблется от 1,5 м в вершине до 3,0 м в средней его части. Растет левый овраг, в основном, в ширину, в сторону пашни, за счет обрушения боковых стенок в виде блоков обвалившегося грунта шириной до 1 м. Правая вершина длиной 1100 м, шириной 8,6 м, площадью 9438 м². В верхней части происходит активное разрушение боковых стенок, рост отвершков. В нижней части правый овраг зарос деревьями и кустарниками. И только в районе соединения вершин отмечается обрушение стенок. Вниз по основному руслу борта стабильные, в районе дороги отмечается углубление оврага и обрушение бортов. Длина оврага 1871 м, ширина 6,5 м, площадь 12769 м². Базис развития – р. Хандарагатай. Литологический состав пород представлен средне-мелкозернистыми песками, супесями (Q_{II-III}). Фактор активизации: метеорологический (выпадение атмосферных осадков).		Плановое обследование
03.2022.0013	Дальневосточный	Республика Бурятия	Тарбагатайский район, в 4,5 км С с. Тарбагатай	51,53061	107,35119	51,53061	107,35118	00.08.22	00.09.22	Эо	Атм.	Не отмечалось	4,5 км на север от с. Тарбагатай Тарбагатайского района (пункт наблюдений с. Тарбагатай) овраг №1 развивается в сторону а/дороги республиканского значения. Протяженность оврага 1500 м, ширина до 50 м, площадь 64419 м². По правому борту оврага в сторону а/дороги наблюдаются свежие блоки обвалившегося грунта размером 1х5 м, трещины 0,3х3 м. Базис развития – р. Селенга. Литологический состав пород - супеси, суглинки, пески. Фактор активизации: атмосферные осадки.		
03.2022.0014	Дальневосточный	Республика Бурятия	Тарбагатайский район, в 5,1 км С с. Тарбагатай	51,53570	107,34336	51,53570	107,34335	00.08.22	00.09.22	Эо	Атм.	Не отмечалось	5,1 км на север от с. Тарбагатай Тарбагатайского района (пункт наблюдений с. Тарбагатай) овраг №2 расположен с правой стороны вдоль а/дороги Улан-Удэ-Тарбагатай. Длина оврага 120 м, ширина 13 м, глубина 1,5 до 3,0 м, площадь 1560 м². В средней части оврага наблюдаются небольшие трещины длиной до 0,2 м, видны свежие обвалы грунта. Базис развития – р. Селенга. Литологический состав пород представлен песками, супесями, суглинками (aQ_{III}). Фактор активизации: метеорологический (выпадение атмосферных осадков).		
03.2022.0015	Дальневосточный	Республика Бурятия	Тарбагатайский район, в 5,2 км С с. Тарбагатай	51,53677	107,34710	51,53677	107,34709	00.08.22	00.09.22	Эо	Атм.	Не отмечалось	В 5,2 км на север от с. Тарбагатай Тарбагатайского района (пункт наблюдений с. Тарбагатай) развивается овраг №3 длиной 180 м, шириной 5 м, глубиной от 1,0 до 3,0 м. Площадь оврага составляет 900 м². Базис развития – р. Селенга. Литологический состав пород представлен песками, супесями, суглинками (aQ_{III}). Фактор активизации: метеорологический (выпадение атмосферных осадков).		

1	2	3	4	5	6	7	8	9	10	11	12	13	14	15	16
03.2022.0016	Дальневосточный	Республика Бурятия	г. Улан-Удэ, Октябрьский район, п. Светлый	51,79282	107,68502	51,79282	107,68501	00.08.22	00.09.22	Эо	Атм.	Не отмечалось	В п. Светлый г. Улан-Удэ (пункт наблюдений п. Забайкальский) развивается овраг №2 длиной 41 м, шириной 3 м, площадью 123 м². Отмечаются осыпи боковых стенок оврага. Базис развития – тальвег оврага. Литологический состав пород представлен песками, супесями с дресвой и щебнем (Q_{II-III}). Фактор активизации: метеорологический (выпадение атмосферных осадков).		
03.2022.0017	Дальневосточный	Республика Бурятия	г. Улан-Удэ, Октябрьский район, п. Светлый	51,79327	107,68355	51,79327	107,68354	00.08.22	00.09.22	Эо	Атм.	Не отмечалось	В п. Светлый г. Улан-Удэ (пункт наблюдений п. Забайкальский) развивается овраг № 3 в сторону ЛЭП. Длина оврага 56 м, ширина до 4 м, площадь 224 м². Отмечаются осыпи боковых стенок оврага. Базис развития – тальвег оврага. Литологический состав пород представлен песками, супесями с дресвой и щебнем (Q_{II-III}). Фактор активизации: метеорологический (выпадение атмосферных осадков).		
25.2022.0001	Дальневосточный	Приморский край	Уссурийский городской округ, с. Глуховка	43,76205	132,08280	43,76205	132,08280	00.08.22	09.09.22	Оп	Техн., атм.	Отмечалось	0,5 км юго-западнее с. Глуховка, на участке 661 км автодороги А-370 «Уссури», отмечалась активизация оползневого процесса на придорожном склоне. Степень активности – высокая. Ширина оползневого тела – 25,0 м, длиной – 10,0 м, стенка отрыва – до 3,5 м, уклон поверхности склона - 42 град. Вследствие активизации процесса произошло заполнение придорожного кювета оползневыми массами.		
25.2022.0003	Дальневосточный	Приморский край	Кавалеровский городской округ, с. Устиновка	44,24672	135,17694	44,24672	135,17694	27.08.22	07.09.22	Ос	Техн., атм.	Отмечалось	3,83 км юго-западнее с. Устиновка на 403, 9 км автодороги Находка – Лазо – Ольга – Кавалерово зафиксирована высокая степень активности обвально-осыпного процесса. Длина проявления составила 46,5 – м; ширина – 48 м, уклон – 42,5 град., высота склоновой поверхности – 31,0 м. Вследствие активизации процесса произошло смещение обвально-осыпных масс на дорогу.		
25.2022.0004	Дальневосточный	Приморский край	Ольгинский муниципальный район, с. Горноводное	43,69733	134,73261	43,69733	134,73262	27.08.22	08.09.22	Эо	Атм.	Отмечалось	0,8 км западнее-юго-западнее с. Горноводное на участке 280 км автодороги Находка – Лазо – Ольга – Кавалерово отмечалась активизация процесса овражной эрозии, в результате которой произошло разрушение участка обочины дороги протяженностью 121 м. Овраг имеет следующие параметры: ширина по низу – до 3,0 м; по верху до 4,0 м; глубина эрозионного вреза – 1,6 м		
25.2022.0005	Дальневосточный	Приморский край	Ольгинский муниципальный район, с. Горноводное	43,65304	134,68763	43,65304	134,68763	27.08.22	08.09.22	Эо	Атм.	Отмечалось	6,4 км юго-западнее с. Горноводное на участке 268 км автодороги Находка – Лазо – Ольга – Кавалерово отмечалась активизация процесса овражной эрозии, в результате которой произошло разрушение участка обочины дороги протяженностью 392 м. Овраг имеет следующие параметры: ширина по низу – до 1,7 м; по верху до 5,0 м; глубина эрозионного вреза – до 1,7 м		

1	2	3	4	5	6	7	8	9	10	11	12	13	14	15	16
27.2022.0008	Дальневосточный	Хабаровский край	Вяземский район, в 146 км автодороги А 370	47,36733	134,55750	47,36732	134,55750	00.07.22	30.09.22	Об-Ос	Техн., атм.	Не отмечалось	В Вяземском районе, на участке автодороги А-370 (146 км) отмечалась активизация обвально-осыпных процессов. Проявление развивается на придорожном склоне углом уклона от 60 до 90º, высотой от 10 до 30 м в выветрелых скальных пород мелового возраста (порфиры, сланцы). На участке периодически происходят обвалы и осыпи с образованием осыпных шлейфов и конусов выноса обломочного материала к подножью склона и на полотно автодороги. Базис эрозии подножье склона. Отдельные высыпания с полотна автодороги периодически устраняются дорожными службами. Проявление современное, его активность связана с подрезкой склона при строительстве автодороги и метеорологическими факторами, приводящими к переувлажнению горных пород. В момент обследования негативных воздействий не зафиксировано.		
27.2022.0010	Дальневосточный	Хабаровский край	Нанайский район, 81 (297) км автодороги Лидога-Ванино	49,33034	137,82976	49,33034	137,82976	00.07.22	30.09.22	ГР	Техн., атм.	Не отмечалось	На участке 81 км, 297км от Хабаровска автодороги А-376 в Нанайском районе на придорожном склоне высотой до 15-20 м с углом уклона до 90º отмечено обвально-осыпное накопление разрушенных пород у подножья склона протяженностью до 20 м высотой до 1,0-1,5 м. Проявление современное, степень активности низкая, связана с подрезкой и зачисткой склона при строительстве автодороги и климатическими факторами, приводящими к переувлажнению грунтов. Защитные и укрепляющие сооружения отсутствуют. Рекомендуется устройство удерживающих сооружений и конструкций, агролесомелиорация. В момент обследования зафиксировано высыпания обломков на дорожное полотно		

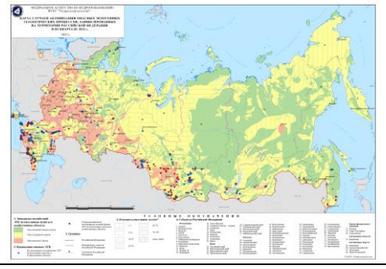
1	2	3	4	5	6	7	8	9	10	11	12	13	14	15	16
27.2022.0011	Дальневосточный	Хабаровский край	Нанайский район, 87 (302) км автодороги Лидога-Ванино	49,30527	137,87432	49,30527	137,87432	00.07.22	30.09.22	Об-Ос	Техн., атм.	Не отмечалось	На участке 87 (302 км от Хабаровска) км автодороги А-376 на придорожном склоне высотой до 30 м с уклоном до 60º, сложенном породами юрско-мелового возраста отмечена активизация обвально-осыпных процессов в виде осыпных шлейфов на участке протяженностью 50 м. Выносы обвально-осыпного материала на полотно автодороги периодически устраняются дорожными службами. Проявление современное, его активность связана с подрезкой и зачисткой склона при строительстве автодороги и климатическими факторами, приводящими к переувлажнению грунтов. В момент обследования негативного воздействия не отмечено.		
27.2022.0012	Дальневосточный	Хабаровский край	Нанайский район, 90 (303) км автодороги Лидога-Ванино	49,30348	137,89362	49,30348	137,89362	00.07.22	30.09.22	Об-Ос	Техн., атм.	Не отмечалось	На участке 90 км (303 км от Хабаровска) автодороги А-376 на придорожном склоне высотой до 30 м с уклоном до 60º, сложенном породами юрско-мелового возраста отмечена активизация обвально-осыпных процессов. На участке протяженностью до 100 м периодически происходят обвалы и осыпи с образованием осыпных шлейфов у подножья склона и выносом осыпного материала на полотно автодороги. Выносы обвально-осыпного материала на полотно автодороги периодически устраняются дорожными службами. Проявление современное, его активность связана с подрезкой склона при строительстве автодороги и климатическими факторами, приводящими к переувлажнению грунтов. Защитные сооружения отсутствуют. В момент обследования негативного воздействия не отмечено.		

1	2	3	4	5	6	7	8	9	10	11	12	13	14	15	16
27.2022.0013	Дальневосточный	Хабаровский край	Ванинский район, 97 (309) км автодороги Лидога-Ванино	49,28978	137,96930	49,28978	137,96930	00.07.22	30.09.22	Об-Ос	Техн., атм.	Не отмечалось	На участке 97км (309 км от Хабаровска) автодороги А-376 у подножья придорожного склона высотой до 20м с уклоном до 60º, отмечено свежее обвально-осыпное скопление разрушенных пород юрско-мелового возраста высотой до 3 м в виде конуса, длиной до 5 м. Выносы осыпного материала на полотно автодороги периодически устраняются дорожными службами. Проявление современное, его активность связана с подрезкой склона при строительстве автодороги и климатическими факторами, приводящими к переувлажнению грунтов. В момент обследования негативного воздействия не отмечено.		
27.2022.0014	Дальневосточный	Хабаровский край	Ванинский район, 128 (341) км автодороги Лидога-Ванино	49,21520	138,25273	49,21520	138,25273	00.07.22	30.09.22	Об-Ос	Техн., атм.	Не отмечалось	На участке 128 км (341км от Хабаровска) автодороги А-376 у подножья придорожного склона высотой до 10-15 м сложенном породами мезозойского возраста отмечена активизация обвально-осыпных процессов. На участке 100 м периодически происходят осыпи с образованием осыпных шлейфов у подножья склона и выносом осыпного материала на полотно автодороги. Выносы осыпного материала на полотно автодороги периодически устраняются дорожными службами. Проявление современное, его активность связана с подрезкой склона при строительстве автодороги и климатическими факторами, приводящими к переувлажнению грунтов. Защитные сооружения отсутствуют. В момент обследования негативного воздействия не отмечено.		

1	2	3	4	5	6	7	8	9	10	11	12	13	14	15	16
28.2022.0001	Дальневосточный	Амурская область	Бурейский район, с. Виноградовка	49,62819	129,36192	49,62819	129,36192	00.07.22	Не завер-шилась	Эо	Атм.	Отмечалось	В окрестностях с. Виноградовка в момент обследования отмечена активизация процесса овражной эрозии в виде обваливающихся стенок. Овраг № 1, длина оврага до 1000м, ширина в среднем составляет 0,5-1,0м, глубина оврага – 2,5 м. Литологический состав пород представлен супесями, суглинками, мелкозернистыми песками. Фактор активизации: метеорологический (атмосферные осадки). Мероприятия инженерной защиты не проводятся. Негативное воздействие в виде разрушения сельскохозяйственных земель.		
28.2022.0002	Дальневосточный	Амурская область	Октябрьский район	50,48828	129,07561	50,48828	129,07561	00.07.22	Не завер-шилась	Эо	Атм.	Отмечалось	На 1519 км а/д Р-297 Амур в момент обследования отмечена активизация процесса овражной эрозии. Овраг № 1, длина оврага до 125 м, ширина в среднем составляет 6,0, глубина оврага – 3-4 м. Литологический состав пород представлен супесями, суглинками, мелкозернистыми песками. Фактор активизации: метеорологический (атмосферные осадки). Мероприятия инженерной защиты не проводятся. Негативное воздействие в виде разрушения сельскохозяйственных земель.		
28.2022.0003	Дальневосточный	Амурская область	Октябрьский район	50,48971	129,07466	50,48971	129,07466	00.07.22	Не завер-шилась	Эо	Атм.	Отмечалось	На 1519 км а/д Р-297 Амур в момент обследования отмечена активизация процесса овражной эрозии. Овраг № 2, длина оврага до 105 м, ширина в среднем составляет 15,0, глубина оврага – 3-4 м. Литологический состав пород представлен супесями, суглинками, мелкозернистыми песками. Фактор активизации: метеорологический (атмосферные осадки). Мероприятия инженерной защиты не проводятся Негативное воздействие в виде разрушения сельскохозяйственных земель..		

1	2	3	4	5	6	7	8	9	10	11	12	13	14	15	16
28.2022.0005	Дальневосточный	Амурская область	Свободненский	50,99869	127,81025	50,99869	127,81025	00.07.22	Не завершилась	ГР	Атм.	Не отмечалось	На а/д Благовещенск – Свободный, севернее с. Натальино отмечена активизация гравитационных процессов в виде обвально-осыпных процессов. Состав осыпающейся массы песчано-дресвяно-щебнистый. Фактор активизации: метеорологический (атмосферные осадки). Мероприятия инженерной защиты не проводятся. В зоне потенциального воздействия опасных ЭГП автомобильная дорога. Протяженность активного участка ~1500 м.		
65.2022.0001	Дальневосточный	Сахалинская область	Холмский район	47,05875	142,11736	47,05875	2,11736	00.07.22	00.10.22	Ос	Сейсм, атм;	Отмечалось	В результате активизации ЭГП произошло перемещение обломочного материала вниз по склону на участок автодороги Южно-Сахалинск – Холмск (А-392). Длина – около 30 м. Ширина – 15 м. Площадь – 390 м². В результате активизации ЭГП произошло перемещение обломочного материала вниз по склону, что оказало негативное влияние на автодорожное полотно.		
65.2022.0002	Дальневосточный	Сахалинская область	Холмский район	47,05706	142,11360	47,05706	142,11360	00.07.22	00.10.22	Эо	Атм;	Не отмечалось	В результате активизации ЭГП произошло частичное повреждение откоса дорожного полотна автодороги Южно-Сахалинск – Холмск (А-392). Размер многочисленных эрозионных борозд от 0,52 до 18,8 м. Ширина: от 0.05 до 0.83 см. Негативное воздействие ЭГП заключается в частичном разрушении откоса автодорожного полотна.		
75.2022.0004	Дальневосточный	Забайкальский край	Балейский район, карьер Балейский	51,56999	116,64840	51,56999	116,64839	00.04.22	00.09.22	Оп	Техн., атм.	Не отмечалось	На северо-восточном борту Балейского карьера (ПН Балейский карьер) развивается блоковый оползень длиной 42 м, шириной 12 м, глубина зоны развития до 3,8 м. Вертикальное смещение южной части оползня по стенке отрыва до 3,2 м, в центральной и северной части оползня до 1,3 м. Фронтальная часть оползня разрушается абразией. На теле оползня и на стенке отрыва эрозионные борозды и промоины. Карьер вскрывает аллювиальные четвертичные отложения р. Унда и верхнеюрские песчаники, конгломераты. Факторы активизации: техногенный – открытая горная выработка и метеорологический (повышенное количество осадков)		
75.2022.0005	Дальневосточный	Забайкальский край	Балейский район, в 0,7 км Ю г. Балей, мкр. Тасеево, Тасеевское шахтное поле	51,55531	116,65482	51,55531	116,65481	00.04.22	00.09.22	От	Техн., атм.	Не отмечалось	В 0,7 км Ю г. Балей, мкр. Тасеево (ПН Тасеевское шахтное поле) обследован провал глубиной 4,2 м. Провал образовался в 2022 г. на дне существующего провала округлой формы диаметром 50 м и глубиной 40 м. На бортах крутизной до 60° новообразованного провала развиваются эрозионные борозды, растительность отсутствует. Провал овальной формы длиной 7,4 м, шириной 4,6 м. Факторы активизации: техногенный (наличие подземных горных выработок) и метеорологический (повышенное количество осадков).		

1	2	3	4	5	6	7	8	9	10	11	12	13	14	15	16
75.2022.0006	Дальневосточный	Забайкальский край	Балейский район, в 0,9 км СЗ г. Балей, мкр. Каменка, Каменский карьер	51,59687	116,66778	51,59687	116,66777	00.04.22	00.09.22	Эо	Техн., атм.	Не отмечалось	В 0,9 км СЗ г. Балей, мкр. Каменка на западном борту Каменского карьера развивается овраг длиной 109 м и глубиной до 7,5 м в устьевой части, имеет V-образный поперечный профиль. Конус выноса площадью 6680 м², сложен пролювиальными отложениями грязно-белого цвета мощностью до 0,6 м, представленными песчаной супесью с включением глыб, гальки, щебня различного петрографического состава (продукты выветривания конгломератов). Факторы активизации: техногенный (открытая горная выработка) и метеорологический (повышенное количество осадков).		Плановое обследование
75.2022.0007	Дальневосточный	Забайкальский край	Балейский район, в 1,2 км З г. Балей, мкр. Каменка, Каменский карьер	51,59687	116,66778	51,59687	116,66777	00.04.22	00.09.22	Оп	Техн., атм.	Не отмечалось	В 1,2 км З г. Балей, мкр. Каменка на СЗ борту Каменского карьера развивается блоковый оползень. Стенка отрыва крутизной от 60 до 90 ˚ длиной 176 м, высотой до 2,5 м, в плане дугообразной формы. Оползень длиной 92 м, шириной 278 м, площадью 0,0256 км². Тело оползня бугристое, блоки грунта разбиты трещинами растяжения шириной 0,1-0,6 м. Факторы активизации: техногенный (открытая горная выработка) и метеорологический (повышенное количество осадков).		Плановое обследование
75.2022.0008	Дальневосточный	Забайкальский край	Балейский район, в 2,7 км З с. Алия, Алиинская россыпь	51,61979	117,07776	51,61979	117,07775	00.04.22	00.09.22	Ос	Техн., атм.	Не отмечалось	В 2,7 км З с. Алия, на СЗ борту карьера развивается осыпь. Борт высотой 8 м, отвесный, у его подошвы на всем протяжении сформировался осыпной шлейф мощностью до 2,5 м и длиной до 3,5 м. Осыпь сложена аллювиальными песчано-гравийно-галечными отложениями первой надпойменной террасы р. Алия. Галька различного петрографического состава, размером до 10 см, отложения плотные. На дне карьера образовался водоем глубиной 0,5 м. Факторы активизации: техногенный (открытая горная выработка) и метеорологический (повышенное количество осадков).		Плановое обследование
75.2022.0009	Дальневосточный	Забайкальский край	Читинский район, в 1,9 км З с. Засопка, Засопкинский карьер нерудных материалов	52,01346	113,38165	52,01346	113,38164	00.04.22	00.09.22	Оп	Атм., техн.	Не отмечалось	В Читинском районе, в 1,9 км З с. Засопка, на уступе IV н. п. террасы р. Ингода. (ПН Засопкинский карьер нерудных материалов) развивается оползень шириной 29 м, длиной 64 м, площадью 0,0019 км². Стенка отрыва оползня высотой 2,8 м и углом наклона до 90º, по трещинам бортового отпора смещение грунта на тыловую часть оползня. Скорость смещения оползня 0,7 м/год. Средняя часть оползня бугристая, покрыта трещинами растяжения шириной до 24 см, ориентированных, в основном, поперек направления движения оползня. Фронтальная его часть со следами струйчатой эрозии. По трещинам растяжения отделение блоков деляпсия от тела оползня. Факторы активизации: метеорологический (повышенное количество осадков) и техногенный – открытая горная выработка.		

1	2	3	4	5	6	7	8	9	10	11	12	13	14	15	16
75.2022.0010	Дальневосточный	Забайкальский край	г. Чита, в 0,6 км ЮЮЗ мкр. п. Рудник Кадала, Черновское шахтное поле	52,02778	113,27667	52,02778	113,27666	00.04.22	00.09.22	От	Техн., атм.	Не отмечалось	В 0,6 км ЮЮЗ мкр. п. Рудник Кадала, (ПН Черновское шахтное поле) обследован провал глубиной 4,2 м, Оседание поверхности над горной выработкой, образовавшейся в 2020 г. По сравнению с обследованием 2021 г., глубина провала уменьшилась из-за осыпания грунта со стенок, площадь увеличилась до 7,3 м². Факторы активизации: техногенный (наличие подземных горных выработок) и метеорологический (повышенное количество осадков).	 	

ПРИЛОЖЕНИЕ 3

ФОТОМАТЕРИАЛЫ

Северо-Западный федеральный округ



Фото 51.2022.0001. Активизация оползневого процесса в районе 1191 км а/м трассы Р-21 «Кола»

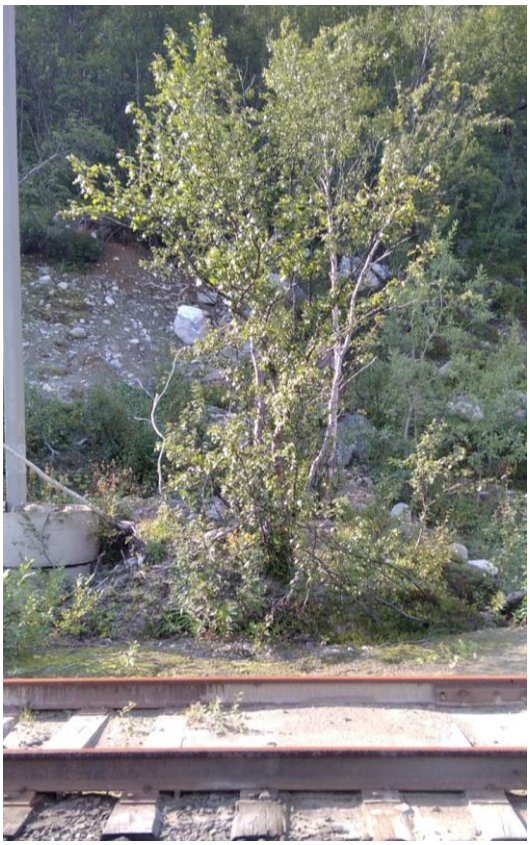


Фото 51.2022.0002 Активизация оползневого процесса на ж/д ст. Мохнаткина пахта, 16-й км перегона Мурманск – Североморск Мурманского отделения Октябрьской ЖД



Фото 51.2022.0003 Активизация оползневого процесса в поселке Лопарская



Фото 51.2022.0004. Активизация осыпного процесса в поселке Лопарская



Фото 51.2022.0005 Активизация оползневого процесса на Нижне-Ростинском шоссе в г. Мурманск в районе автобусной остановки «Торговый порт»

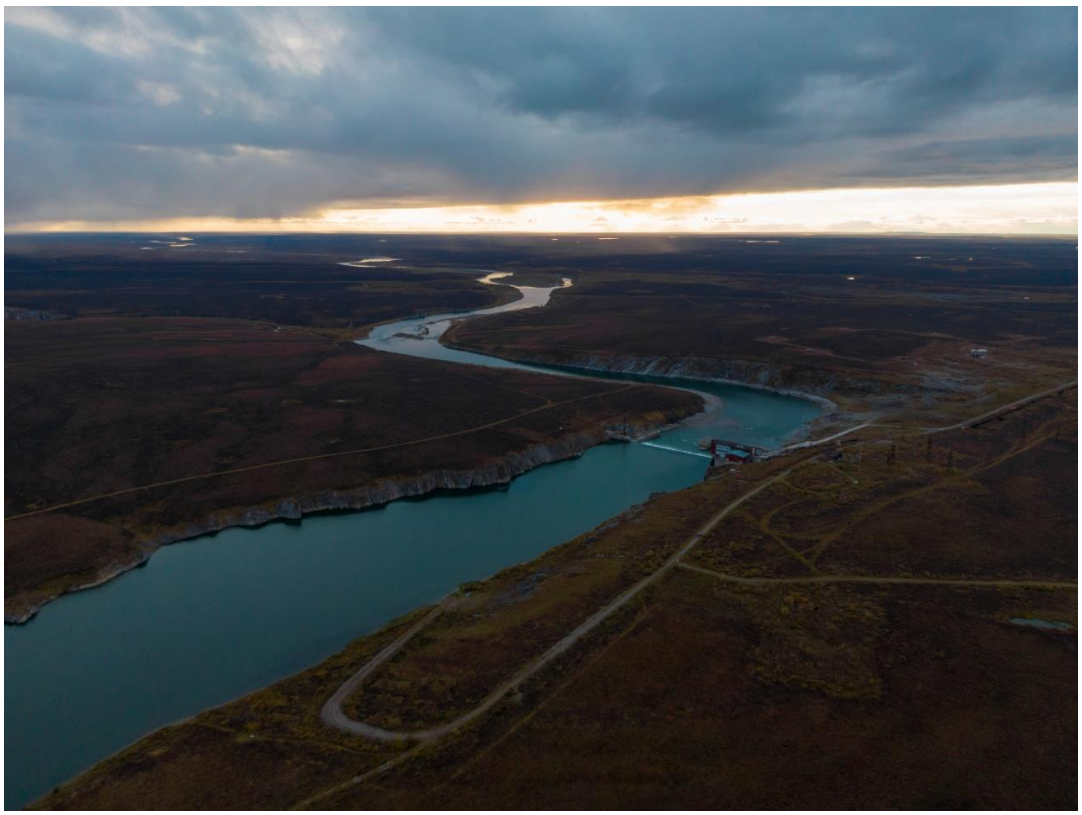


Фото 11.2022.0007 Воркутинский опорный мерзлотно-гидрогеологический полигон

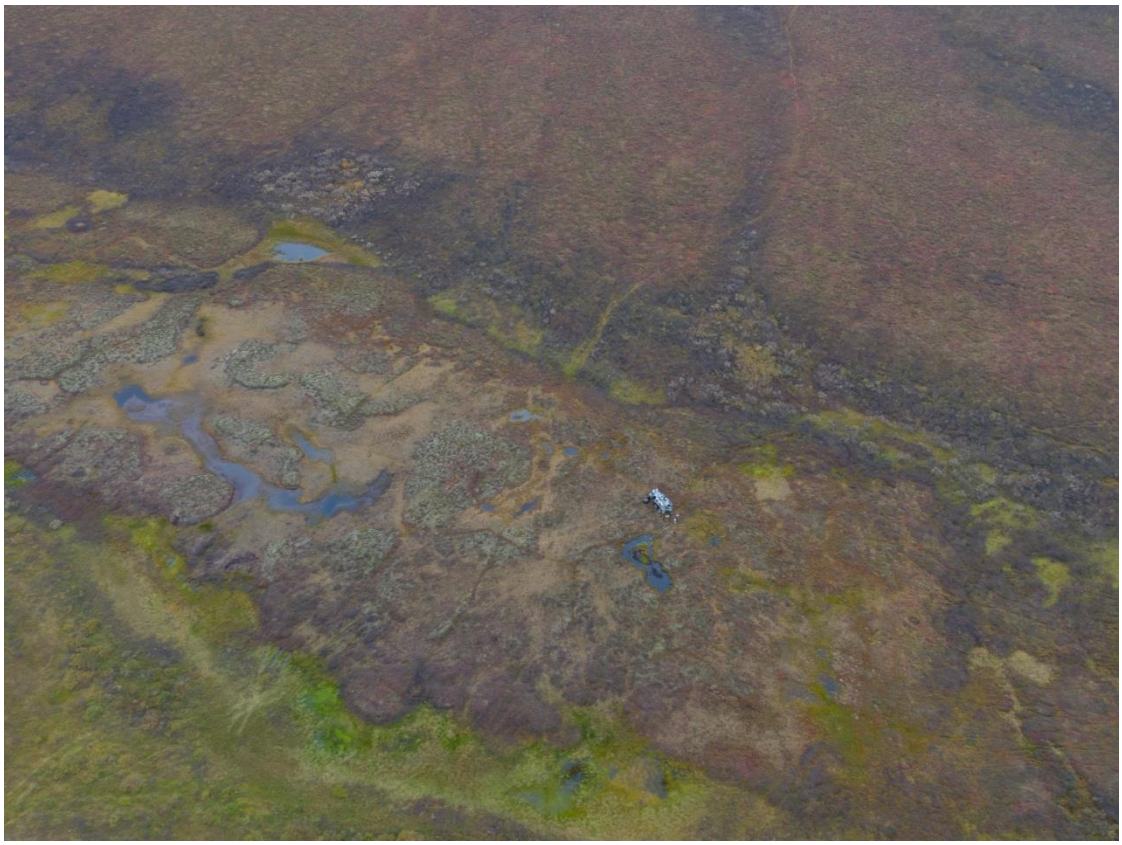


Фото 11.2022.0008 Воркутинский опорный мерзлотно-гидрогеологический полигон



Фото 11.2022.0010 МО ГО "Воркута", 30 от г.Воркута, Криогенное пучение, выпучивание участка геосетки над ниткой газопровода Бованенково-Ухта

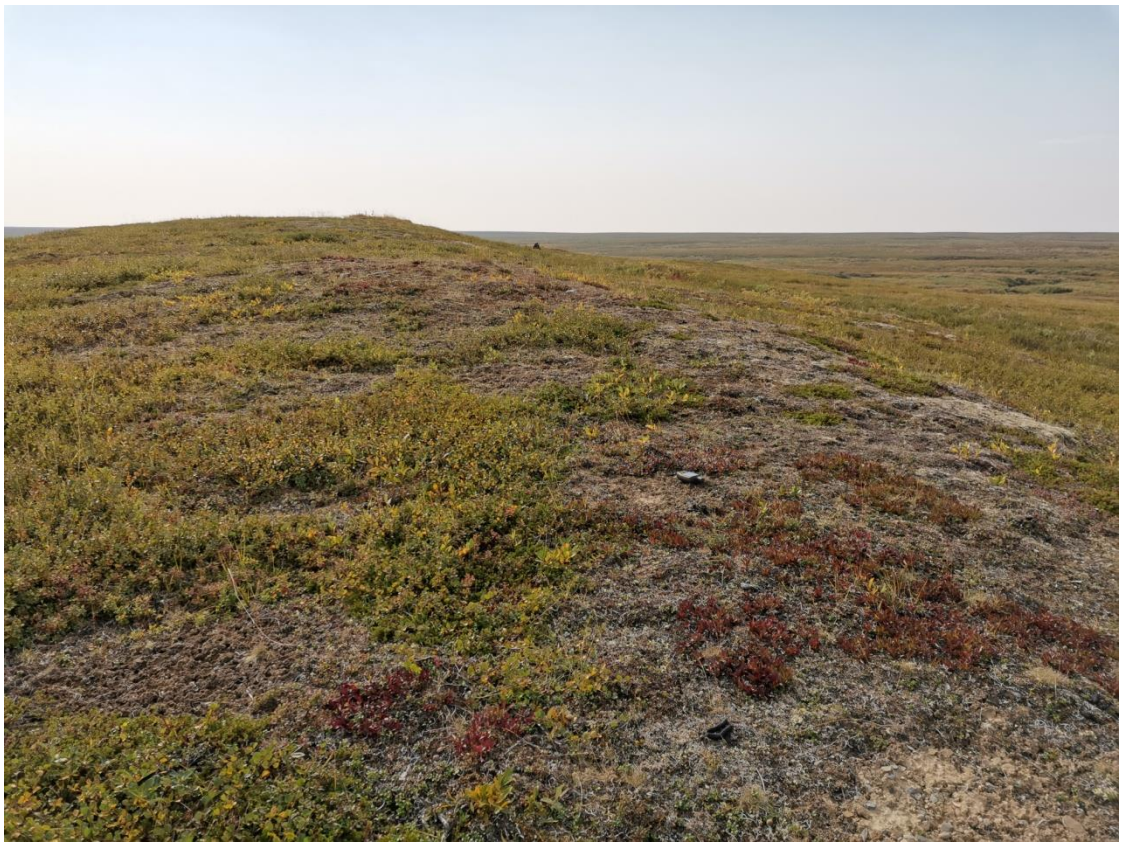


Фото 11.2022.0011 МО ГО "Воркута", Криогенное пучение на участке Воргашорский

Центральный федеральный округ



Фото 32-2022-0005 Процесс овражной эрозии в г. Брянске Советском р-не, в 40 м северо-восточнее д. 20 по ул. Грибоедова, памятник природы овраг "Нижний Судок" Брянская область



Фото 32-2022-0006 Процесс овражной эрозии в г. Брянске Советском р-не, в 30 м северо-восточнее д. 28 по ул. Топальской, памятник природы овраг «Верхний Судок», Брянская область



Фото 32-2022-0007 Оползневой процесс в Трубчевский район, г. Трубчевск, пер. Свердлова, Брянская область



Фото 44-1110-0003 Оползневой процесс по ул. Луговая д. 59, с. Завражье, Кадыйский район, Костромская область



Фото 44-1110-0004 Оползневой процесс 600 м на восток от с. Подольское, Красносельский район, Костромская область



Фото 67-2022-0004 Оползневой процесс, ул. Шевченко, г. Смоленск, Смоленская область



Фото 67-2022-0005 Оползневой процесс, 600 м юго-западнее д. Дачная-2, Смоленский район, Смоленская область



Фото 76-2022-0003 Оползневой процесс в с. Семеновское, Рыбинский район, Ярославская область

Южный федеральный округ

Краснодарский край



Фото 23.2022.0163. Активизация оползневого процесса в Щербиновском районе, в 2,0 км к востоку от х. Молчановка



Фото 23.2022.0164. Активизация оползневого процесса в Щербиновском районе, в 3,0 км к востоку от х. Молчановка



Фото 23.2022.0165 Активизация оползневого процесса в Щербиновском районе, в 0,3 км к северу от с.Глафировка



Фото 23.2022.0166. Активизация оползневого процесса в Щербиновском районе, в 2,3 км к северу от с.Глафировка



Фото 23.2022.0167. Активизация обвального процесса в Щербиновском районе, в 1,8 км к северу от с.Глафировка



Фото 23.2022.0168. Активизация обвального процесса в Щербиновском районе, в 5,4 км к северу от с.Глафировка



Фото 23.2022.0169. Активизация оползневого процесса в Щербиновском районе, в 3,4 км юго-западу от с. Шабельское



Фото 23.2022.0170. Активизация обвального процесса в Щербиновском районе, в 1,4 км юго-западу от с. Шабельское



Фото 23.2022.0171 Активизация обвального процесса в Ейском районе, в 0,6 км к востоку от ст-цы Должанской



Фото 23.2022.0172 Активизация обвального процесса в Ейском районе, в 6-12 км к востоку от ст-цы Должанской



Фото 23.2022.0173. Активизация оползневого процесса в Ейском районе, 1,6 км к юго-западу от с. Воронцовка



Фото 23.2022.0174. Активизация обвального процесса в Ейском районе, на северо-восточной окраине с. Воронцовка



Фото 23.2022.0175. Активизация оползневого процесса в Ейском районе, в 1 км к северо-востоку от с. Воронцовка



Фото 23.2022.0176. Активизация оползневого процесса в Ейском районе, в 0,8 км к западу от х. Морского



Фото 23.2022.0177. Активизация обвального процесса в Ейском районе, в 1,7 км к северо-западу от ст-цы Камышеватской



Фото 23.2022.0178. Активизация обвального процесса в Ейском районе, в 1,7 км в 3,9 км к северо-западу от х. Шиловка



Фото 23.2022.0179. Активизация обвального процесса в Ейском районе, в 6,5 км к юго-востоку от ст-цы Камышеватской



Фото 23.2022.0180. Активизация обвального процесса в Ейском районе, в 5 км к юго-востоку от ст-цы Камышеватской



Фото 23.2022.0181. Активизация обвального процесса в Приморско-Ахтарском районе, в 2 км к юго-западу от х. Морозовского



Фото 23.2022.0182. Активизация обвального процесса в Приморско-Ахтарском районе, в 4,5 км к востоку от х. Томаровского



Фото 23.2022.0183. Активизация оползневого процесса в Темрюкском районе, в ст-це Голубицкой



Фото 23.2022.0184. Активизация оползневого процесса в Темрюкском районе, в 1,0 км к западу от ст-цы Голубицкой



Фото 23.2022.0185. Активизация оползневого процесса в Темрюкском районе, на северной окраине п. Пересыпь



Фото 23.2022.0186. Активизация оползневого процесса в Темрюкском районе, на западной окраине от п. За Родину



Фото 23.2022.0187. Активизация оползневого процесса в Темрюкском районе в 4,5 км к юго-востоку от п. Кучугуры



Фото 23.2022.0188. Активизация оползневого процесса в Темрюкском районе в 3,6 км к северо-западу от п. Кучугуры



Фото 23.2022.0189. Активизация оползневого процесса в Темрюкском районе в 3,7 км к востоку от п. Приазовский



Фото 23.2022.0190. Активизация оползневого процесса в Темрюкском районе в 2,4 км к востоку от п. Приазовский



Фото 23.2022.0191. Активизация оползневого процесса в Темрюкском районе в 1,7 км к востоку от п. Приазовский



Фото 23.2022.0192. Активизация оползневого процесса в Темрюкском районе в 0,5 км к северу от п. Приазовский



Фото 23.2022.0193. Активизация оползневого процесса в Темрюкском районе на северо-западной окраине п. Тамань



Фото 23.2022.0194. Активизация оползневого процесса в Темрюкском районе на северо-западной окраине п. Тамань



Фото 23.2022.0195 Активизация оползневого процесса в Темрюкском районе в 1,7 км к северо-западу от п. Тамань



Фото 23.2022.0196. Активизация оползневого процесса в Темрюкском районе в 4,0 км к западу от п. Тамань



Фото 23.2022.0197. Активизация оползневого процесса в Темрюкском районе в 2 км к югу от мыса Тузла



Фото 23.2022.0198. Активизация оползневого процесса в Темрюкском районе в 1,5 км к юго-востоку от п.Волна, мыс Железный Рог



Фото 23.2022.0199. Активизация обвального процесса в Темрюкском районе в 0,25 км к юго-востоку от п. Волна



Фото 23.2022.0200. Активизация оползневого процесса в Темрюкском районе на южной окраине п.Волна



Фото 23.2022.0201. Активизация оползневого процесса в Темрюкском районе в 1,5 км к западу от п. Веселовка



Фото 23.2022.0202. Активизация оползневого процесса в Темрюкском районе в 1,5 км к югу от п. Артющенко



Фото 23.2022.0203. Активизация оползневого процесса в Темрюкском районе в 1,7 км к юго-западу от п. Артющенко



Фото 23.2022.0204. Активизация оползневого процесса в Темрюкском районе в 1,8 км к юго-западу от п. Артющенко

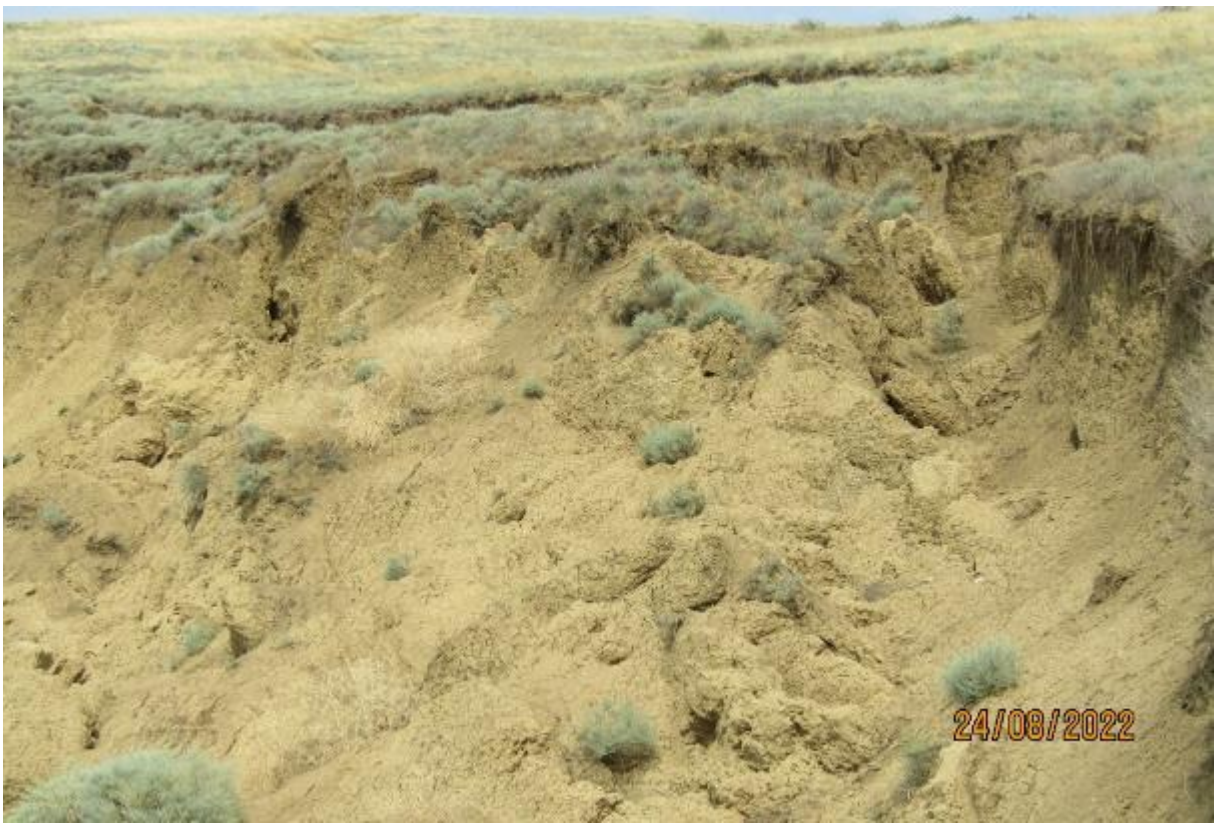


Фото 23.2022.0205. Активизация оползневого процесса в Темрюкском районе в 2,2 км к югу от п. Таманского



Фото 23.2022.0206. Активизация оползневого процесса в Темрюкском районе в 2,6 км к юго-западу от п. Таманского



Фото 23.2022.0207. Активизация оползневого процесса в Абинском районе на южной окраине ст-цы Холмской



Фото 23.2022.0208 Активизация оползневого процесса в МО г.Геленджик в 1,5 км к северо-западу от с. Михайловский перевал



Фото 23.2022.0209 Активизация оползневого процесса в МО г. Горячий Ключ на северной окраине ст-цы Бакинской



Фото 23.2022.0210 Активизация оползневого процесса в МО г. Горячий Ключ в 2,8 км к северо-западу от с. Безымянное, оползневые деформации на автодороге Горячий Ключ – ст-ца Фанагорийская,



Фото 23.2022.0211. Активизация оползневого процесса в МО г. Горячий Ключ в 0,4 км к западу от п. Транспортный, оползневые деформации на автодороге автодороги 03К-0029 (Апшеронск – Горячий Ключ)



Фото 23.2022.0212. Активизация оползневого процесса в МО г. Горячий Ключ в 1,5 км к западу от п. Транспортный, оползневые деформации на автодороге 03К-0029 (Апшеронск – Горячий Ключ)



Фото 23.2022.0213. Активизация оползневого процесса в МО г. Горячий Ключ в 2,5 км к северо-западу от п. Транспортный, оползневые деформации на автодороге 03К-0029 (Апшеронск – Горячий Ключ)



Фото 23.2022.0214. Активизация оползневого процесса в МО г. Горячий Ключ в 2,1 км к юго-востоку от п. Октябрьского, оползневые деформации на автодороге 03К-0029 (Апшеронск – Горячий Ключ)



Фото 23.2022.0215. Активизация оползневого процесса в Апшеронском районе в 0,6 км к юго-востоку от п. Станционного



Фото 23.2022.0216. Активизация оползневого процесса в Апшеронском районе на северо-восточная окраине г. Апшеронска, на левом берегу р. Пшехи.



Фото 23.2022.0217. Активизация оползневого процесса в Апшеронском районе на северо-восточная окраине г. Апшеронска, на правом берегу р. Пшехи.



Фото 23.2022.0218. Активизация оползневого процесса в Апшеронском районе в 0,7 км к западу от г. Хадыженска, разрушение участка автодороги 03К-003 (Майкоп-Апшеронск)



Фото 23.2022.0219. Активизация оползневого процесса в Апшеронском районе в 2 км к юго-западу от х. Красная Горка, разрушение участка автодороги 03К-003 (Майкоп-Апшеронск)



Фото 23.2022.0220. Активизация оползневого процесса в Апшеронском районе в 1 км к востоку от п. Асфальтовая Гора, деформации на участке автодороги 03К-029 (Апшеронск – Горячий Ключ)



Фото 23.2022.0221. Активизация оползневого процесса в Апшеронском районе в 0,85 км к востоку от п. Асфальтовая Гора, деформации на участке автодороги 03К-029 (Апшеронск – Горячий Ключ)



Фото 23.2022.0222. Активизация оползневого процесса в Туапсинском районе в 2,2 км к северу от п. Джубга, 1441 км автодороги М4 «Дон»,



Фото 23.2022.0223. Активизация оползневого процесса в Туапсинском районе в 3 км к северо-востоку от с. Молдавановское, в верховом откосе автодороги М-4 «Дон»



Фото 23.2022.0224. Активизация оползневого процесса в Усть-Лабинском районе на южной окраине п. Двубратский



Фото 23.2022.0225. Активизация оползневого процесса в Кавказском районе на юго-восточной окраине ст-цы Кавказской



Фото 23.2022.0226. Активизация оползневого процесса в Кавказском районе в 1,3 км к востоку от ст-цы Темижбекской

Ecgtycrjv



Фото 23.2022.0227. Активизация оползневого процесса в Успенском районе в 0,7 км к западу от а.Кургоковского



Фото 23.2022.0228. Активизация оползневого процесса в Успенском районе в 0,6 км к северо-востоку от северной окраины а. Урупского



Фото 23.2022.0229 Активизация оползневого процесса в Успенском районе в 1,0 км к востоку от северной окраины а. Урупского



Фото 23.2022.0230. Активизация оползневого процесса в Успенском районе в 0,6 км к северо-востоку от а. Коноковского



Фото 23.2022.0231. Активизация оползневого процесса в Отрадненском районе в 1км к востоку от х. Садового, деформации полотна автодороги 03К-385 (подъезд к х. Садовому).



Фото 23.2022.0232. Активизация оползневого процесса в Апшеронском районе на северо-западной окраине ст-цы Ширванской



Фото 23.2022.0233. Активизация оползневого процесса в Лазаревском районе МО г. Сочи в районе с. Мамедова Щель, деформации полотна автодороги по ул. Ручейной



Фото 23.2022.0234. Активизация оползневого процесса в Лазаревском районе МО г. Сочи в районе с. Мамедова Щель, деформации полотна автодороги по ул. Ручейной



Фото 23.2022.0235. Активизация оползневого процесса в Лазаревском районе МО г. Сочи в 500 м к северо-западу от от ж/д станции Мамедова Щель



Фото 23.2022.0236. Активизация оползневого процесса в Лазаревском районе МО г. Сочи в районе в 0,9-1,5 км к северо-западу от мкр. Головинка



Фото 23.2022.0237. Активизация оползневого процесса в Лазаревском районе МО г. Сочи в 0,8 км к юго-востоку от с. Зубова Щель



Фото 23.2022.0238. Активизация оползневого процесса в Лазаревском районе МО г. Сочи в 0,4 км к юго-западу от с. Зубова Щель



Фото 23.2022.0239. Активизация оползневого процесса в Лазаревском районе МО г. Сочи в 0,3 км к юго-западу от с. Зубова Щель



Фото 23.2022.0240. Активизация оползневого процесса в Лазаревском районе МО г. Сочи в 0,2 км к юго-западу от СНТ «Здоровье»



Фото 23.2022.0241. Активизация оползневого процесса в Лазаревском районе МО г. Сочи в 0,1 км к юго-западу от СТ «Родники»



Фото 23.2022.0049. Активизация оползневых процессов в языковой части оползня в с. Сергей-Поле МО г. Сочи в районе коттеджного поселка «Горная Поляна»



Фото 23.2022.0242. Активизация оползневого процесса на юго-западной окраине аула Малый Кичмай по ул. Заречная. МО город-курорт Сочи, Лазаревский район.



Фото 23.2022.0243. Разрушение полосы автомобильной дороги в мкрн. Культурное Уч-Дере по ул. Чайная. МО город-курорт Сочи, Лазаревский район.



Фото 23.2022.0244. Активизация оползневого процесса на участке дороги 03К-458 на южной окраине с. Альтмец. МО город-курорт Сочи, Лазаревский район.



Фото 23.2022.0245. Деформации автомобильной дороги на южной окраине с. Третья Рота по ул. Счастливая. МО город-курорт Сочи, Лазаревский район.



Фото 23.2022.0246. Оползневые деформации на северной окраине с. Харциз Первый, на участке дороги 03К-467 (Подъезд к с. Харциз Первый). МО город-курорт Сочи, Лазаревский район.



Фото 23.2022.0247. Активизация оползневых процессов в с. Сергей-Поле по ул. Славы (выезд на с. Разбитый Котел). МО город-курорт Сочи, Лазаревский район.



Фото 23.2022.0248. Разрушение проезжей части на въезде в с. Разбитый Котел (участок дороги 03К-450). МО город-курорт Сочи, Лазаревский район.



Фото 23.2022.0249. Разрушение проезжей части в с. Разбитый Котел (ул. Звездная по дороге на «СТ Каштан-2», «Чаевод»). МО город-курорт Сочи, Лазаревский район.



Фото 23.2022.0250. Активизация оползневого процесса на участке дороги 03К-466 (с. Сергей-Поле - с. Васильевка). МО город-курорт Сочи, Лазаревский район.



Фото 23.2022.0251. Активизация оползневых процессов в мкрн. Заречный по ул. Цюрупы. МО город-курорт Сочи, Центральный район.



Фото 23.2022.0252. Разрушение проезжей части к югу от СТ Восточное, СТ Юг. МО город-курорт Сочи, Хостинский район.



Фото 23.2022.0253. Разрушение дорожного полотна оползневыми процессами в мкрн. Малый Ахун по ул. Новороссийское шоссе. МО город-курорт Сочи, Хостинский район.



Фото 23.2022.0254. Оползневые процессы в верховом откосе дороги в мкрн. Малый Ахун по ул. Новороссийское шоссе в районе пляжа Спутник. МО город-курорт Сочи, Хостинский район.



Фото 23.2022.0255. Деформации на дороге в мкрн. Малый Ахун (ул. Дорога на Большой Ахун в 0,3 км к северо-востоку от Агурского виадука). МО город-курорт Сочи, Хостинский район.



Фото 23.2022.0256. Оползневые деформации на южной окраине с. Измайловка, на участке дороги 03К-453 (ул. Измайловская). МО город-курорт Сочи, Хостинский район.



Фото 23.2022.0257. Деформации дорожного полотна на южной окраине с. Раздольное, СТ Дубрава 1. МО город-курорт Сочи, Хостинский район.



Фото 23.2022.0258. Активизация оползневого процесса на Новороссийском шоссе (между пансионатом "Электроника" и санаторием "Мыс Видный"). МО город-курорт Сочи, Хостинский район.



Фото 23.2022.0259. Оползневые деформации в южной части с. Каштаны по ул. Мичурина. МО город-курорт Сочи, Адлерский район.



Фото 23.2022.0260. Оползневые деформации по дороге в с. Черешня на ул. Гомельская (в районе пересечения с ул. Владимировской). МО город-курорт Сочи, Адлерский район.



Фото 23.2022.0261. Разрушение дороги на участке между с. Черешня и с. Нижняя Шиловка. МО город-курорт Сочи, Адлерский район.



Фото 23.2022.0262. Активизация оползневого процесса на северной окраине с. Черешня по ул. Пермская. МО город-курорт Сочи, Адлерский район.



Фото 23.2022.0263. Разрушение дорожного полотна к северу от с. Черешня (дорога на с. Ахштырь). МО город-курорт Сочи, Адлерский район.



Фото 23.2022.0264. Активизация оползневого процесса к северу от с. Черешня (дорога на с. Ахштырь). МО город-курорт Сочи, Адлерский район.



Фото 23.2022.0265. Разрушение дороги на северной окраине с. Галицино, СТ Строитель-22. МО город-курорт Сочи, Адлерский район.



Фото 23.2022.0266. Активизация оползневого процесса в с. Верхнениколаевское (х. Старый Кляр), ул. Кузнечная. МО город-курорт Сочи, Адлерский район.



Фото 23.2022.0267. Активизация оползневого процесса в с. Верхнениколаевское, ул. Кузнечная. МО город-курорт Сочи, Адлерский район.



Фото 23.2022.0268. Активизация оползневого процесса в с. Эсто-Садок по ул. Альпийское шоссе (в районе подъемника-гондолы Стрела). МО город-курорт Сочи, Адлерский район.



Фото 23.2022.0269. Активные оползневые процессы в с. Эсто-Садок по ул. Альпийское шоссе. МО город-курорт Сочи, Адлерский район.



Фото 23.2022.0270. Волнообразные перегибы на автодороге в пгт. Красная Поляна. МО город-курорт Сочи, Адлерский район.



Фото 23.2022.0271. Активные обвальные процессы в верховьях р. Кепша, 10 км к северо-западу от п. Кепша. МО город-курорт Сочи, Адлерский район.



Фото 23.2022.0272. Активный оползневой очаг на Кепшинском массиве в верховьях р. Кепша, 10 км к северо-западу от п. Кепша. МО город-курорт Сочи, Адлерский район.



Фото 23.2022.0273. Оползневыми подвижками на придомовой территории смещается подпорная стена в мкрн. Донская, ул. Тимирязева, 7. МО город-курорт Сочи, Центральный район.



Фото 23.2022.0274. Восстановление подпорной стены после оползневой активизации с объявлением режима ЧС в мкрн. Заречный, ул. Цюрупы 13а. МО город-курорт Сочи, Центральный район.



Фото 23.2022.0275. Активный оползень-оплывина в мкрн. Головинка на перегоне Чемитоквадже-Якорная Щель (в районе ж/д станции Лазурный Берег). МО город-курорт Сочи, Лазаревский район. Фото из открытых источников СМИ.



Фото 23.2022.0276. Активные обвальные процессы в верховом откосе дорожной врезки в мкрн. Мамайка, 171 км трассы А-147 (Батумское шоссе). МО город-курорт Сочи, Центральный район. Фото из открытых источников СМИ.



Фото 23.2022.0277. Оползневые трещины на проезжей части в с. Барановка, Овощной пер. МО город-курорт Сочи, Хостинский район. Фото из открытых источников СМИ.



Фото 23.2022.0278. Оползневые процессы по ул. Новороссийское шоссе (в районе санаториев «Мыс Видный» и «Победа»). МО город-курорт Сочи, Хостинский район. Фото из открытых источников СМИ.



Фото 23.2022.0279. Разрушение автобусной остановки по ул. Новороссийское шоссе (возле пересечения с ул. Леси Украинки). МО город-курорт Сочи, Хостинский район. Фото из открытых источников СМИ.



Фото 23.2022.0280. Активизация обвальных процессов в верховом откосе дороги в с. Измайловка по ул. Измайловская (в районе Змейковских водопадов). МО город-курорт Сочи, Хостинский район. Фото из открытых источников СМИ.

Астраханская область



Фото 30.2022.0001. Обвальный берег в с. Черный Яр Черноярского района. Отступание берега 0,25 м.



Фото 30.2022.0002. Оползневое проявление к западу от с. Никольское Енотаевского района. Отступание берега здесь составило 1,1 м. Оползневые образования полностью размыты паводковыми водами.



Фото 30.2022.0003. Обвальное проявление в с. Копановка Енотаевского района. По образованным трещинам отрыва, происходят обвалы и наблюдается ряд отделяющихся блоков размером до 0.8 х 2.5 м. Отступание берега составило 0.25 м.



Фото 30.2022.0004. Обвальное проявление в с. Владимировка Енотаевского района. Вдоль бровки уступа встречаются отдельные трещины отрыва. Среднее отступание берега составило 0.35 м.



Фото 30.2022.0005. Обвальное проявление напротив с. Косика Енотаевского района.
Под уступом видны свежие, преимущественно мелкообломочные обвальные образования объемом 1-2 м^3. Среднее отступание берега составило 0.55 м.



Фото 30.2022.0006. Обвальное проявление на правом берегу р. Бахтемир, в с. Сергиевка Икрянинского района. Обвалы происходят по трещинам отрыва, образующимся вдоль бровки уступа. На момент обследования идет разрушение жилого дома, брошенного жильцами. Отступание берега составило 1,74 м.



Фото 30.2022.0007. Обвальное проявление на левом берегу р. Волги, в с. Петропавловка Наримановского района. Видны остатки тыловой части защитной дамбы. Отступание берега составило 1,57 м.



Фото 30.2022.0008. Карстовое проявление расположено в 1.32 км на северо-восток по Аз. 11 от п. Средний Баскунчак Ахтубинского района. Овальный провал имеет сужающуюся конусовидную форму. Понор в основании не обнажается.



Фото 30.2022.0009. Карстовое проявление расположено в 1.36 км на север-северо-восток по Аз. 8 от п. Средний Баскунчак Ахтубинского района. Вытянутый воронкообразный провал размером 5,0 х 3,0 м и глубиной 1,5 м. На стенках имеются выходы гипсов, а в основании щелевидные поноры по которым происходит сброс дождевых и талых вод в подземные карстовые полости.



Фото 30.2022.0010. Карстовое проявление расположено в 1.34 км на север-северо-восток по Аз. 5 от п. Средний Баскунчак Ахтубинского района. Представлено двумя воронкообразными формами диаметром 3,5 м и глубиной 1,2 м
и диаметром 4.0 м и глубиной 2.0 м, соединенными перемычкой. Активна восточная, наиболее глубокая воронка, в основании которой имеется понор.



Фото 30.2022.0011. Карстовое проявление расположено в 1.37 км на север-северо-восток по Аз.4 от п. Средний Баскунчак Ахтубинского района. Активная воронка на дне слепого оврага №1.

Волгоградская область



Фото 34.2022.0001. Образование трещин отрыва напротив южной части с. Рахинка Среднеахтубинского района. Отступание берега составило 1,35 м.



Фото 34.2022.0002. Обвальный берег напротив южной части п. Приморск Быковского района. Отступание берега 0,12 м.



Фото 34.2022.0003. Обвальный берег напротив с. Нижний Балыклей Быковского района. Отступание берега составило 1,65 м. Оползневые образования полностью размыты паводковыми водами.



Фото 34.2022.0004. Обвальный берег напротив южной части п. Быково Быковского района. На переднем плане видна трещина закола. Отступание берега составило 1,13 м.



Фото 34.2022.0005. Обвальный берег напротив южной части с. Кислово Быковского района. Под уступом имеются следы свежих обвалов, но почти все они размыты водой. Отступание берега составило 0.14 м.



Фото 34.2022.0006. Обвальный берег напротив северо-восточной части с. Кислово. Видны остатки фундамента деревянного дома, разобранного в 2022 году.



Фото 34.2022.0007. Обвальный берег напротив северо-восточной части с. Бережновка Николаевского района. Отступание составило 0,81 м.



Фото 34.2022.0008. Обвальный берег в районе х. Рыбный Николаевского района. Отступание берега составило 1,8 м.



Фото 34.2022.0009. На против северо-восточной части с. Нижняя Добринка Камышинского района, обвальный берег проходит по территориям домовладений. Отступание берега составило 0,55 м.



Фото 34.2022.0010. Обвальный берег напротив северо-восточной части с. Горный Балыклей Дубовского района. Отступание берега составило 0,7 м.



Фото 34.2022.0011. Обвальный берег напротив средней части села Горный Балыклей Дубовского района. Отступание берега составило 9,17 м.



Фото 34.2022.0012. Обвальный берег на правом берегу Волгоградского водохранилища, напротив средней части села Горный Балыклей Дубовского района. Отступание берега составило 1,25



Фото 34.2022.0013. Обвальный берег напротив юго-восточной части села Горный Балыклей Дубовского района. Отступание берега составило 1,05 м.



Фото 34.2022.0014. Обвальный берег напротив северной части ст. Суводской Дубовского района. Отступание берега 0,34 м.



Фото 34.2022.0015. Обвальный берег подошедший к жилым домам в северо-восточной части с. Горноводяное Дубовского района. Отступание берега составило 0,27 м.



Фото 34.2022.0016. Обвальный берег напротив юго-восточной части с. Горноводяное Дубовского района. Отступание берега составило 0,66 м.



Фото 34.2022.0017. Обвальный берег напротив восточной окраины с. Песковатка Дубовского района. Отступание берега составило 0,34 м.



Фото 34.2022.0018. Обвальный берег в г. Дубовка Дубовского района, вдоль берегового уступа южнее залива. Отступание берега составило 0,6 м.



Фото 34.2022.0019. Обвальный берег в г. Дубовка Дубовского района, на правом берегу Волгоградского водохранилища, вдоль берегового уступа напротив южной оконечности города. Отступание берега составило 0,11 м.



Фото 34.2022.0020. Обвальный берег в с. Пичуга Дубовского района, на правом берегу Волгоградского водохранилища, вдоль берегового уступа напротив средней части села. Отступание берега составило 0,48 м.



Фото 34.2022.0021. Оползневой берег напротив дачного массива Винновка Городищенского района. В настоящее время происходят обвалы и оползания небольших блоков вдоль вертикального берегового уступа.
Отступание берега составило 0,28 м.



Фото 34.2022.0022. Вертикальный обвальный берег в дачном поселке Винновка Городищенского района. Отступание берега составило 0,3 м.



Фото 34.2022.0023. Обвальный берег напротив восточной части станицы Нагавской Котельниковского района. Отступание берега составило 8,8 м.



Фото 34.2022.0024. Обвальное проявление напротив западной части х. Веселый. Отступание берега составило 0,3 м.



Фото 34.2022.0025. Блоковый оползень напротив юго-восточной части ст. Нижний Чир Суровикинского района. В верхней части головного срыва виден небольшой (5 х 3 м) просевший блок треугольной формы 2022 года.

Ростовская область



Фото 61.2022.0001. Активизация обвальных процессов в центральной части проявления. Неклиновский район, с. Петрушино, 6-й переулок 30.



Фото 61.2022.0002. Активный оползневой очаг на береговом уступе Таганрогского залива. Неклиновский район, с. Александрова Коса.



Фото 61.2022.0003. Активный обвально-оползневой уступ на южной окраине пос. Золотая Коса. Неклиновский район, пос. Золотая Коса, ул. Кирова 1В.



Фото 61.2022.0004. Участок берегового уступа Таганрогского залива, пораженный обвальными процессами. Юго-восточная окраина с. Боцманово, ул. Приморская



Фото 61.2022.0005. Участок уступа пораженный обвально-оползневыми процессами. Цимлянский район, восточная окраина г. Цимлянск.



Фото 61.2022.0006. Участок берегового уступа северного побережья Цимлянского водохранилища, пораженный оползневыми процессами. Цимлянский район, 260 м на юго-восток от пос. Саркел.



Фото 61.2022.0007. Центральная часть оползня. Локальный очаг свежей оползневой активизации, второго порядка. Цимлянский район, 1,3 км на северо-восток от пос. Саркел.



Фото 61.2022.0008. Вид на активный обвально-оползневой уступ, сложенный лессовидными суглинками. Цимлянский район, В 1,7 км на северо-восток от пос. Саркел.



Фото 61.2022.0009. Точка наблюдения ближе к левому флангу оползня. Очаг активизации в языковой части оползня. Цимлянский район, В 1,9 км на северо-восток от пос. Саркел.



Фото 61.2022.0010. В пределах оползневого массива очаг вторичной оползневой активизации. Цимлянский район, В 2,2 км на северо-восток от пос. Саркел.



Фото 61.2022.0011. Центральная часть проявления. Очаг оползневой активности. Цимлянский район, 2,3 км на юго-запад от ст-цы Хорошевская



Фото 61.2022.0012. Один из многочисленных очагов активизации. Пески оползают по глинам. Деляпсий увлажнен, переформирован. Цимлянский район, 2,2 км на юго-запад от ст-цы Хорошевская.



Фото 61.2022.0013. Обвально-оползневой уступ с активными обвальными процессами. В обвал вовлечены лессовидные суглинки. В подножии свежие вывалы.



Фото 61.2022.0014. На участке обвально-оползневого уступа активизация обвальных процессов. Цимлянский район, 1,5 км на юго-запад от ст-цы Хорошевская.



Фото 61.2022.0015. Активизация в языковой части старого оползневого массива. Цимлянский район, в 0,3 км к северо-востоку от окраины п. Саркел.



Фото 61.2022.0016. Береговой уступ Цимлянского водохранилища, пораженный обвально-оползневыми процессами, активными на момент обследования. Цимлянский район, юго-западная окраина пос. Саркел



Фото 61.2022.0017. Наблюдается слабая интенсивность осыпных и оползневых процессов. Юго-восточная окраина г. Цимлянск.



Фото 61.2022.0018. Активный оползневой очаг шириной 150 м. В теле оползня ряд сошедших блоков. Азовский район, Северо-Западная окраина с. Порт-Катон.



Фото 61.2022.0019. Активный участок обвального уступа. Азовский район, Северо-восточная окраина с. Порт-Катон.



Фото 61.2022.0020. Активный участок оползневого уступа. В подножии свежий деляпсий перекрывает пляжевую зону. Азовский район, 1 км на запад от с. Новомаргаритово.



Фото 61.2022.0021. Отвесный, обвальный уступ высотой 3,5-4,0 м. Береговая линия чистая, без камышей. Азовский район, юго-западная окраина с. Маргаритово.



Фото 61.2022.0022. Слабая активность. Незначительные осыпания в прибровочной части. Дубовский район, в 0,7 км к северо-западу от х. Алдабульского.



Фото 61.2022.0023. Большей частью слабоактивно. Развиты вторичные процессы оползания. Дубовский район, в 0,6 км к северо-западу от х. Алдабульского



Фото 61.2022.0024. Активные обвально-оползневые процессы. Вдоль бровки уступа глинистые отдельности. Дубовский район, в 3,6 км к юго-западу от ст-цы Малая Лучка.



Фото 61.2022.0025. Коллювиальные вывалы суглинков в подножии уступа, пораженного обвальными процессами. Сальский район, в 6,8 км на запад от г. Пролетарск.



Фото 61.2022.0026. Уступ Веселовского водохранилища с активными обвальными процессами. В подножии коллювиальные вывалы суглинков. Сальский район, в 6,9 км на запад от г. Пролетарск.



Фото 61.2022.0027. Отрезок уступа пораженный обвальными процессами. Сальский район, в 7,5 км на запад от г. Пролетарск.



Фото 61.2022.0028. Свежие коллювиальные вывалы в подножии обвального уступа на берегу Веселовского водохранилища. Сальский район, в 7,6 км на запад от г. Пролетарск.



Фото 61.2022.0029. Участок берегового уступа с активными обвальными процессами. Сальский район, в 7,7 км на запад от г. Пролетарск



Фото 61.2022.0030. Оползневое проявление размером 50 м шириной при длине 12-15 м на левом борту балочного понижения. Усть-Донецкий район, северная окраина х. Пухляковский.



Фото 61.2022.0031. Активное оползневое проявление в средней части склона. Усть-Донецкий район, северная окраина ст-цы Раздорской.



Фото 61.2022.0032. Отмечаются вторичные процессы оползания по съехавшему блоку. Дубовский район, 1 км к северу от ст-цы Жуковская.



Фото 61.2022.0033. Активный обвал на мысу в устье залива Жуковское убежище. Отступание за год составило 0,3 м. Дубовский район в 1,8 км к северо-западу от ст-цы Жуковская.



Фото 61.2022.0034. На восточном фланге проявления активизация обвально-оползневых и осыпных процессов. Дубовский район в 2 км к северо-востоку от ст-цы Жуковская.



Фото 61.2022.0035. Активные обвальные процессы на протяжении 200 м. Дубовский район, в 3 км к северо-востоку от ст-цы Жуковская.



Фото 61.2022.0036. Свежая оползневая активность на протяжении 300 м. В оползание вовлечены пески, суглинки, известковистые конкреции. Дубовский район в 3 км к северо-западу от ст-цы Баклановская.



Фото 61.2022.0037. Развиты вторичные процессы осыпания, оползания вдоль подножия. Дубовский район, в 2,6 км к северо-западу от ст-цы Баклановская.



Фото 61.2022.0038. Отмечается вторичная активизация процессов ЭГП. По ранее сошедшему деляпсию заложены новые трещины. Дубовский район, в 2,1 км к северо-западу от ст-цы Баклановская.



Фото 61.2022.0039. Вторичные обвально-осыпные и оползневые процессы по отсевшим блокам. Дубовский район, в 2,3 км к северу от ст-цы Баклановская.



Фото 61.2022.0040. Подножие и пляжевая зона заросли травой и камышом, верхняя часть уступа обнажена. Отмечаются малообъемные незначительные осыпания. Неклиновский район, в 1 км к востоку от пос. Приазовский.



Фото 61.2022.0041. Отрезок уступа характеризуется как обвально-оползневой – в верхней части развиты оползневые процессы, в подножии – обвальные. Неклиновский район, южная окраина пос. Приазовский между улицами Лесная и Молодежная.



Фото 61.2022.0042. В подножии практически достигают береговой линии вывалы суглинков. Длина обвала 10 м, ширина 30-40 м. Неклиновский район, юго-западная окраина пос. Приазовский, ул. Мира.



Фото 61.2022.0043. Активный обвально-оползневой участок на всем видимом протяжении. Неклиновский район, юго-западная окраина пос. Приазовский между улицами Восточная и Милосердия.



Фото 61.2022.0044. Вид на восток – пораженность обвальными процессами 100%. Неклиновский район, южная окраина с. Весело-Вознесенка между улицами Садовая и Береговая.

Республика Крым



Фото 91.2022.0057. Техническая подрезка склона в бугристом теле оползня, по левому борту, выше автодороги. Незначительный срыв в верхней части подрезки (1,5 м протяженности), требует наблюдения. Вид на свежую трещину сдвига.



Фото *91.2022.0068.* Вид на головной срыв, заколотые и смещенные блоки, с языковой части правого борта.



Фото 91.2022.0070. Свежий обвал, блоки готовые к обрушению.

Северо-Кавказский федеральный округ

Республика Дагестан



Фото 95.2022.0041. Активизировавшийся обвально-осыпной процесс на участке автодороги «Агвали-Кидеро», 1.72км юго-западнее г.Сагада. Цумадинский район



Фото 95.2022.0042. Активизировавшийся обвально-осыпной процесс на участке автодороги «Буйнакск – Гимры - Чирката» км 42+200. Унцукульский район



Фото 95.2022.0043. Активизировавшийся обвально-осыпной процесс на участке автодороги «Кубачи-Калакорейш» км 8. Дахадаевский район



Фото 95.2022.0044. Активизировавшийся обвально-осыпной процесс на участке автодороги «Гунибское шоссе-Вентляшевский перевал» км 64. Шамильский район



Фото 95.2022.0046. Активизировавшийся оползневой процесс в 3 км восточнее с. Мискинджа. Докузпаринский район



Фото 95.2022.0047. Активизировавшийся оползневой процесс на Чиркейском участке детальных наблюдений «4-й» массив в 14км СЗ пст. Чиркей. Буйнакский район.



Фото 95.2022.0048. Активизировавшийся оползневой процесс на Чиркейском участке детальных наблюдений «5-й» массив в 19км СЗ пст. Чиркей. Буйнакский район.



Фото 95.2022.0049. Активизировавшийся оползневой процесс на Ирганайстком участке «65» массив в 1,0км севернее пст.Шамилькала. Унцукульский район.



Фото 95.2022.0050. Активизировавшийся оползневой процесс на Ирганайстком участке «Станционный» массив в 2,5км южнее пст.Гимры. Унцукульский район.



Фото 95.2022.0052. Активизировавшийся обвально-осыпной процесс на участке автодороги «Тлярата-Камилух» до с.Гагар км 4. Тляратинский район.

Республика Ингушетия



Фото 06.2022.0004. Сунженский район. Автодорога с.Даттых - с.Галашки, 5,26км. Активизации оползня привела к разрушению полотна дороги с покрытием на участке длиной 20 м, шириной 1,5 м.

Кабардино-Балкарская Республика



Фото 07.2022.0008 – Оползень на склоне в левом борту р.Черек Хуламский в 1,6 км к СВ от с. Безенги, пересекаемый автодорогой Карасу-Безенги (26.07.2022 г., ООО «Каббалкгеомониторинг»)



Фото 07.2022.0009 - Участок активизации обвального процесса на левом борту р. Чегем, в ~ 1,5 км выше с. Нижний Чегем (13.08.2022 г., ООО «Каббалкгеомониторинг»)



Фото 07.2022.0010 – оползень на правом борту р. Чегем, в 4,5 км от с. Хуштосырт (15.08.2022г., ООО «Каббалкгеомониторинг»)



Фото 07.2022.0011 – активный участок оползня на верхнем откосе а/д Хуштосырт - Булунгу, в левом борту р. Чегем в 7,6 км ниже с. Эльтюбю (19.08.2022г., ООО «Каббалкгеомониторинг»)



Фото 07.2022.0012 – активный участок оползня на верхнем откосе а/д Хуштосырт - Булунгу, в левом борту р. Чегем в 7,5 км ниже с. Эльтюбю (19.08.2022 г., ООО «Каббалкгеомониторинг»)



Фото 07.2022.0013 - Оползень на правом борту р. Кардан, пересекающий грунтовую автодорогу Эльтюбю – Безенги. (22.08.2022 г., ООО «Каббалкгеомониторинг»)



Фото 07.2022.0014 – оползень в правом борту долины р. Гижгит, в 2,6 км к западу от с. Былым, на пересечении с автодорогой (24.08.2022 г., ООО «Каббалкгеомониторинг»).



Фото 07.2022.0015 – верховья р. Чатбаши, в 6 км к СЗ от г. Тырныауз, оползневой массив в урочище Сурьма, верхняя часть активного участка (вид с левого борта Оп) (05.09.2022 г., ООО «Каббалкгеомониторинг»).



Фото 07.2022.0006 – Активный участок оползня на нижнем откосе а/д Урвань-Уштулу в правом борту р. Черек Балкарский, вид сверху. Деформация автодороги и газопровода среднего давления (10.09.2022 г., ООО «Каббалкгеомониторинг»)



Фото 07.2022.0007. Оп Бузулган (в 2,6 км выше г. Тырныауз), вид сверху вниз. (20.09.2022 г., ООО «Каббалкгеомониторинг»)

Чеченская Республика



Фото 20.2022.0041. Ножай-Юртовский район, автодорога с. Малые Шуани – Бас-Гордали - 6,5км.

Активизация оползня привела к разрушению обочины дороги с покрытием на участке длиной 10м.



Фото 20.2022.0043. Ножай-Юртовский район, с.Хашки-Мохк дорога на кладбище - 1,67км.

Активизация оползня привела к разрушению полотна дороги без покрытия на участке длиной 6м.



Фото 20.2022.0044. Ножай-Юртовский район, автодорога с.Ялхой-Мохк - с.Малые Шуани - 5,53км

Активизация оползня привела к разрушению полотна дороги покрытием на участке длиной 3м.



Фото 20.2022.0054. Шатойский район, автодорога с.Хал-Килой – с.Нижний Дай – 6,25км.

Активизация оползня привела разрушению обочины дороги с твердым покрытием на участке длиной 6м.



Фото 20.2022.0055. Шатойский район, с.Нижний Дай. Активизация оползня привела
к разрушению обочины дороги с твердым покрытием на участке длиной 14м, шириной 0,5м.



Фото 20.2022.0058. Ножай-Юртовский район, автодорога с. Бетти – Мохк - с. Совраги – 2,14км.
Активизация оползня привела к разрушению полотна дороги с покрытием на участке длиной 6м.



Фото 20.2022.0059. Ножай-Юртовский район, автодорога с. Бетти – Мохк - с. Совраги – 4,58км.

Активизация оползня привела к разрушению обочины дороги с покрытием на участке длиной 10м.



Фото 20.2022.0060. Ножай-Юртовский район, с. Ножай – Юрт. Активизация оползня привела разрушению автодороги с покрытием на участке длиной 125м



Фото 20.2022.0061. Ножай-Юртовский район, с. Мехкешты. Активизация оползня привела к разрушению обочины дороги с покрытием на участке длиной 6м.



Фото 20.2022.0063. Ножай-Юртовский район, автодорога с.Мехкешты - с.Зандак – 2,95км. Активизация оползня привела к разрушению полотна дороги с покрытием на участке длиной 8м
и обочины дороги длиной 6м



Фото 20.2022.0065. Ножай-Юртовский район, автодорога с.Мехкешты - с.Зандак – 3,8км. Активизация оползня привела к полному разрушению полотна дороги с покрытием на участке 50 м
и частичному разрушению на участке 30м.



Фото 20.2022.0066.Ножай-Юртовский район, автодорога с.Мехкешты - с.Зандак – 3,91км. Активизация оползня привела к разрушению обочины дороги с покрытием на участке 15м.



Фото 20.2022.0067. Ножай-Юртовский район, автодорога с.Мехкешты - с.Зандак – 4,36км. Активизация оползня привела к разрушению полотна дороги с покрытием на участке длиной 40м.



Фото 20.2022.0068. Ножай-Юртовский район, автодорога с.Мехкешты - с.Зандак – 4,7км. Активизация оползня привела к разрушению полотна дороги с покрытием на участке длиной 60м.



Фото 20.2022.0069. Ножай-Юртовский район, автодорога с.Мехкешты - с.Зандак – 5,01км. Активизация оползня привела к разрушению полотна дороги с покрытием на участке длиной 50м.



Фото 20.2022.0070. Ножай-Юртовский район, автодорога с.Мехкешты - с.Зандак – 5,07км. Активизация оползня привела к разрушению обочины дороги с покрытием на участке длиной 20.



Фото 20.2022.0071. Ножай-Юртовский район, автодорога с.Байтарки – с.Чеччель-Юх – 2,0км. Активизация оползня привела к разрушению участка дороги без покрытия длиной 7м, шириной до 1м.

Ставропольский край



Фото 26.2022.0022. Оп. № 3393. Смещения низкой интенсивности в головной части у основания откоса.



Фото 26.2022.0023. Оп. №3448. Активизация с увеличением площади оползня.



Фото 26.2022.0024. Оп. №3456. Активен в пределах правой половины оползня, блоковые смещения.



Фото 26.2022.0025. Оп. №3396. Смещения средней интенсивности в левой половине и центральной части оползня.



Фото 26.2022.0026. Оп. №2352. Минимальные по интенсивности смещения в нижней части зоны транзита.



Фото 26.2022.0027. Оп. №401. Смещения на локальном участке в головной части оползня.



Фото 26.2022.0028. Оп. №402. Смещения на локальных участках в головной части оползня.



Фото 26.2022.0029. Оп. №3434. Смещения средней интенсивности на локальном участке у левого борта оползня.



Фото 26.2022.0030. Оп. №3436. Активизация в правой четверти оползня, блоковые смещения.



Фото 26.2022.0031. Оп. №2524. Блоковые смещения в языке левой части оползня.



Фото 26.2022.0032. Оп. №3437. Блоковые смещения у левого борта оползня.



Фото 26.2022.0033. Оп. №2523. Блоковые смещения у левого борта оползня.



Фото 26.2022.0034. Оп. №б/н. Блоковые смещения на вновь образовавшемся оползне.



Фото 26.2022.0035. Оп. №2518.Смещения высокой интенсивности в левом борту оползня.



Фото 26.2022.0036. Оп. №2888.Блоковые смещения на 80% площади оползня.



Фото 26.2022.0037. Оп. №3441.Смещения в языковой части у левого оползня.



Фото 26.2022.0038. Оп. №2519.Смещения низкой интенсивности на участке прошлогодней активности.



Фото 26.2022.0039. Оп. №3442. Активизация в нижней половине оползня на участке прошлогодней активности.



Фото 26.2022.0040. Оп. №1761. Смещения средней интенсивности на локальных участках.



Фото 26.2022.0041. Оп. №1767. Смещения в насыпных грунтах в головной части оползня.



Фото 26.2022.0042. Оп. №124. Участок активизации, высокой интенсивности, подновление оползневых трещин, блоковые смещения.



Фото 26.2022.0043. Оп. №539. Смещения минимальной интенсивности на локальном участке в головной и верхней части зоны транзита левой половины оползня.



Фото 26.2022.0044. Оп. №1097. Смещения от средней до высокой интенсивности в центральной и левой частях оползня.



Фото 26.2022.0045. Оп. №2965. Смещения у основания откоса в левой половине оползня.



Фото 26.2022.0046. Оп. №2096. Смещения на локальных участках в левой и правой половинах оползня.



Фото 26.2022.0047. Оп. №2545. Смещения в головном откосе со стороны сельского кладбища.



Фото 26.2022.0048. Оп. №574. Смещения не высокой интенсивности в голове центральной части оползня, в рыхлых отложениях.

Приволжский федеральный округ



Фото 02.2022.0011. Активная часть среднего эрозионного уступа. Створ 1 «Уфимский косогор». Республика Башкортостан



Фото 02.2022.0012. Воронка 14/11, срыв скальной породы в днище воронки. Створ 1 «Уфимский косогор». Республика Башкортостан



Фото 02.2022.0013. Воронка 14/08 с понорами. Правее- активный. Створ 1 «Уфимский косогор», Республика Башкортостан



Фото 02.2022.0014. Новая воронка 14/77 с понором в днище оврага 14. Створ 1 «Уфимский косогор», Республика Башкортостан



Фото 02.2022.0015. Воронка 14/71 Обрушение свода провала створ 1 «Уфимский косогор», Республика Башкортостан



Фото 02.2022.0016. Воронка 5/29 с активным понором Створ 2 «Уфимский косогор», Республика Башкортостан



Фото 02.2022.0017. Вновь выявленная просадка с понором
участок «Уфимский косогор», Республика Башкортостан



Фото 02.2022.0018. Активные воронки карстового поля в днище оврага
Створ 2 «Уфимский косогор», Республика Башкортостан



Фото 12.2022.0001. Развитие овражной эрозии в вершине оврага 0.6 км южнее западной окраины д. Высоково в Горномарийском районе. Республика Марий Эл



Фото 12.2022.0002. Развитие овражной эрозии в 0.9 км северо-восточнее северо-восточной окраины д. Замятино в Горномарийском районе. Республика Марий Эл



Фото 12.2022.0003. Развитие овражной эрозии на северной окраине д. Новая в Горномарийском районе (у грунтовой дороги Лявранангер-Новая). Республика Марий Эл



Фото 12.2022.0004 и 12.2022.0005. Развитие овражной эрозии на южной окраине д. Пертнуры в Горномарийском районе (у грунтовой дороги Пертнуры-Пальтикино). Республика Марий Эл



Фото 12.2022.0006. Развитие оползневого процесса в 140 м на запад от западной окраины г. Козьмодемьянска в Горномарийском районе (ПН Болониха-Козьмодемьянск). Республика Марий Эл



Фото 12.2022.0008. Развитие овражной эрозии между дд Петьялы и Б. Сосновка (ПН Сотнурско-Чодраяльский в Волжском районе. Республика Марий Эл



Фото 12.2022.0007. Развитие овражной эрозии в юго-западной части г. Козьмодемьянск (у частных гаражей). Республика Марий Эл



Фото 18.2022.0006. Осыпание, плоскостной смыв. Обрушение козырьков дерново-почвенного слоя вместе с древесной растительностью. г. Сарапул, Удмуртская Республика.



Фото 18.2022.0007. Уступ 3-й надпойменной террасы р. Вятки. с. Крымская Слудка,
Кизнерский район, Удмуртская Республика.



Фото 59.2022.0001. Провал №3 (в центре), опускающиеся под воду гаражи в ГК «Кардан» и автодорожное кольцо (справа внизу), г. Березники, Пермский край



Фото 59.2022.0002. Провал на аварийном участке СКРУ-2, СНТ «Ключики», г. Соликамск, июнь 2022 г. Пермский край



Фото 43.2022.0001. Растущий овраг на склоне р. Вятка в районе мемориала «Вечный огонь» г. Кирово-Чепецк Кирово-Чепецкого района Кировской области



Фото 56.2022.0005. Верховье наблюдаемого оврага на участке Сорочинский-2, в 2,0 км южнее г. Сорочинск Сорочинского района Оренбургской области



Фото 56.2022.0006. Верховье наблюдаемого оврага на участке Верхнеигнашкинский-1,
в 0,8 км севернее с. Верхнеигнашкино Грачевского района Оренбургской области



Фото 56.2022.0007. Верховье наблюдаемого оврага на участке Тузлуккульский,
в 5,5 км северо-восточнее с. Пригорное Беляевского района Оренбургской области



Фото 56.2022.0008. Отвершек обследуемого оврага, растущий вдоль автодороги М-5,
на западной окраине п. Яровой Оренбургского района Оренбургской области



Фото 64.2022.0004 Трещины, просадка на асфальтовой дороге на Красноармейской улице на оползне «Городской», г. Вольск, Саратовская область.



Фото 64.2022.0005 Трещины, просадка на оползне «Железнодорожный», г. Вольск, Саратовская область.



Фото 64.2022.0006 Наклон забора, трещины, наклон хозяйственной постройки по 4-му Лучевому проезду г. Саратов, Саратовская область.

Уральский федеральный округ



Фото 74.2022.6-1. Оползание борта Копейского разреза на участке предполагаемой фильтрации воды из водоема



Фото 86.2022.1. Разрушение берегового склона в п. Выкатной Ханты-Мансийского района

Сибирский федеральный округ



Фото 04.2022.0013. Активное проявление гравитационных процессов, с. Банное, Усть-Коксинский район, Республика Алтай



Фото 04.2022.0014. Активное проявление гравитационных процессов, с. Тюнгур, Усть-Коксинский район, Республика Алтай



Фото 04.2022.0015. Активное проявление процесса овражной эрозии, с. Тюнгур. Усть-Коксинский район, Республика Алтай



Фото 04.2022.0016. Активное проявление процесса овражной эрозии, с. Тюнгур. Усть-Коксинский район, Республика Алтай



Фото 04.2022.0017. Активное проявление гравитационных процессов, с. Верх-Уймон, Усть-Коксинский район, Республика Алтай



Фото 04.2022.0018. Активное проявление гравитационных процессов, с. Усть-Кокса, Усть-Коксинский район, Республика Алтай



Фото 04.2022.0019. Активное проявление гравитационных процессов, автодорога Усть-Кокса – Мараловодка, 21-22 км, Усть-Коксинский район, Республика Алтай



Фото 04.2022.0020. Активное проявление гравитационных процессов, с. Березовка, Усть-Коксинский район, Республика Алтай



Фото 04.2022.0021. Активное проявление гравитационных процессов, в районе усадьбы по ул. Аргучинского, 47, с. Усть-Кокса, Усть-Коксинский район, Республика Алтай



Фото 04.2022.0022. Активное проявление гравитационных процессов, участок автодороги Усть-Кокса – Мараловодка, 2-3 км, Усть-Коксинский район, Республика Алтай



Фото 04.2022.0023. Активное проявление оползневого процесса, участок автодороги в Алтайское подворье, 19,5 км, Онгудайский район, Республика Алтай



Фото 04.2022.0024. Активное проявление оползневого процесса, участок автодороги в Алтайское подворье, 20,05 км, Онгудайский район, Республика Алтай



Фото 04.2022.0025. Активное проявление гравитационных процессов, в 1,1 м от ограждений водозабора, с. Майма, Майминский район, Республика Алтай



Фото 04.2022.0026. Активное проявление гравитационных процессов, с. Кара-Кобы, Онгудайский район, Республика Алтай



Фото 04.2022.0027. Активное проявление процесса овражной эрозии вблизи автодороги Туекта – Усть-Кан (21,08 км), с. Кара-Кобы, Онгудайский район, Республика Алтай



Фото 04.2022.0028. Активное проявление процесса овражной эрозии, с. Кара-Кобы, Онгудайский район, Республика Алтай



Фото 04.2022.0029. Активное проявление процесса овражной эрозии, примыкающее к автодороге Туекта – Усть-Кан (19,96 км), с. Кара-Кобы, Онгудайский район, Республика Алтай



Фото 04.2022.0031. Активное проявление гравитационных процессов, автодорога Усть-Кан – Коргон (40,44-40,95 км), Усть-Канский район, Республика Алтай



Фото 04.2022.0032. Активное проявление гравитационных процессов на автодороге Усть-Кан – Коргон (46,7-46,99 км), Онгудайский район, Республика Алтай



Фото 04.2022.0034. Активное проявление гравитационных процессов, с. Верх-Бийск, Чемальский район, Республика Алтай



Фото 04.2022.0035. Активное проявление оползневого процесса, в низовом откосе автодороги в с. Инегень, Онгудайский район, Республика Алтай



Фото 04.2022.0037. Активное проявление гравитационных процессов в долине р. Курайка, Кош-Агачский район, Республика Алтай



Фото 04.2022.0038. Активное проявление процесса овражной эрозии, примыкающее к, автодороге Кош-Агач – Джазатор, 99,72 км. Кош-Агачский район, Республика Алтай



Фото 04.2022.0039. Активное проявление гравитационных процессов, автодорога Кош-Агач – Джазатор, 101,2 км. Кош-Агачский район, Республика Алтай



Фото 04.2022.0040. Активное проявление процесса овражной эрозии, примыкающее к автодороге Кош-Агач – Джазатор, 118 км. Кош-Агачский район, Республика Алтай



Фото 04.2022.0041. Активное проявление процесса овражной эрозии вблизи автодороги Кош-Агач – Джазатор, 128,06 км. Кош-Агачский район, Республика Алтай



Фото 04.2022.0042. Активное проявление гравитационных процессов на участке автодороги Кош-Агач – Джазатор, 136,6 км. Кош-Агачский район, Республика Алтай



Фото 04.2022.0043. Активное проявление процесса овражной эрозии вблизи автодороги Кош-Агач – Джазатор, 138 км. Кош-Агачский район, Республика Алтай



Фото 04.2022.0044. Активное проявление оползневого процесса в долине р. Талтура, Кош-Агачский район, Республика Алтай

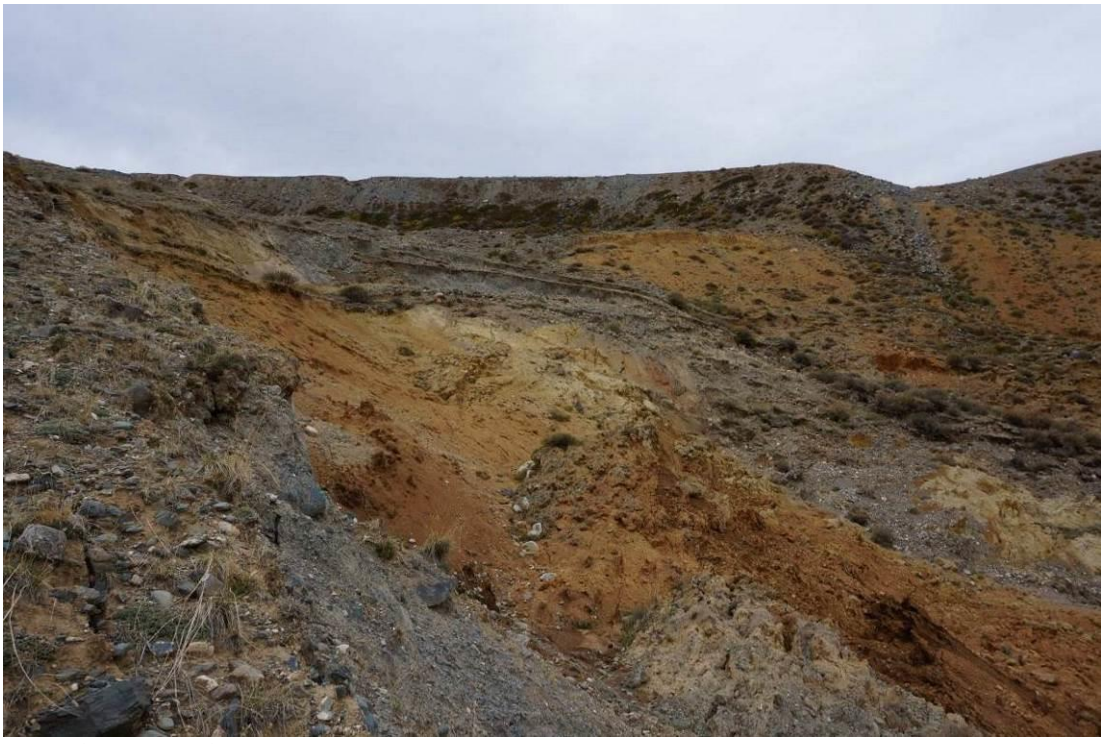


Фото 04.2022.0045. Активное проявление оползневого процесса в долине р. Кызыл-Чин, Кош-Агачский район, Республика Алтай



Фото 04.2022.0046. Активное проявление оползневого процесса в долине р. Кызыл-Чин, Кош-Агачский район, Республика Алтай



Фото 04.2022.0047. Активное проявление оползневого процесса в окрестности с. Чаган-Узун, Кош-Агачский район, Республика Алтай



Фото 04.2022.0049. Активное проявление оползневого процесса в окрестности с. Чаган-Узун, Кош-Агачский район, Республика Алтай



Фото 04.2022.0050. Активное проявление оползневого процесса в окрестности с. Чаган-Узун, Кош-Агачский район, Республика Алтай



Фото 04.2022.0051. Активное проявление оползневого процесса в окрестности с. Чаган-Узун, Кош-Агачский район, Республика Алтай



Фото 04.2022.0053. Активное проявление оползневого процесса в 1,9 км к северу от с. Чаган-Узун, Кош-Агачский район, Республика Алтай



Фото 04.2022.0054. Активное проявление оползневого процесса в 1,8 км к северу от с. Чаган-Узун, Кош-Агачский район, Республика Алтай



Фото 04.2022.0055. Активное проявление оползневого процесса в 2,15 км к северо-западу от с. Чаган-Узун, Кош-Агачский район, Республика Алтай



Фото 04.2022.0056. Активное проявление оползневого процесса в 1,86 км к северо-западу от с. Чаган-Узун Кош-Агачский район, Республика Алтай



Фото 04.2022.0057. Активное проявление оползневого процесса в 5,29 км к северу от с. Ортолык Кош-Агачский район, Республика Алтай



Фото 04.2022.0058. Активное проявление оползневого процесса в 5,17 км к северу от с. Ортолык Кош-Агачский район, Республика Алтай



Фото 04.2022.0059. Активное проявление оползневого процесса в 3,58 км к югу от с. Чаган-Узун Кош-Агачский район, Республика Алтай



Фото 04.2022.0061. Активное проявление оползневого процесса в 4,02 км к югу от с. Чаган-Узун Кош-Агачский район, Республика Алтай



Фото 04.2022.0062. Активное проявление оползневого процесса в 3,55 км к югу от с. Чаган-Узун Кош-Агачский район, Республика Алтай



Фото 04.2022.0064. Активное проявление оползневого процесса в 3,36 км к юго-востоку от с. Чаган-Узун Кош-Агачский район, Республика Алтай



Фото 17.2022.0005. Активное проявление процесса овражной эрозии вблизи автодороги Р-257, в районе с. Уюк, Пий-Хемский район, Республика Тыва



Фото 17.2022.0006. Активное проявление процесса овражной эрозии вблизи автодороги Р-257, г. Чадан, Дзун-Хемчикский район, Республика Тыва



Фото 17.2022.0007. Активное проявление процесса овражной эрозии вблизи автодороги Р-257 у Чаданского угольного разреза, Дзун-Хемчикский район, Республика Тыва



Фото 17.2022.0009. Активное проявление гравитационных процессов, с. Хорум-Даг, Дзун-Хемчикский район, Республика Тыва



Фото 17.2022.0010. Активное проявление процесса овражной эрозии в 16,13 км восточнее с. Эйлиг-Хем, Улуг-Хемский район, Республика Тыва



Фото 17.2022.0011. Активное проявление процесса овражной эрозии в 15,94 км восточнее с. Эйлиг-Хем, Улуг-Хемский район, Республика Тыва



Фото 17.2022.0012. Активное проявление процесса овражной эрозии в 10,3 км северо-восточнее с. Эйлиг-Хем, Улуг-Хемский район, Республика Тыва



Фото 17.2022.0013. Активное проявление процесса овражной эрозии, в 6,96 км северо-восточнее с. Эйлиг-Хем, Улуг-Хемский район, Республика Тыва



Фото 17.2022.0014. Активное проявление процесса овражной эрозии, в 1,46 км северо-западнее с. Эйлиг-Хем, Улуг-Хемский район, Республика Тыва



Фото 17.2022.0015. Активное проявление гравитационных процессов в с. Сайлыг, Чеди-Хольский район, Республика Тыва



Фото 17.2022.0016. Активное проявление процесса овражной эрозии, с. Сайлыг, Чеди-Хольский район, Республика Тыва



Фото 17.2022.0017. Активное проявление процесса овражной эрозии, с. Сизим, Каа-Хемский район, Республика Тыва



Фото 17.2022.0018. Активное проявление процесса овражной эрозии, с. Сизим, Каа-Хемский район, Республика Тыва



Фото 17.2022.0019. Активное проявление процесса овражной эрозии, с. Сизим, Каа-Хемский район, Республика Тыва



Фото 17.2022.0020. Активное проявление процесса овражной эрозии, с. Сизим, Каа-Хемский район, Республика Тыва



Фото 17.2022.0021. Активное проявление процесса овражной эрозии, с. Сизим, Каа-Хемский район, Республика Тыва



Фото 19.2022.0001. Подтопленное подполье по ул. Белинского, 40, г. Черногорск, Республика Хакасия



Фото 19. 2022.0002. Активное проявление оползневого процесса на левой стороне автодороги Р-257, в районе Братского моста, Алтайский район, Республика Хакасия



Фото 19.2022.0003. Активное проявление оползневого процесса на правой стороне автодороги Р-257, в районе Братского моста, Алтайский район, Республика Хакасия



Фото 19.2022.0004. Активное проявление оползневого процесса на правой стороне автодороги Р-257, в районе Братского моста, Алтайский район, Республика Хакасия



Фото 19.2022.0005. Активное проявление оползневого процесса на правой стороне автодороги Р-257, в районе Братского моста, Алтайский район, Республика Хакасия



Фото 19.2022.0006. Активное проявление оползневого процесса на правой стороне автодороги Р-257, в районе Братского моста, Алтайский район, Республика Хакасия



Фото 19.2022.0007. Активное проявление оползневого процесса на южной окраине с. Подсинее, автодорога Абакан-Подсинее, 8 км, Алтайский район, Республика Хакасия



Фото 19.2022.0008. Активное проявление процесса овражной эрозии на левой стороне автодороги А-161, Абакан – Ак-Довурак, д. Нижняя Тея, Аскизский район, Республика Хакасия



Фото 19.2022.0009. Активное проявление процесса овражной эрозии в 1,3 км к юго-западу от д. Нижняя Тёя, Аскизский район, Республика Хакасия



Фото 24.2022.0009. Активное проявление процесса овражной эрозии, юго-западная окраина п. Приморск, Балахтинский район, Красноярский край



Фото 24.2022.0010. Активное проявление процесса овражной эрозии, юго-западная окраина п. Приморск, Балахтинский район, Красноярский край



Фото 24.2022.0011. Активное проявление процесса овражной эрозии, автодорога Р-255 «Сибирь», 29 км, Емельяновский район, Красноярский край



Фото 24.2022.0012. Активное проявление оползневого процесса на левом берегу р. Кача, п. Памяти 13 Борцов, Емельяновский район, Красноярский край



Фото 24.2022.0013. Активное проявление процесса овражной эрозии, в 0,5 км к западу от с. Анцирь, Канский район, Красноярский край



Фото 24.2022.0014. Активное проявление процесса овражной эрозии, в 0,5 км к западу от с. Анцирь, Канский район, Красноярский край



Фото 24.2022.0015. Активное проявление процесса овражной эрозии, в 0,25 км северо-восточнее окраины с. Краснотуранск, Краснотуранский район, Красноярский край



Фото 24.2022.0016. Активное проявление процесса овражной эрозии, в 2 км к западу от д. Уза, Краснотуранский район, Красноярский край



Фото 24.2022.0017. Активное проявление процесса овражной эрозии, в 2 км к западу от д. Уза, Краснотуранский район, Красноярский край



Фото 24.2022.0018. Активное проявление процесса овражной эрозии, в 2 км к западу от д. Уза, Краснотуранский район, Красноярский край



Фото 24.2022.0019. Активное проявление процесса овражной эрозии, в 2,8 км к северо-западу от д. Белоярск, Краснотуранский район, Красноярский край



Фото 24.2022.0020. Активное проявление процесса овражной эрозии, в 5,5 км к северо-востоку от д. Листвягово, Краснотуранский район, Красноярский край



Фото 24.2022.0021. Активное проявление процесса овражной эрозии, в 5,5 км к северо-востоку от д. Листвягово, Краснотуранский район, Красноярский край



Фото 24.2022.0022. Активное проявление процесса овражной эрозии, в 6,5 км к юго-востоку от с. Шалоболино, Курагинский район, Красноярский край



Фото 24.2022.0023. Активное проявление процесса овражной эрозии, в 6,5 км к юго-востоку от с. Шалоболино, Курагинский район, Красноярский край



Фото 24.2022.0024. Активное проявление процесса овражной эрозии, в 8,2 км к юго-востоку от с. Шалоболино, Курагинский район, Красноярский край



Фото 24.2022.0025. Активное проявление процесса овражной эрозии, в 8,2 км к юго-востоку от с. Шалоболино, Курагинский район, Красноярский край



Фото 24.2022.0026. Активное проявление процесса овражной эрозии, в 8,2 км к юго-востоку от с. Шалоболино, Курагинский район, Красноярский край



Фото 24.2022.0027. Активное проявление процесса овражной эрозии, в 8,2 км к юго-востоку от с. Шалоболино, Курагинский район, Красноярский край



Фото 24.2022.0028. Активное проявление процесса овражной эрозии, в 8,2 км к юго-востоку от с. Шалоболино, Курагинский район, Красноярский край



Фото 24.2022.0029. Активное проявление процесса овражной эрозии, в 8,2 км к юго-востоку от с. Шалоболино, Курагинский район, Красноярский край



Фото 24.2022.0030. Активное проявление процесса овражной эрозии, в 8,2 км к юго-востоку от с. Шалоболино, Курагинский район, Красноярский край



Фото 24.2022.0031. Активное проявление процесса овражной эрозии, в 8,2 км к юго-востоку от с. Шалоболино, Курагинский район, Красноярский край



Фото 24.2022.0032. Активное проявление процесса овражной эрозии, в 2,2 км к северо-востоку от с. Пойлово, Курагинский район, Красноярский край



Фото 24.2022.0033. Активное проявление процесса овражной эрозии на восточной окраине п. Пригородный, Минусинский район, Красноярский край



Фото 24.2022.0034. Активное проявление процесса овражной эрозии на восточной окраине п. Суходол, Минусинский район, Красноярский край



Фото 24.2022.0035. Активное проявление процесса овражной эрозии, в 5 км к северу от д. Быстрая, Минусинский район, Красноярский край



Фото 24.2022.0036. Активное проявление процесса овражной эрозии, в 3,5 км к северо-востоку от д. Быстрая, Минусинский район, Красноярский край



Фото 24.2022.0037. Активное проявление процесса овражной эрозии вдоль южной окраины с. Новотроицкое, Минусинский район, Красноярский край



Фото 24.2022.0038. Активное проявление процесса овражной эрозии, в 6 км к востоку от п. Мал. Минуса, Минусинский район, Красноярский край



Фото 24.2022.0039. Активное проявление процесса овражной эрозии, в 6 км к востоку от п. Мал. Минуса, Минусинский район, Красноярский край



Фото 24.2022.0040. Активное проявление процесса овражной эрозии, в 6 км к востоку от п. Мал. Минуса, Минусинский район, Красноярский край



Фото 24.2022.0042. Активное проявление процесса овражной эрозии, в 3,5 км к западу от с. Новоселово, Новоселовский район, Красноярский край



Фото 24.2022.0044. Активное проявление гравитационных процессов на берегу Красноярского водохранилища, юго-восточная окраина п. Куртак, Новоселовский район, Красноярский край



Фото 24.2022.0046. Активное проявление процесса овражной эрозии на берегу Красноярского водохранилища, юго-восточная окраина п. Куртак, Новоселовский район, Красноярский край



Фото 24.2022.0047. Активное проявление процесса овражной эрозии на берегу Красноярского водохранилища, юго-восточная окраина п. Куртак, Новоселовский район, Красноярский край



Фото 24.2022.0049. Активное проявление процесса овражной эрозии на западной окраине с. Сухобузимское, Сухобузимский район, Красноярский край



Фото 38.2022.0027. Активное проявление оползневого процесса, в 0,78 км к северо-западу от д. Харанцы, Ольхонский район, Иркутская область



Фото 38.2022.0028. Активное проявление оползневого процесса, в 0,76 км к северо-западу от д. Харанцы, Ольхонский район, Иркутская область



Фото 38.2022.0029. Активное проявление оползневого процесса, в 0,78 км к северо-западу от д. Харанцы, Ольхонский район, Иркутская область



Фото 38.2022.0030. Активное проявление оползневого процесса, в 0,73 км к северо-западу от д. Харанцы, Ольхонский район, Иркутская область



Фото 38.2022.0031. Активное проявление оползневого процесса, в 0,5 км к северо-западу от д. Харанцы, Ольхонский район, Иркутская область



Фото 38.2022.0031. Активное проявление оползневого процесса, в 0,1 км к северу д. Харанцы, Ольхонский район, Иркутская область



Фото 38.2022.0035. Активное проявление процесса эоловой аккумуляции в п. Хужир, Ольхонский район, Иркутская область



Фото 38.2022.0036. Активное проявление эоловых процессов в п. Хужир, Ольхонский район, Иркутская область



Фото 38.2022.0037. Активное проявление процесса эоловой аккумуляции в п. Хужир, Ольхонский район, Иркутская область



Фото 38.2022.0038. Активное проявление процесса эоловой дефляции, в 0,15 км к востоку от д. Ялга, Ольхонский район, Иркутская область



Фото 38.2022.0039. Активное проявление процесса овражной эрозии, в 2,9 км к северо-западу от п. Култук, Слюдянский район, Иркутская область



Фото 38.2022.0040. Активное проявление процесса овражной эрозии, в 2,8 км к северо-западу от п. Култук, Слюдянский район, Иркутская область



Фото 38.2022.0041. Активное проявление процесса овражной эрозии, в 3 км к северо-западу от п. Култук, Слюдянский район, Иркутская область



Фото 42.2022.0008. Активное проявление оползневого процесса, в 0,56 км к юго-западу от п. Ерунаково, Новокузнецкий район, Кемеровская область-Кузбасс



Фото 42.2022.0012. Активное проявлние осыпного процесса, на участке автодороги Кузедеево – Таштагол, 24-25 км, Таштагольский район, Кемеровская область-Кузбасс



Фото 42.2022.0013. Активное проявление осыпногог процесса на территории пгт. Темиртау, Таштагольский район Кемеровская область-Кузбасс



Фото 54.2022.0018. Активное проявление процесса овражной эрозии на юго-западной окраине с. Спирино, Ордынский район, Новосибирская область



Фото 54.2022.0019. Активное проявление процесса овражной эрозии, в 0,52 км к юго-западу от с. Спирино, Ордынский район, Новосибирская область



Фото 54.2022.0020. Активное проявление гравитационных процессов, в 1,2 км к юго-западу от с. Спирино, Ордынский район, Новосибирская область



Фото 54.2022.0021. Активное проявление процесса овражной эрозии, в 0,75 км к юго-западу от с. Спирино, Ордынский район, Новосибирская область



Фото 55.2022.0016. Активное проявление процесса овражной эрозии, в 10 км к северо-востоку от с. Калинино, Русско-Полянский район, Омская область



Фото 55.2022.0017. Активное проявление процесса овражной эрозии, в 10,3 км к северо-востоку от с. Калинино, Русско-Полянский район, Омская область



Фото 55.2022.0018. Активное проявление процесса овражной эрозии, в 10,6 км к северо-востоку от с. Калинино, Русско-Полянский район, Омская область



Фото 55.2022.0019. Активное проявление процесса овражной эрозии, в 3,3 км к юго-востоку от с. Елизаветинка, Черлакский район, Омская область



Фото 55.2022.0020. Активное проявление процесса овражной эрозии в д. Бердниково, Черлакский район, Омская область



Фото 55.2022.0021. Активное проявление процесса овражной эрозии, в 2,7 км к юго-востоку от д. Бердниково, Черлакский район, Омская область



Фото 55.2022.0022. Активное проявление процесса овражной эрозии, в 1 км к юго-востоку от с. Соляное, Черлакский район, Омская область



Фото 55.2022.00024. Активное проявление процесса овражной эрозии, в 1 км к северо-западу от с. Елизаветинка, Черлакский район, Омская область



Фото 55.2022.0027. Активное проявление процесса овражной эрозии, в 1,3 км к северо-западу от с. Елизаветинка, Черлакский район, Омская область



Фото 55.2022.0029. Активное проявление процесса овражной эрозии, в 1,8 км к юго-востоку от пгт. Черлак, Черлакский район, Омская область



Фото 55.2022.0034. Активное проявление процесса овражной эрозии. в 2,7 км к северо-западу от пгт. Кормиловка, Кормиловский район, Омская область



Фото 55.2022.0035. Активное проявление процесса овражной эрозии. в 1,6 км к северо-западу от пгт. Кормиловка, Кормиловский район, Омская область



Фото 55.2022.0036. Активное проявление процесса овражной эрозии, в 1,5 км к северо-западу от с. Соловецкое, Нижнеомский район, Омская область



Фото 55.2022.0038. Активное проявление процесса овражной эрозии, в 1 км к западу от с. Глуховка, Калачинский район, Омская область



Фото 55.2022.0039. Активное проявление процесса овражной эрозии, в 0,8 км к северо-западу от пгт. Кормиловка, Кормиловский район, Омская область



Фото 55.2022.0041. Активное проявление процесса овражной эрозии, в 0,35 км к юго-западу от д. Прудки, Омский район, Омская область



Фото 55.2022.0043. Активное проявление процесса овражной эрозии, 0,6 км к северу от с. Богословка, Омский район, Омская область



Фото 55.2022.0044. Активное проявление процесса овражной эрозии, в 0,8 км к западу от п. Ростовка, Омский район, Омская область



Фото 55.2022.0046. Активное проявление процесса овражной эрозии, в 3,9 км к западу от а. Кзыл-Агаш, Москаленский район, Омская область



Фото 70.2022.0016. Активное проявление гравитационных процессов в с. Кривошеино, Кривошеинский район, Томская область



Фото 70.2022.0017. Активное проявление гравитационных процессов в с. Орловка, Томский район, Томская область



Фото 70.2022.0018. Активное проявление гравитационных процессов в г. Колпашево, Колпашевский район, Томская область



Фото 70.2022.0020. Активное проявление оползневого процесса в д. Нагорный Иштан, Томский район, Томская область

Дальневосточный федеральный округ



Фото 03.2022.0006. Устье оврага № 1, ПН с. Уладый,
Кяхтинский район, Республика Бурятия



Фото 03.2022.0007. Боковая стенка оврага № 2, ПН с. Уладый, Кяхтинский район,
Республика Бурятия



Фото 03.2022.0008. Вершина оврага № 1, с. Хонхолой, Мухоршибирский район, Республика Бурятия



Фото 03.2022.0009. Осыпание грунта на стенках оврага № 2, с. Хонхолой, Мухоршибирский район, Республика Бурятия



Фото 03.2022.0010. Трещины, обвалы грунта, овраг № 3, ПН с. Хонхолой, Мухоршибирский район, Республика Бурятия



Фото 03.2022.0011. Вершина оврага № 4, ПН с. Хонхолой, Мухоршибирский район, Республика Бурятия



Фото 03.2022.0012. Трещины на стенке отвершка оврага, с. Верхний Жирим, Мухоршибирский район, Республика Бурятия



Фото 03.2022.0013. Осыпи на стенках оврага (овраг №1), с. Тарбагатай, Тарбагатайский район, Республика Бурятия



Фото 03.2022.0014. Устье оврага № 2, с. Тарбагатай, Тарбагатайский район, Республика Бурятия



Фото 03.2022.0015. Вершина оврага № 3, с. Тарбагатай, Тарбагатайский район, Республика Бурятия



Фото 03.2022.0016. Осыпи на боковых стенках оврага № 2, ПН п. Забайкальский, г. Улан-Удэ, район, п. Светлый



Фото 03.2022.0017. Вершина оврага № 3, ПН п. Забайкальский, г. Улан-Удэ, п. Светлый



Фото 25.2022. 0001. Активизация оползневого процесса участок 663,03 км автодороги А-370 «Уссури», расположенного в 0,5 км юго-западнее с. Глуховка.



Фото 25.2022. 0002. Разрушение дороги на участке 176,8 км автодороги Осиновка-Р. Пристань, расположенного в 0,45 км западнее с. Новомихайловка. Восстановлена.



Фото 25.2022. 0003. Активизация обвально-осыпного процесса на участке 403, 9 км автодороги Находка-Лазо-Ольга-Кавалерово, расположенного в 3,83 км юго-западнее с. Устиновка.



Фото 25.2022. 0004. Активизация эрозионных процессов овражного типа на участке 280 км автодороги Находка-Лазо-Ольга-Кавалерово, расположенного в 0,08 км западнее-юго-западнее с. Горноводное



Фото 25.2022. 0005. Активизация эрозионных процессов на участке 261,3-264,3 км автодороги Находка-Лазо-Ольга-Кавалерово, расположенных в 6,4 км юго-западнее с. Горноводное.



Фото 27.2022.008, Конус выноса на участке 146 км А 370, Вяземский район Хабаровский край, сентябрь 2022г.



Фото 27.2022.009, Эрозионно-оползневой склон на участке 215 км А 370, Бикинский район Хабаровский край, сентябрь 2022г.

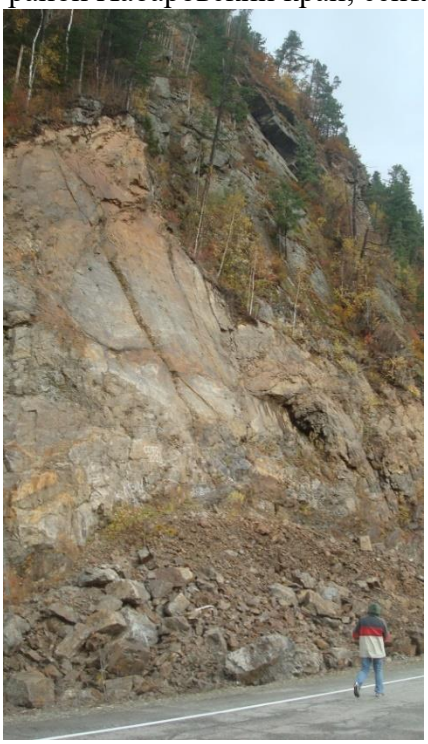


Фото 27.2022.010, Осыпные проявления на участке 81 (302 км) А 376
Нанайский район Хабаровский край, сентябрь 2022г.

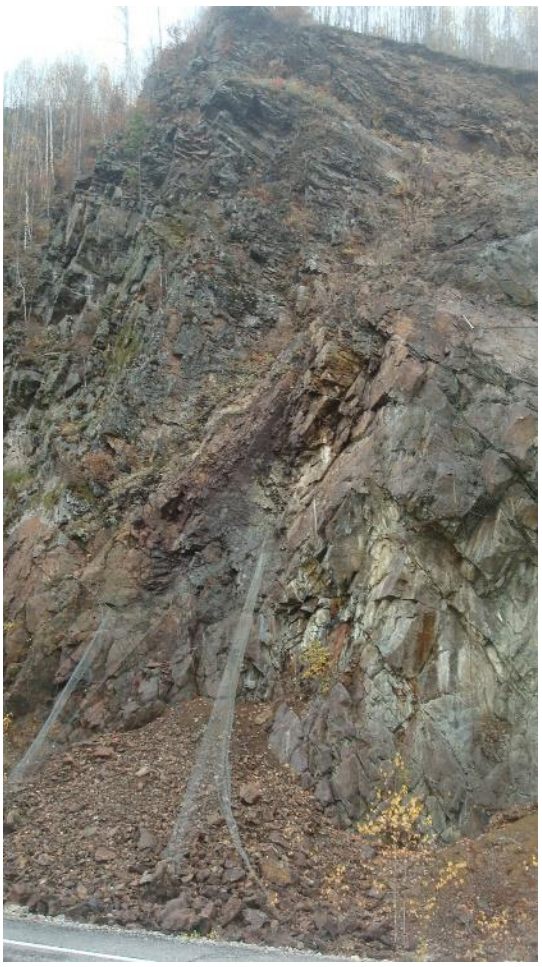


Фото 27.2022.011, осыпное проявление на участке 87 (302) км автодороги Лидога-Ванино, Нанайский район Хабаровский край, сентябрь 2022г.



Фото 27.2022.012, осыпной шлейф на участке 90 (303) км автодороги Лидога-Ванино, Нанайский район Хабаровский край, сентябрь 2022г.

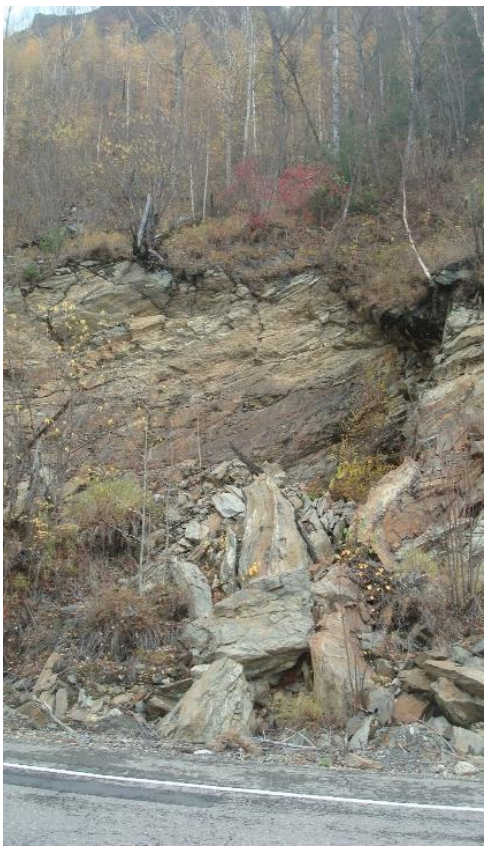


Фото 27.2022.013, осыпные проявления, промоины на участке 97 (309) км автодороги Лидога-Ванино Нанайский район Хабаровский край, сентябрь 2022г.



Фото 27.2022.007, осыпные проявления, промоины на участке 128 (341) км автодороги Лидога-Ванино Ванинский район Хабаровский край Сентябрь 2022г.



Фото 28.2022.001. Схема расположения точек при обследовании и вид на оврагБурейский район, амурской области





Фото 28.2022.002, Овраг 1 Фото 28.2022 Овраг 2

Вид на овраг Октябрьский район Амурской области



Фото 28.2022.004 Вид на овраг Ромненский район Амурской области



Фото 28.2022.005. Активизация процессов осыпания и оползания на склоне вдоль автодороги в Свободненском районе Амурской области



Фото 65.2022.001 Высыпание обломков на дороге Южно-Сахалинск-Холмск, А-396



Фото 65.2022.002 Эрозионное проявление на автодороге Южно-Сахалинск-Холмск, А-396



Фото 75.2022.0004. Оползень на СВ борту Балейского карьера, г. Балей, Балейский район,
Забайкальский край



Фото 75.2022.0005. Провал на шахтном поле Тасеевского месторождения, 0,7 км Ю г. Балей, мкр. Тасеево, Балейский район, Забайкальский край



Фото 75.2022.0006. Овраг на западном борту Каменского карьера, в 0,9 км СЗ г. Балей, мкр. Каменка, Балейский район, Забайкальский край



Фото 75.2022.0007. Оползень на СЗ борту Каменского карьера, в 1,2 км З г. Балей, мкр. Каменка, Балейский район, Забайкальский край



Фото 75.2022.0008. Фрагмент осыпи на СЗ борту карьера Алиинской россыпи, в 2,7 км З с. Алия, Балейский район, Забайкальский край



Фото 75.2022.0009. Фронтальная часть оползня у тыловой закраины третьей Надпойменной террасы р. Ингода, в 1,9 км З с. Засопка, Читинский район, Забайкальский край



Фото 75.2022.0010. Оседание поверхности над горной выработкой на Черновском шахтном поле, г. Чита, п. Рудник Кадала, Забайкальский край